

INTERNATIONAL COURT OF JUSTICE

PLEADINGS, ORAL ARGUMENTS, DOCUMENTS

CASE CONCERNING THE
CONTINENTAL SHELF

(TUNISIA/LIBYAN ARAB JAMAHIRIYA)

VOLUME VI

COUR INTERNATIONALE DE JUSTICE

MÉMOIRES, PLAIDOIRIES ET DOCUMENTS

AFFAIRE
DU PLATEAU CONTINENTAL

(TUNISIE/JAMAHIRIYA ARABE LIBYENNE)

VOLUME VI

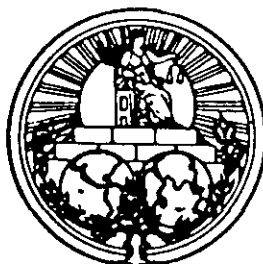


TABLE OF MAPS, CHARTS AND ILLUSTRATIONS

This Table lists the maps, charts and illustrations in the order of their appearance within the written proceedings. In the margin, the ringed Arabic numerals correspond to the numbering of the maps, etc., reproduced in this Volume, whereas Roman numerals indicate the Volume in which those left in the text are to be found. The absence of any marginal reference signifies that the illustration in question has not been reproduced in this edition.

The Table also lists, with similar indications, the illustrations deposited during the oral proceedings which have been reproduced either in this Volume or as inserts in the oral arguments. It does not however mention in this context the maps used during the hearing which had already appeared in the written proceedings or have not been reproduced in this edition : for references to these, the reader should turn to the text of the oral arguments or to the correspondence (Vols. IV and V).

TABLE DES CARTES ET ILLUSTRATIONS

La présente table regroupe les cartes ou illustrations des pièces de procédure écrite en suivant leur ordre dans ces pièces. En marge, les chiffres arabes cercrés correspondent au numérotage des cartes reproduites dans le présent volume : les chiffres romains indiquent le volume où se trouvent les cartes laissées dans le texte. L'absence de toute indication en marge dénote les cartes ou illustrations non reproduites dans la présente édition.

Cette table comprend également, avec les mêmes indications, les cartes déposées en procédure orale qui sont reproduites soit dans le présent volume, soit dans le texte des plaidoiries. En revanche elle ne donne pas les cartes utilisées en audience qui figuraient déjà dans des pièces de procédure écrite ou qui n'ont pas été reproduites dans la présente édition : pour en trouver les références, il convient de se reporter au texte des plaidoiries et de la correspondance (vol. IV et V).

Mémoire de la Tunisie

- 1 Figure 1.01 : PERMIS DE RECHERCHES PÉTROLIÈRES ACCORDÉS PAR LA TUNISIE.
- 2 Figure 1.02 :EMPLACEMENT DES BOUÉES PLACÉES PAR LA LIBYE.
- 3 Figure 1.03 :EMPLACEMENT DE LA PLATE-FORME DE FORAGE *SCARABEO IV*.
- 4 Figure 1.04 :EMPLACEMENT DES FORAGES PÉTROLIERS TUNISIENS *ISIS* ET *ZOHRA*.
- 5 Figure 1.05 : DÉLIMITATION DU PÉRIMÈTRE DU PERMIS LIBYEN DIT DE ZOUARA.
- Figure 3.01 : MÉDITERRANÉE - BATHYMÉTRIE (*Atlas de la mer*, R. Lafont, 1978, p. 138-139).
- 6 Figure 3.02 : MER PÉLAGIENNE.
- Figure 3.03 : CÔTES ORIENTALES DE LA TUNISIE.
- 7 Figure 3.04 : HAUTS-FONDS ET BHIRETS AUTOOUR DES ÎLES KERKENNAH.
- 8 Figure 3.05 : ÎLES ET BANCS DES SUR-KENIS..
- 9 Figure 3.06 : HAUTS-FONDS D'EL-BIBAN ET DE RAS ZIRA.
- Figure 4.01 : LES ZONES PLUVIALES (P. Sebag, *La Tunisie*, Paris, Ed. sociales, 1951, p. 16).
- Figure 4.02 : CROQUIS DE CARTE DE LA TUNISIE ANCIENNE DRESSÉ D'APRÈS LES RECHERCHES DE M. E. DE SAINTE MARIE par Ph. Caillat, ingénieur.
- Figure 4.03 : RÉPARTITION DE LA POPULATION (J. Despois, *La Tunisie*, Paris, A. Colin, 1961, p. 199).
- 10 Figure 4.04 : PÊCHERIES FIXES DE ZARZIS.
- 11 Figure 4.05 : PÊCHERIES FIXES SUR LES HAUTS-FONDS DES KERKENNAH.
- 12 Figure 4.06 : ZONE DES DROITS HISTORIQUES DE LA TUNISIE.
- PHYSIOGRAPHIC PANORAMA OF THE MEDITERRANEAN REGION Prepared from Bathymetric Studies by Bruce C. Heezen, Marie Tharp and William B. F. Ryan, and Painted by Heinrich C. Berann.
- 8 Figure 5.01 : ÎLES ET BANCS DES SUR-KENIS.
- 13 Figure 5.02 : SITES ARCHÉOLOGIQUES CITÉS.
- Figure 5.03 : SOCLE DU COLOMBARIUM DE LA VILLE ENGLOUTIE DE CER-CINA (VUE AÉRIENNE).
- 14 Figure 5.04 : ÎLES ET HAUTS-FONDS DES KURIAT.
- 9 Figure 5.05 : HAUTS-FONDS D'EL BIBAN ET DE RAS ZIRA.
- 15 Figure 5.06 : CORDON LITTORAL ENTRE 50 ET 70 MÈTRES DE PROFONDEUR.
- 16 Figure 5.07 : FALAISES SOUS-MARINES BORDANT LE PLATEAU TUNISIEN.
- 17 Figure 5.08 : CORDON LITTORAL ENTRE 100 ET 200 MÈTRES DE PROFONDEUR.
- 18 Figure 5.09 : PRINCIPALES UNITÉS MORPHOLOGIQUES DE LA MER IONIENNE.
- 19 Figure 5.10 : INTERPÉNÉTRATION TERRE-MER EN TUNISIE.
- 7 Figure 5.11 : HAUTS-FONDS ET BHIRETS AUTOOUR DES ÎLES KERKENNAH.
- 20 Figure 5.12 : LES DÉPRESSIONS FERMÉES.

- (21) Figure 5.13 : EMBOÎTEMENT DES ZONES ALTIMÉTRIQUES ET DE LA CÔTE EN TUNISIE CENTRALE ET ORIENTALE.
- Figure 5.14 : LA ZONE DES DÉPRESSIONS OUEST-EST (voir figure 5.18 ci-après).
- Figure 5.15 : LA TRANSVERSALE OUEST-EST (voir figure 5.18 ci-après).
- Figure 5.16 : DISTRIBUTION DES SÉDIMENTS BIOGÉNIQUES DE FOND (E. M. Emelyanov, dans Stanley, *The Mediterranean Sea*, 1972, p. 363).
- Figure 5.17 : DISTRIBUTION DES PRINCIPAUX TYPES GRANULOMÉTRIQUES DES SÉDIMENTS DE FOND (*ibid.*, p. 359).
- (22) Figure 5.18 : AXES STRUCTURAUX DU BLOC PÉLAGIEN.
- (23) Figure 5.19 : DÉVIATION DU RÉSEAU HYDROGRAPHIQUE AU CONTACT AVEC LE MÔLE DE KAIROUAN-AGAREB ET LA CONTINUATION DE CE DERNIER PAR LE MÔLE DES KERKENNAH.
- (24) Figure 5.20 : ÉPAISSEURS DES TERRAINS PLIO-QUATERNAIRES À L'EST DE LA TUNISIE.
- (25) Figure 5.21 : COUPES GÉOLOGIQUES NORD-SUD À TRAVERS L'AXE DES MÔLES.
- (26) Figure 5.22 : ESQUISSE CLINOGRAPHIQUE DE LA MER PÉLAGIENNE.
- (27) Figure 5.23 : CARTE DES PROVINCES PHYSIOGRAPHIQUES DE LA MER IONIENNE.
- (28) Figure 5.24 : PHYSIOGRAPHIE DE LA MER IONIENNE.
- (29) Figure 5.25 : FONDS PROSPECTÉS PAR DRAGAGE ET CHALUTAGE.
- (30) Figure 5.26 : RÉPARTITION DES CONCENTRATIONS DES ÉPONGES DANS LA RÉGION DU GOLFE DE GABÈS ET LE LONG DE LA CÔTE LIBYENNE.
- (31) Figure 5.27 : RÉPARTITION DES CONCENTRATIONS DU MERLU DANS LA RÉGION DU GOLFE DE GABÈS ET LE LONG DE LA CÔTE LIBYENNE.
- (32) Figure 5.28 : RÉPARTITION DES CONCENTRATIONS DES ROUGETS DANS LA RÉGION DU GOLFE DE GABÈS ET LE LONG DE LA CÔTE LIBYENNE.
- (33) Figure 5.29 : RÉPARTITION DES CONCENTRATIONS DES SPARIDÉS DANS LA RÉGION DU GOLFE DE GABÈS ET LE LONG DE LA CÔTE LIBYENNE.
- (34) Figure 5.30 : RÉPARTITION DES CONCENTRATIONS DES ANCHOIS ADULTES EN HIVER DANS LA RÉGION DU GOLFE DE GABÈS ET LE LONG DE LA CÔTE LIBYENNE.
- (35) Figure 5.31 : RÉPARTITION DE LA CREVETTE ROYALE DANS LA RÉGION DU GOLFE DE GABÈS.
- (36) Figure 9.01 : TRACÉ DE LA LIGNE DES CRÈTES.
- (37) Figure 9.02 : TRACÉ DE LA LIGNE PHYSIOGRAPHIQUE.
- I Figure 9.03 : PROPRIÉTÉ D'ÉQUIDISTANCE ATTACHÉE À LA BISSECTRICE D'UN ANGLE [p. 243-245].
- I Figure 9.04 : PROPORTIONNALITÉ DE LONGUEURS ATTACHÉE À LA BISSECTRICE [p. 243-245].
- I Figure 9.05 : PROPORTIONNALITÉ DE SURFACES ATTACHÉE À LA BISSECTRICE [p. 243-245].
- I Figure 9.06 : EFFET D'AMPUTATION [p. 243-245].
- I Figure 9.07 : PROPRIÉTÉ D'ÉQUIDISTANCE RELATIVE (BISSECTRICE TRANSLATÉE) [p. 243-245].
- I Figure 9.08 : PROPRIÉTÉ DE PROPORTIONNALITÉ DE LONGUEURS (BISSECTRICE TRANSLATÉE) [p. 243-245].

- I Figure 9.09 : PROPRIÉTÉ DE PROPORTIONNALITÉ DE SURFACES (BISSECTRICE TRANSLATÉE) [p. 243-245].
- I Figure 9.10 : TRACÉ DE LA BISSECTRICE TRANSLATÉE (PREMIÈRE MÉTHODE GÉOMÉTRIQUE) [p. 243-245].
- I Figure 9.11 : PRINCIPE DE CONSTRUCTION DE LA SECONDE MÉTHODE GÉOMÉTRIQUE [p. 243-245].
- I Figure 9.12 : TRACÉ DE LA PREMIÈRE SECTION RELATIVE À LA SECONDE MÉTHODE GÉOMÉTRIQUE [p. 243-245].
- I Figure 9.13 : TRACÉ DE LA DEUXIÈME SECTION RELATIVE À LA SECONDE MÉTHODE GÉOMÉTRIQUE [p. 243-245].
- (38) Figure 9.14 : RÉCAPITULATION DES DIFFÉRENTS TRACÉS OBTENUS.
- (39) Carte 1 : ESQUISSE PHYSIOGRAPHIQUE DU PLATEAU CONTINENTAL TUNISIEN ET DU GOLFE DE GABÈS.
- (40) Carte 2 : MER IONIENNE - ENSEMBLES MORPHOLOGIQUES.
Carte 3 : FACIÈS DES FONDS MARINS (P. Clairefond et G. Cochet, 1978).
Carte 4 : CARTE D'ÉGALE ÉPAISSEUR DE LA FORMATION METLAOUI - YPRÉSIEN À LUTÉTIEN.
Carte 5 : CARTE DES ISOPAQUES DE LA FORMATION ABIOD - CAMPANIEN SUPÉRIEUR À MAESTRICHTIEN.
Carte 6 : CARTE D'ÉGALE ÉPAISSEUR DE LA FORMATION ZEBBAG - VRACONIEN À TURONIEN INFÉRIEUR.
Carte 7 : EVOLUTION STRUCTURALE À TRAVERS LE MÔLE DES KERKENNAH DANS LA DIRECTION NORD-SUD.
Carte 8 : EXTENSION OUEST-EST DES ZONES DE FACIÈS, FORMATION ZEBBAG - VRACONIEN À TURONIEN INFÉRIEUR (d'après P. F. Burrollet, « Contribution à l'étude stratigraphique de la Tunisie centrale », *Annales des mines et de la géologie*, Tunis, 1956, n° 18, p. 84 et suiv.).
Carte 9 : EXTENSION OUEST-EST DES ZONES DE FACIÈS À L'APTIEN.

Memorial of the Libyan Arab Jamahiriya

- Map 1 : LIBYA AND TUNISIA - POSITION ON THE AFRICAN CONTINENT.
- Map 2 : GENERAL MAP.
- I PORTION OF MAP ATTACHED TO 1910 CONVENTION [p. 14].
- I REDUCTION OF MAP NO. 1 ACCOMPANYING 1955 LIBYAN PETROLEUM REGULATION [p. 16].
- (41) Map 3 : 1967 TUNISIAN OIL CONCESSION AND 1968 LIBYAN OIL CONCESSION.
- (42) Map 4 : TUNISIAN BASELINES CLAIM - 1973 LAW AND DECREE.
- Map 5 : PHYSICAL MAP OF LIBYA (*National Atlas of the Socialist People's Libyan Arab Jamahiriya*, 1978, pp. 13-14).
- Map 6 : NORTH-WESTERN LIBYA (*Ibid.*, pp. 33-34).
- Map 7 : MAP OF TUNISIA AND NORTH-WESTERN LIBYA (US Army Topographic Command, Washington, 1969).
- I REDUCTION OF MAP PORTRAYING GAMBIA/SENEGAL AGREEMENT [p. 49].

- I REDUCTION OF MAP PORTRAYING COLOMBIA/ECUADOR AGREEMENT [p. 50].
 I REDUCTION OF MAP PORTRAYING BRAZIL/URUGUAY AGREEMENT [p. 51].
 (43) Map 8 : TUNISIAN MARITIME BOUNDARY CLAIM ACCORDING TO 1976
 MEMORANDUM.

**Annexes to the Memorial of the Libyan Arab
 Jamahiriya**

Annex I-6

- NORTHERN AFRICA (Pinkerton, *Modern Atlas*, London, 1814).
 • MITTEL- UND NORD-AFRICA UND ARABIEN. WESTLICHES BLATT (Stieler, *Handatlas*, 1830).
 MITTELE- UND NORD-AFRICA. WEST. THEIL. (Stieler, *Handatlas*, 1867).

Annex I-7

- MAP ATTACHED TO THE 1910 CONVENTION ON DELIMITATION BETWEEN
 TUNISIA AND TRIPOLITANIA : TRACÉ DE LA FRONTIÈRE TUNISO-TRIPOLITAINNE ENTRE LA MER ET L'OASIS DE GHADAMES [see Memorial of
 the Libyan Arab Jamahiriya, p. 14].

Annex II

Figure 1 : PHYSIOGRAPHIC PROVINCES OF THE MEDITERRANEAN AND THEIR
 RESPECTIVE BASINS.

Figure 1A : PHYSIOGRAPHIC DIAGRAM OF THE MEDITERRANEAN (Heezen
 and Tharp).

Figure 2 : GEOLOGICAL SKETCH MAP OF MEDITERRANEAN AREA.

Figure 3 : STRUCTURAL SKETCH OF THE MEDITERRANEAN AREA.

(44) Figure 4 : DIAGRAM SHOWING THAT THE MOBILE ALPINE BELT IS A
 WESTWARD EXTENSION OF A LARGER TECTONIC BELT (TETHYS).

Figure 5 : LOCATION MAP SHOWING GENERAL TECTONIC FRAMEWORK.

(45) Figure 6 : GENERAL GEOLGIC FRAMEWORK OF THE ON-SHORE AREA.

Figure 7 : GENERALIZED STRATIGRAPHIC COLUMN. SAHARIAN PALEOZOIC
 PLATFORM PRE-CAMBRIAN TO TRIASSIC.

Figure 8 : GENERALIZED STRATIGRAPHIC COLUMN. SAHARIAN PALEOZOIC
 PLATFORM LOWER TRIASSIC TO LOWER CRETACEOUS.

Figure 9 : GENERALIZED STRATIGRAPHIC COLUMN. UPPER CRETACEOUS
 TO LOWER EOCENE.

Figure 10 : GENERALIZED STRATIGRAPHIC COLUMN. MIDDLE EOCENE TO
 RECENT.

Figure 11 : OFF-SHORE MAJOR STRUCTURAL FEATURES.

Figure 12 : OFF-SHORE GENERAL TECTONIC TRENDS.

(46) Figure 13 : BATHYMETRIC OVERLAY TO THE OFF-SHORE TECTONIC
 TRENDS.

(47) Plate 1 : GENERALIZED N-S GEOLOGICAL CROSS-SECTION.

(48) Plate 2 : GENERALIZED N-S GEOLOGICAL CROSS-SECTION.

Plate 3 : LOWER EOCENE FACIES MAP - AVERAGE CENOZOIC (O. S. Hammuda and A. A. Missallati, 1980).

Plate 4 : CENOZOIC SHORELINES OF LIBYA AND TUNISIA (*id.*).

Plate 5 : STRUCTURAL PROVINCES AND TECTONIC TRENDS OF LIBYA AND ADJACENT AREAS (*id.*).

Plate 6 : BATHYMETRIC CHART (after Sogreah Report, 1976).

Contre-mémoire de la Tunisie

- (50) Figure 1.01 : LIGNES DE BASE TUNISIENNES.
- Figure 1.02 : CÔTES ORIENTALES DE LA TUNISIE.
- (51) Figure 3.01 : PROJECTION VERS LE NORD DU POINT FRONTIÈRE RAS AJDIR SELON LE MÉMOIRE LIBYEN.
- (49) Figure 4.01 : LE BLOC PÉLAGIEN ET LA PLATE-FORME SAHARIENNE : transparent devant être superposé à la planche 2 de l'annexe II au mémoire libyen.
- Figure 5.01 : DIRECTION GÉNÉRALE DES CÔTES NORD-AFRICAINES DE GI-BRALTAR À SUEZ PAR RAPPORT AU PARALLÈLE 3° N.
- (52) Figure 5.02 : COMPARAISON ENTRE LES ENSEMBLES CÔTES DU SAHEL-ÎLES KERKENNAH ET CORNOUAILLES-ÎLES SCILLY.
- (53) Figure 5.03 : RATTACHEMENT DES ÎLES KERKENNAH AU CONTINENT PAR L'INTERMÉDIAIRE DE BANCS TRÈS PEU PROFONDS.
- (54) Figure 5.04 : RATTACHEMENT DE L'ÎLE DE Djerba AU CONTINENT.
- II Figure 7.01 : SURFACE FERMÉE PAR LA LATITUDE DE RAS KAPOUDIA ET PAR LA LONGITUDE D'UN POINT SUR LA CÔTE LIBYENNE À ÉGALÉ DISTANCE DU POINT FRONTIÈRE [p. 78].
- II Figure 7.02 : LIGNES D'ÉQUIDISTANCE [p. 80].
- II Figure 7.03 : SURFACES REVENANT À LA TUNISIE ET A LA LIBYE CALCULÉES À PARTIR DE LA LIMITÉ EXTÉRIEURE DE LA MER TERRITORIALE [p. 80].
- II Figure 7.04 : CALCUL DES SURFACES À PARTIR DES CÔTES DES DEUX ÉTATS [p. 81].
- II Figure 7.05 : ESPACES MARITIMES REVENANT À LA TUNISIE ET À LA LIBYE – Cas d'une surface fermée par la latitude de Gabès et la longitude d'un point libyen à égale distance de Ras Ajdir [p. 82].
- II Figure 7.06 : SURFACES DE PLATEAU CONTINENTAL REVENANT À LA TUNISIE ET À LA LIBYE – Même cas [p. 83].
- (55) Figure 8.01 : EMPLACEMENT DU FORAGE TUNISIEN PAR RAPPORT À LA LIGNE SUD-NORD DU MÉMOIRE LIBYEN.
- (56) Figure 8.02 : CARTE DE LA FRONTIÈRE TERRESTRE TUNISO-LIBYENNE.

Annexes au contre-mémoire de la Tunisie

Annexe I

- Carte ES-1 : CARTE STRUCTURALE DE LA TUNISIE ET DE LA MER PÉLAGIENNE.
- Carte ES-2 : CARTE PALÉOGÉOGRAPHIQUE SIMPLIFIÉE DE L'ÉOCÈNE INFÉRIEUR AU NORD DE L'AFRIQUE.
- Carte ES-3 : ANTICLINAUX DE STYLE ATLASIQUE EN TUNISIE ET EN MER PÉLAGIENNE.

- (45) Carte ES-4 : GENERAL GEOLOGIC FRAMEWORK OF THE ON-SHORE AREA.
- Carte ES-5 : RÉPARTITION DES TERRAINS MÉSOZOÏQUES EN AFRIQUE DU NORD.
- (57) Carte ES-6 : ESQUISSE TECTONIQUE RÉGIONALE DE LA TUNISIE, DE LA LIBYE ET DE LA MER IONIENNE.
- Carte ES-7 : DIAPIRS ET STRUCTURES SALIFÈRES EN TUNISIE SEPTENTRIONALE ET DANS LE GOLFE DE GABÈS.
- Carte ES-8 : PRINCIPAUX FOSSÉS D'EFFONDREMENT EN TUNISIE ET EN MER PÉLAGIENNE.
- Carte ES-9 : LES RIVAGES MÉRIDIONAUX DE LA MER MÉDITERRANÉE A L'OLIGOCÈNE.
- Carte ES-10 : PHYSIOGRAPHIE DE LA MER IONIENNE.
- Carte ES-11 : ISOBATHES DU TOIT DU MIOCÈNE.
- Carte ES-12 : ISOCHRONES AU VOISINAGE DU TOIT DU MÉSOZOÏQUE.

Annexe II-1.

Figure 1 : FRONTIÈRES SUCCESSIVES DE L'AFRIQA ET DE LA TUNISIE DE 800 À 1857.

Figure 2 : VILLES ET TRIBUS TUNISIENNES - 1881.

Counter-Memorial of the Libyan Arab Jamahiriya

LAND MAP OF NORTH-WEST COAST OF LIBYA (LOW TIDE) - LANDSAT MOSAIC IMAGE.

Map 1 : NORTH AFRICA - POLITICAL BOUNDARIES.

Map 2 : LIBYA AND TUNISIA - RELATIVE POSITION AS ADJACENT STATES.

- (58) Figure 1 : RELATIONSHIP BETWEEN PELAGIAN BASIN AND AFRICAN LANDMASS.

- (60) Map 3 : LIBYAN PETROLEUM ZONES AND MARITIME BOUNDARIES.

- (61) Map 4 : TUNISIAN CONCESSIONS: PROGRESSION EASTWARD IN RELATION TO INTERNATIONAL MARITIME BOUNDARY AND LIBYAN CONCESSION - EPSA LINE.

- (59) Figure 2 : TUNISIAN FIGURE 1.01 SHOWING 1966 TUNISIAN CONCESSIONS WITH OVERLAY OF INITIAL TUNISIAN CONCESSIONS (1964-1965).

- (62) Map 5 : LIBYAN CONCESSIONS NOS. 137-NC41-NC53-NC76 WITH OVERLAY SHOWING TUNISIAN MARITIME BOUNDARY CLAIM ACCORDING TO MAY 1976 MEMORANDUM.

- (63) Plate 5 : LOWER EOCENE-PLAY MAP - SIRT - PELAGIAN BASINS.

- (64) Map 6 : LIBYAN PETROLEUM ACTIVITIES WITH OVERLAY SHOWING TUNISIAN MARITIME BOUNDARY CLAIM ACCORDING TO MAY 1976 MEMORANDUM.

- (71) Figure 3 : TUNISIAN FIGURE 1.01 WITH OVERLAY OF THE ITALO-TUNISIAN DELIMITATION LINE.

PHOTOGRAPH OF TWIN PLATFORM OF SCARABEO IV.

- (65) Map 7 : TUNISIAN PETROLEUM ACTIVITIES.

REPRODUCTION OF MAP SHOWING *LIMES TRIPOLITANUS* (*Journal of Roman Studies*, 1949, p. 39).

- 66 Map 8 : GEOGRAPHIC LOCATIONS IN VICINITY OF FRONTIER.
- 67 Map 9 : GULF OF GABES.
- II CARTE DES FONDS SPONGIFÈRES DE LA RÉGENCE (Servonnet et Lafitte) [p. 42].
- II CARTE D'ENSEMBLE DU GOLFE DE GABÈS (*id.*) [p. 45].
- 68 Map 10 : TUNISIAN 1904 INSTRUCTION - LINES TOWARD THE NORTH-EAST.
- 69 Map 11 : TUNISIAN TERRITORIAL SEA CLAIMS.
- 70 Map 12 : VESSEL ARRESTS BY TUNISIA AS CLAIMED IN TUNISIAN MEMORIAL. ANNEX 89.
- 72 Map 13 : SPONGE GROUNDS IN LIBYA.
- 73 Map 14 : DECISION OF NAZIR OF COMMUNICATIONS ESTABLISHING SPONGE FISHING ZONES.
- 74 Map 15 : TUNISIAN OCEANOGRAPHIC RESEARCH - LOCATION OF TRAWLS.
- 75 Figure 4 : ARTIST'S RENDITION OF THE SEA BOTTOM AND TOPOGRAPHY OF THE PELAGIAN BASIN AND SURROUNDING AREAS.
- II Figure 5 : RELATIVE DURATIONS OF MAJOR SUBDIVISIONS OF GEOLOGIC TIMES [p. 82].
- 76 Figure 6 : SEISMIC BELTS OF THE MEDITERRANEAN AREAS AND SHALLOW EARTHQUAKES IN THE WESTERN IONIAN AREA.
- 77 Figure 7 : PELAGIAN BASIN.
- Figure 8 : A. MESOZOIC SHORE/ZERO LINE TRENDS IN THE SOUTHERN PELAGIAN BASIN.
B. AND C. SALT WALL TRENDS.
(After G. Mazzzone, 1976, 1977 ; G. Mazzola, 1977 ; Bonnefous, 1967 ; Salaj, 1978 ; J. Choignard, 1979 ; and P. Poggiagliolmi, 1979).
- 78 Map 16 : LIBYA-TUNISIA, SHOWING JEFFARA PLAIN AND JABAL NEFUSA.
- 79 Figure 9 : POSITION OF SEA-LEVEL TODAY AND 16.000 YEARS AGO.
- 80 Figure 10 : THE BATHYMETRY OF PART OF THE PELAGIAN SEA.
PHOTOGRAPH OF RELIEF MODEL - No Vertical Exaggeration.
- 81 Figure 11 : BLOCK DIAGRAM OF THE PELAGIAN SEA AND SURROUNDING LAND SHOWING COAST LINE VIEWED FROM ESE - 10 Times Vertical Exaggeration.
- 82 Figure 12 : THE BATHYMETRY OF THE NORWEGIAN TROUGH AREA SUPERIMPOSED ON THE PELAGIAN SEA.
- 83 Figure 13 : THE BATHYMETRY OF THE HURD DEEP SUPERIMPOSED ON THE PELAGIAN SEA.
- 84 Figure 14 : SLOPE MAP OF THE PELAGIAN SEA.
- 85 Figure 15 : A STRUCTURAL MAP OF NORTH-WEST LIBYA-PELAGIAN BASIN AND TUNISIA.
- 86 Figure 16 : RELIEF FEATURES OF TUNISIA AND NORTH-WEST LIBYA.
- Figure 17 : ARTIST'S RENDITION OF MAJOR ON-SHORE PHYSIOGRAPHIC PROVINCES.
- 88 Figure 18 : GEOLOGICAL CROSS-SECTION OF THE WESTERN PART OF THE TRIPOLITANIAN JEFFARA.

- ⑧9) Figure 19 : STRUCTURAL MAP OF TUNISIA.
- ⑨0) Map 17 : NORTH AFRICA, SHOWING THE NORTH AFRICAN COAST LINE EXTENDING FROM EAST TO WEST WITH THE ANOMALY OF THE COAST OF EASTERN TUNISIA AND THE GULF OF SIRT.
- ⑨1) Map 18 : TUNISIAN MARITIME BOUNDARY CLAIMS.
- II) Figure 20 : MARITIME BOUNDARY BETWEEN SENEGAL AND GUINEA-BISSAU IN RELATION TO ABYSSAL PLAINS [p. 182].
- II) Figure 21 : MARITIME BOUNDARY BETWEEN INDIA AND SRI LANKA IN RELATION TO ABYSSAL PLAINS [p. 182].
- II) LOCATION MAP FOR THE EASTERN MEDITERRANEAN SHOWING THE GEOGRAPHICAL NAMES USED IN THIS PAPER [p. 183].
- II) DELIMITATION IN THE *NORTH SEA CONTINENTAL SHELF* [p. 191].
- II) TUNISIAN SHEAF OF LINES [p. 192].
- II) EASTERN LIMIT OF AREA OF CONCERN [p. 193].
- II) AREA OF CONCERN [p. 195].
- II) AREA OF CONCERN AND TUNISIAN SHEAF OF LINES [p. 196].
- II) CHANGE IN DIRECTION AT RAS YONGA [p. 200].
- II) DIVERGENCE FROM THE INITIAL DIRECTION OF DELIMITATION [p. 201].
- II) LINES A AND Z [p. 202].

Documentary Annexes to the Counter-Memorial of the Libyan Arab Jamahiriya (Vol. II)

Annex 7

- ⑨2) REPRODUCTION OF THE OFFICIAL MAP OF CONCESSION NO. 137.
- REPRODUCTION OF THE MAP OF CONCESSION NO. 9. MOBIL OIL OF CANADA, LTD.

Annex 16

- ⑨3) MAP SHOWN ON LIBYAN TELEVISION IN CONNECTION WITH A STATEMENT BY MR. ATTEIGA.

Annex 18

CARTE DES CÔTES DE BARBARIE OU LES ROYAUMES DE MAROC, DE FEZ, D'ALGER, DE TUNIS ET DE TRIPOLI AVEC LES PAYS CIRCONVOISINS (M. Bonne, Paris).

Annex 64

AUSTRALIA AND ADJACENT ISLANDS - PEARL FISHERIES ACT 1952-1953.

Annex 66

ANNEXES 6 AND 7 TO THE TREATY BETWEEN AUSTRALIA AND THE INDEPENDENT STATE OF PAPUA NEW GUINEA CONCERNING SOVEREIGNTY AND MARITIME BOUNDARIES IN THE AREA BETWEEN THE TWO COUNTRIES, INCLUDING THE AREA KNOWN AS TORRES STRAIT, AND RELATED MATTERS.

Annex 85

CLASSICAL PORTS OF THE WEST MEDITERRANEAN - DISPLACEMENT RELATIVE TO PRESENT SEA-LEVEL.

Annex 107

CARTE D'ISOPACHES DES TERRAINS PLIO-QUATERNAIRES - ISOPACH MAP OF PLIO-QUATERNARY DEPOSITS.

**Technical Annexes to the Counter-Memorial
of the Libyan Arab Jamahiriya (Vol. III)**

Annex 1

Figure 1 : MEAN ANNUAL TEMPERATURE.

Figure 2 : PHYSICAL REGIONS.

Figure 3 : MEAN ANNUAL RAINFALL.

Figure 4 : SEASONAL RAINFALL.

Figure 5 : SOILS.

Figure 6 : VEGETATION.

Figure 7 : LAND USE AND CROPS.

(87) Figure 8 : GENERAL GEOLOGIC MAP OF TUNISIA AND NORTH-WEST LIBYA.

Figure 9 : HYDROGEOLOGY.

Figure 10 : TUNISIAN TOURIST INDUSTRY.

Figure 11 : TUNISIAN TOURIST INDUSTRY - INVESTMENTS AND VALUE ADDED 1962-1974.

Figure 12 : GEOGRAPHICAL DISTRIBUTION OF INVESTMENTS: A CONTINUOUS MOVE TOWARDS DECENTRALIZATION.

Figure 13 : REGIONAL INVESTMENTS DURING THE FIRST DECADE OF DEVELOPMENT.

Figure 14 : STRUCTURE OF TUNISIAN EMPLOYMENT.

Figure 15 : EVOLUTION OF FOREIGN INVESTMENT.

Annex 2, Part 1

Figure 1 : CONTRAST BOUNDARIES.

Figure 2 : NORTHERN COAST LINE OF MOROCCO.

Figure 3 : COAST LINE OF ALGERIA (1).

Figure 4 : COAST LINE OF ALGERIA (2).

Figure 5 : COAST LINE OF TUNISIA.

Figure 6 : COAST LINE OF LIBYA (1).

Figure 7 : COAST LINE OF LIBYA (2).

Figure 8 : COAST LINE OF EGYPT (1).

Figure 9 : COAST LINE OF EGYPT (2).

Annex 2, Part 2

Figure 1 : COAST LINES.

(a) COAST OF TUNISIA FROM CAPE BON TO RAS AJDIR.

(b) TRIPOLITANIAN COAST OF LIBYA.

Figure 2 : COAST LINE ORIENTATION (1).

Figure 3 : COAST LINE ORIENTATION (2).

Figure 4 : COAST LINE ORIENTATION (3).

Figure 5 : OFF-SHORE PROFILES.

Figure 6 : LAND AND SEA RELATIONSHIPS.

Annex 3

Figure 1 : LIBYAN FISHING.

Figure 2 : THE NEW PORT AT ZUARA.

Figure 3 : TUNISIAN TRIAL TRAWL POSITIONS.

Annex 4

Figure 1 : THE GRECO BANK FROM RAS AJDIR - FIVE SECTIONS.

Figure 2 : POSITION OF THE GRECO BANK (FRANCE, 1878).

Figure 3 : POSITION OF THE GRECO BANK (UNITED STATES, 1944).

Figure 4 : POSITION OF THE GRECO BANK (UNITED KINGDOM, 1957).

Figure 5 : THE GRECO BANK AND THE DISPUTED AREA.

Figure 6 : THE POSITION OF THE GRECO BANK FROM THE EVIDENCE CITED BY WITNESSES AND FROM THE TUG *JADO*.

Annex 6

Figure 1 : THE BARBARY COAST IN THE PRE-OTTOMAN PERIOD.

Figure 2 : THE EARLY OTTOMAN EMPIRE IN BARBARY.

Figure 3 : THE LATER OTTOMAN EMPIRE IN BARBARY.

Figure 4 : TRIBES IN THE JEFFARA - TWELFTH CENTURY.

Figure 5 : THE BERBER EXPANSION IN THE JEFFARA PLAIN IN THE FIFTEENTH CENTURY.

Figure 6 : TRIBES IN THE JEFFARA - EIGHTEENTH CENTURY.

Figure 7 : TRIBES IN THE JEFFARA - NINETEENTH CENTURY.

Figure 8 : TRANSHUMANCE IN THE JEFFARA - EIGHTEENTH AND NINETEENTH CENTURIES.

Figure 9 : BORDER CLAIMS.

Figure 10 : INCIDENTS OVER SPONGE FISHING RIGHTS - 1881-1914.

Annex 8

III COMMENTARY ON FIGURE 9.03 OF THE TUNISIAN MEMORIAL.

III COMMENTARY ON FIGURE 9.04 OF THE TUNISIAN MEMORIAL.

III COMMENTARY ON FIGURE 9.05 OF THE TUNISIAN MEMORIAL.

III COMMENTARY ON FIGURE 9.06 OF THE TUNISIAN MEMORIAL.

III COMMENTARY ON FIGURE 9.07 OF THE TUNISIAN MEMORIAL.

III COMMENTARY ON FIGURE 9.08 OF THE TUNISIAN MEMORIAL.

III COMMENTARY ON FIGURE 9.09 OF THE TUNISIAN MEMORIAL.

III COMMENTARY ON FIGURE 9.10 OF THE TUNISIAN MEMORIAL.

III COMMENTARY ON FIGURE 9.11 OF THE TUNISIAN MEMORIAL.

III COMMENTARY ON FIGURE 9.12 OF THE TUNISIAN MEMORIAL.

III COMMENTARY ON FIGURE 9.13 OF THE TUNISIAN MEMORIAL.

Annex 10

- Plate 1 : HYDROCARBON SYSTEMS - ALGERIA, TUNISIA AND LIBYA. AGE OF RESERVOIR.
- Plate 2 : OIL AND GAS WELLS AND FIELDS LOCATION MAP - ALGERIA, TUNISIA AND LIBYA.
- Plate 3 : LOWER CRETACEOUS PLAY MAP - SIRT - PELAGIAN BASINS.
- Plate 4 : UPPER CRETACEOUS PLAY MAP - SIRT - PELAGIAN BASINS.
- 63) Plate 5 : LOWER EOCENE PLAY MAP - SIRT - PELAGIAN BASINS.

Annex 11.

- Figure 1 : LOCATION OF THE AREA UNDER CONSIDERATION (PELAGIAN SEA) WITHIN THE MEDITERRANEAN SEA.
- Figure 2 : SCHEME OF MEDITERRANEAN TECTONICS.
- Figure 3 : DISTRIBUTION OF LAND AND SEA IN THE MEDITERRANEAN REGION AT ABOUT 15 MILLION YEARS BEFORE PRESENT (MIDDLE MIocene TIME).
- 115) Figure 4 : TECTONIC SKETCH OF THE PELAGIAN BLOCK.
- Figure 5 : LITHOLOGY OF THE PELAGIAN SEA.
- Figure 6 : TECTONIC MAP OF TUNISIA AND THE WESTERN PELAGIAN BLOCK.
- Figure 7 : STRUCTURAL FEATURES OF THE PELAGIAN BLOCK.
- Figure 8 : LOCATION OF CONTINUOUS SEISMIC PROFILES.
- Figure 9 : GENERAL CHARACTER OF GRAVITY ANOMALIES (BOUGUER ANOMALIES) IN THE MEDITERRANEAN AREA.
- Figure 10 : TOTAL MAGNETIC INTENSITY WITHIN CENTRAL MEDITERRANEAN AREA.
- 84) Figure 11 : SLOPE MAP OF THE PELAGIAN SEA.
- Figure 12 : DISTRIBUTION OF WELLS AND GEOLOGICAL CROSS-SECTIONS AND MAJOR GEOLOGICAL FEATURES OF THE WESTERN PART OF THE TRIPOLITANIAN JEFFARA.
- Figure 13 : COMPOSITION OF DIFFERENT BATHYMETRIC CHARTS.

Annex 12 A

- Figure 1 : VISUAL EFFECT OF VARIATION IN DENSITY OF CONTOURING.
- Figure 2 : MAP 4 OF THE TUNISIAN MEMORIAL - AN ALTERNATIVE INTERPRETATION.
- Figure 3 : MAP 5 OF THE TUNISIAN MEMORIAL - AN ALTERNATIVE INTERPRETATION.
- Figure 4 : MAP 6 OF THE TUNISIAN MEMORIAL - AN ALTERNATIVE INTERPRETATION.
- Figure 5 : *FACIES* MAP OF SEDIMENTS OF JURASSIC AGE - TUNISIA.
- Figure 6 : *FACIES* MAPS OF SEDIMENTS OF CRETACEOUS AND TERTIARY AGE - TUNISIA.
- Figure 7 : ISOPACH MAPS OF MESOZOIC AND TERTIARY SEDIMENTS - TUNISIA AND NORTH-WEST LIBYA.
- Figure 8 : COMBINED *FACIES* AND ISOPACH MAP OF EOCENE SEDIMENTS - TUNISIA.

- (85) Figure 9 : A STRUCTURAL MAP OF NORTH-WEST LIBYA - PELAGIAN BASIN AND TUNISIA.
- Figure 10 : COMPARATIVE CROSS-SECTIONS OF THE SIRT BASIN AND THE PELAGIAN BASIN.
- Figure 11 : RELATIONSHIPS OF CONTINENTAL MASSES AT THE BEGINNING OF TRIASSIC TIMES.
- Figure 12 : ISOPACH MAP OF DEVONIAN SEDIMENTS IN SOUTHERN TUNISIA AND NORTH-WESTERN LIBYA.
- Figure 13 : ISOPACH MAP OF CARBONIFEROUS SEDIMENTS IN SOUTHERN TUNISIA AND NORTH-WESTERN LIBYA.
- (94) Figure 14 : TECTONIC DEVELOPMENT OF THE AFRICAN AND EUROPEAN PLATES FROM LATE MESOZOIC TO LATE TERTIARY TIMES.
- Figure 15 : POSTULATED PATTERN OF THE BREAK-UP OF THE NORTH AFRICAN PLATE MARGIN IN LATE CRETACEOUS AND EARLY EOCENE TIMES.

Annex 12 B.

- Figure 1 : A. MESOZOIC AND TERTIARY SHORE/ZERO LINE TRENDS IN THE SOUTHERN PELAGIAN BASIN.
B. DETAILED PATTERN OF FAULTS IN THE GABES-TRIPOLI BASIN.
- Figure 2 : RIEDEL SHEAR PATTERNS.
- Figure 3 : A. MESOZOIC SHORE/ZERO LINE TRENDS IN THE SOUTHERN PELAGIAN BASIN.
B. AND C. SALT WALL TRENDS.
- Figure 4 : A. TERTIARY SHORE/ZERO LINE TRENDS IN THE SOUTHERN PELAGIAN BASIN.
B. PALEOCENE SHORELINE TRENDS IN DETAIL.
C. DETAILS OF LATE CRETACEOUS-EARLY PALAEOCENE SHORELINES (EL HARRA FORMATION).

**Oral Arguments on Application for
Permission to Intervene - Plaidoiries
sur la requête à fin d'intervention.**

- (95) MEDITERRANEAN SEA - CAP BON TO TÓBRUCH. with delimitation and other lines.

Réplique de la Tunisie

- (96) Carte 1.01 : PLAN DE SITUATION DES PERMIS DANS LE GOLFE DE GABÈS.
- II Figure 1.01 : CARTE DES FONDS SPONGIFÈRES DE LA RÉGENCE [contre-mémoire de la Jamahiriya arabe libyenne. p. 42].
- (97) Figure 1.02 : CARTE DES BANCS D'ÉPONGE DE LA RÉGION SUD.
- (98) Figure 1.03 : GOLFE DE GABÈS.
- (99) Figure 1.04 : INTERPRÉTATION LIBYENNE DE LA LINÉE INCLINÉE VERS LE NORD-EST ($2^{\circ} 15'$ ET 8°) PORTÉE SUR LA CARTE PUBLIÉE PAR LES TRAVAUX PUBLICS DE TUNISIE (1904).
- (100) Carte 2.01 : LES RIDES DE ZIRA ET DE ZOUARA.

- Carte 2.02 : EXEMPLE DE DENSITÉ DE PROFILS D'ÉCHOSONDEUR ENREGISTRÉS AU COURS D'ÉTUDES SISMIQUES ET AYANT SERVI À METTRE À JOUR LA CARTE BATHYMIÉTRIQUE 2.03.
- Planche 2.01 : ECHOGRAMMES PASSANT À TRAVERS CERTAINES FALAISES BORDANT LA PARTIE EST DU PLATEAU TUNISIEN.
- Planche 2.02 : ECHOGRAMMES PASSANT À TRAVERS CERTAINES FALAISES BORDANT LA PARTIE EST DU PLATEAU TUNISIEN.
- 101** Carte 2.03 : CARTE BATHYMIÉTRIQUE DE LA MER PÉLAGIENNE.
- 102** Carte 2.04 : CARTE PHYSIOGRAPHIQUE.
- IV** Figure 3.01 : POSITION DE LA LIGNE ISSUE DE RAS AJDIR CONFORMÉMENT À LA MÉTHODE PRÉCONISÉE PAR LA LIBYE DANS LE CAS OÙ LE TRONÇON DE LA CÔTE TUNISIENNE ENTRE RAS AJDIR ET GABÈS OCCUPE UNE POSITION HORIZONTALE [p. 58].
- IV** Figure 3.02 : POSITION DE LA LIGNE ISSUE DE RAS AJDIR CONFORMÉMENT À LA MÉTHODE PRÉCONISÉE PAR LA LIBYE DANS LE CAS OÙ LE TRONÇON DE LA CÔTE TUNISIENNE ENTRE RAS AJDIR ET RAS YONGA OCCUPE UNE POSITION HORIZONTALE [p. 59].
- IV** Figure 3.03 : SUPERPOSITION DE L'AREA OF CONCERN ET DE LA LIGNE DE DÉLIMITATION DU PLATEAU CONTINENTAL ENTRE LA TUNISIE ET L'ITALIE [p. 62].
- II** Figure 3.04 : DÉLIMITATION DU PLATEAU CONTINENTAL DE LA MER DU NORD [contre-mémoire de la Jamahiriya arabe libyenne, p. 191].

Annexes à la réplique de la Tunisie

Annexe 7-I

ZONES DE PÊCHE.

Annexe 12

- III** Figure 9.03 : [Annexes techniques au contre-mémoire de la Jamahiriya arabe libyenne, annexe 8, p. 1.]
- III** Figure 9.04 : [*Ibid.*, p. 2.]
- III** Figure 9.05 : [*Ibid.*, p. 3.]
- IV** Figure 9.06 bis : EFFET D'AMPUTATION [réplique de la Tunisie, p. 53].
- III** Figure 9.07 : [Annexes techniques au contre-mémoire de la Jamahiriya arabe libyenne, annexe 8, p. 6.]
- III** Figure 9.08 : [*Ibid.*, p. 7.]

Reply of the Libyan Arab Jamahiriya

- 103** Map 1 : GREEK FISHING BOATS ARRESTS - 1913.
- 77** Figure 1 : PELAGIAN BASIN.
- 104** Figure 2 : ZONES OF TECTONIC TRENDS IN NORTH-WEST LIBYA AND TUNISIA.
- 105** Figure 3 : STRUCTURAL MAP OF THE MEDITERRANEAN AREA.
- 106** Figure 4 : ROLE OF MICROPLATES IN THE MEDITERRANEAN BASINS.
- 107** Figure 5 : LIMIT OF THE SAHARA AND OF THE RAGUSA PLATEAU.

- (106) Figure 6 : MESOZOIC SHORELINE.
- (109) Figure 7 : RELATIVE OCCURRENCES OF OIL AND GAS ACCORDING TO AGE OF RESERVOIR.
- (110) Figure 8 : SEA-BED AND WELL DEPTHS IN THE OFF-SHORE PELAGIAN BASIN.
- (111) Figure 9 : A STAGE OF THE CRETACEOUS OR NUMMULITIC IN THE AREA BORDERING THE AFRICAN PROMONTORY.
- IV Diagram 1 : TUNISIAN SHEAF OF LINES AND FORMER TUNISIAN POSITION [p. 52].
- IV Diagram 2 : DIVERGENCE FROM THE INITIAL DIRECTION OF DELIMITATION [p. 62].
- IV Diagram 3 : TUNISIAN SHEAF OF LINES [p. 63].

Annexes to the Reply of the Libyan Arab Jamahiriya.

Annex I-2

- I REPRODUCTION OF MAP No. 1 ATTACHED TO PETROLEUM REGULATION NO. 1 [Memorial of the Libyan Arab Jamahiriya. p. 15].

Annex I-31

- CARTE DES PRINCIPALES LIGNES TECTONIQUES DE LA TUNISIE CENTRALE.
- CARTE DES TECTOFACIÈS DE LA FORMATION ZEBBAG ET DE SES ÉQUIVALENTS LATÉRAUX - CÉNOMANIEN ET TURONIEN INFÉRIEUR.
- CARTE DES TECTOFACIÈS DES ARGILES DE L'ALEG - TURONIEN-SÉNONIEN INFÉRIEUR ET CAMPANIEN.

Annex I-33

- SCHÉMA TECTONIQUE DE LA TUNISIE.

Annex I-36

- TECTONIC MAP OF TUNISIA.

Annex II-3

- Figure 1 : CHALEUR BAY, CANADA.
- Figure 2 : MIRAMICHI BAY, CANADA.
- Figure 3 : EGMONT BAY, CANADA.
- Figure 4 : ST. ANN'S BAY, CANADA.
- Figure 5 : FORTUNE BAY, CANADA.
- Figure 6 : BARRINGTON BAY, CANADA.
- Figure 7 : ST. PETER'S BAY AND CHEDABUCTO BAY, CANADA.
- Figure 8 : MIRA BAY, CANADA.
- Figure 9 : PLACENTIA BAY, CANADA.
- Figure 10 : ST. MARY'S BAY, CANADA.
- Figure 11 : VARANGERFJORD, NORWAY.
- Figure 12 : VESTFJORD, NORWAY.
- Figure 13 : CONCEPTION BAY, CANADA.
- Figure 14 : SKELDERVIKEN AND LAHOLM BAY, SWEDEN.

- Figure 15 : CANCALE BAY (OR GRANVILLE BAY). FRANCE.
 Figure 16 : GULF OF TUÑIS. TUNISIA.
 Figure 17 : DELAWARE BAY. UNITED STATES.
 Figure 18 : CHESAPEAKE BAY. UNITED STATES.
 Figure 19 : BUZZARDS BAY. UNITED STATES.
 Figure 20 : LONG ISLAND SOUND. UNITED STATES.
 Figure 21 : SHARK BAY. AUSTRALIA.
 Figure 22 : VAN DIEMEN GULF (OR VAN DIEMAN GULF). AUSTRALIA.
 Figure 23 : EXMOUTH GULF. AUSTRALIA.
 Figure 24 : HUDSON BAY. CANADA.
 Figure 25 : STALIN BAY AND GULF OF BURGAS. BULGARIA.
 Figure 26 : EL ARAB BAY. EGYPT.
 Figure 27 : GULF OF SOLUM. EGYPT.
 Figure 28 : ABU HASHAIFA BAY. EGYPT.
 Figure 29 : PELUSIUM BAY. EGYPT.
 Figure 30 : EL ARISH BAY. EGYPT.
 Figure 31 : SADO ESTUARY AND TAGUS ESTUARY. PORTUGAL.
 Figure 32 : PALK BAY. SRI LANKA.
 Figure 33 : BIGHT OF BANGKOK. THAILAND.
 Figure 34 : PETER THE GREAT BAY. USSR.
 Figure 35 : BELOYE MORE. USSR.
 Figure 36 : KARA SEA. USSR.
 Figure 37 : LAPTEV SEA. USSR.
 Figure 38 : EAST SIBERIAN SEA. USSR.
 Figure 39 : BRISTOL CHANNEL. UNITED KINGDOM.
 Figure 40 : FIRTH OF CLYDE. UNITED KINGDOM.
 Figure 41 : MORAY FIRTH. UNITED KINGDOM.

Annex II-4

- Map 1 : AREA OF BLOCK-DIAGRAM.
 Map 2 : AREA OF BLOCK-DIAGRAM.
 Map 3 : COMPARISON OF THE EXTENSION OF THE AREA UNDER CONSIDERATION WITH THE SIZE OF BELGIUM.
 VIEW FROM WNW - $\text{PHI } 290^\circ \cdot \text{THETA } 10^\circ$ - 10 TIMES VERTICAL EXAGGERATION.
 VIEW FROM 290° WNW- $\text{THETA } 10^\circ$ - 10 TIMES VERTICAL EXAGGERATION.
 VIEW FROM WNW - $\text{PHI } 290^\circ \cdot \text{THETA } 10^\circ$ - NO VERTICAL EXAGGERATION.
 VIEW FROM WNW - $\text{PHI } 290^\circ \cdot \text{THETA } 10^\circ$ - 10 TIMES VERTICAL EXAGGERATION.
 VIEW FROM WNW - $\text{PHI } 290^\circ \cdot \text{THETA } 12^\circ$ - 25 TIMES VERTICAL EXAGGERATION.
 VIEW FROM SSW - $\text{PHI } 290^\circ \cdot \text{THETA } 10^\circ$ - 10 TIMES VERTICAL EXAGGERATION.

- VIEW FROM 215 SSW-*THETA* 10° - 10 TIMES VERTICAL EXAGGERATION.
 VIEW FROM SSW - *PHI* 215°-*THETA* 10° - NO VERTICAL EXAGGERATION.
 VIEW FROM SSW - *PHI* 215°-*THETA* 10° - 10 TIMES VERTICAL EXAGGERATION.
 VIEW FROM SSW - *PHI* 215°-*THETA* 12° - 25 TIMES VERTICAL EXAGGERATION.

Annex II-6

- Figure 1 : PLATE TECTONICS - A DIAGRAMMATIC REPRESENTATION AND SUMMARY.
 Figure 2 : PLATE MAP.
 Figure 3 : SEQUENCE OF EVENTS DURING RIFTING AND DRIFTING STAGE.
 Figure 4 : LOCATION MAP FOR PROFILES OFF EASTERN NORTH AMERICA.
 Figure 5 : SUMMARY GEOLGIC CROSS-SECTIONS ACROSS THE CONTINENTAL MARGIN OF NORTH AMERICA.
 Figure 6 : CRUSTAL EXTENSION MODELS.
 Figure 7A : SUBSIDENCE EXTENSION MODEL.
 Figure 7B : HEAT FLOW EXTENSION MODEL.
 Figure 8 : SEDIMENT CROSS-SECTION - BAY OF BISCAY.
 (112) Figure 9 : LOCATION MAP OF GEOLOGIC PROFILES AND WELLS FROM THE NORTH COAST OF LIBYA.
 (113) Figure 10 : GEOLOGIC CROSS-SECTION ACROSS THE NORTHERN MARGIN OF LIBYA.
 (114) Figure 11 : GEOLOGIC CROSS-SECTION ACROSS THE NORTHERN MARGIN OF LIBYA.
 Figure 12 : SUBSIDENCE HISTORY OF THREE WELLS OFF THE NORTH COAST OF LIBYA.
 Figure 13 : CROSS-SECTION OF THE EGYPTIAN CONTINENTAL MARGIN.
 Figure 14 : SUBSIDENCE HISTORY OF A WELL IN NORTHERN EGYPT.

Annex II-7

- Figure 1 : FRACTURES - SYNOPSIS OF FRACTURES OF THE PELAGIAN SEA AREA AND ADJACENT AREAS.
 Figure 1A : REGIONAL TECTONIC STRUCTURES - SYNOPSIS OF REGIONAL (I.E., LARGE-SCALE) STRUCTURES FROM THE PELAGIAN SEA AREA AND ADJACENT AREAS.
 Figure 2 : FRACTURES - COMPARISON OF FAULTS FROM MAPS ES-1 AND ES-6 OF THE TUNISIAN COUNTER-MEMORIAL.
 Figure 3 : FRACTURES - AREAS OF AGREEMENT BETWEEN TWO OR MORE AUTHORS.
 Figure 4 : FOLDS - SYNOPSIS OF ANTICLINAL AXES AND UNDIFFERENTIATED "AXES OF FOLDS".
 Figure 5 : DIAPIRS AND SALT STRUCTURES - SYNOPSIS OF DIAPIRS AND SALT STRUCTURES WITHIN THE PELAGIAN SEA AND TUNISIAN MAINLAND.

Annex II-8, Part I

Figure 1 : CHOTT EL Djerid.

Annex II-8, Part 2

(115) Figure 1 : TECTONIC FEATURES OF THE PELAGIAN BLOCK.

Figure 2 : MAP ES-1 FROM THE TUNISIAN COUNTER-MEMORIAL - PRINCIPAL FEATURES OF THE PELAGIAN BLOCK.

Annex II-9

Figure 1 : TUNISIA-SIRT GEOSYNCLINE.

Figure 2 : PHYSIOGRAPHIC DIAGRAM OF THE FLOOR OF THE ATLANTIC OCEAN.

Figure 3 : SIMPLIFIED VERSION OF FIGURE 2 SHOWING ONLY CONTINENTAL RISES AND ABYSSAL PLAINS.

Figure 4 : DISTRIBUTION OF ABYSSAL PLAINS WITHIN THE IONIAN SEA AND VICINITY.

Annex II-10

Map 1 : TUNISIAN BASE MAP FOR FIGURES 7.01-7.06 OF THE TUNISIAN COUNTER-MEMORIAL WITH AN OVERLAY OF MERCATOR PROJECTION CENTRED ON 15° E AND 32° N.

Map 2 : AZIMUTHAL EQUAL AREA PROJECTION.

Map 3 : AZIMUTHAL EQUAL AREA PROJECTION.

Oral arguments - Plaidoiries¹

Figures 1 à 5 : MÉTHODES DE DÉLIMITATION [audience du 25 septembre 1981].

(116) PORTION OF OFFICIAL MAP OF PETROLEUM CONCESSIONS IN LIBYA.

(117) LOCATION OF ZOHRA, ISIS AND SCARABEO IV.

(118) LIBYAN AND TUNISIAN COASTS.

(119) TUNISIAN 1973 BASELINES AND TERRITORIAL SEA, 50-METRE ISOBATH AND 1962 TERRITORIAL SEA.

(120) DELIMITATION OF "PLATEAU TUNISIEN".

(121) 1964, 1965, 1966 AND 1972 TUNISIAN CONCESSIONS AND 1968 AND 1974 LIBYAN CONCESSIONS.

(122) LIBYAN PETROLEUM ACTIVITIES AND CONCESSIONS.

V LIGNE LIBYENNE DE 20° [audience du 14 octobre 1981].

V ZONE DU BLOCUS ITALIEN [audience du 14 octobre 1981].

(123) PLAN DE SITUATION DES PERMIS DANS LE GOLFE DE GABÈS.

(124) FORAGES TUNISIENS DANS LA ZONE DE CHEVAUCHEMENT.

(125) ZONE TAMPON SELON LES INSTRUCTIONS ITALIENNES DE 1919 ET 1931.

¹ See prefatory note. - Voir note liminaire.

- (126) SITUATION DES LIGNES LIBYENNES A ET Z PAR RAPPORT AUX EAUX TUNISIENNES.
- (127) CARTE DES FONDS SPONGIFÈRES DE LA RÉGENCE AVEC EMPLACEMENT DES INCIDENTS DE 1899, 1900 ET 1910.
- V FIGURES A À D : MÉTHODES DE DÉLIMITATION [audience du 15 octobre 1981].
- V FIGURE E : CONSTRUCTION DES PARALLÉLOGRAMMES APPLIQUÉS AUX CÔTES RÉELLES [audience du 15 octobre 1981].
-

**MAPS, CHARTS AND
ILLUSTRATIONS**

**CARTES
ET ILLUSTRATIONS**

PERMIS DE RECHERCHES
PETROLIERES ACCORDES PAR
LA TUNISIE

3 = PERMIS GOLFE DE GABES COMPLEMENTAIRE

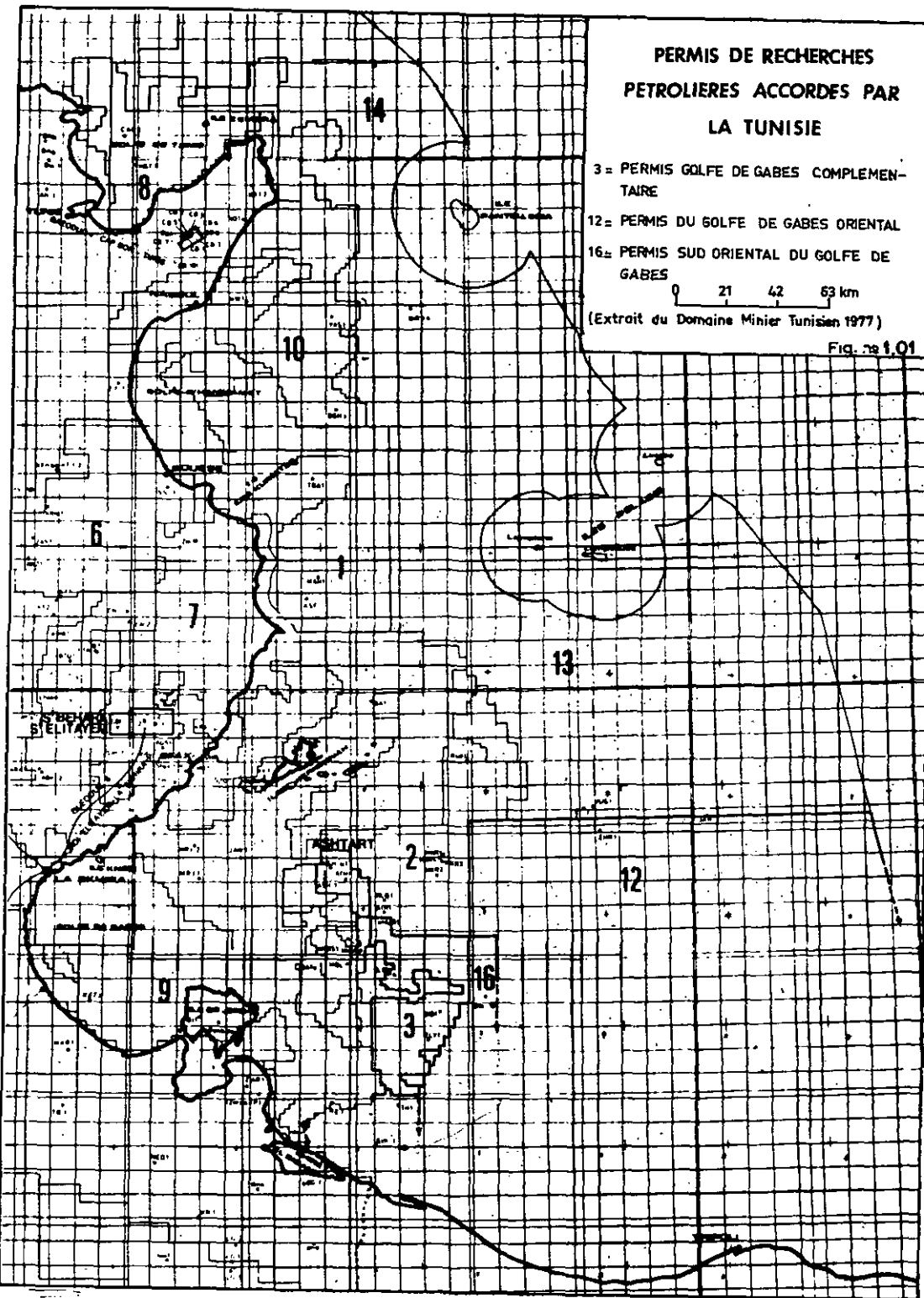
12 = PERMIS DU GOLFE DE GABES ORIENTAL

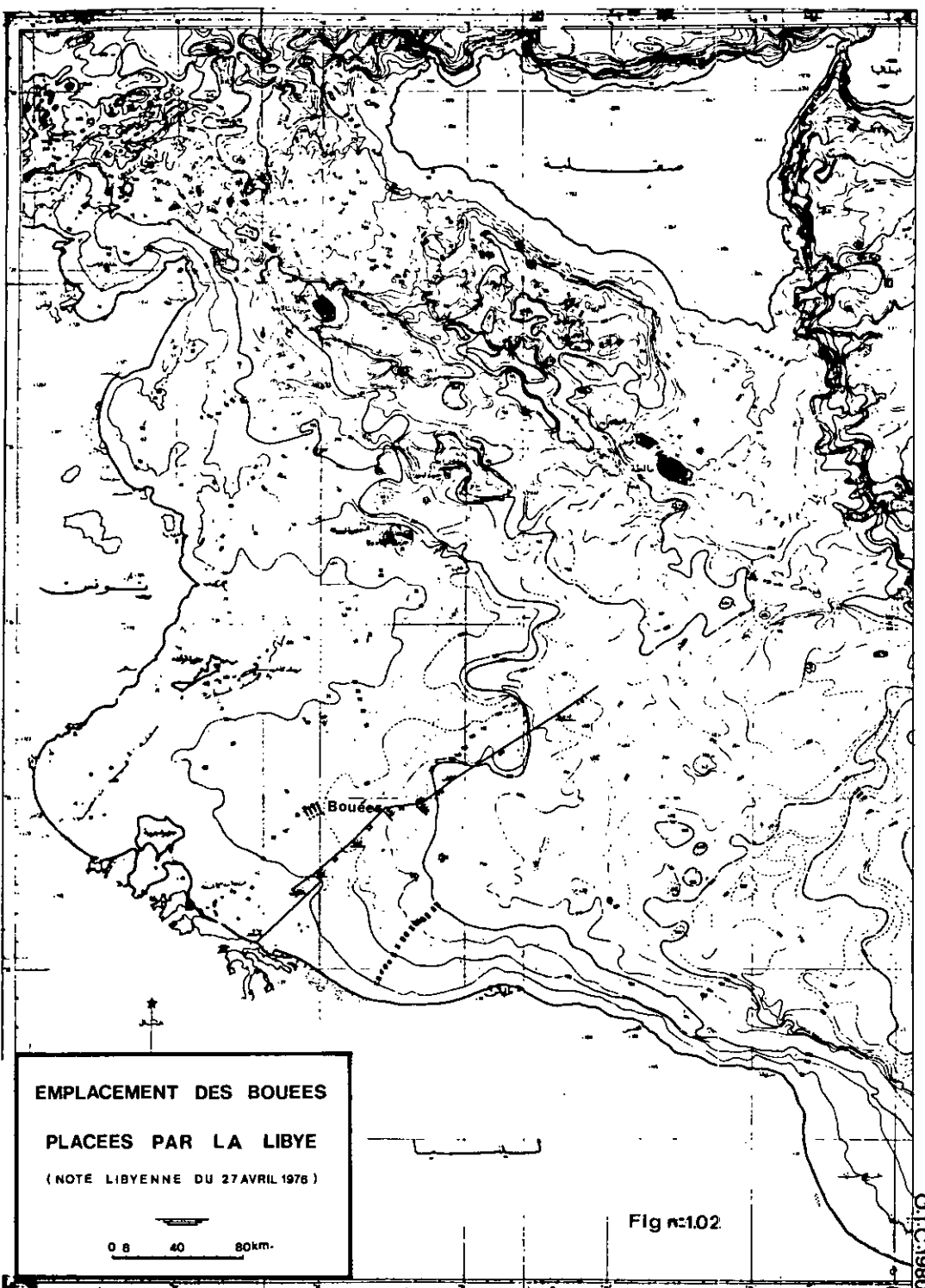
16 = PERMIS SUD ORIENTAL DU GOLFE DE
GABES

0 21 42 63 km

(Extrait du Domaine Mihier Tunisien 1977)

Fig. n° 1.01

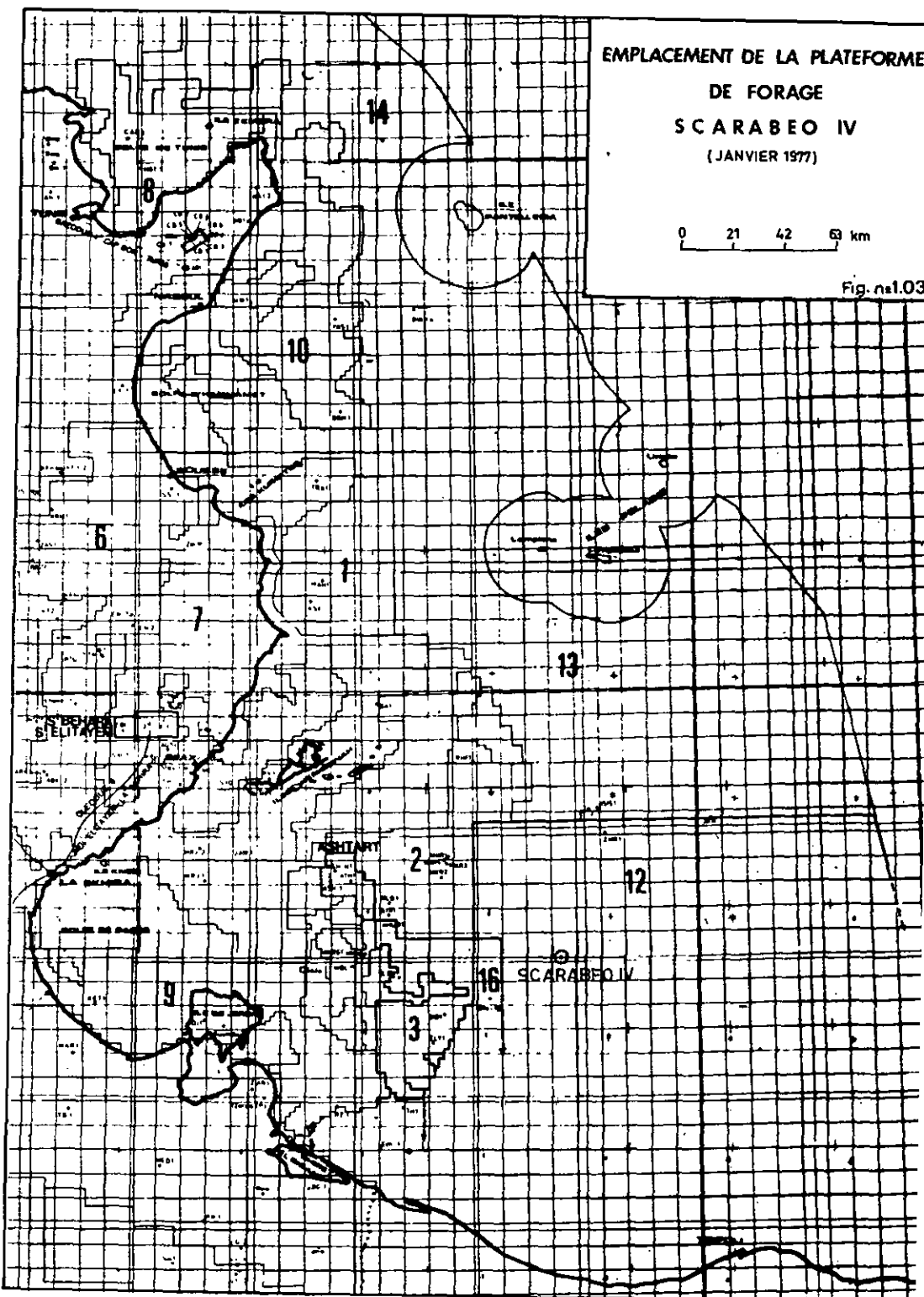




EMPLACEMENT DE LA PLATEFORME
DE FORAGE
SCARABEO IV
(JANVIER 1977)

0 21 42 63 km

Fig. n°1.03

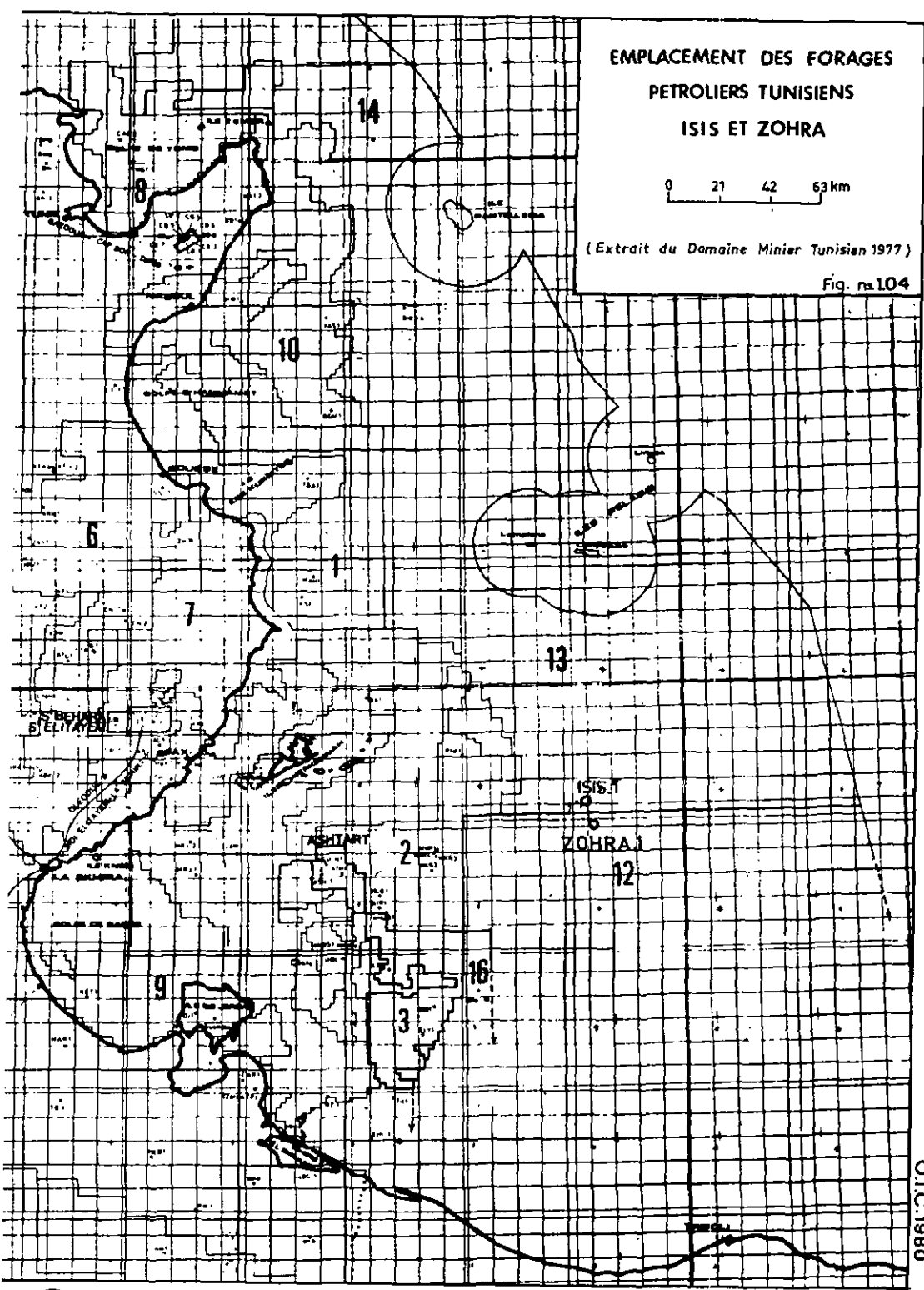


EMPLACEMENT DES FORAGES
PETROLIERS TUNISIENS
ISIS ET ZOHRA

0 21 42 63 km

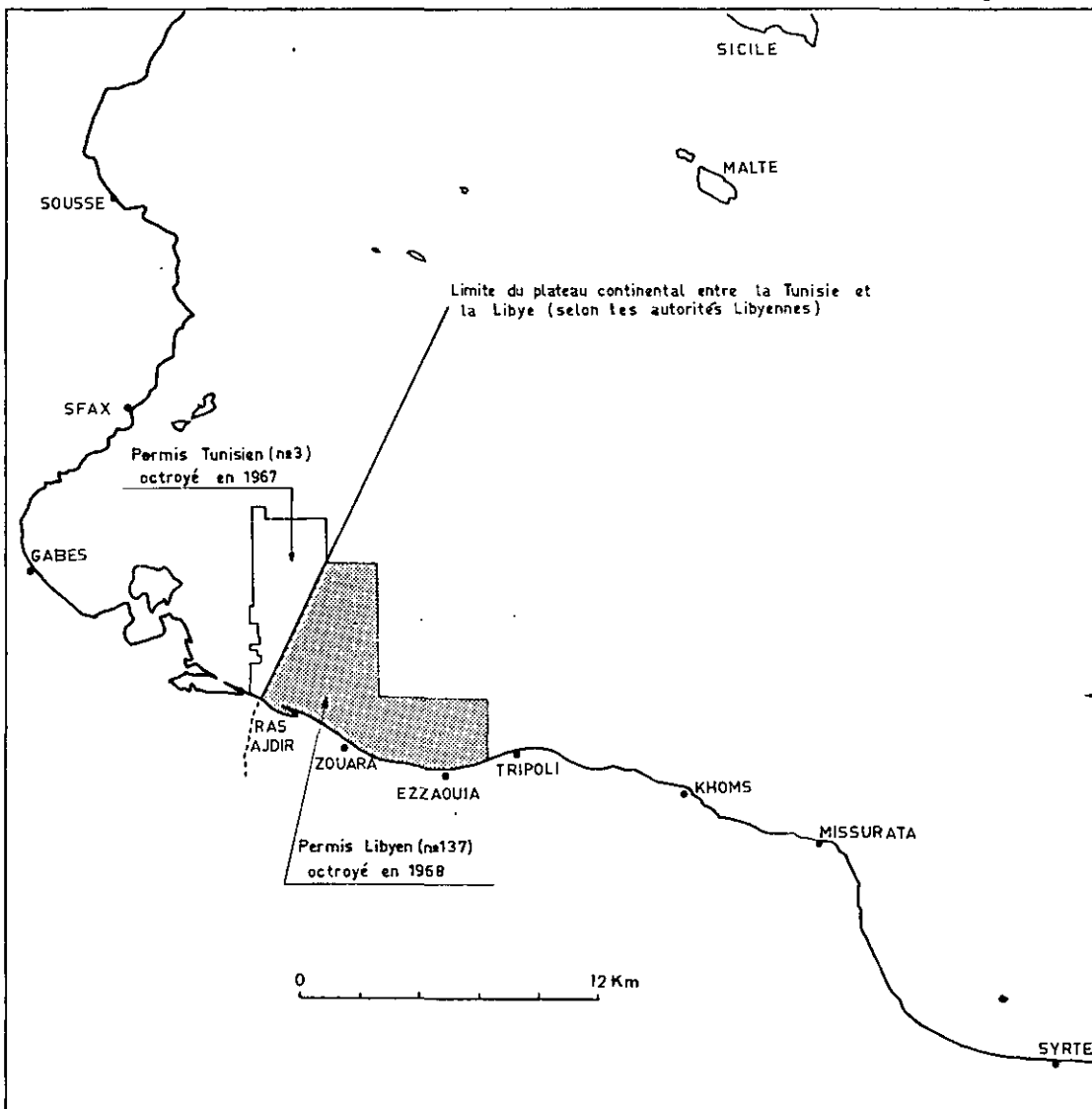
(Extrait du Domaine Minier Tunisien 1977)

Fig. n°104



DELIMITATION DU PERIMETRE DU PERMIS LIBYEN DIT DE ZOUARA

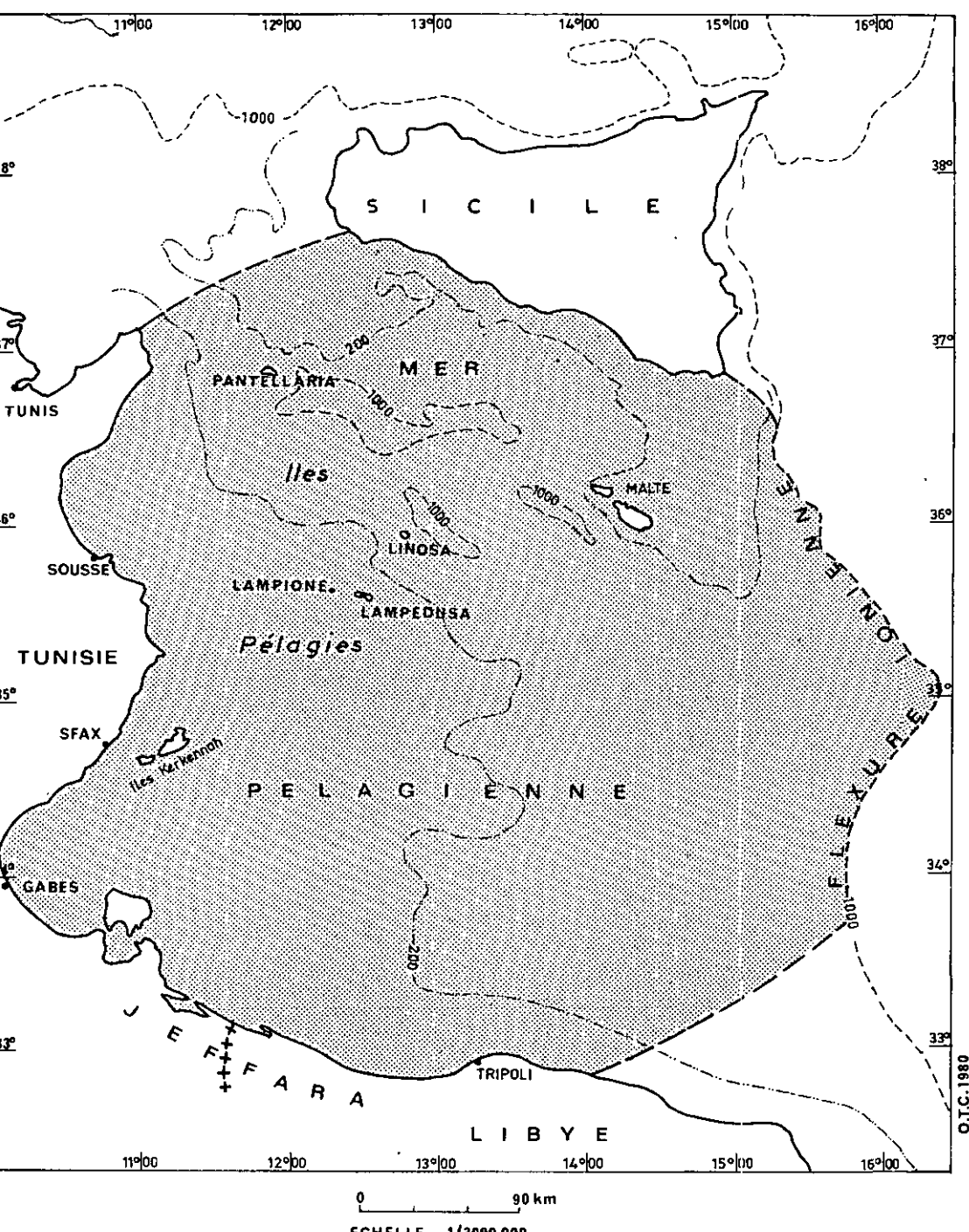
Fig n° 1.05



SOURCES : Carte présentée et commentée à la Télévision Libyenne, le 29 Mai 1977 et reproduite par Al-Fajr et-jedid, (Ouotidien Libyen) le 31 Mai 1977.

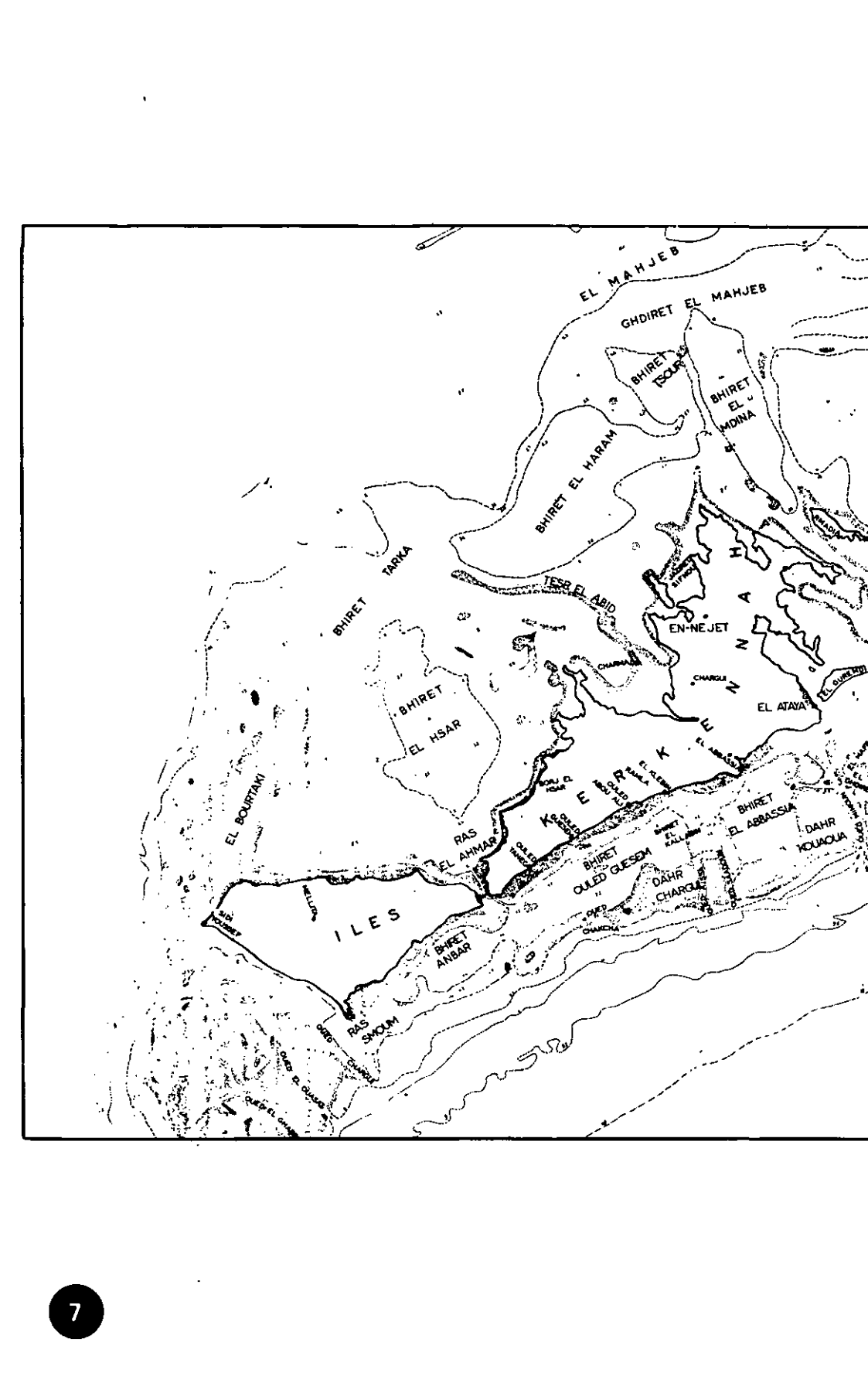
Fig. n° 3.02

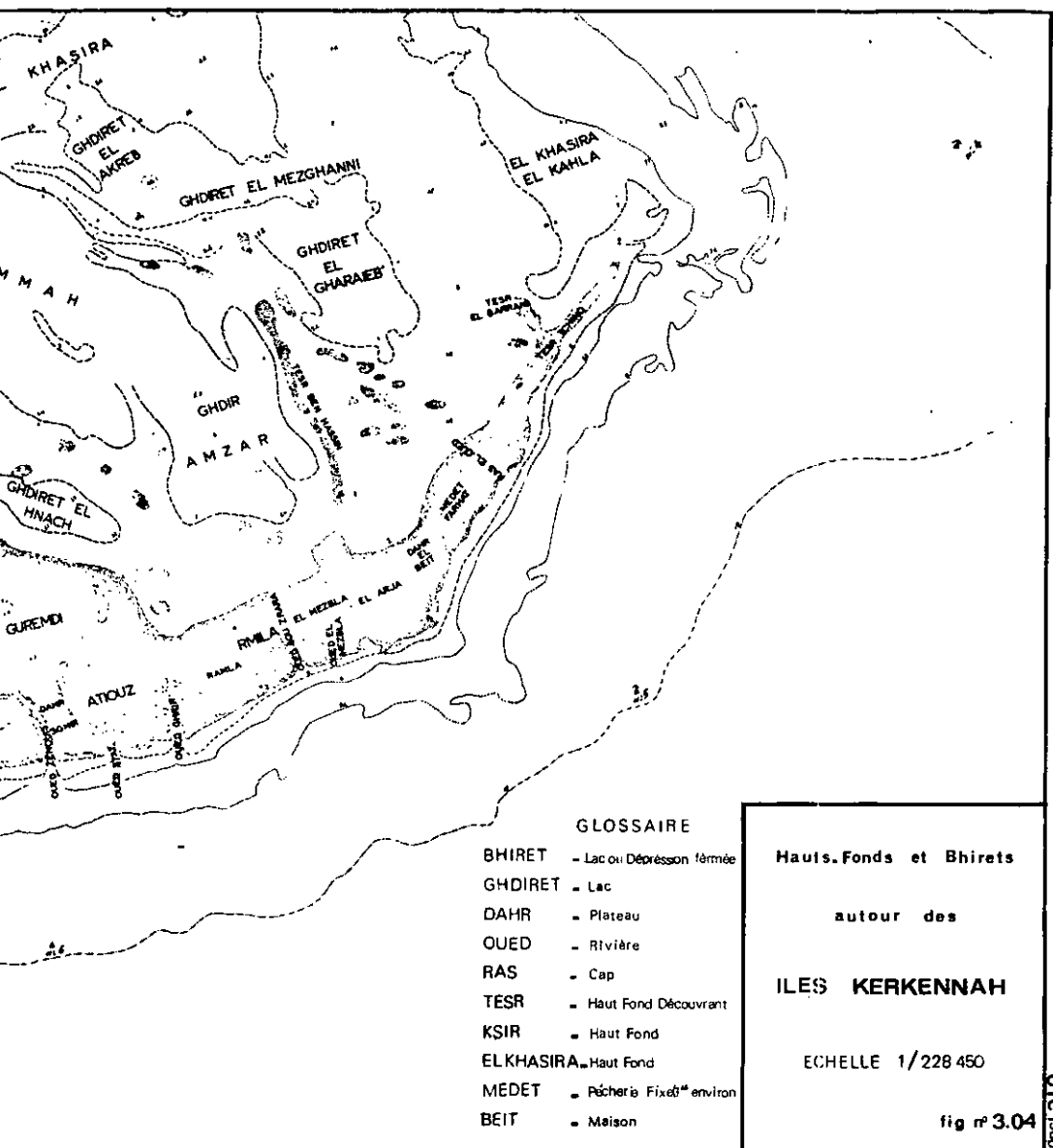
MER PELAGIENNE

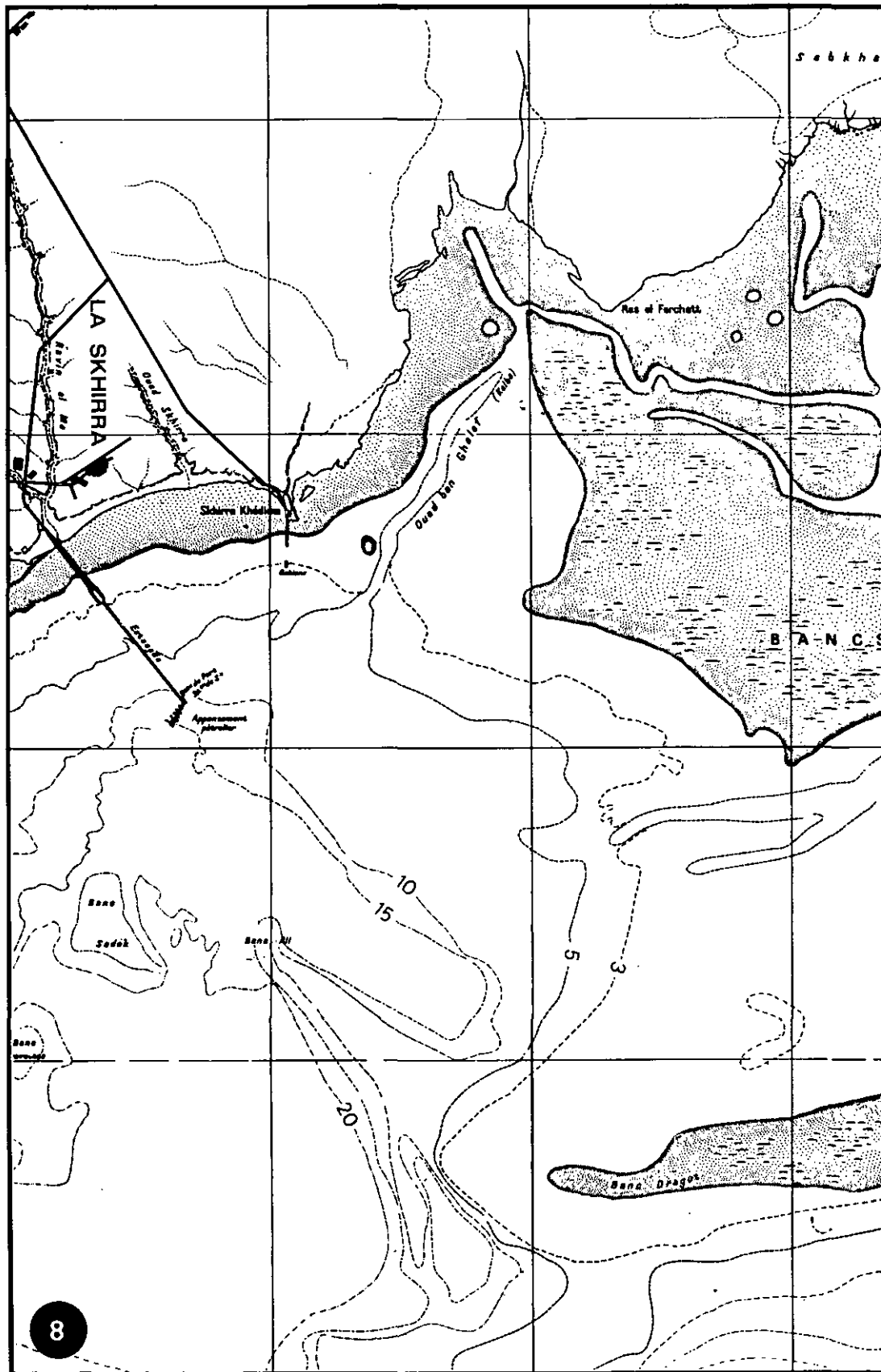


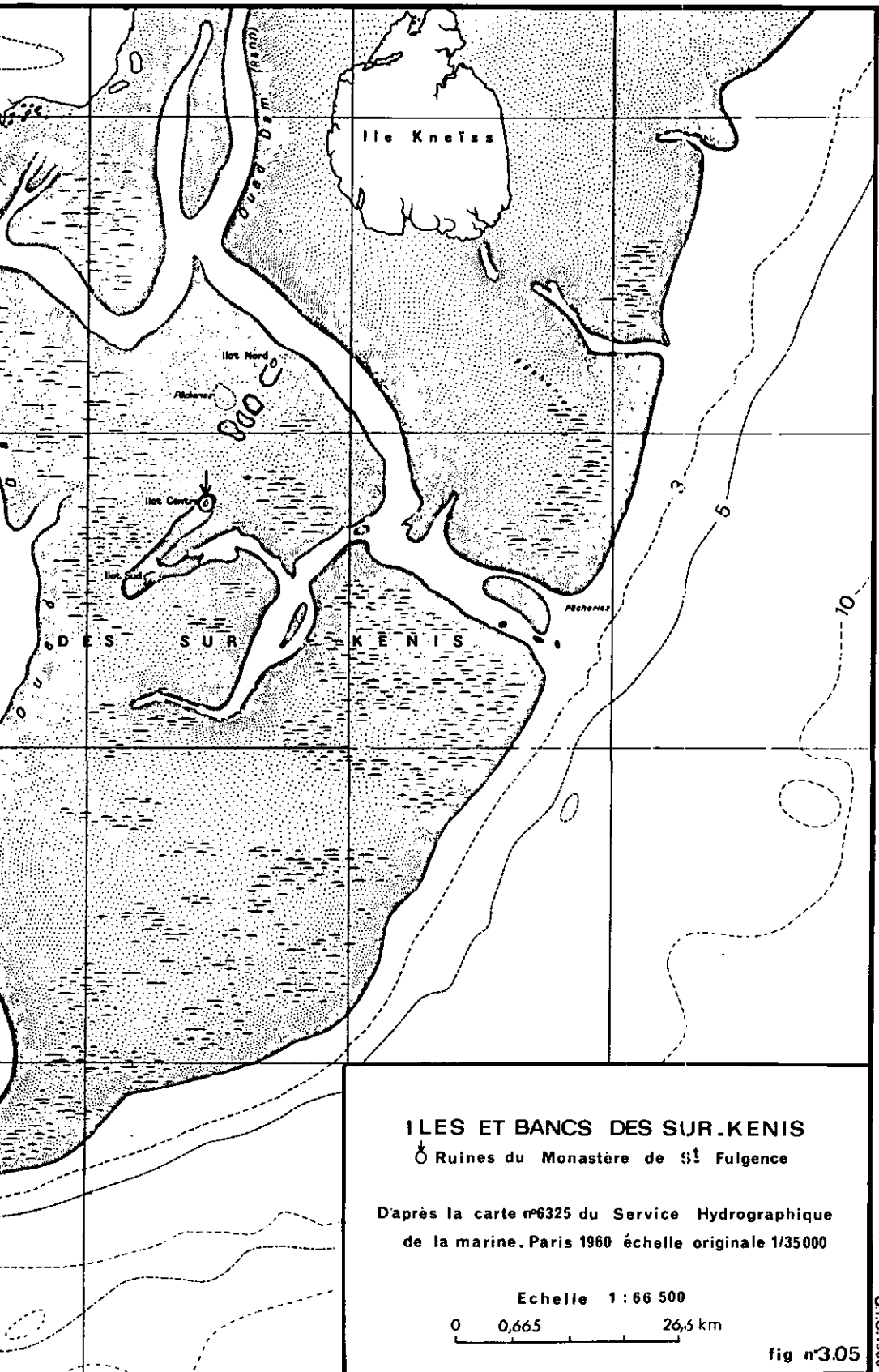
SOURCES: D'après - G. Gastany; essai de synthèse géologique du territoire Tunisie-Sicile; Tunis, 1956 pp. 82-83

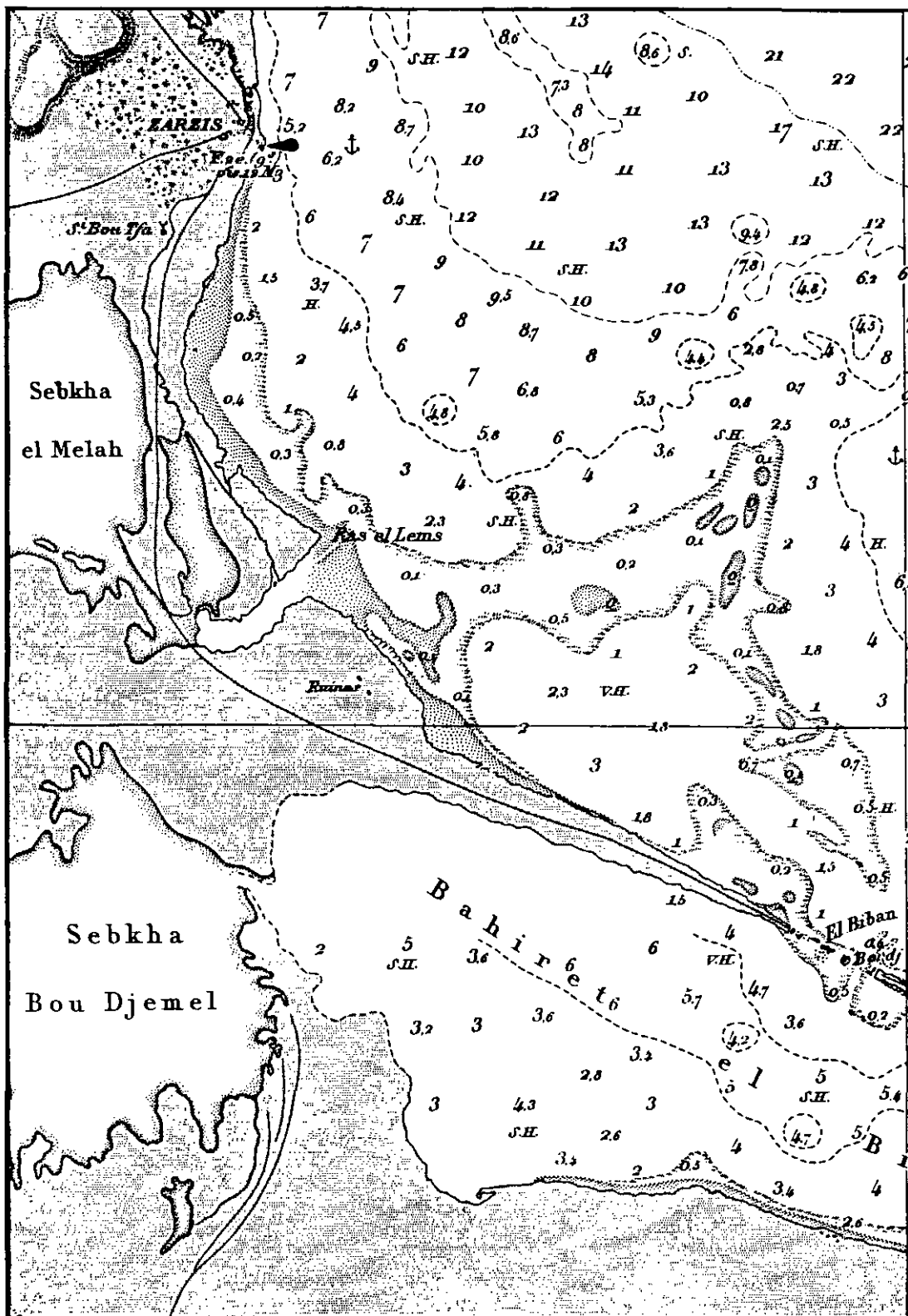
(P.E. Burrollet, in la Mer Pélagienne 1979 p.14)











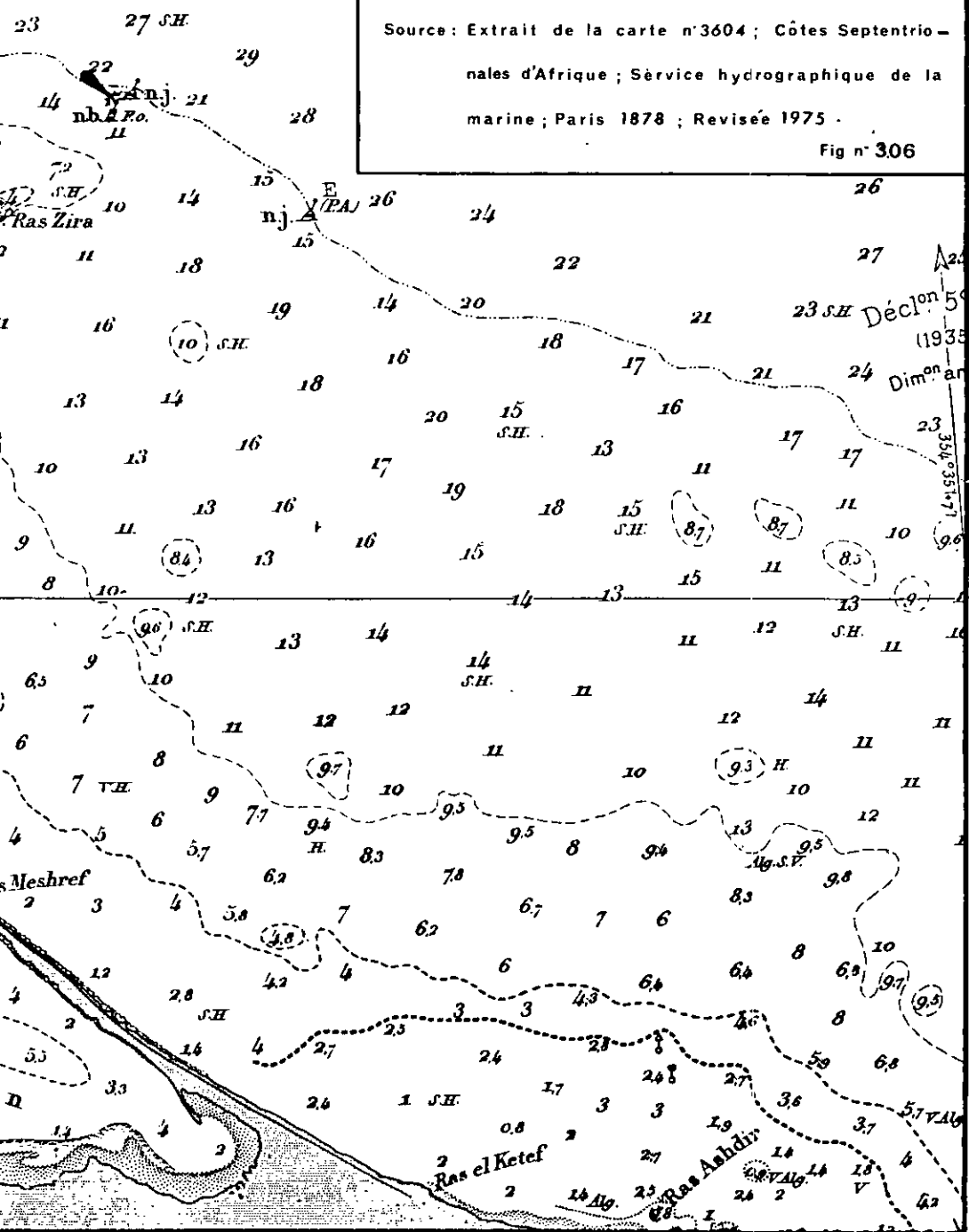
Hauts-fonds d'El Biban et de Ra's Zira

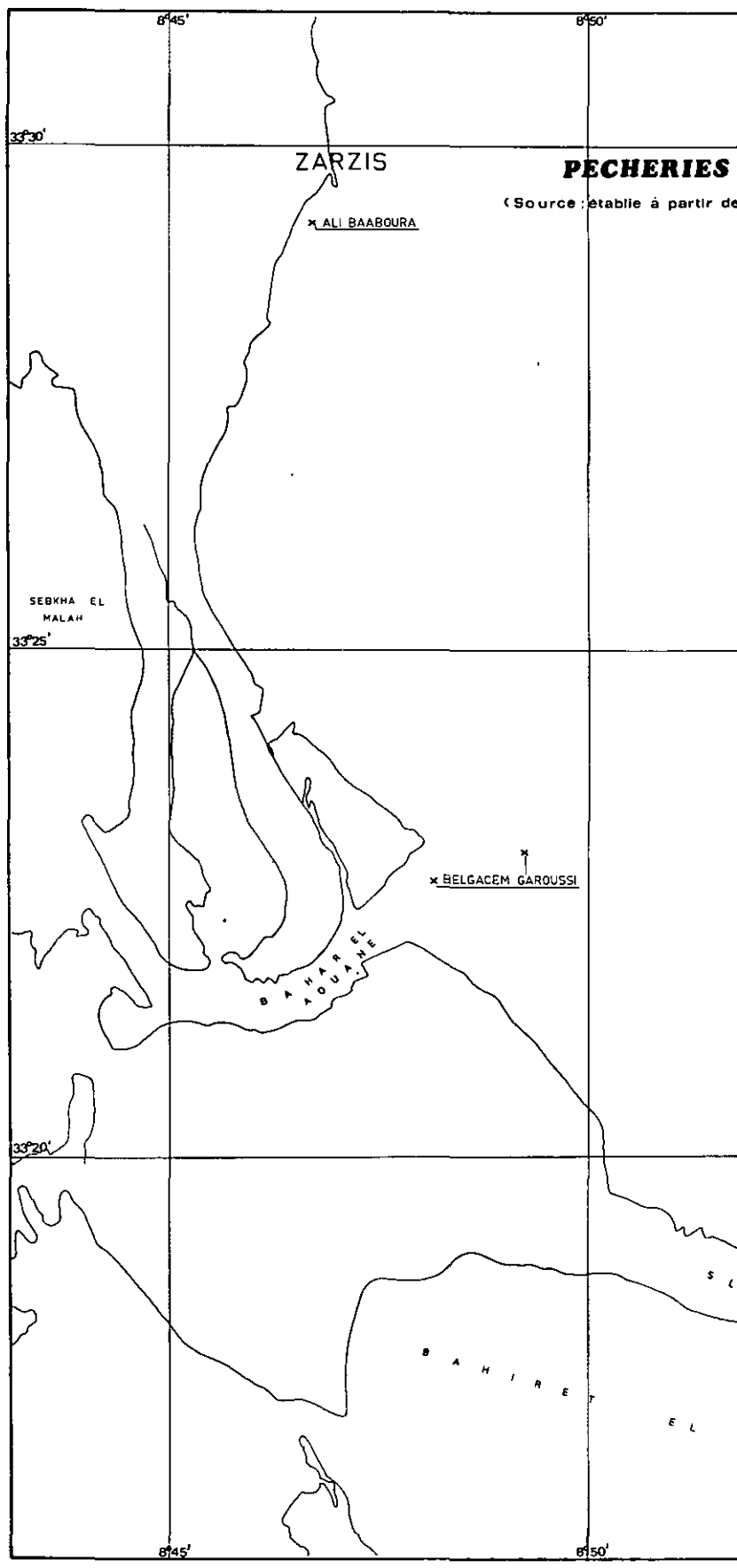
Haut - fond découvrant ; Sondes : en mètres



Source : Extrait de la carte n°3604 ; Côtes Septentrielles d'Afrique ; Service hydrographique de la marine ; Paris 1878 ; Révisée 1975 .

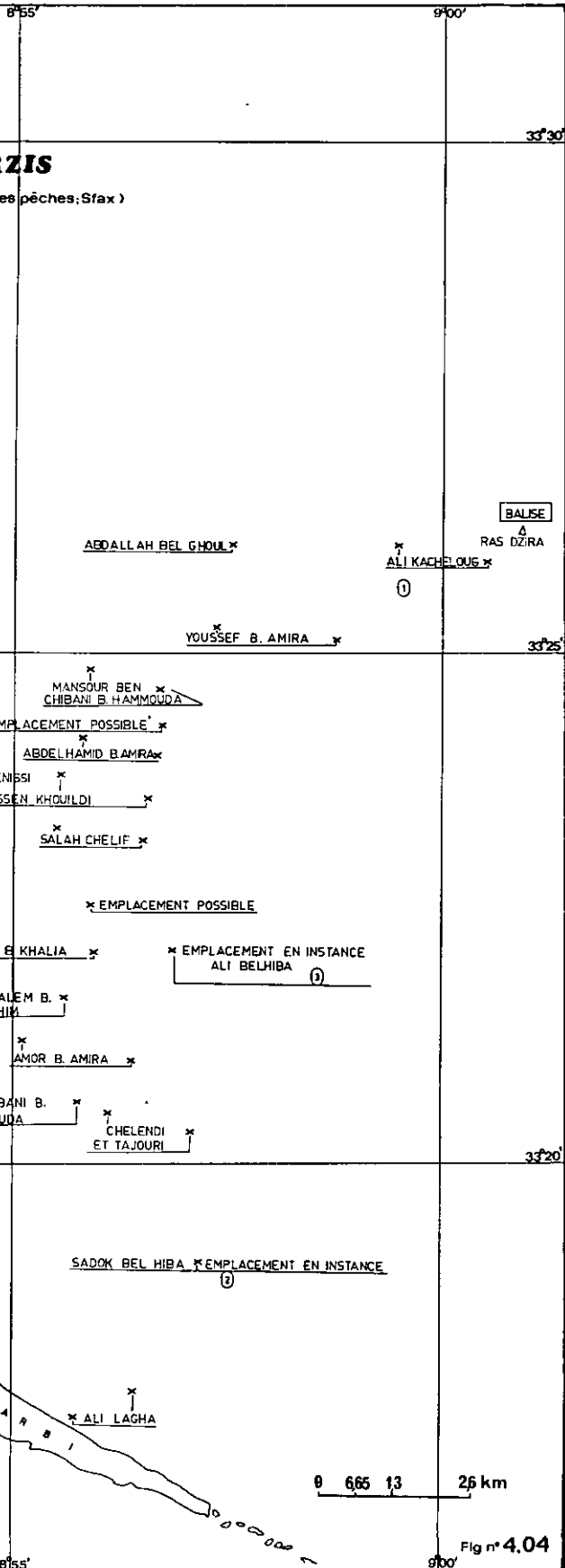
Fig n° 306

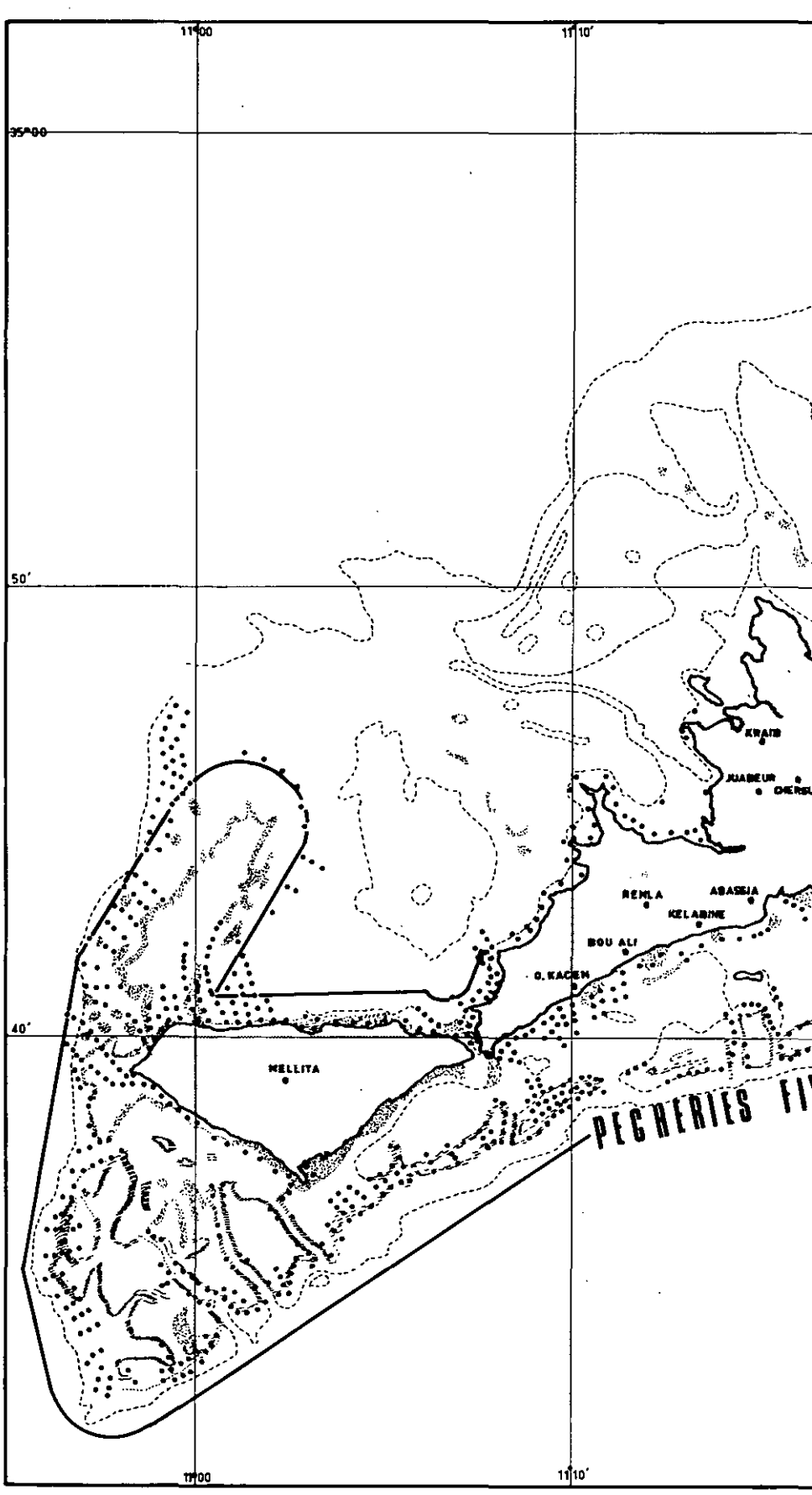


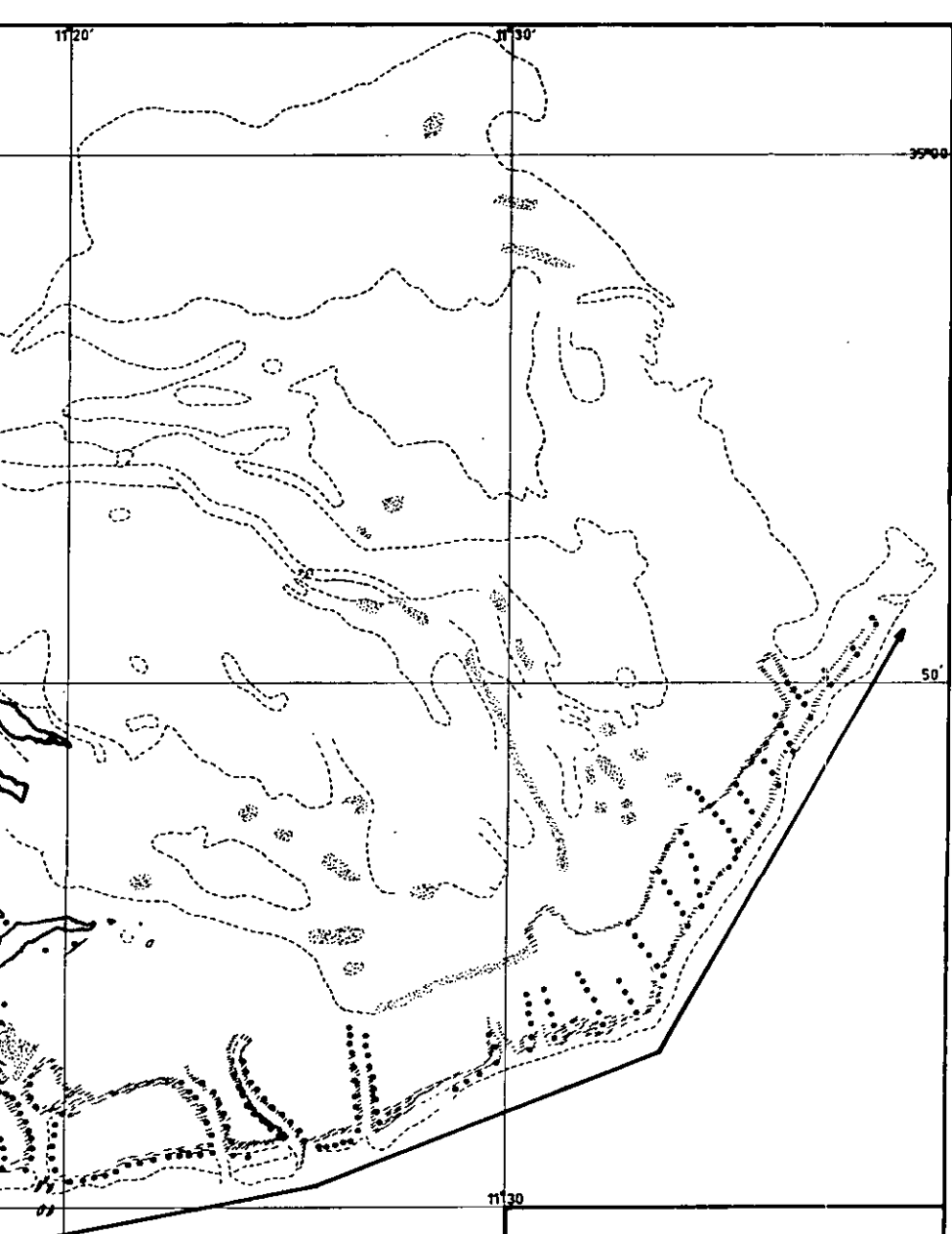


ES DE ZARZIS

(s de l'Office national des pêches, Sfax)







PECHERIES FIXES SUR LES HAUTS - FONDS DES KERKENNAH

- Chambre de capture pour chaque pêcherie fixe.

SOURCE: Direction des pêches, Sfax.

0 1,54 4,6 Km

OTC.1980

Fig. n° 4.05

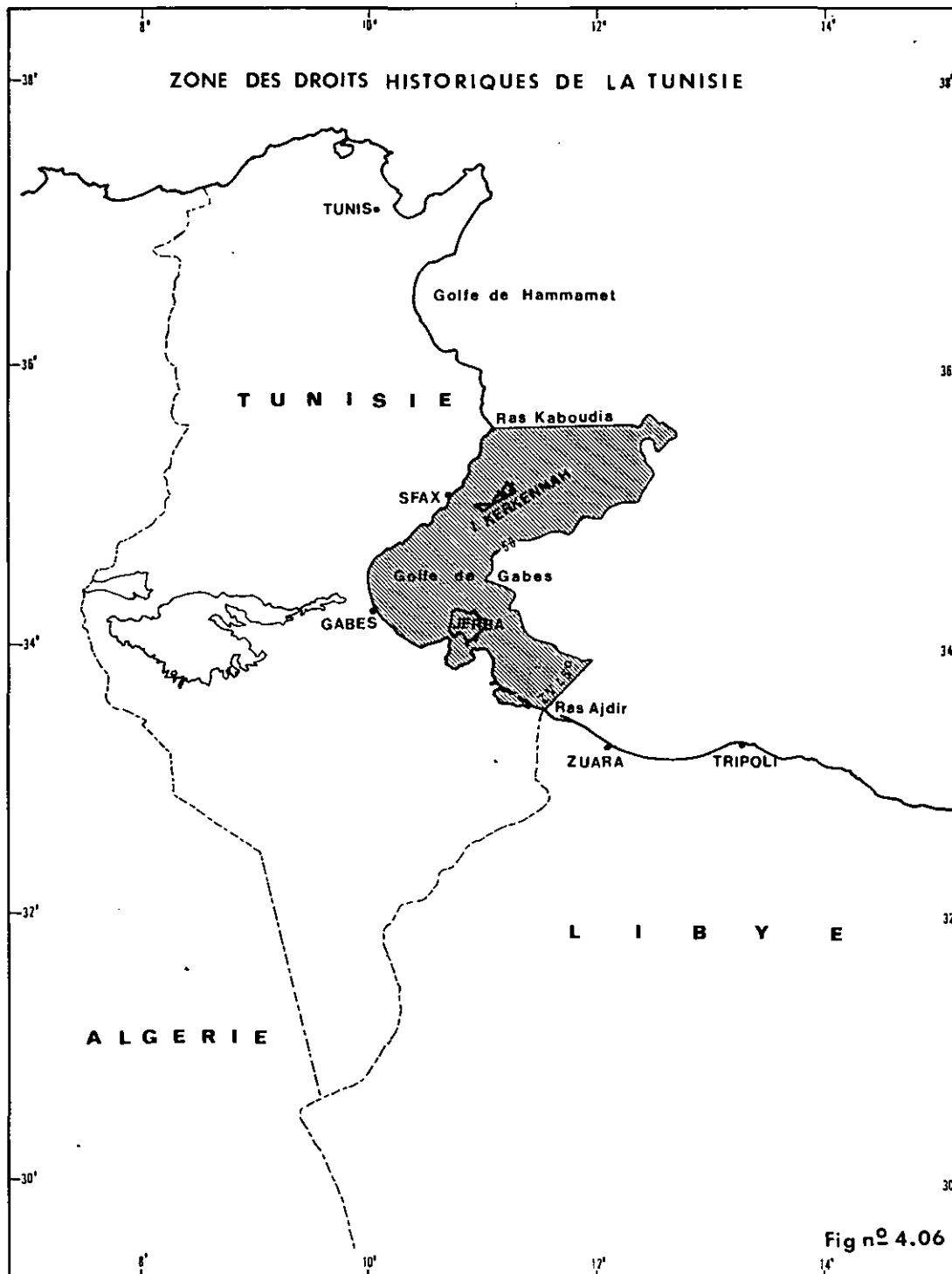
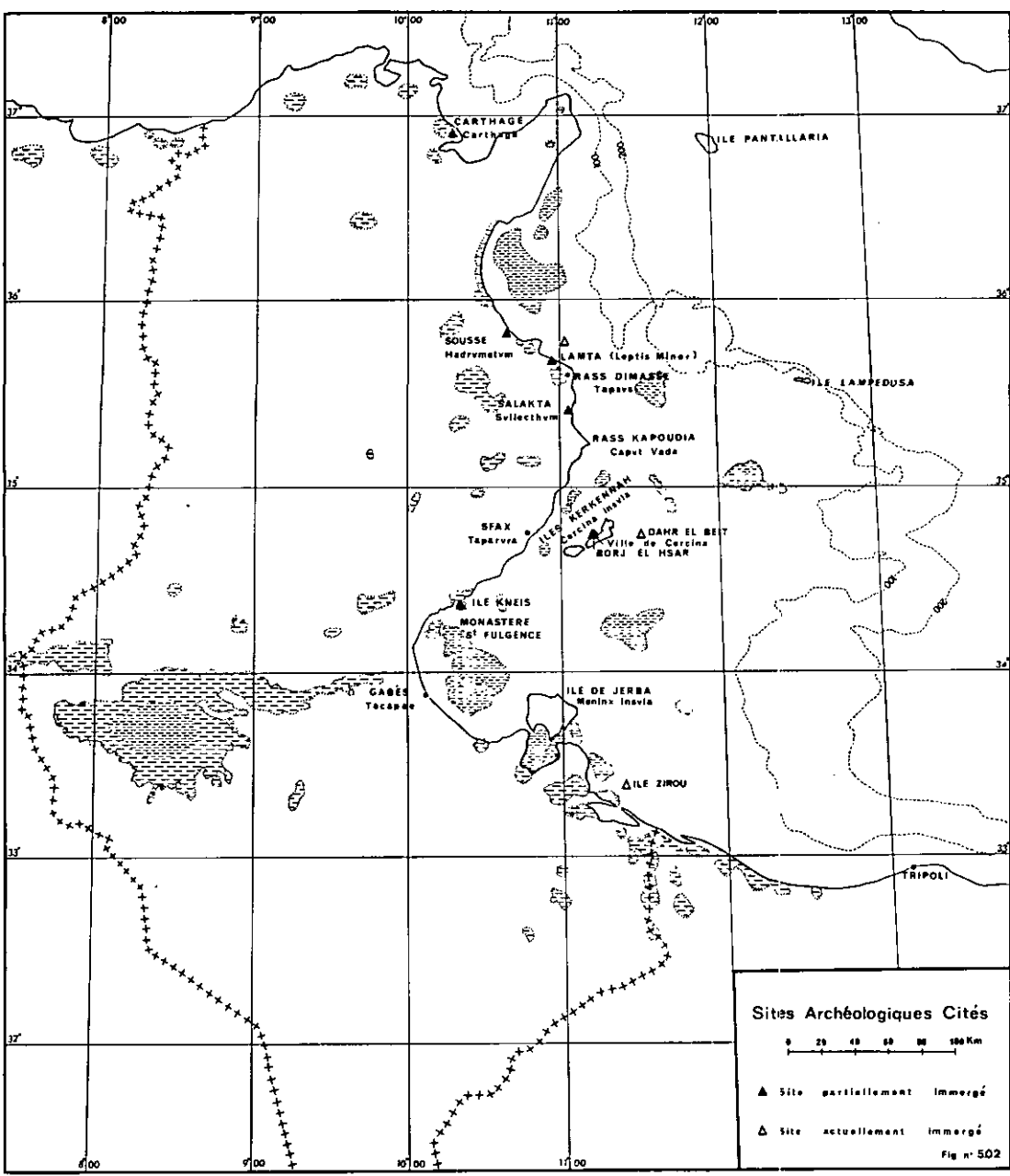
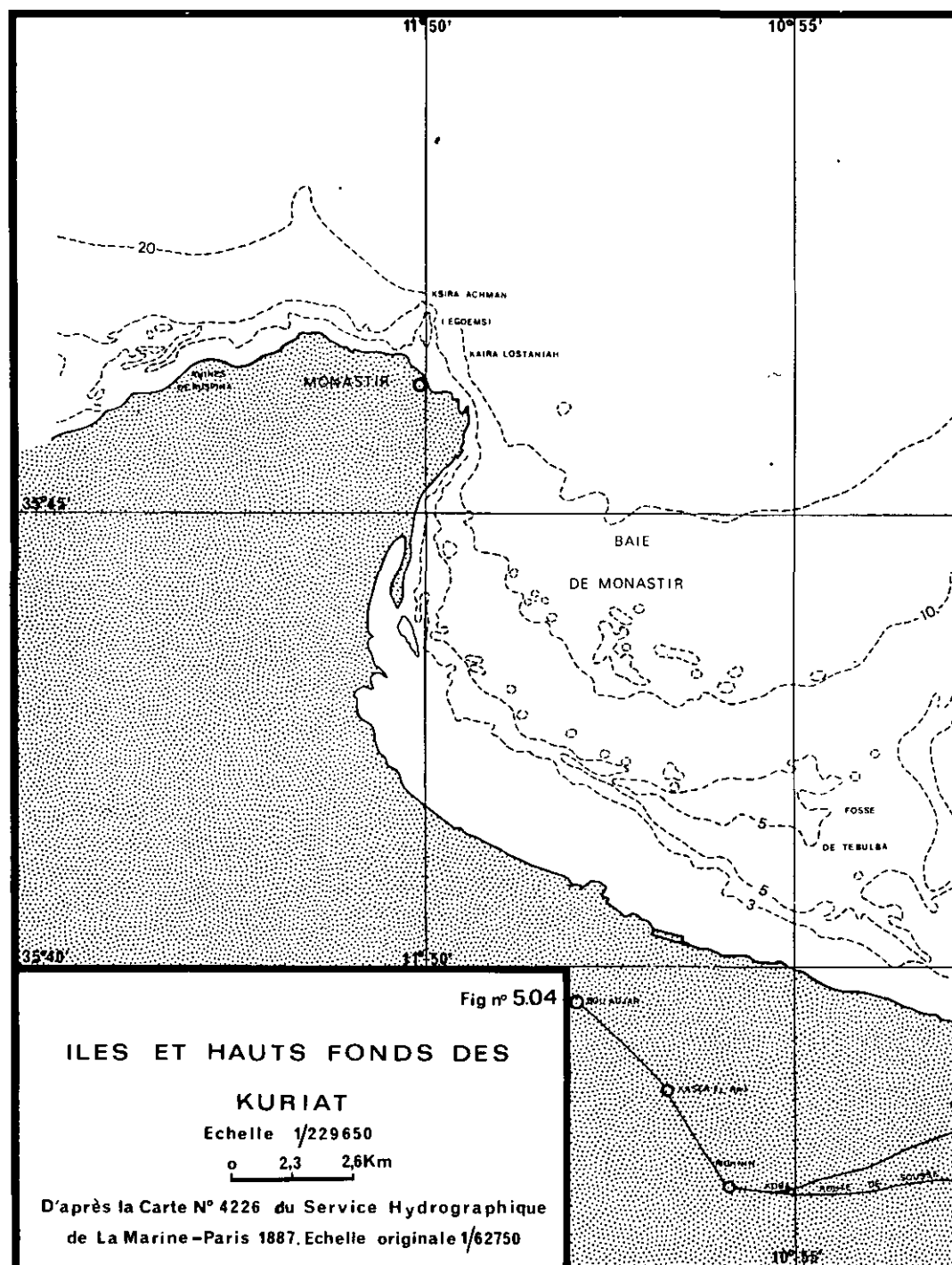
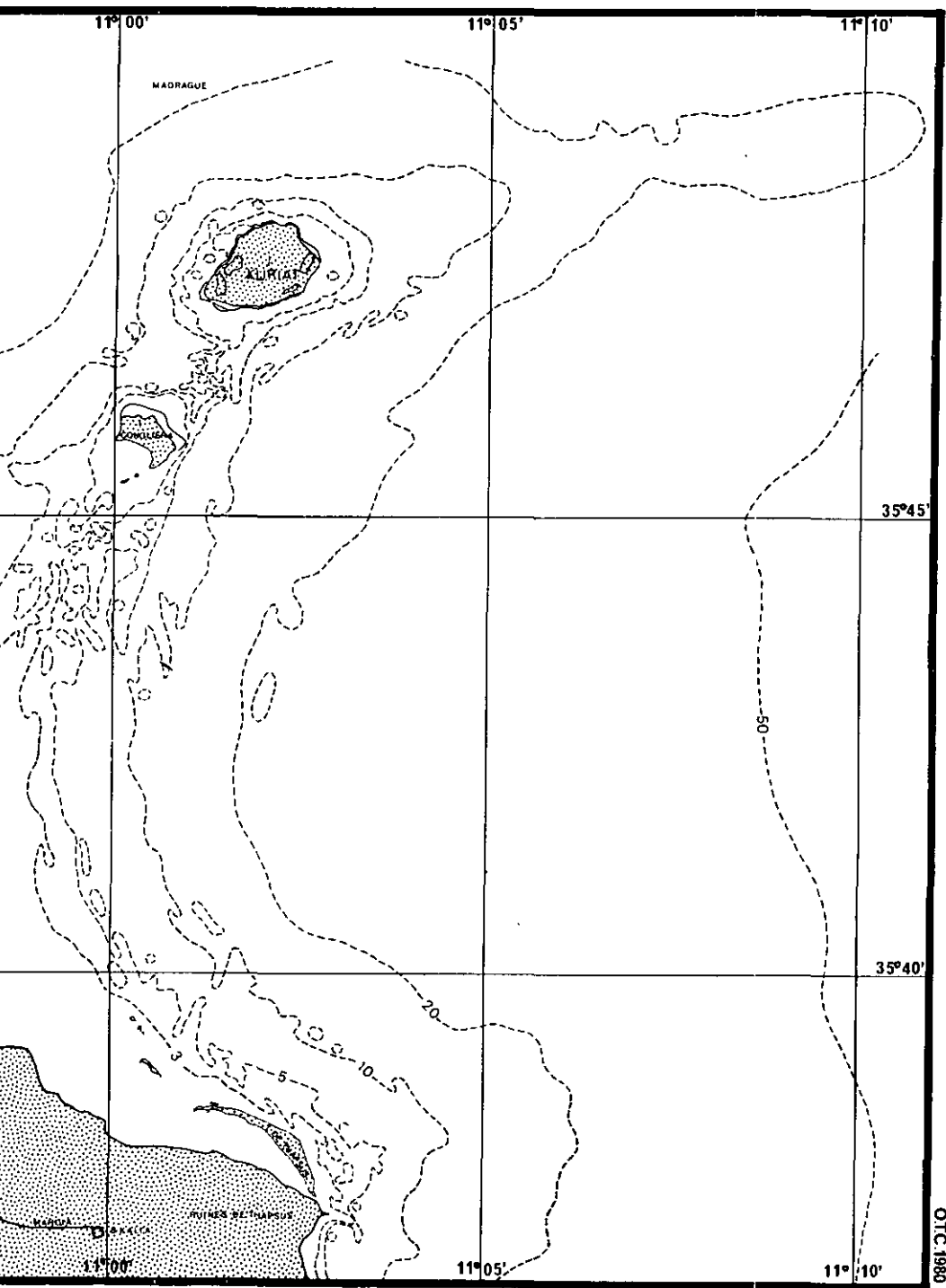


Fig n° 4.06

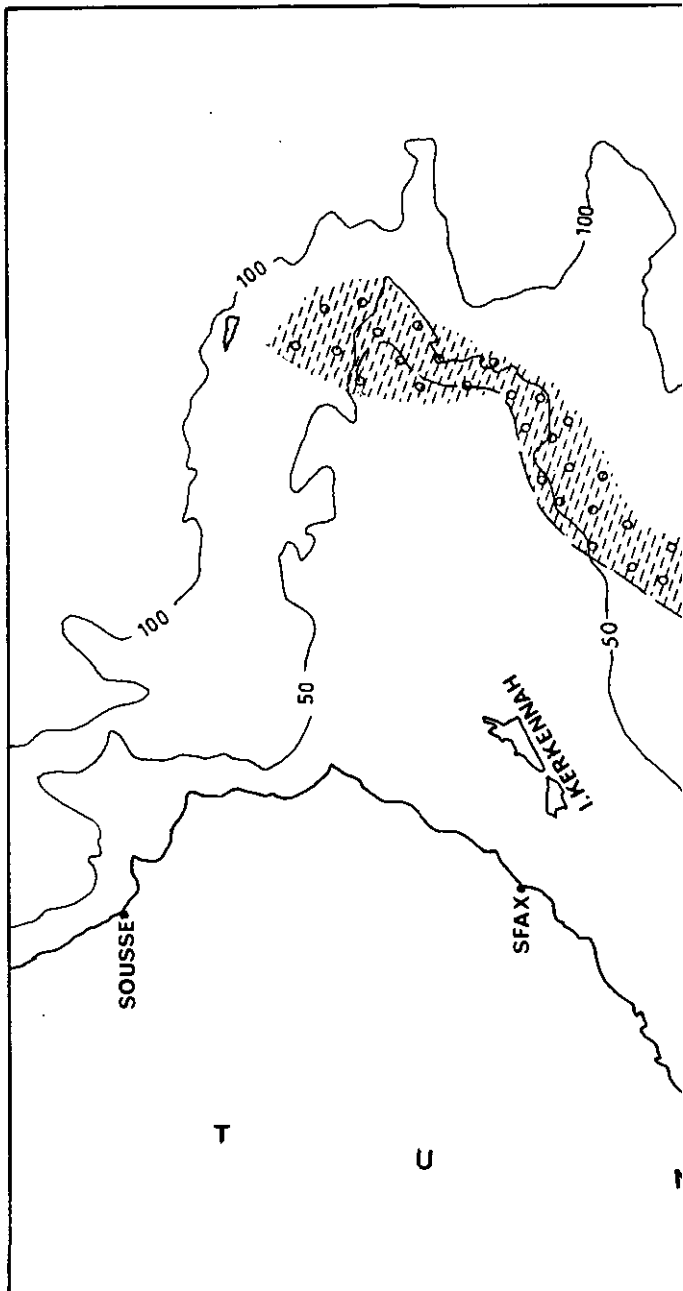






CORDON LITTORAL ENTRE 50 et 70 MÈTRES
DE PROFONDEUR

Fig n° 5.06



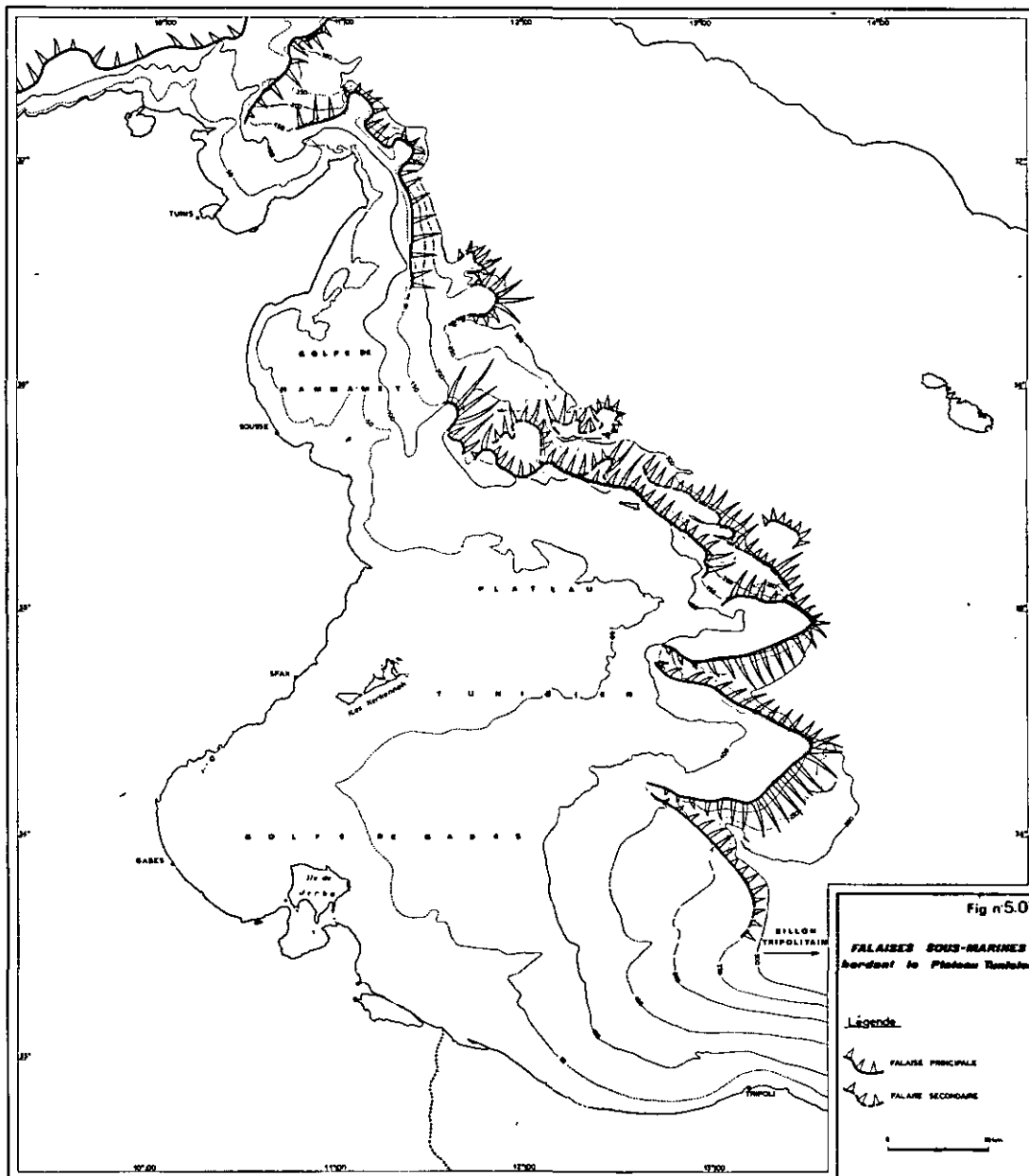
OTC 1980



Dépôts grossiers littoraux du WÜRM III

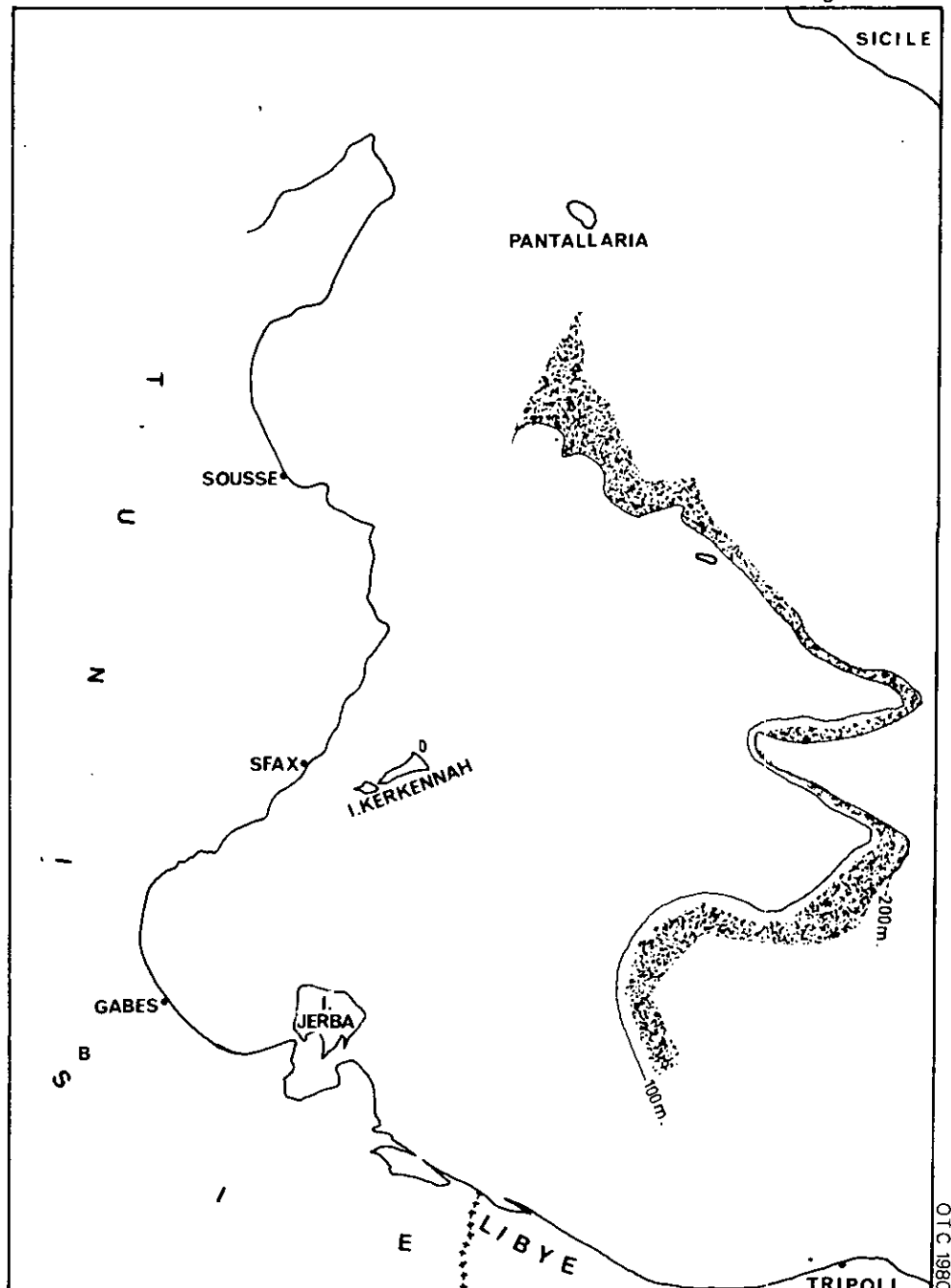
0 50 km

(EXTRAIT DE P.F.BURROLET ET AL. IN "LA MER PELAGIENNE", 1979; P.94.)



CORDON LITTORAL ENTRE 100 et 200 METRES DE PROFONDEUR

Fig n° 5.08



S Isobathe 100 m.

◆ Sables et graviers littoraux du WÜRM

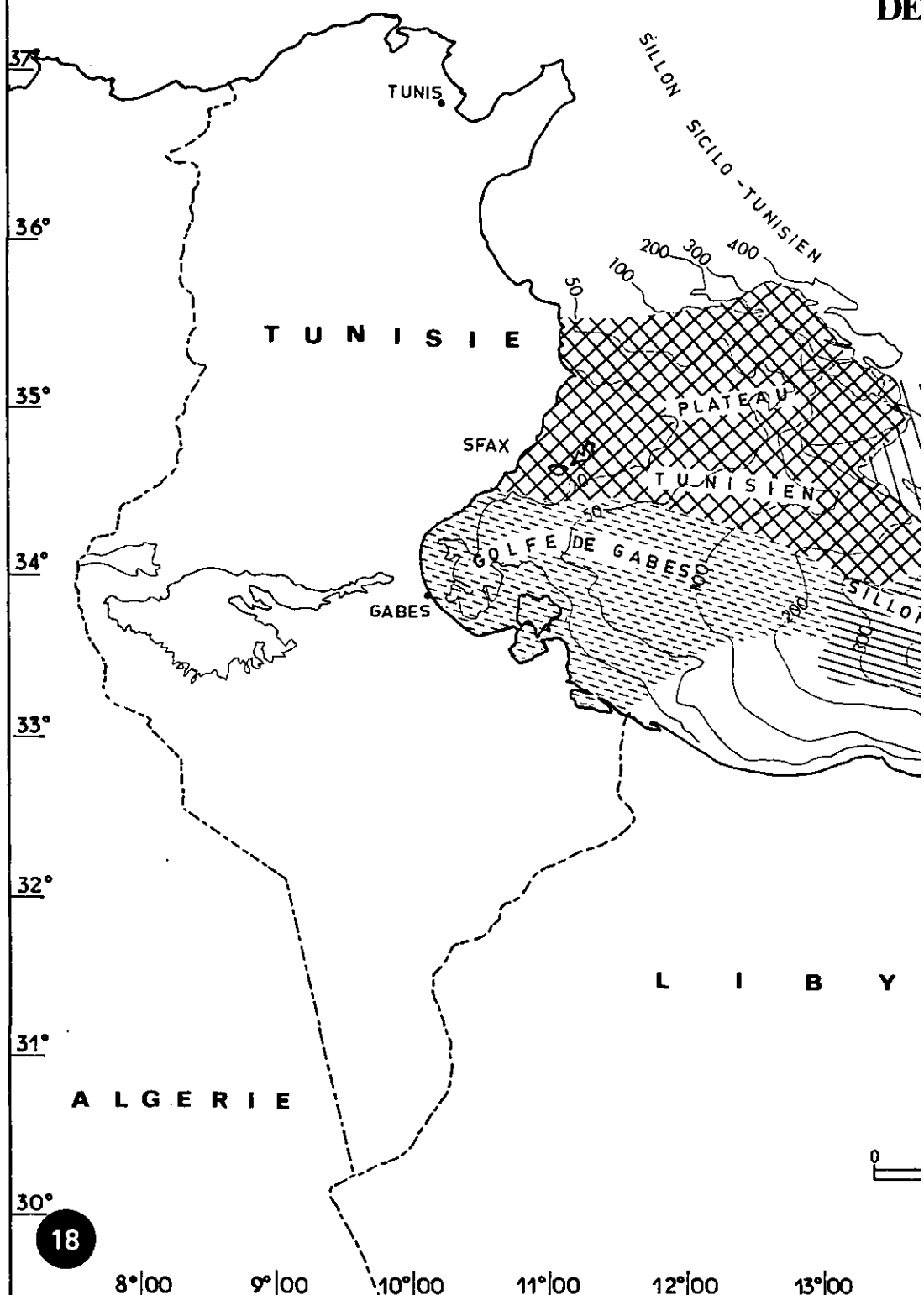
0 50 km

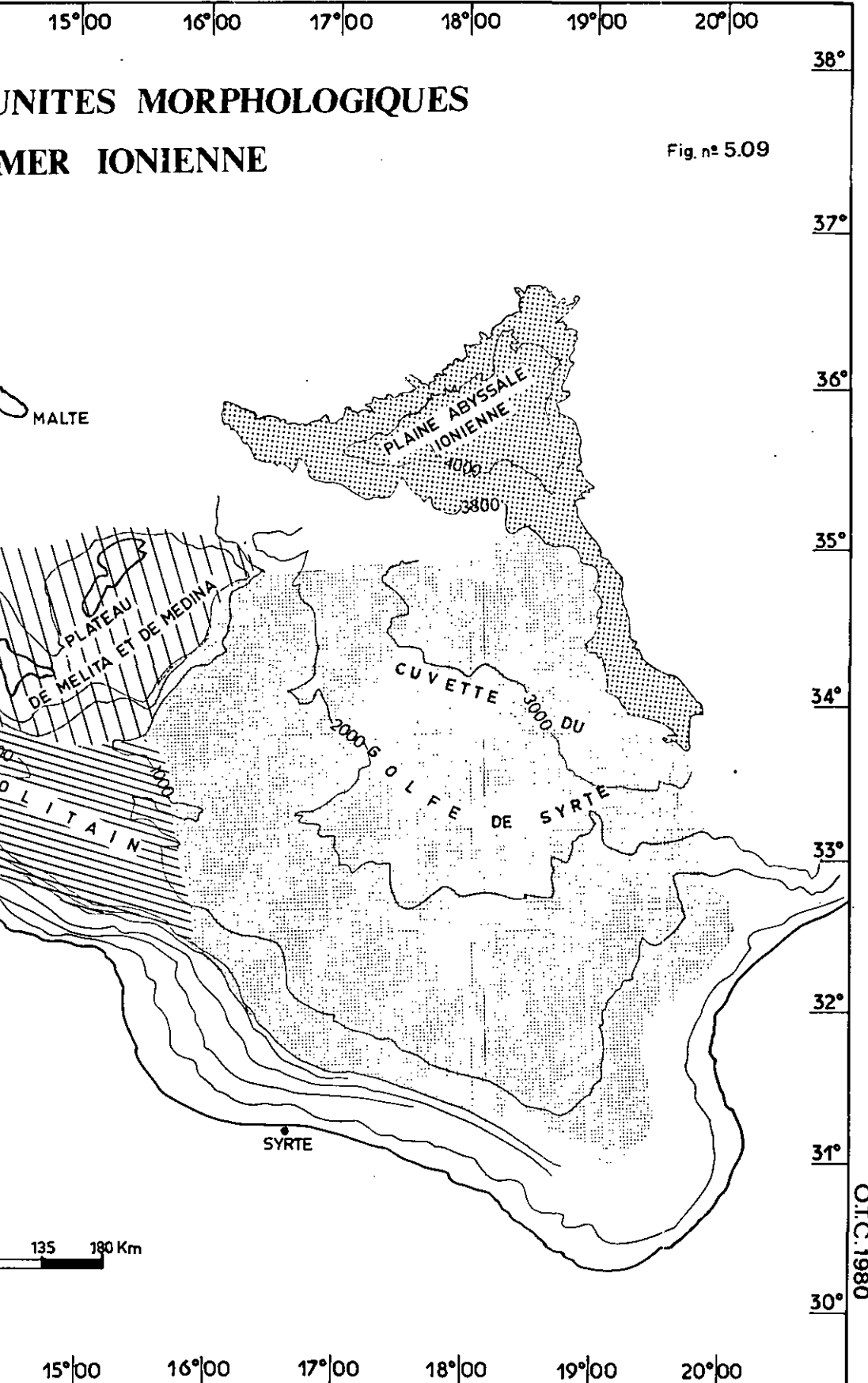
(EXTRAIT DE : P.CLAIREFOND ET G.COCHET; IN "LA MER PELAGIENNE"; 1979;
PLANCHE HORS TEXTE N° III)

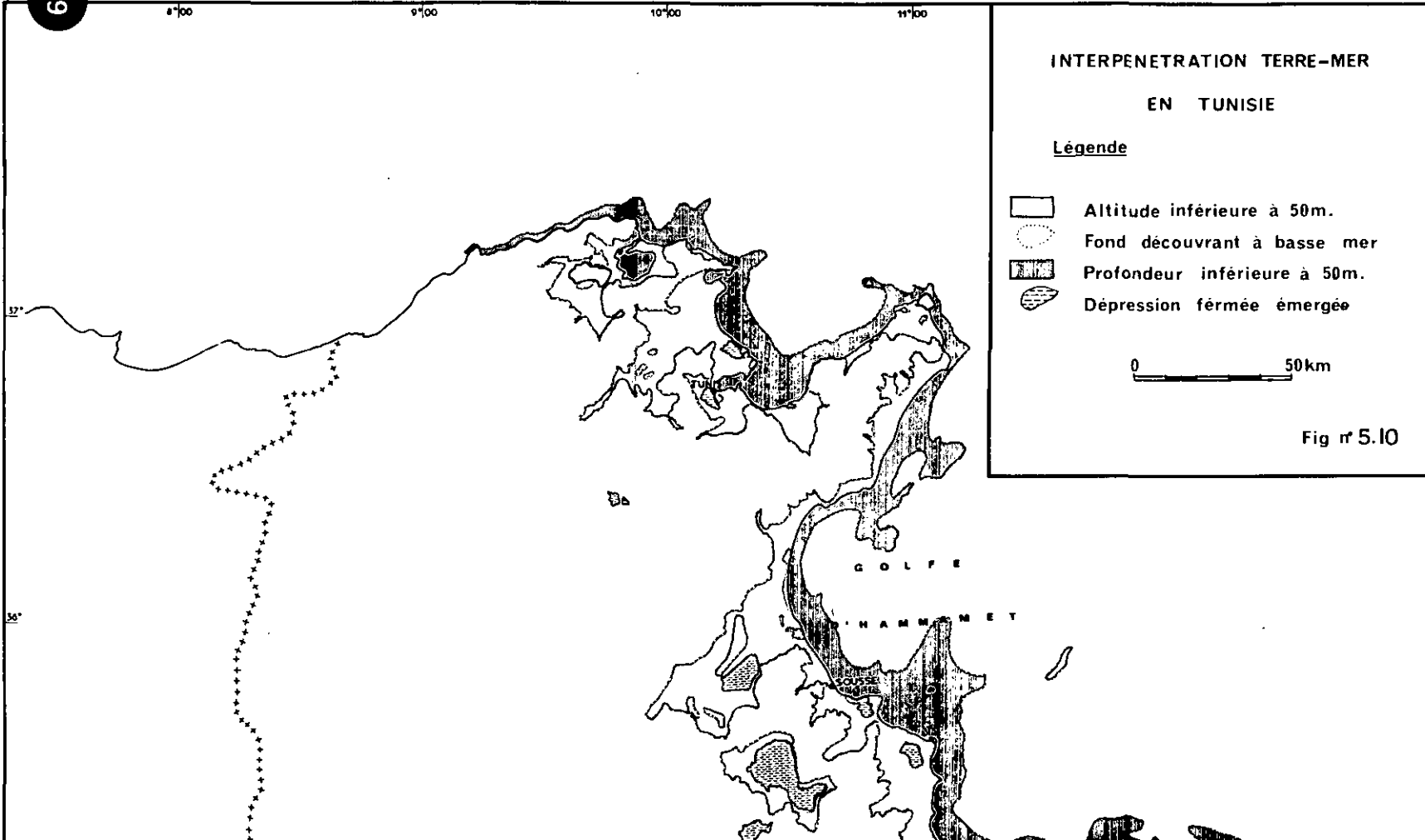
8°'00 9°'00 10°'00 11°'00 12°'00 13°'00

38°

PRINCIPAUX DE







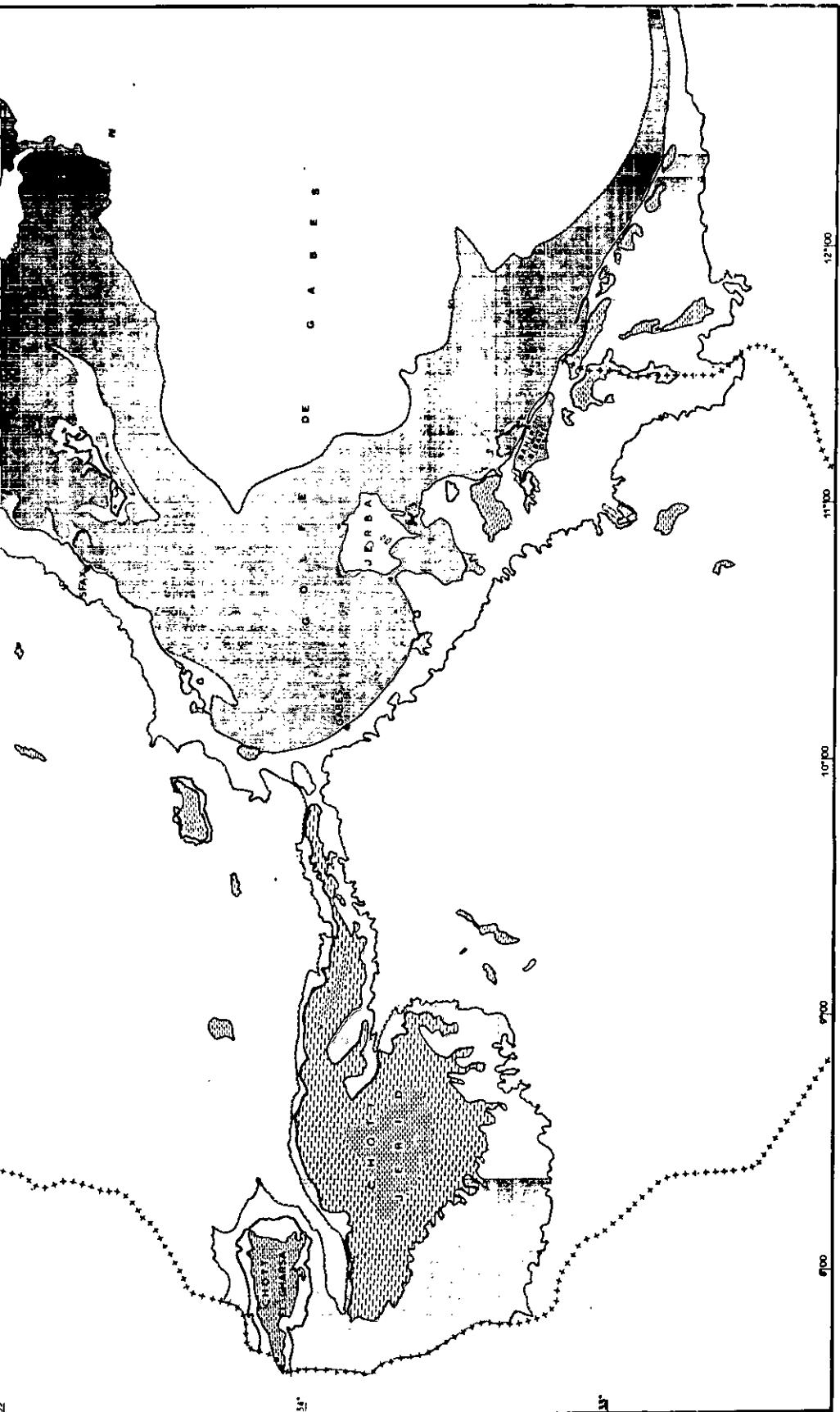
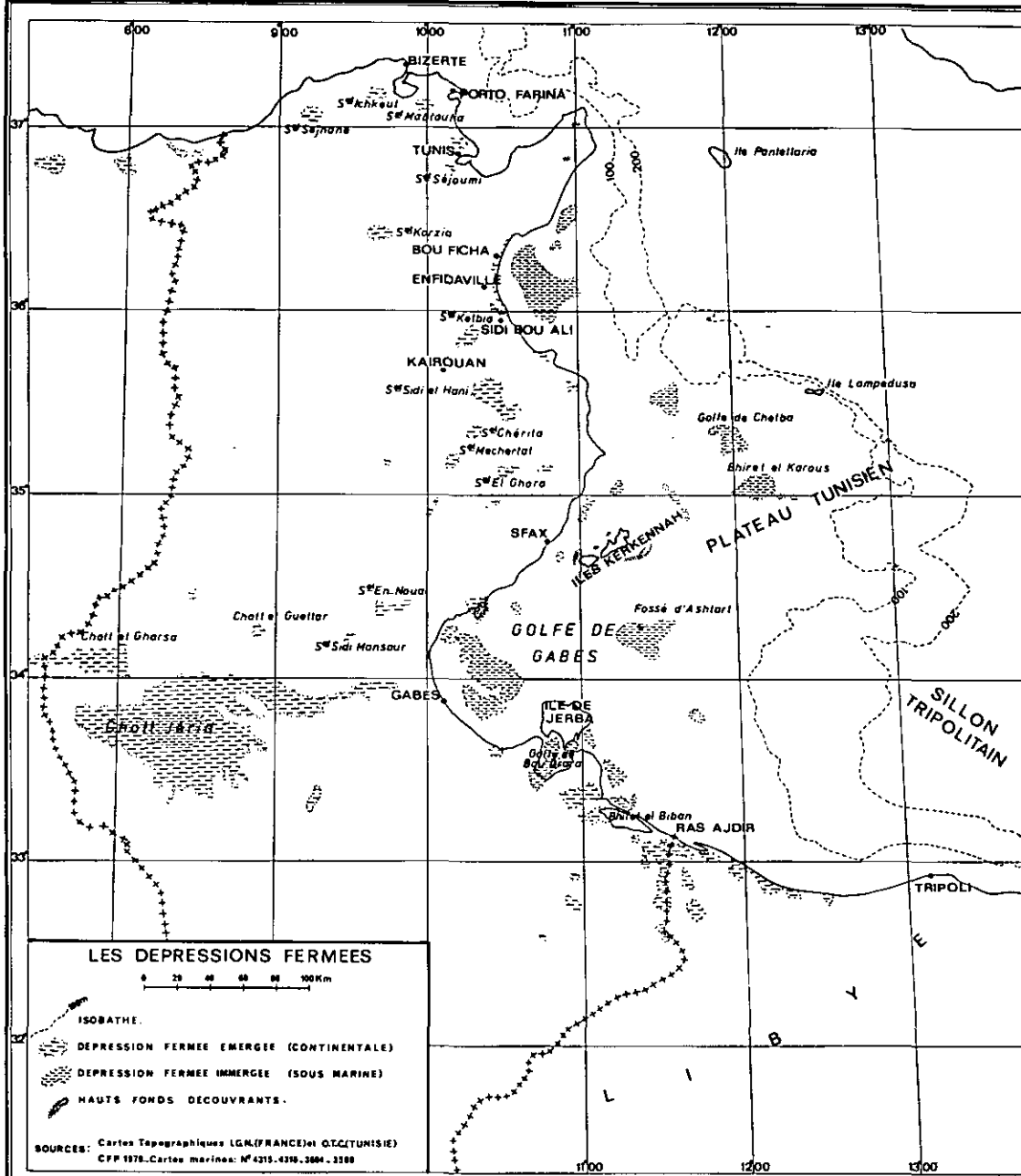
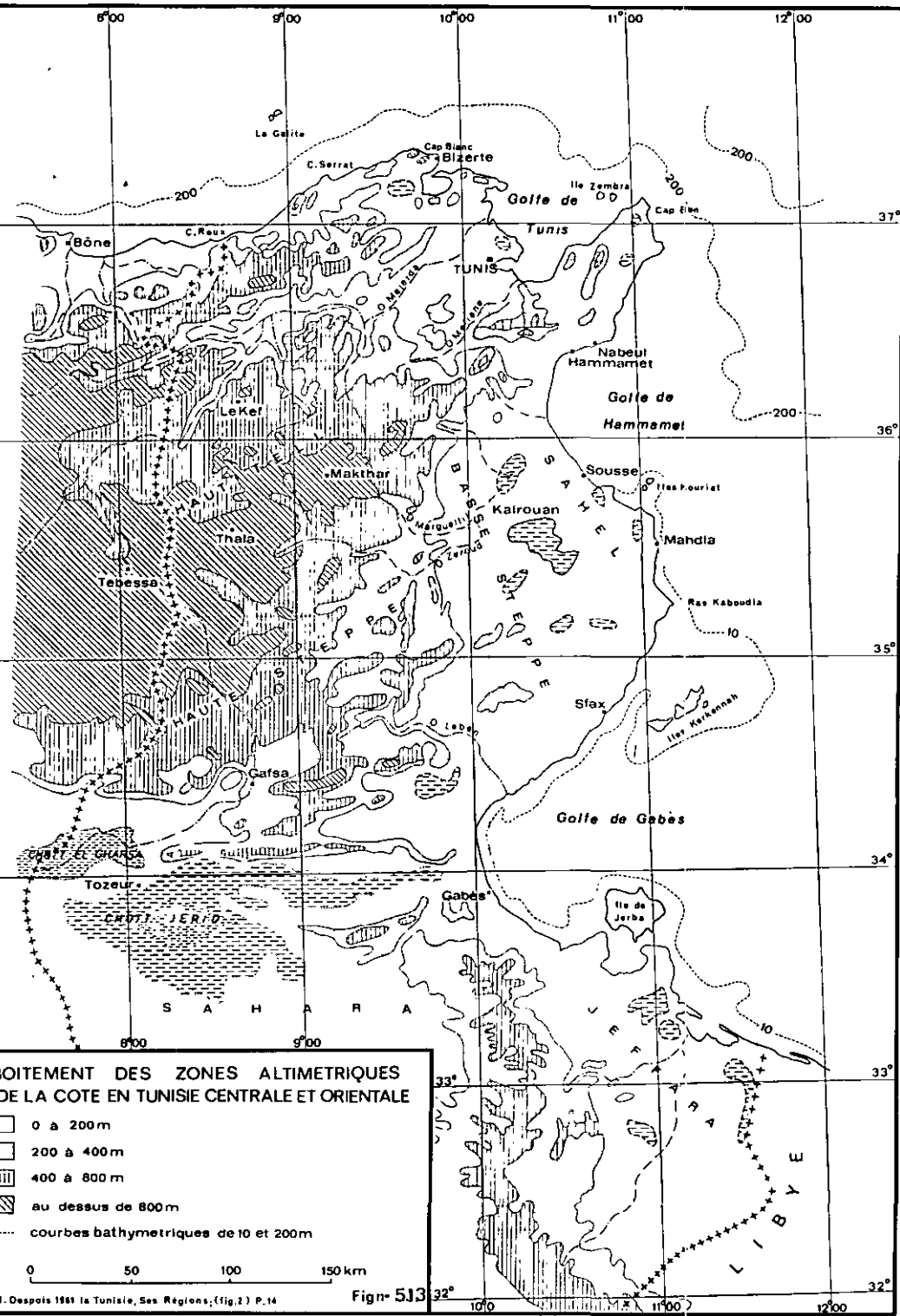


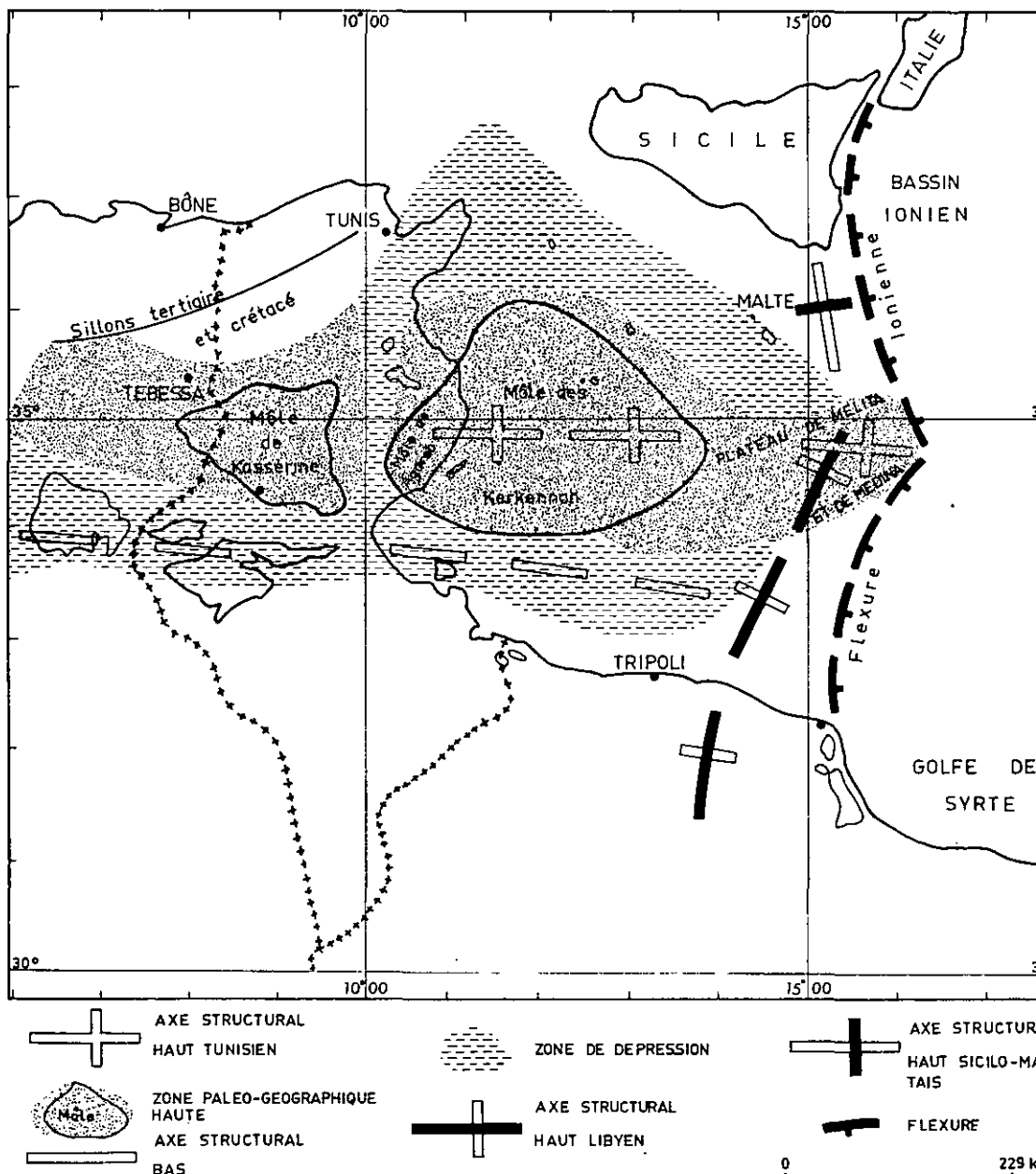
Fig n° 5.





AXES STRUCTURAUX DU BLOC PELAGIEN

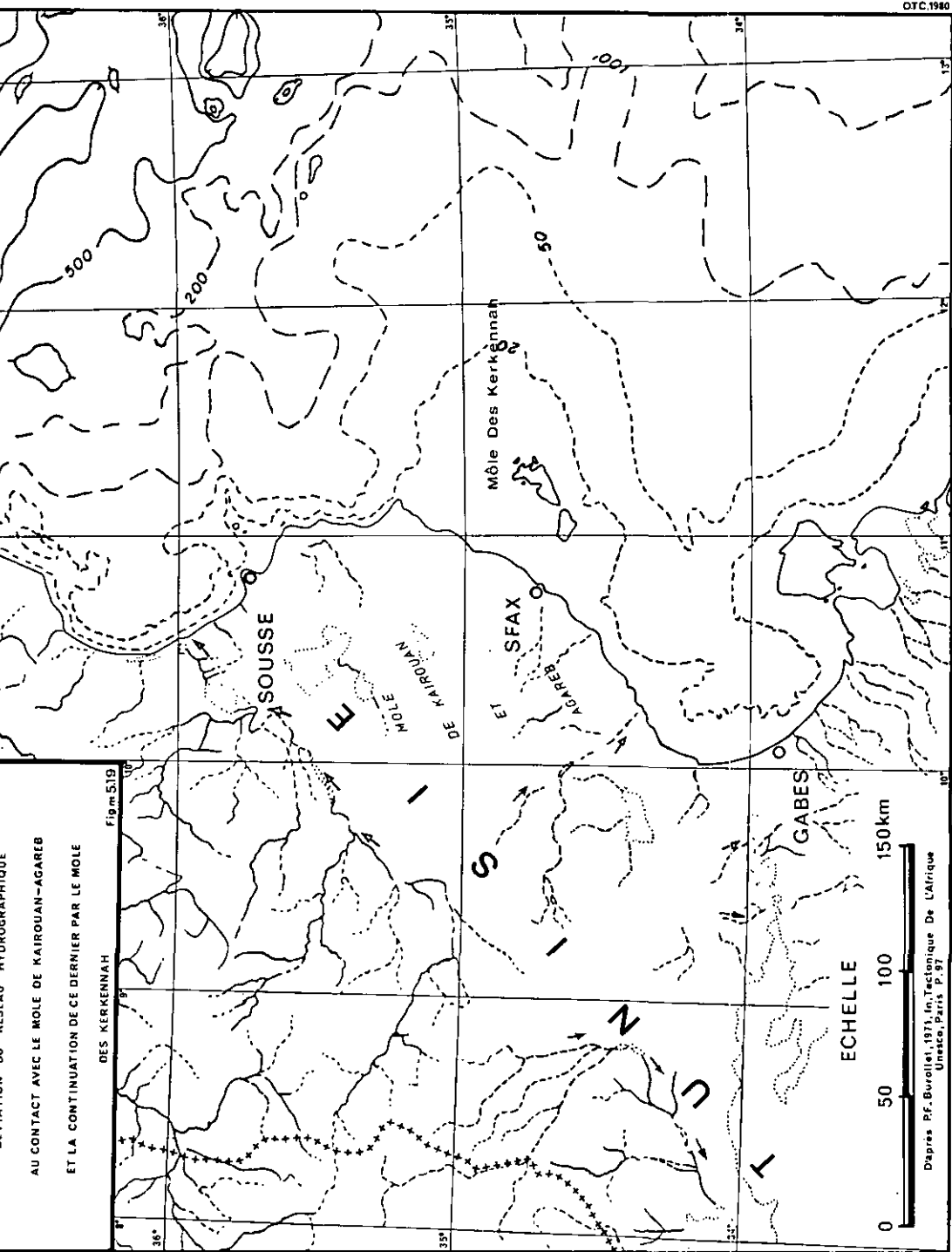
Fig. n° 5.18



SOURCES: D'après P.F. Burrollet et al. 1971 in "Tectonique de l'Afrique" UNESCO Paris p.410 (Schéma Tectonique général). Petroleum Exportation Society of Libya 1967. Guide book to the geology and history of Tunisia. Neuvième excursion annuelle, Holland Breumelhof.—Amsterdam.

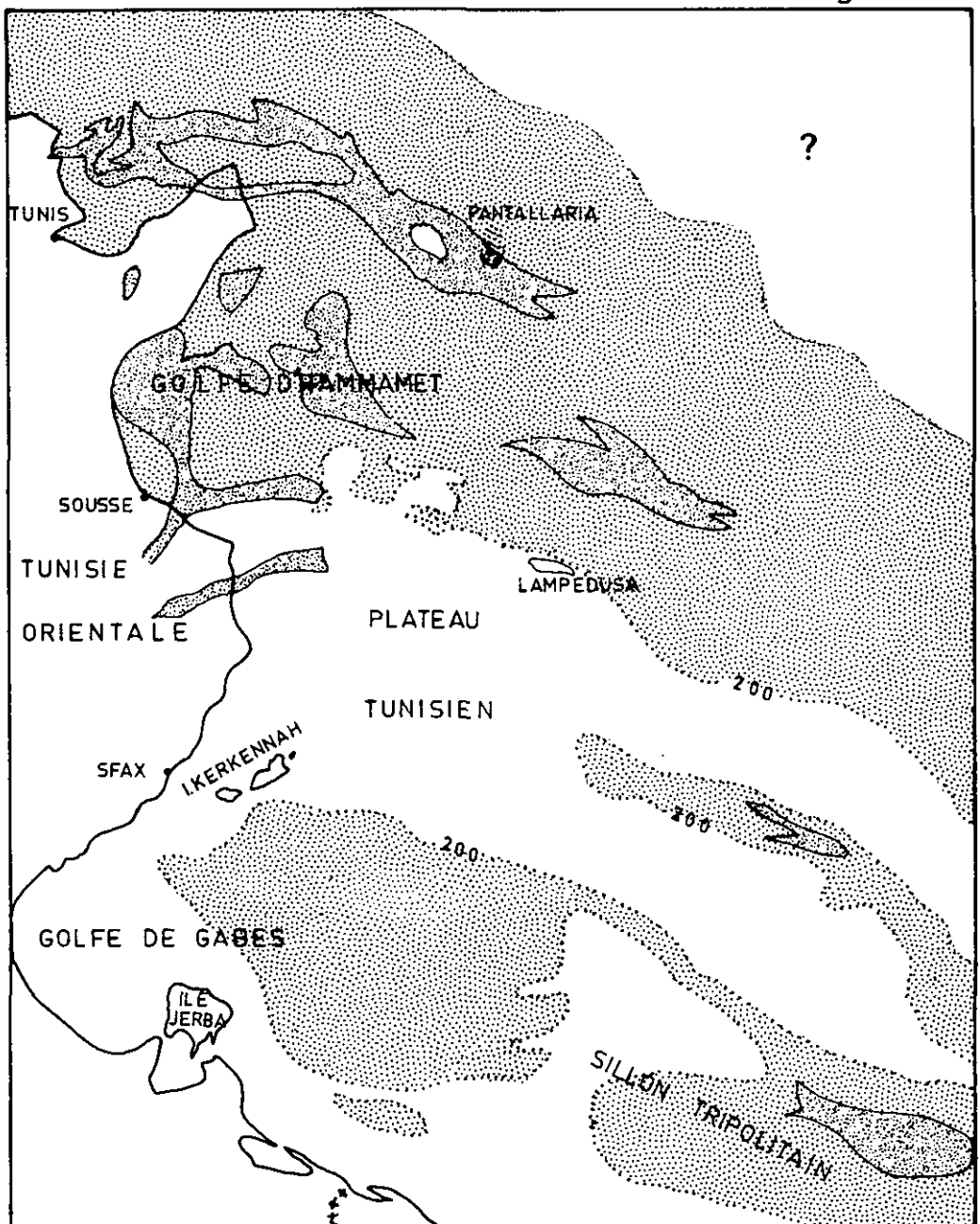
AU CONTACT AVEC LE MOLE DE KAIROUAN-AGAREB
ET LA CONTINUATION DE CE DERNIER PAR LE MOLE
DES KERKEINAH

Fig. 5.19



EPAISSEURS DES TERRAINS PLIOQUATERNAIRE A L'EST DE LA TUNISIE

Fig n° 5.20



Epaisseur supérieure à 1000m (zône de forts affaissements)

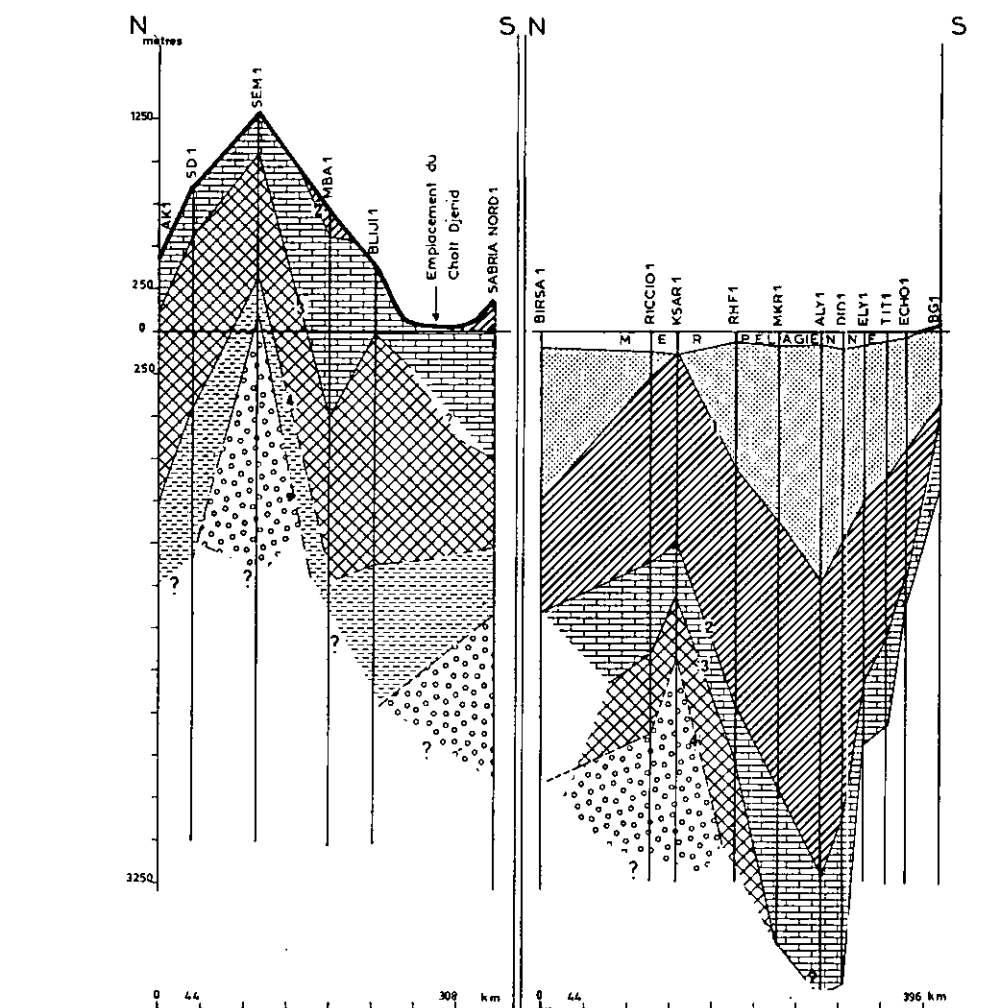
Epaisseur comprise entre 200 et 1000m.

Epaisseur inférieure à 200m.

0 50 km

NOTA : Remarquer le Plateau Tunisiens et son extension vers l'EST, où la sédimentation est peu épaisse comparée au NORD (Golfe de Hammamet) et au SUD (Golfe de Gabès et Sillon Tripolitain) où les épaisseurs sont beaucoup plus importantes.

Fig n° 5.21 COUPES GEOLOGIQUES NORD-SUD A TRAVERS L'AXE DES MOLES



Légende :

- 1- Sommet de la formation Ain Grab du Miocène (environ 15 millions d'années)
- 2- Sommet de la formation Abiod du Crétacé supérieur (environ 65 millions d'années)
- 3- Sommet de la formation Zebbag du Crétacé inférieur (environ 80 millions d'années)
- 4- Sommet de la formation Serdj du Crétacé inférieur (environ 105 millions d'années)
- 5- Base de la formation Serdj

NOTA

Remarquer : - Un maximum d'épaisseur au droit du sondage (ALY 1) prolongeant en mer et vers l'Est l'épaississement sédimentaire observé en Tunisie méridionale (Sondages MBA 1 - BLUI 1)

- Un minimum d'épaisseur au centre (Ksar 1) prolongeant vers l'Est les minima connus en Tunisie Centrale et Orientale (Sondage SEM 1)

- Une augmentation d'épaisseur au Nord (BIRSA 1) dans le golfe d'Hammamet indiquant la prolongation des zones épaisses de la Tunisie Septentrionale (Sondage AK 1)

Fig n° 5.22

ESQUISSE CLINOGRAPHIQUE
(Mesure de l'inclinaison de la surface)
DE LA MER PELAGIENNE

REPUBLIQUE TUNISIENNE
AFFAIRE DU PLATEAU CONTINENTAL
TUNISO-LIBYEN

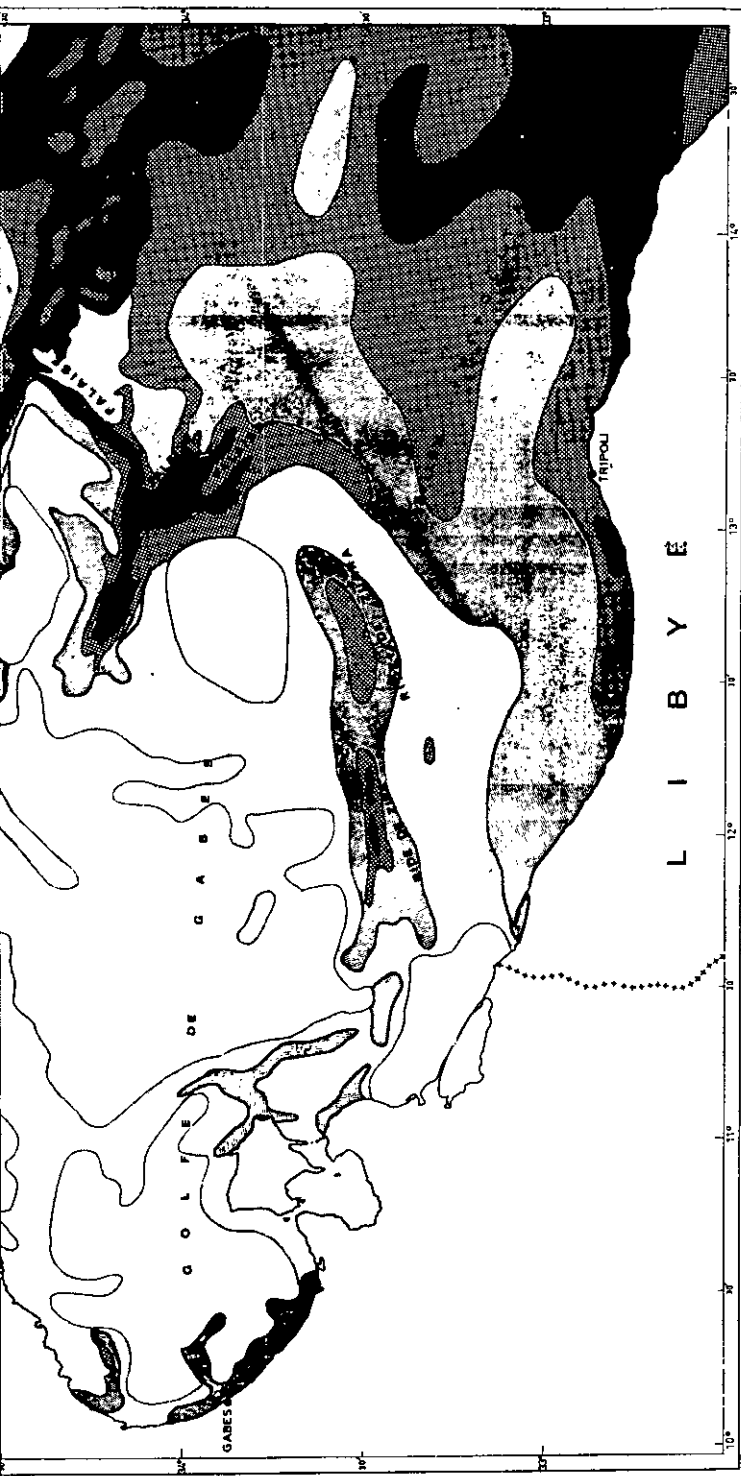
LEGENDE

- [White Box] PENTE COMPRISE ENTRE 2,5‰ et 5‰.
- [Medium Gray Box] PENTE COMPRISE ENTRE 5‰ et 10‰.
- [Dark Gray Box] PENTE COMPRISE ENTRE 10‰ et 20‰.
- [Black Box] PENTE SUPERIEURE à 20‰.
- [White Box] PENTE INFÉRIEURE à 1,5‰.
- [Medium Gray Box] PENTE COMPRISE ENTRE 1,5‰ et 2,5‰.

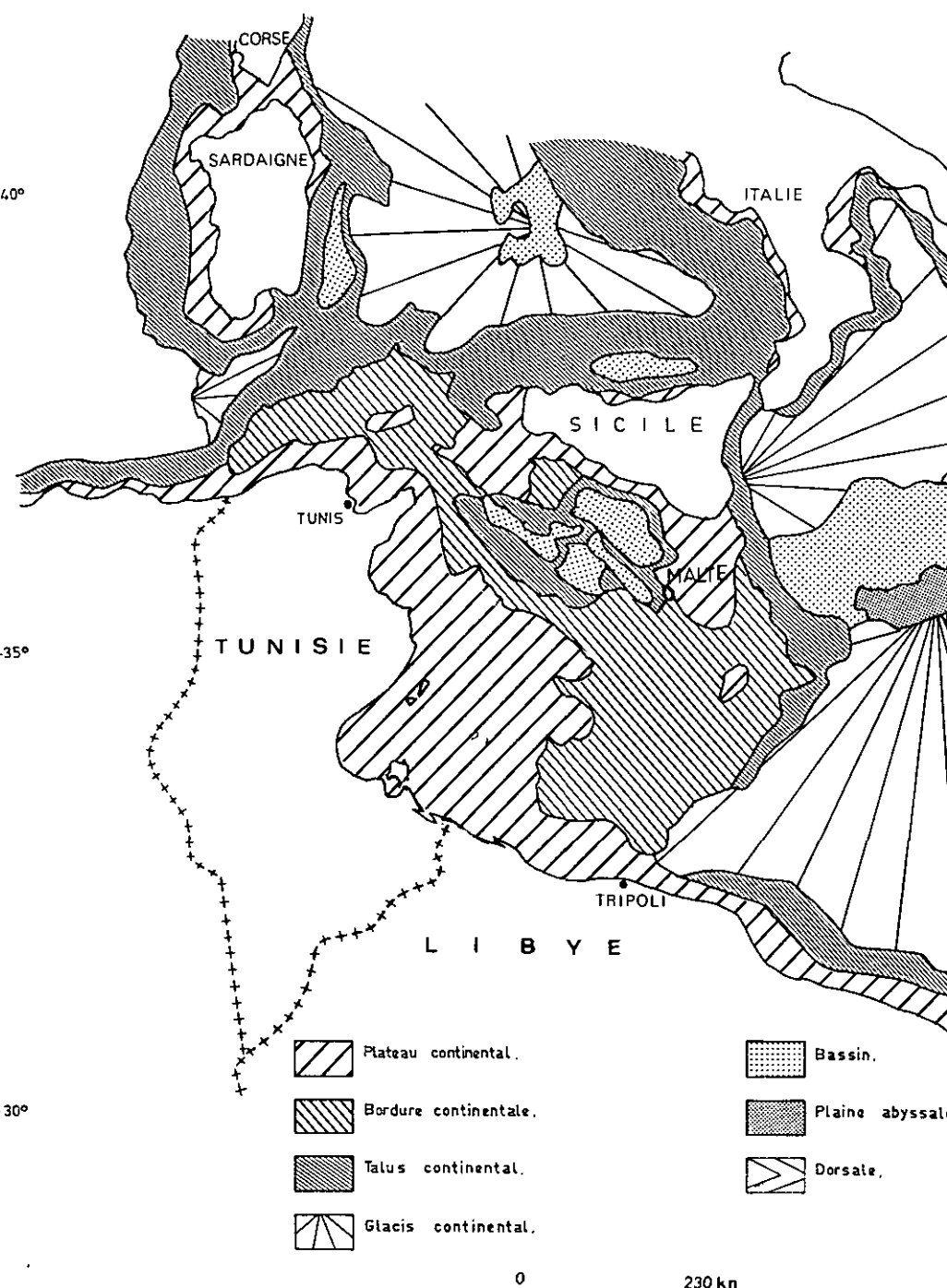
0 50 km



TUNISIE



CARTE DES PROVINCES PHYSIOGRAPHIQUES



SOURCE : (EXTRAIT DE J.A.WATSON ET G.L.JOHNSON IN REVUE HYDROGRAPHIQUE INTERNATIONALE VOL. XLVI, N° I 1969 P.81 sq.)

20100

25°

LA MER IONIENNE

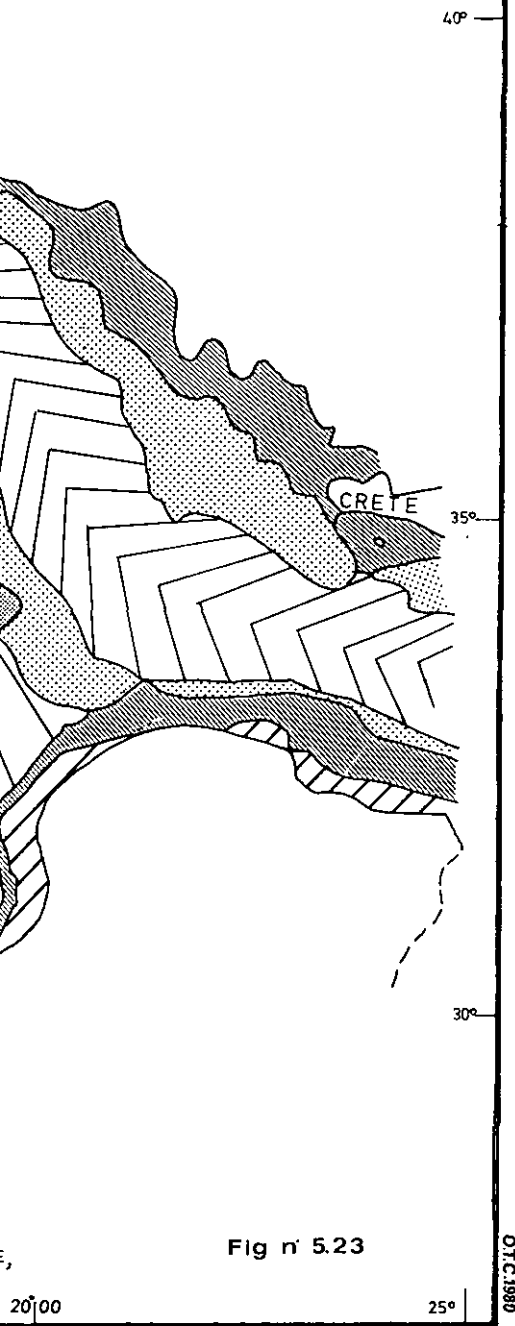
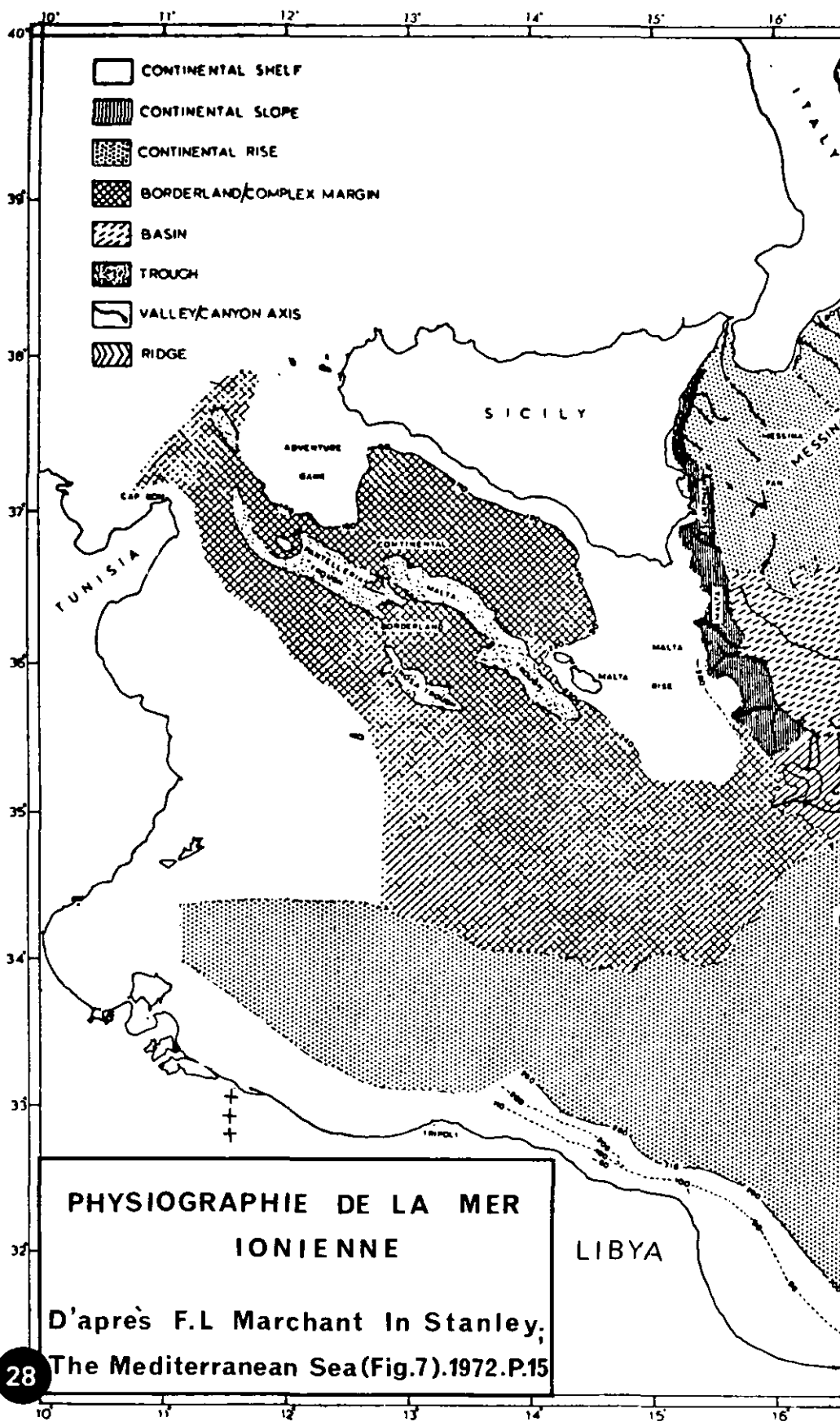


Fig n° 5.23

O.T.C.1980

25°

20100



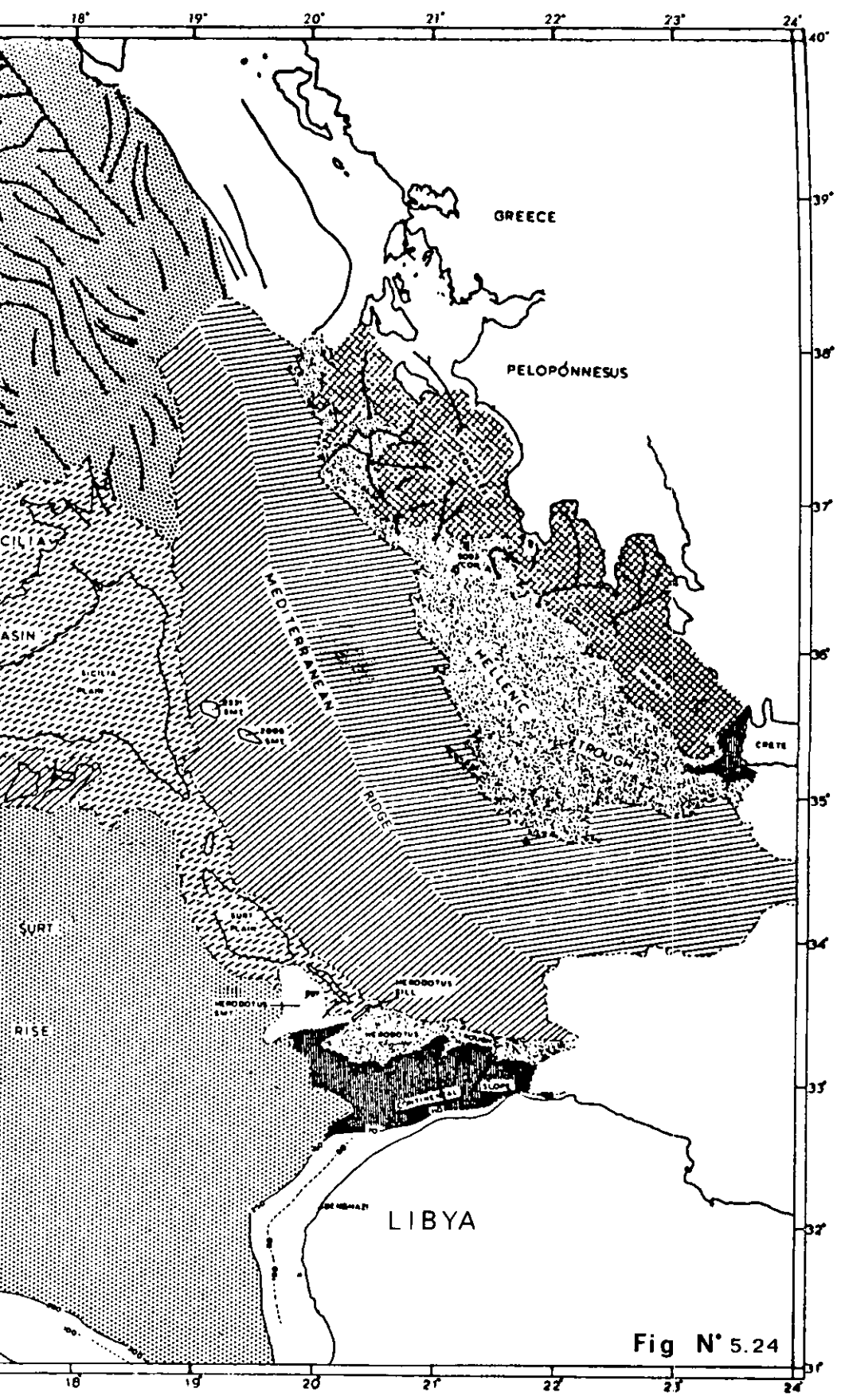
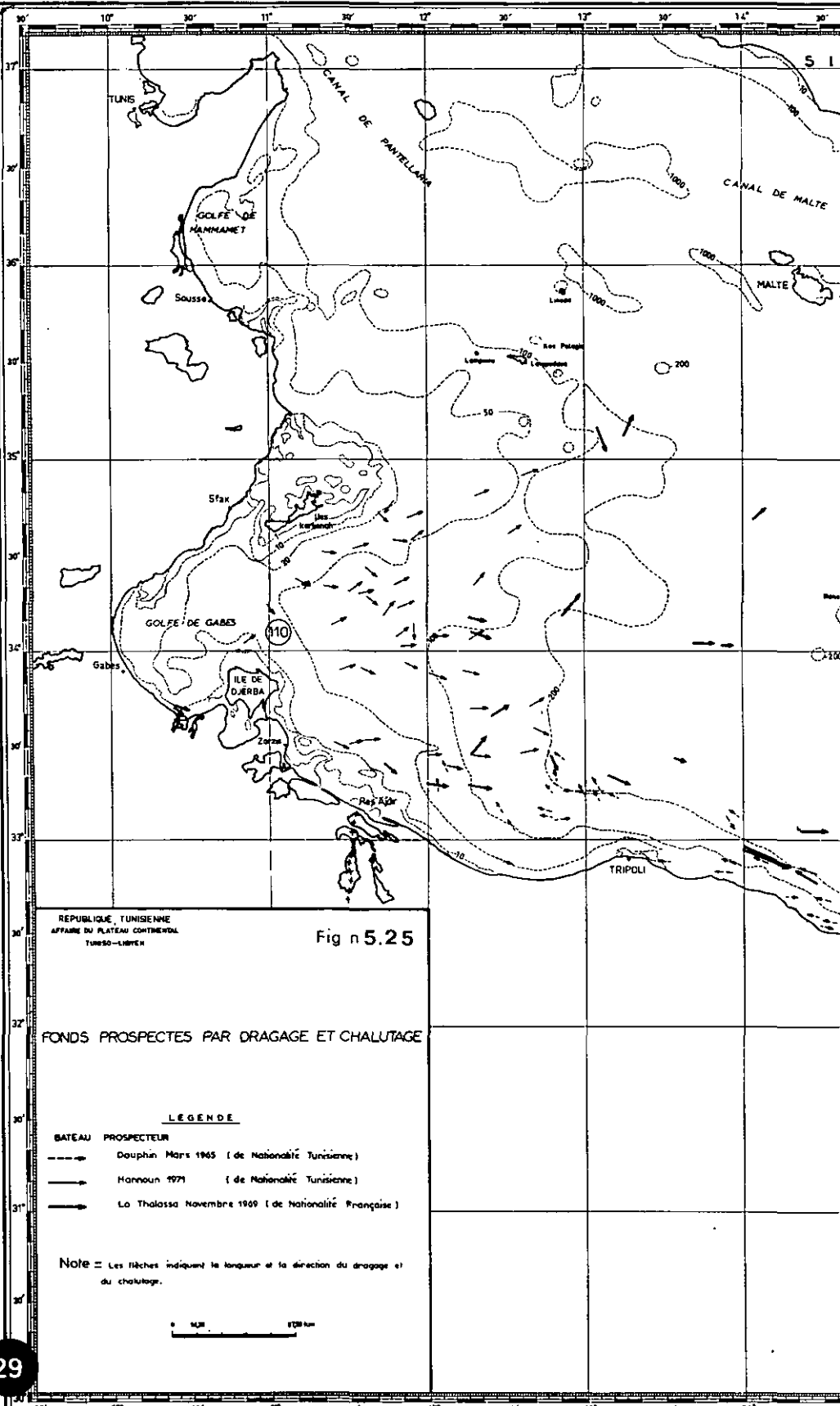
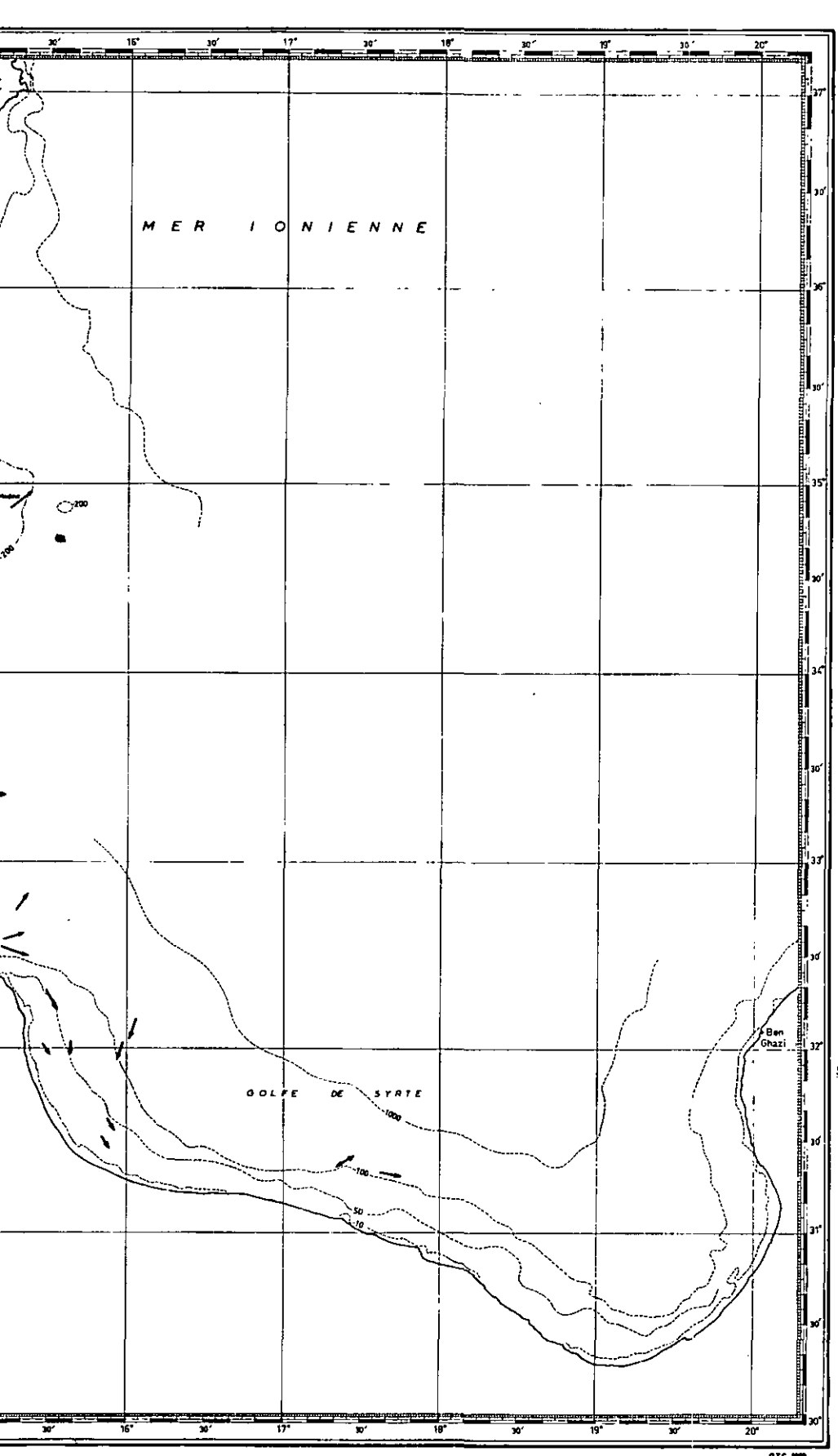


Fig N° 5.24





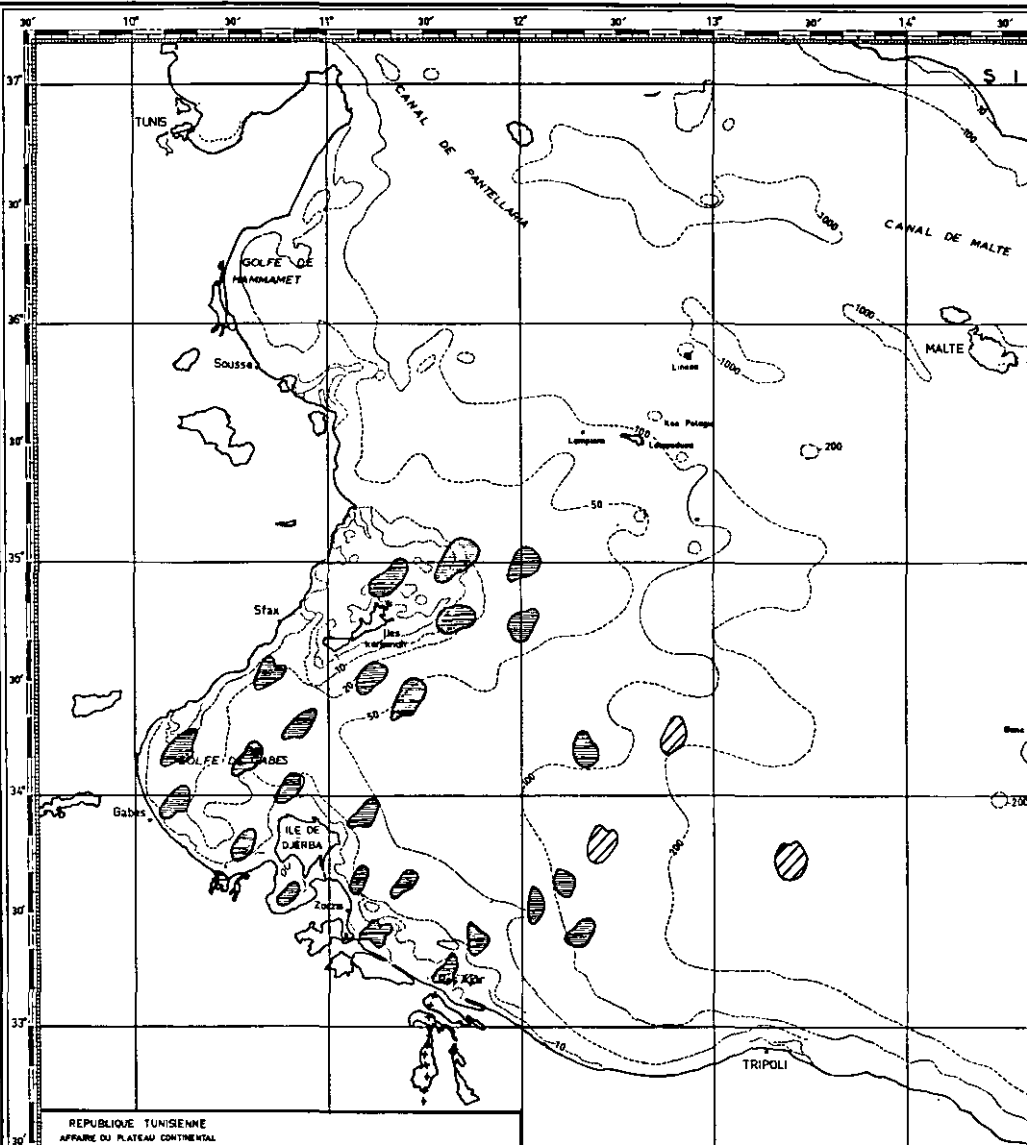


Fig. n° 5.26

REPARTITION DES CONCENTRATIONS DES EPONGES

- (espèce *Hypoponaria equina*)

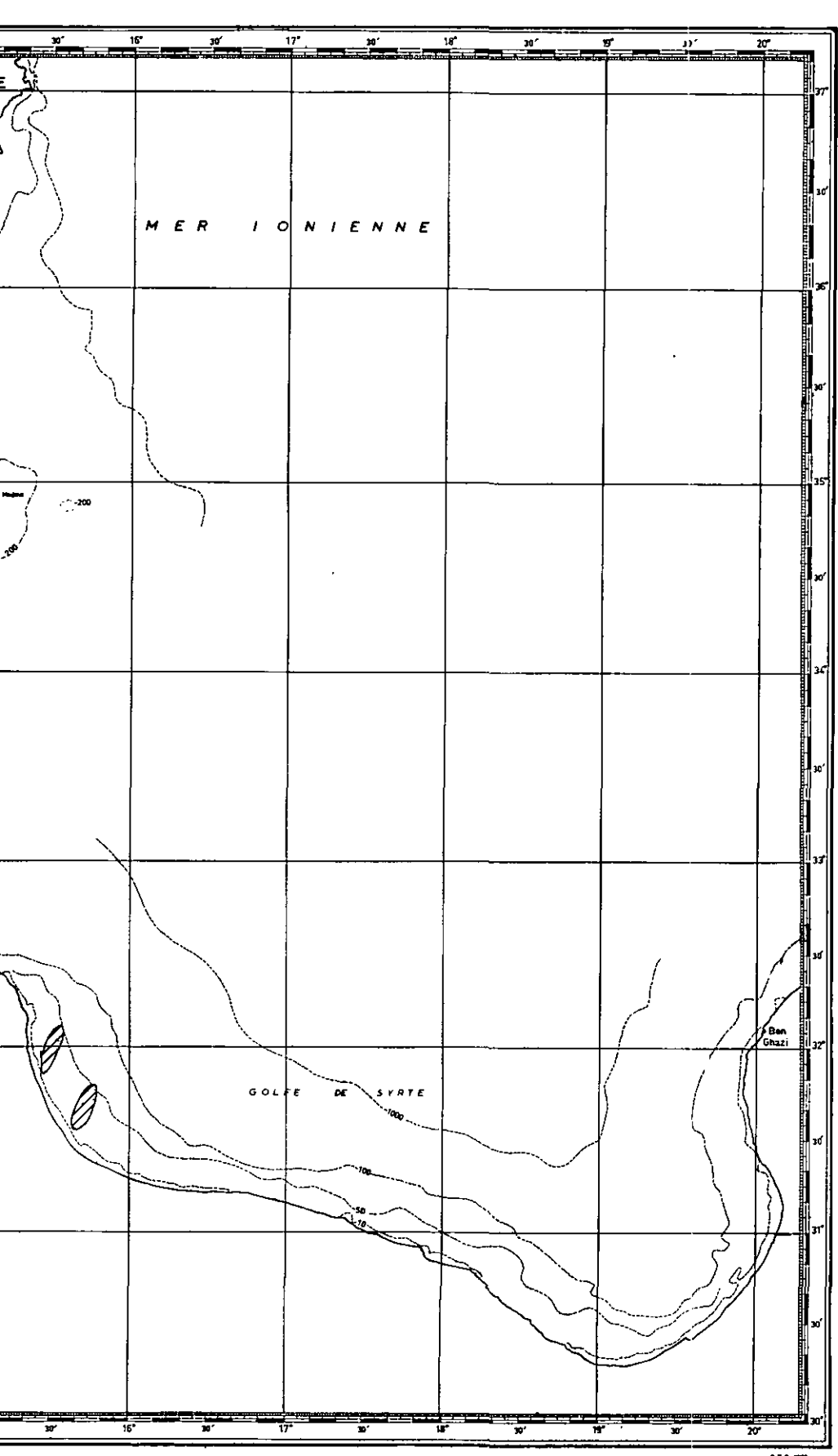
dans la région du golfe de Gabès et le long de la côte libyenne
(données de la Thalassa Novembre 1960)

LEGENDE



Note = *Hypoponaria equina* est une espèce caractéristique presque exclusivement du golfe de Gabès.

0 100 500 km



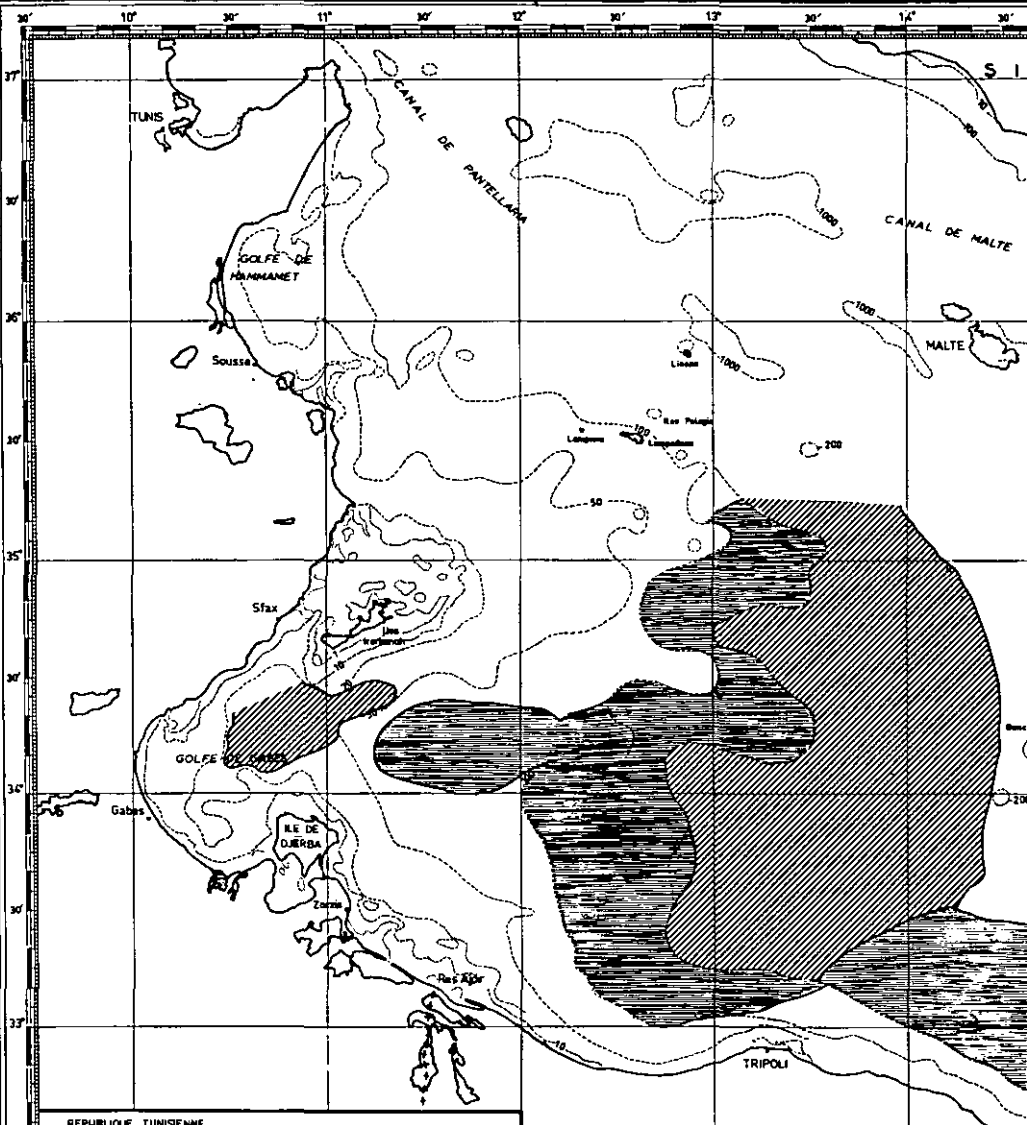


Fig n°5.27

REPUBLIQUE TUNISIENNE
AFFAIRE DU PLATEAU CONTINENTAL
TUNIS-LIBYE

REPARTITION DES CONCENTRATIONS DU MERLU
dans la région du golfe de Gabès et le long de la côte libyenne
(données de la Thalassa Novembre 1969)

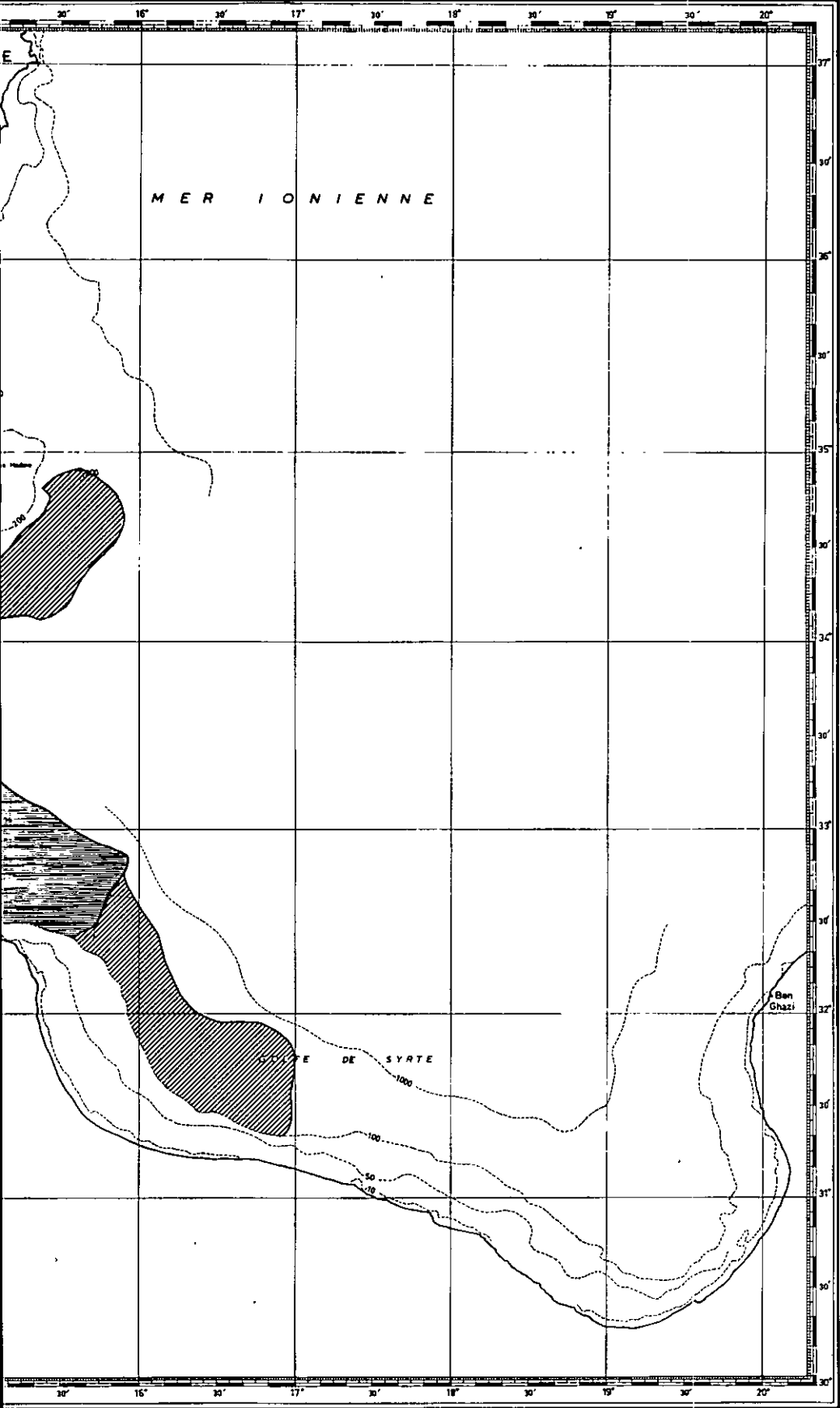
LEGENDE

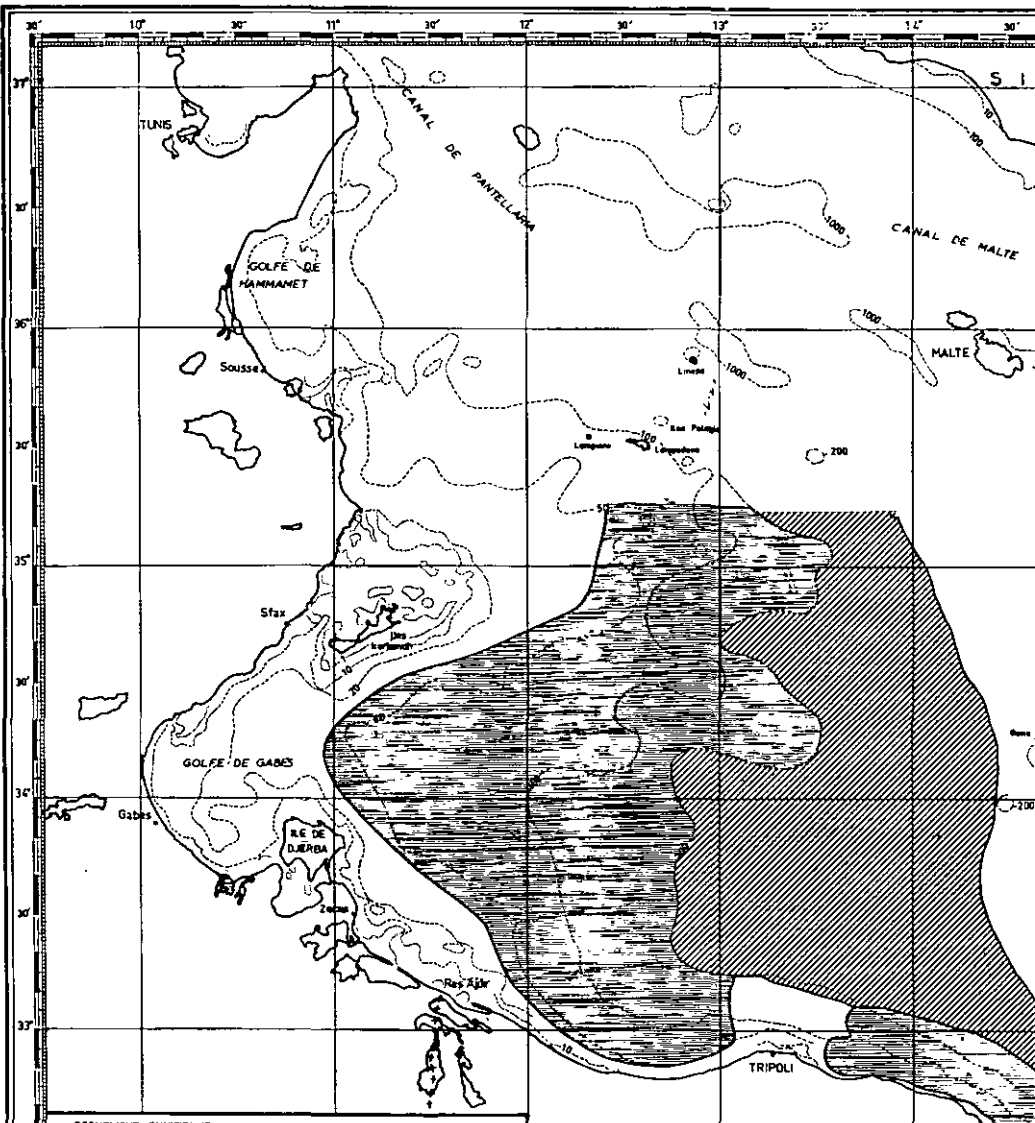
- [Solid Black Box] Dense
- [Diagonal Hatching Box] Peu Dense

Note = La zone de reproduction se situe autour des fonds 150 à 200m.

La zone de nutrition dans les fonds profonds.

0 100 500 km





REPUBLIQUE TUNISIENNE
AFFAIRE DU PLATEAU CONTINENTAL
TUNISO-LIBYEN

Fig n°5.28

REPARTITION DES CONCENTRATIONS DES ROUGETS
dans la région du golfe de Gabès et le long de la côte libyenne
(données de la Thalassa Novembre 1969)

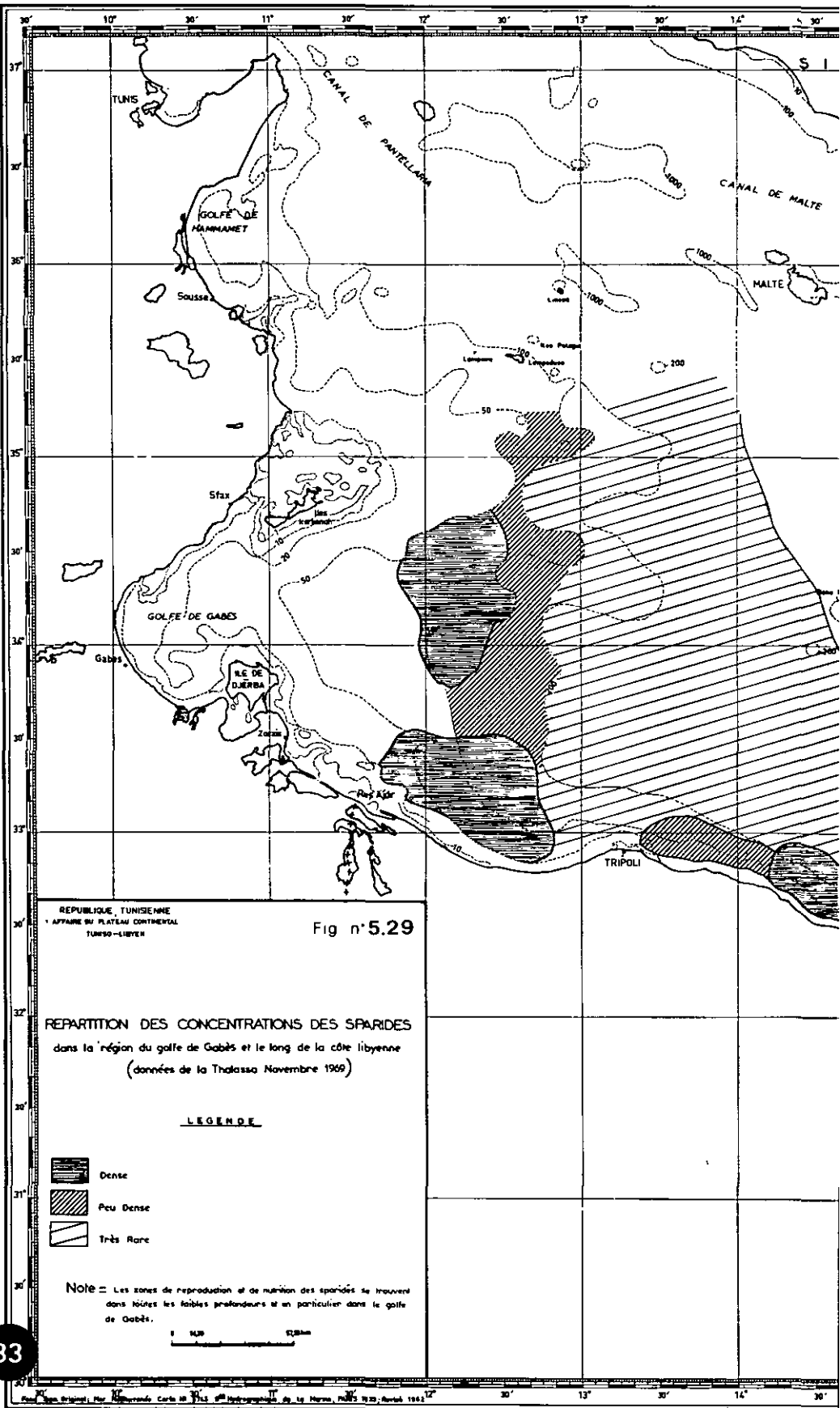
LEGENDE

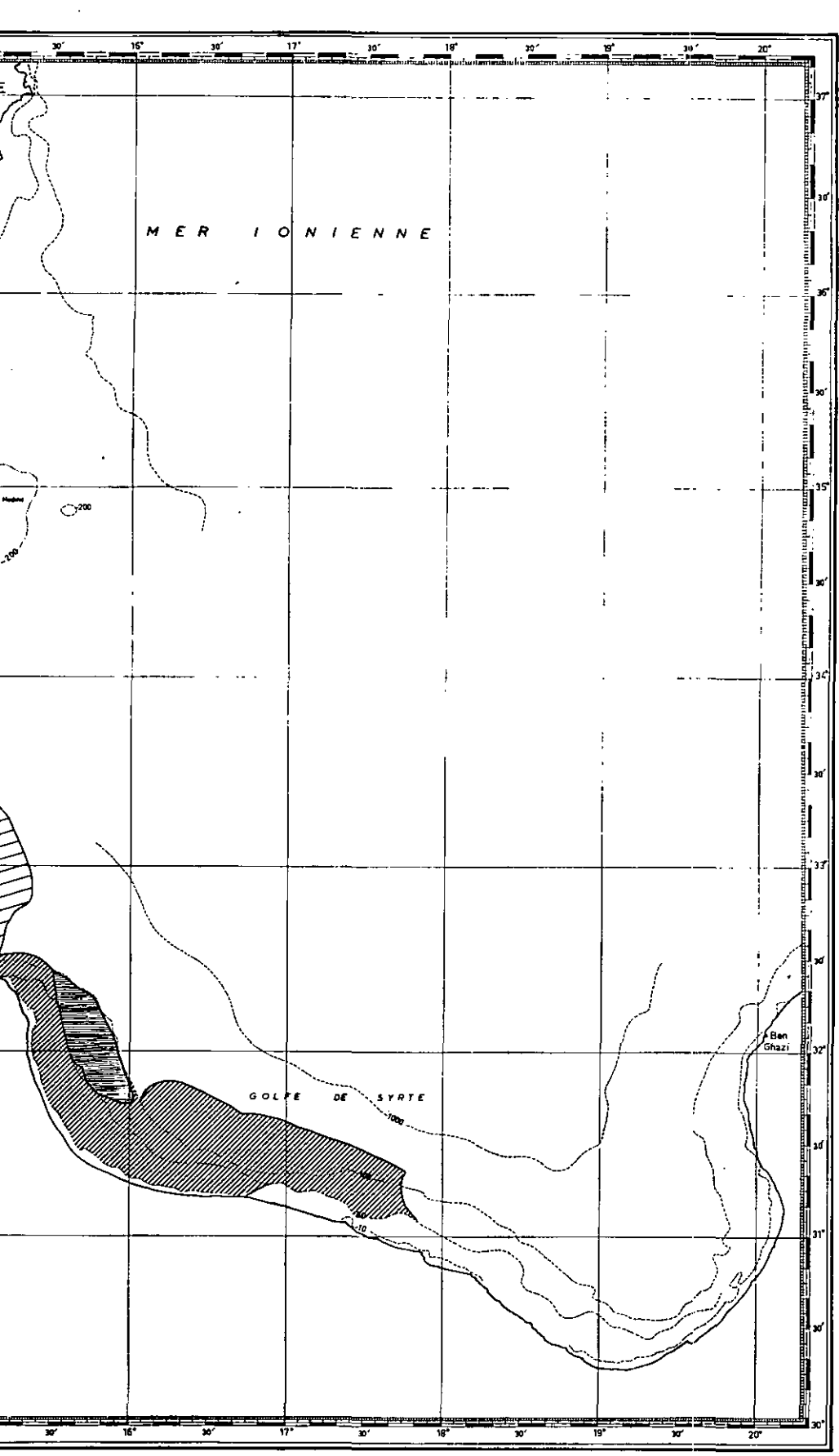
- [Solid black square] Dense
- [Hatched square] Peu Dense

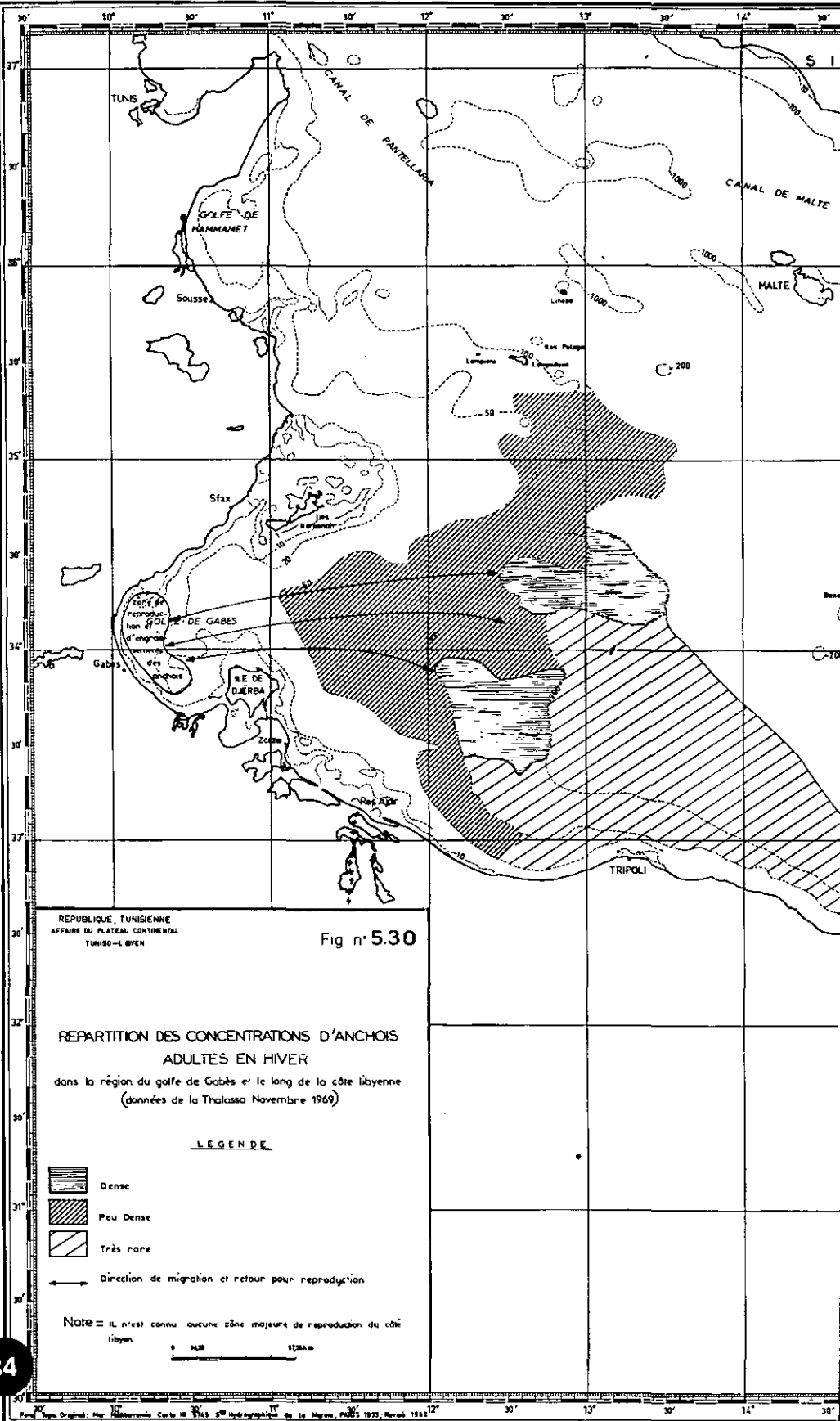
Note = Les zones de reproduction et de nutrition des rougets se trouvent dans toutes les faibles profondeurs et en particulier dans le Golfe de Gabès.

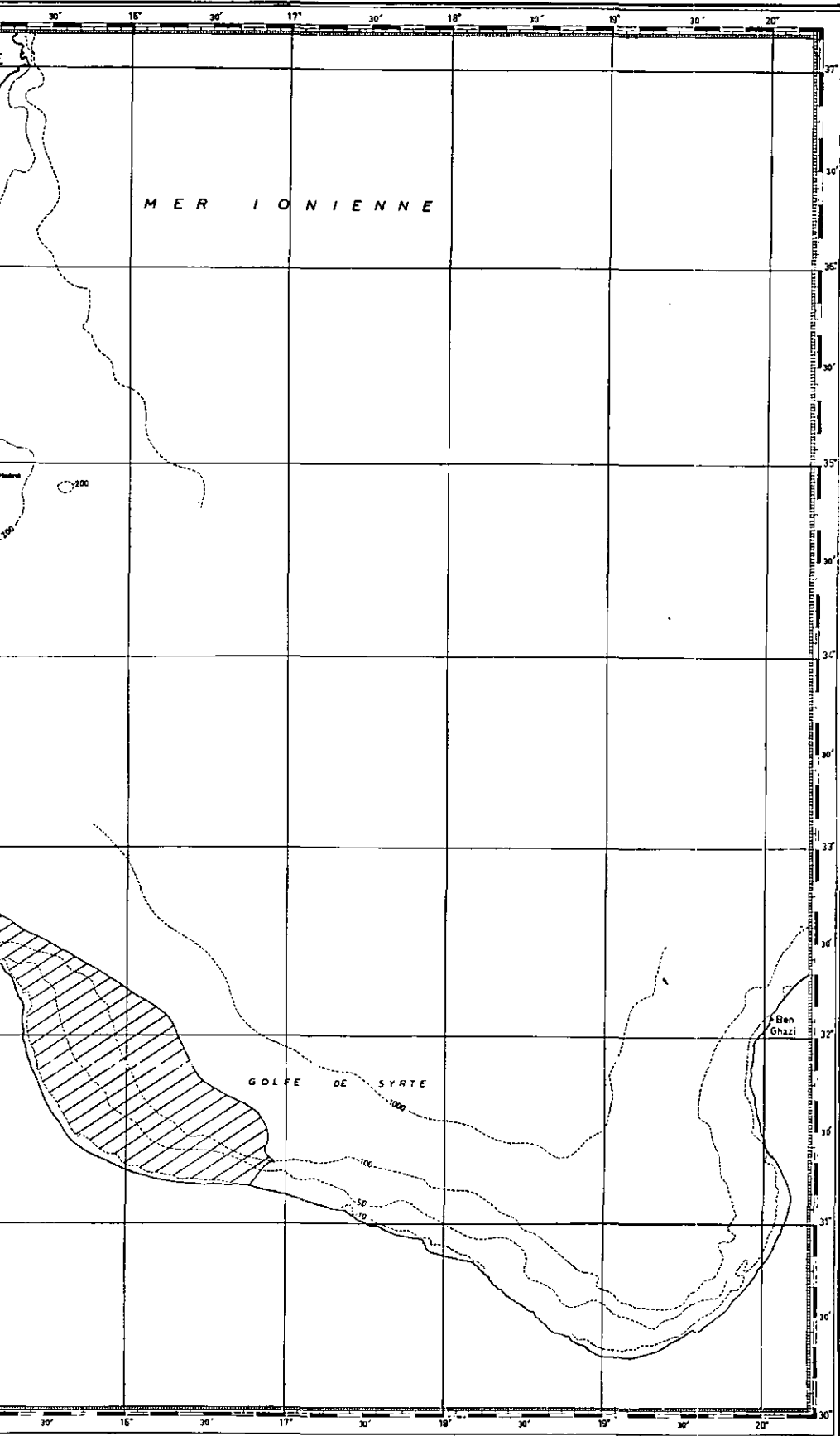
0 1000 2000 Km











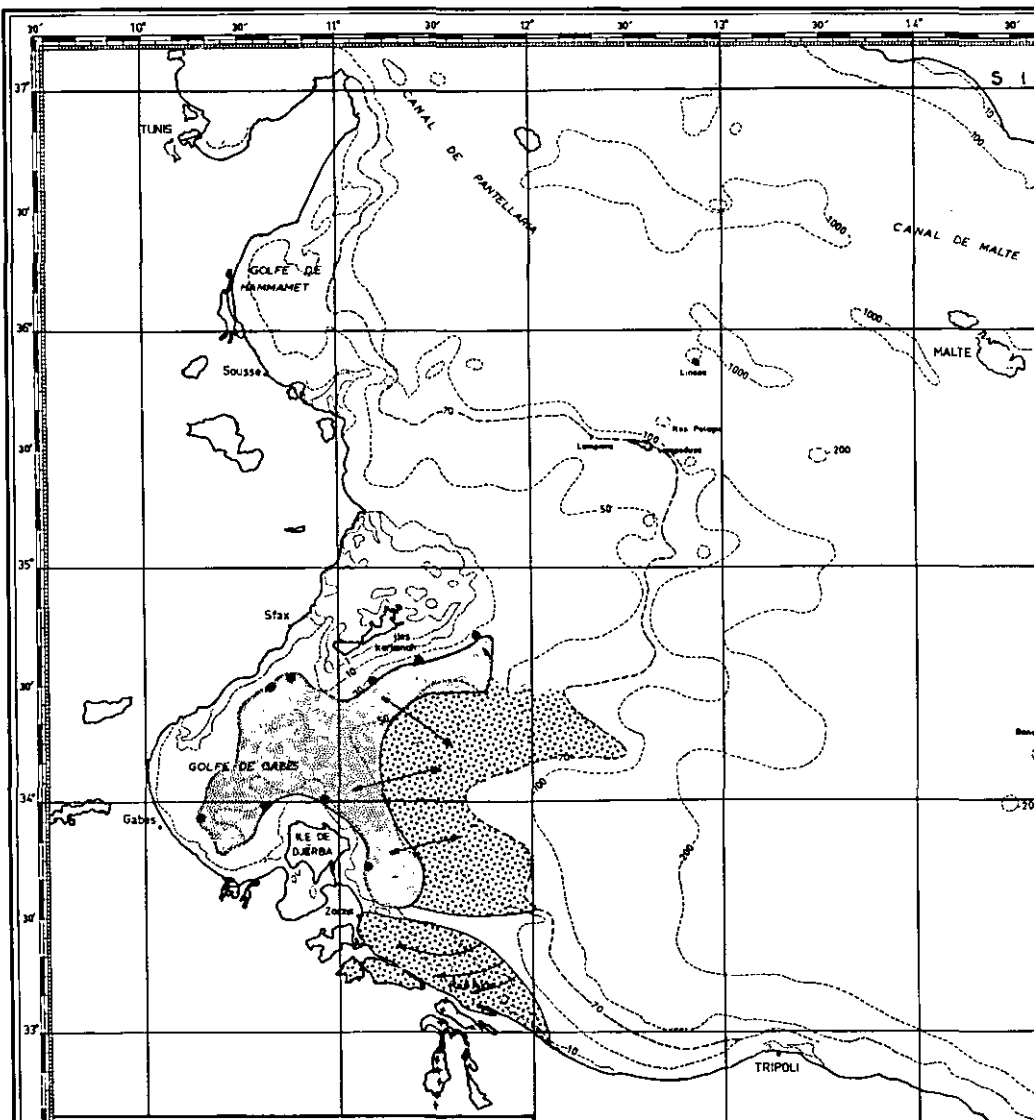


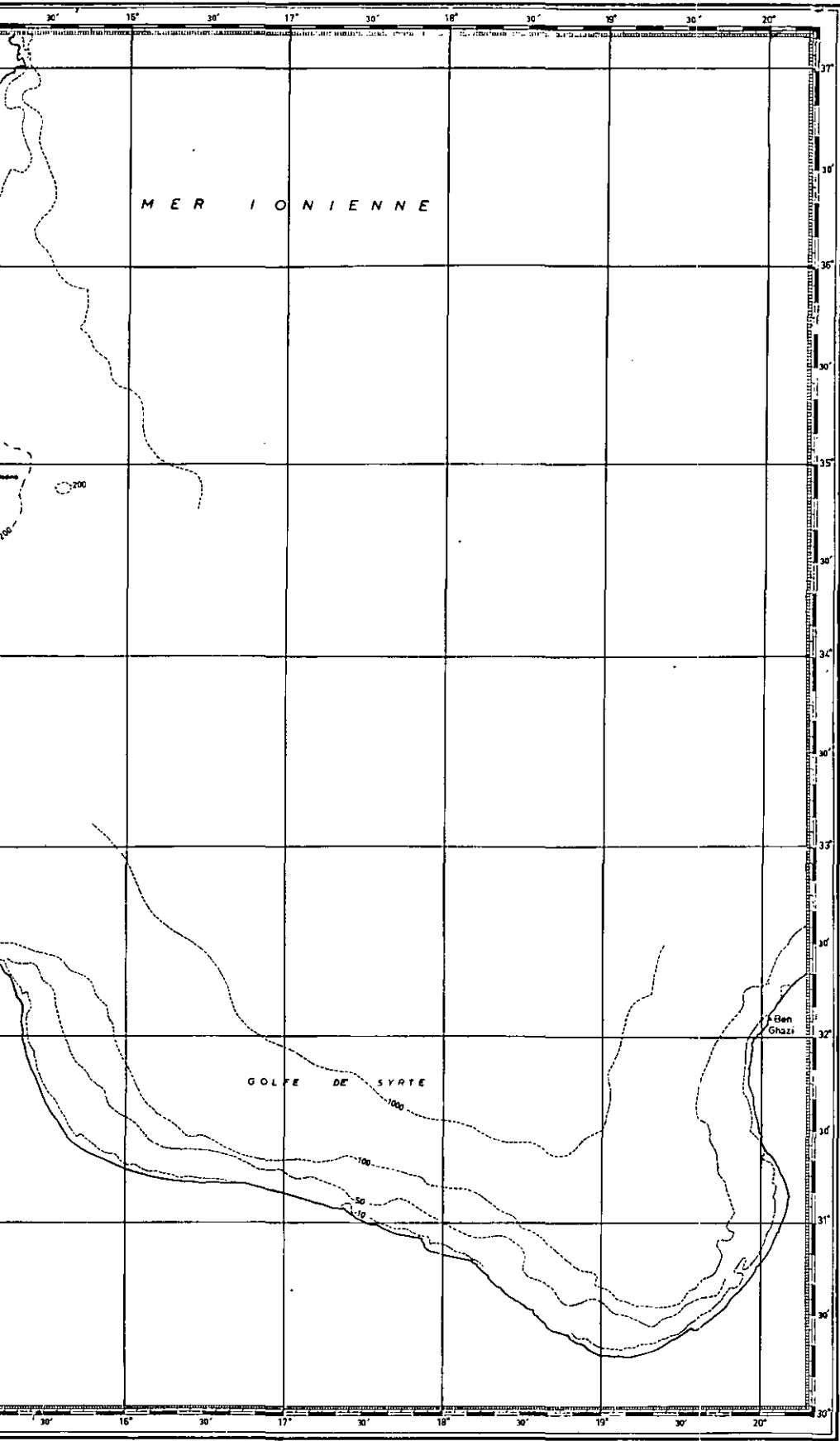
Fig. n° 5.31

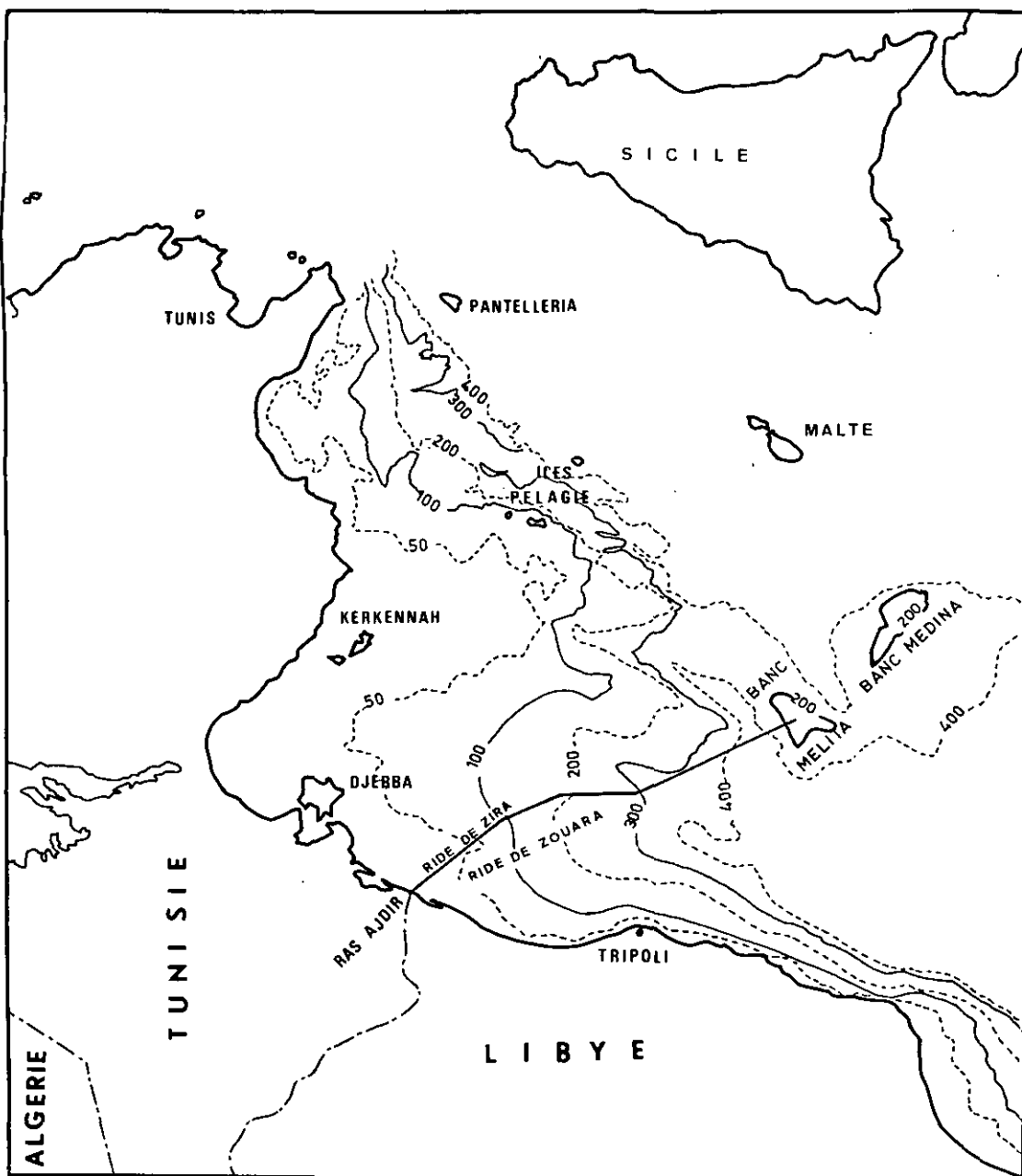
**REPARTITION DE LA CREVETTE ROYALE
dans la région du golfe de Gabès**

LEGENDE

- Zone de reproduction
- [Hatched box] Concentration importante
- [Dotted box] Concentration faible
- Direction de migration et de retour pour reproduction
- Limite maximale extérieure de distribution bathymétrique de la crevette royale (isobathe de 70 m)

Note = Aucune zone de reproduction n'a été connue du côté libyen





— Ligne des Crêtes

FIGURE 9.01

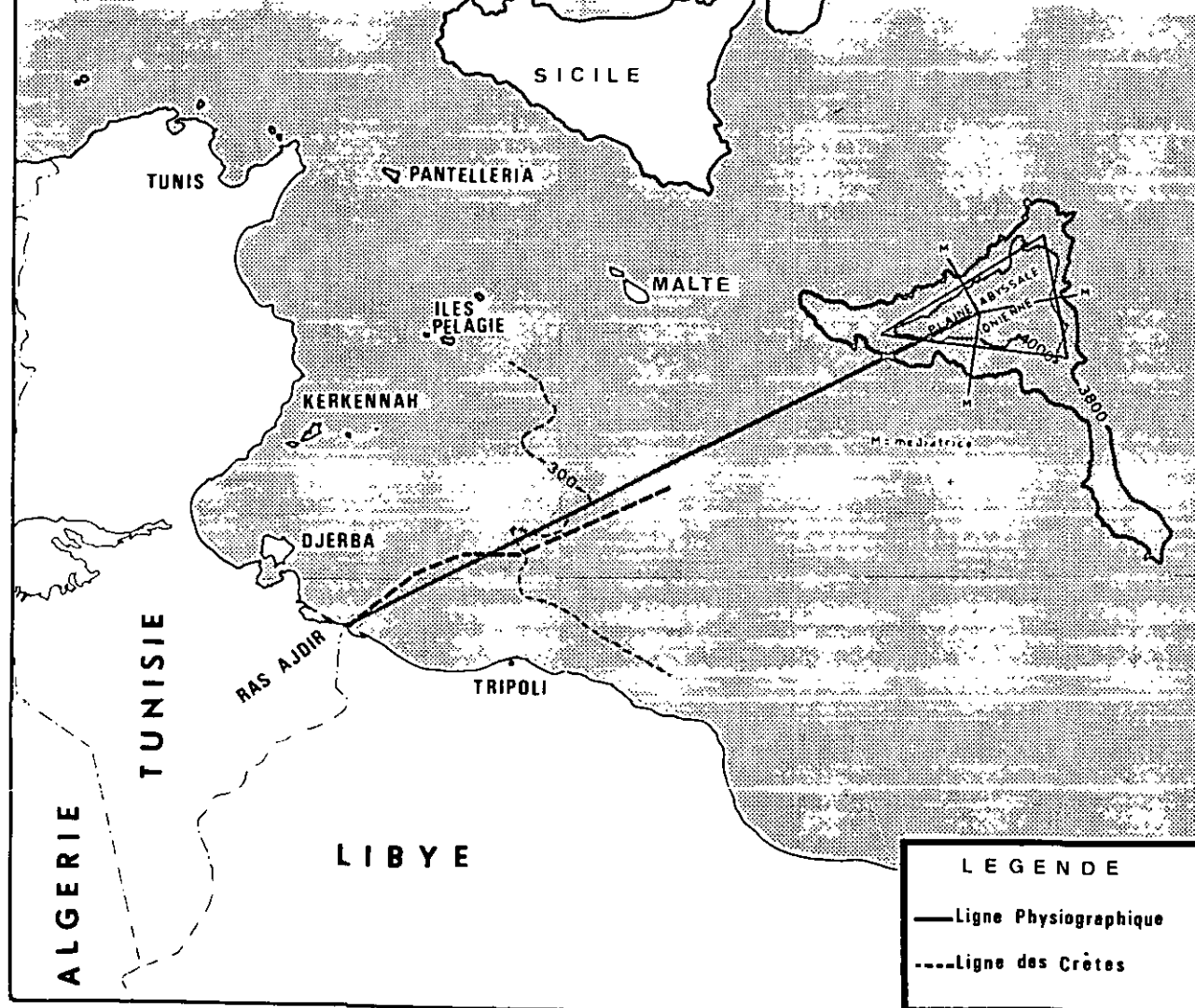
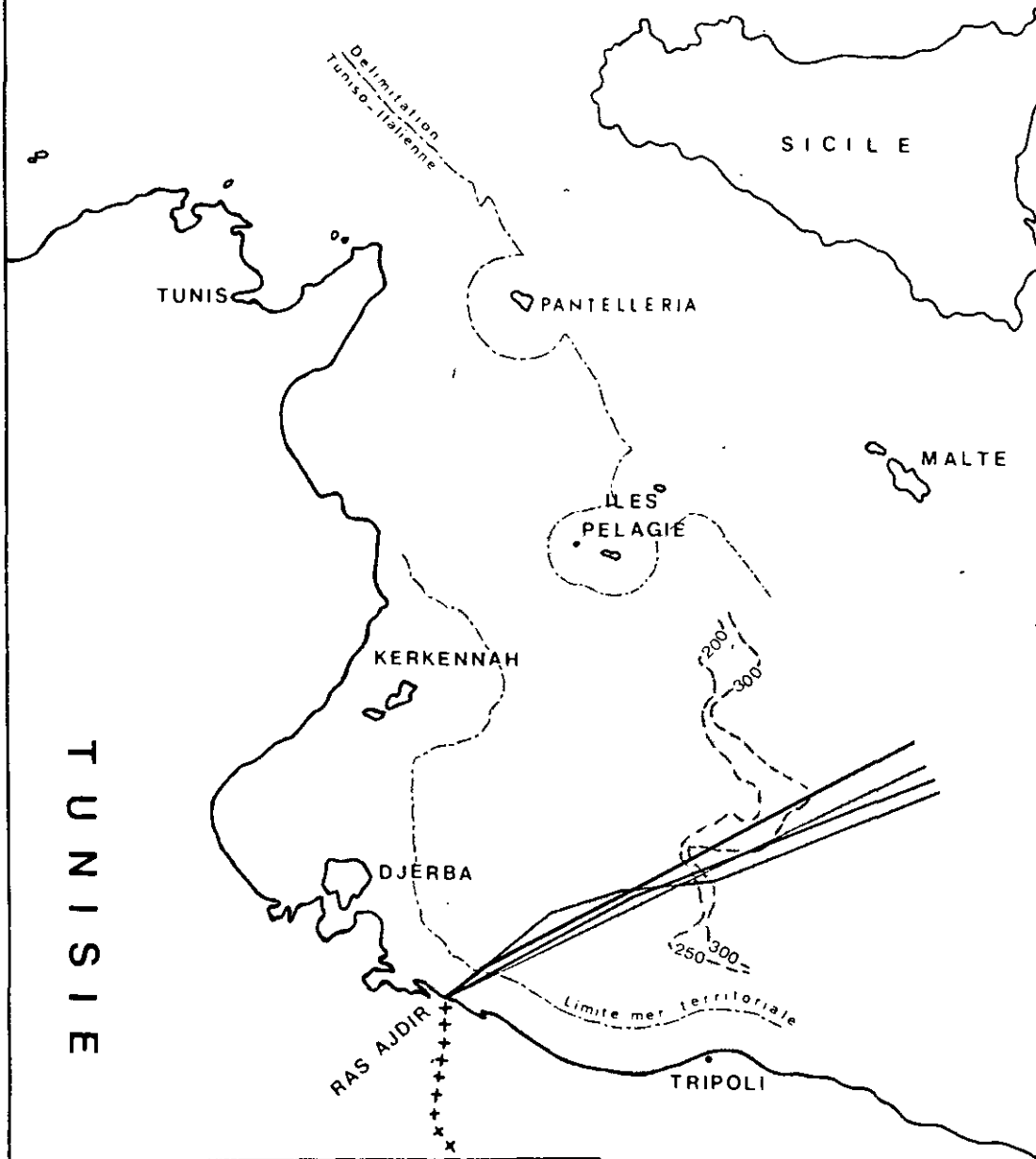


FIGURE 9.02

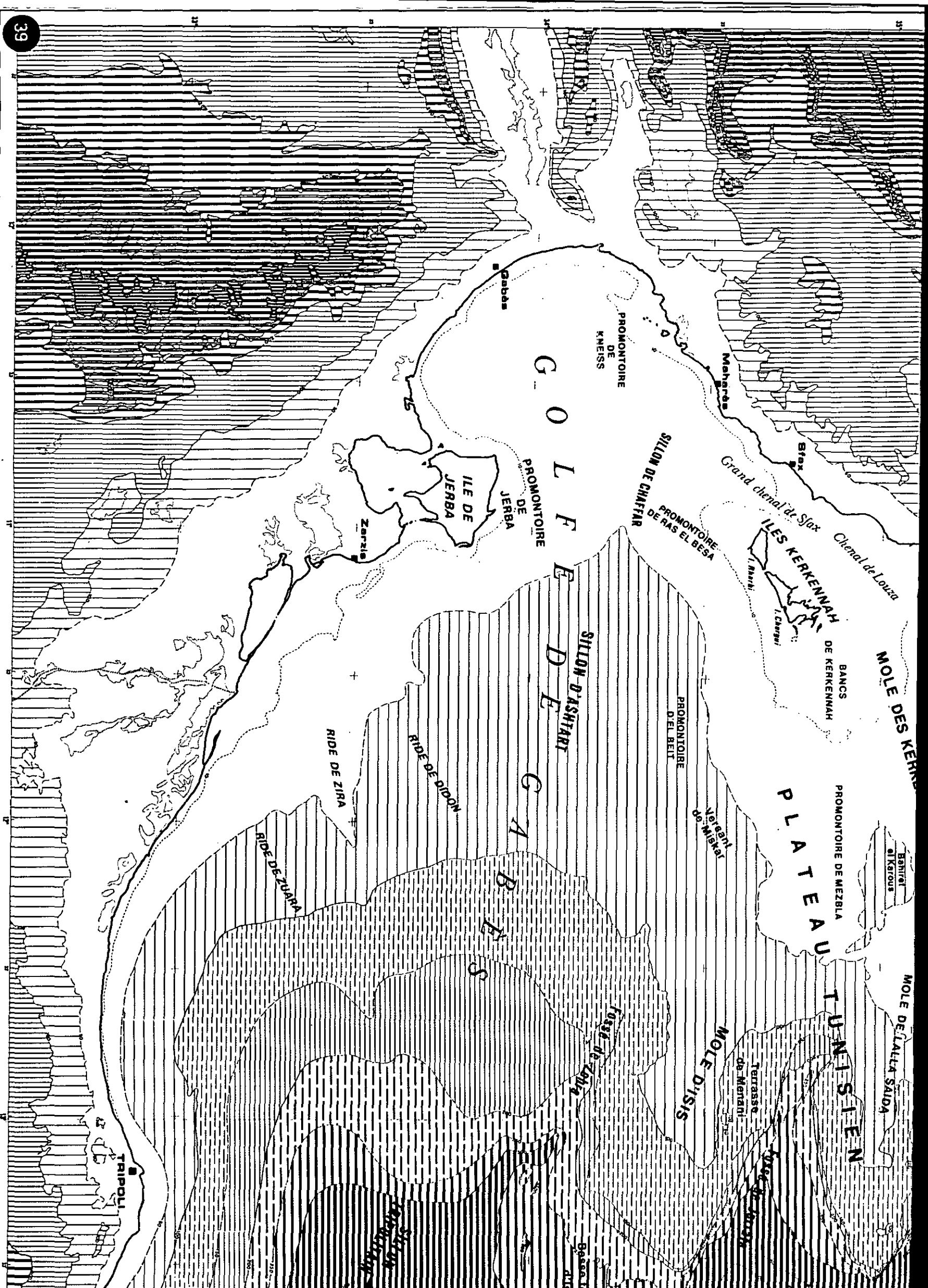
TUNISIE



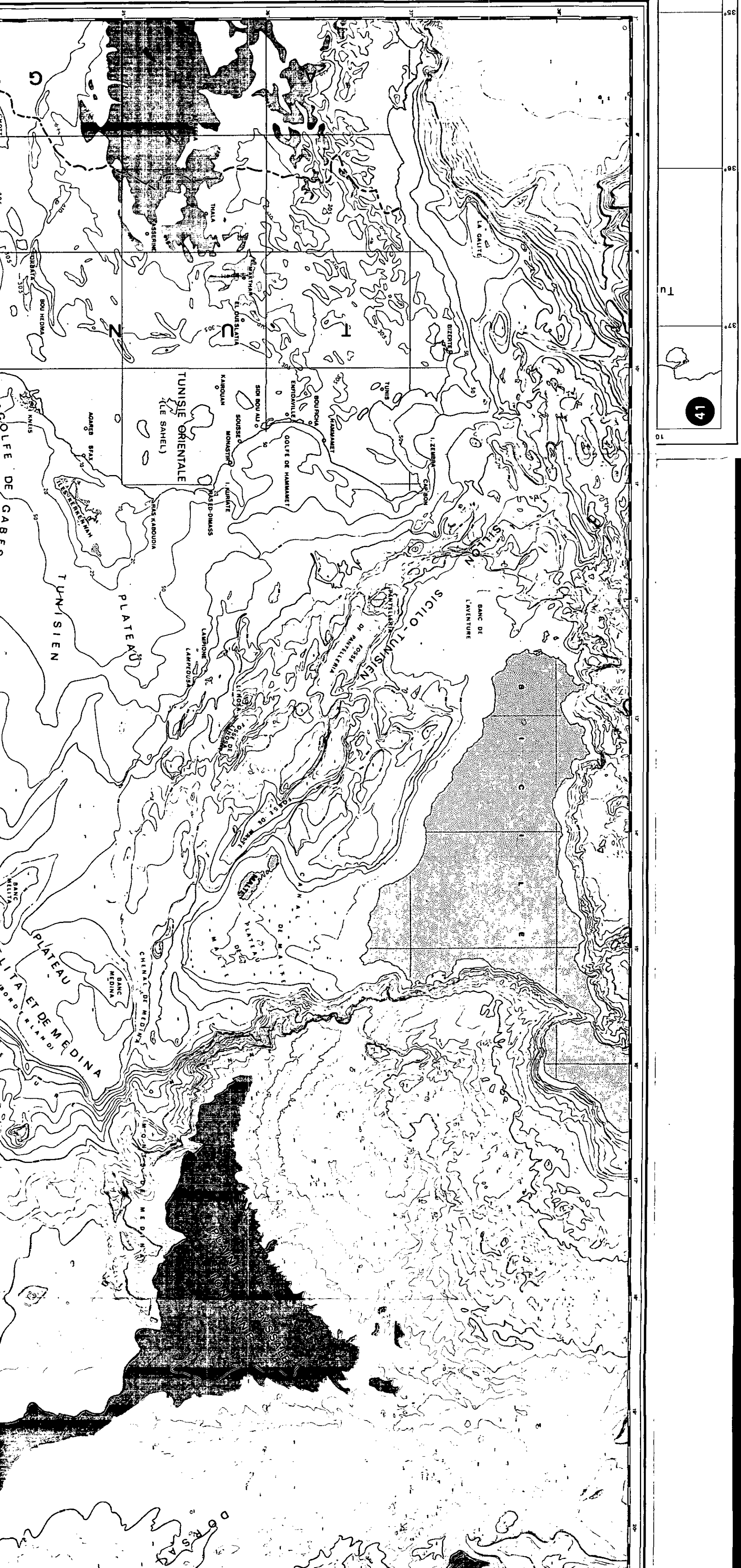
LEGENDE

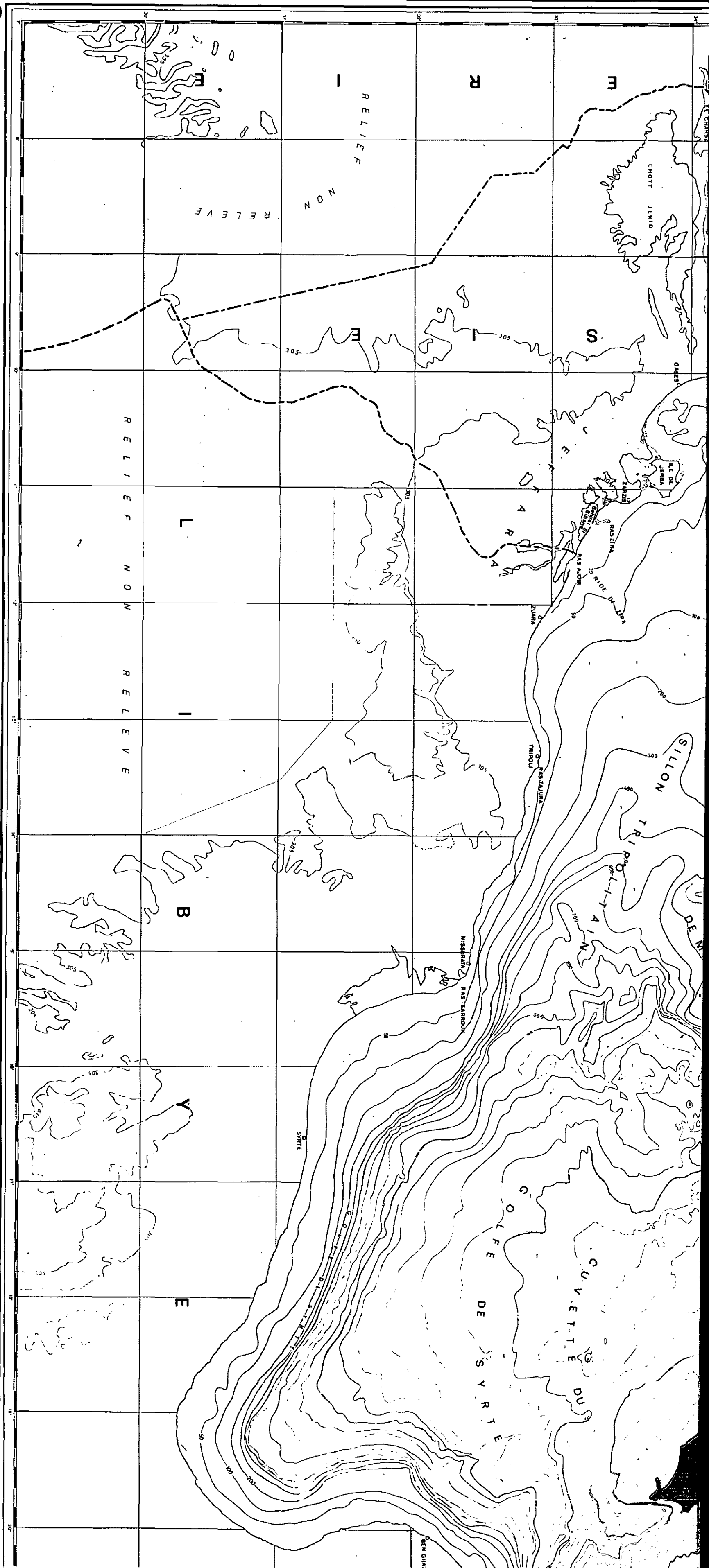
- Ligne des Crêtes
- Ligne Physiographique
- Première méthode géométrique
- Seconde méthode géométrique

LIBYE









41

10°

11°

12°

13°

14°

15°

37°

39°

35°

36°

TUNISIA

Lampedusa

Linosa

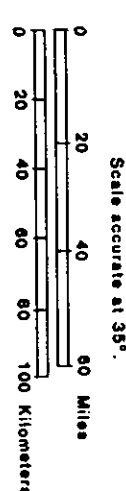
Malta

Ras Kaboudia

Gulf of Hammamet

36°

36°



Tunis

Pantelleria

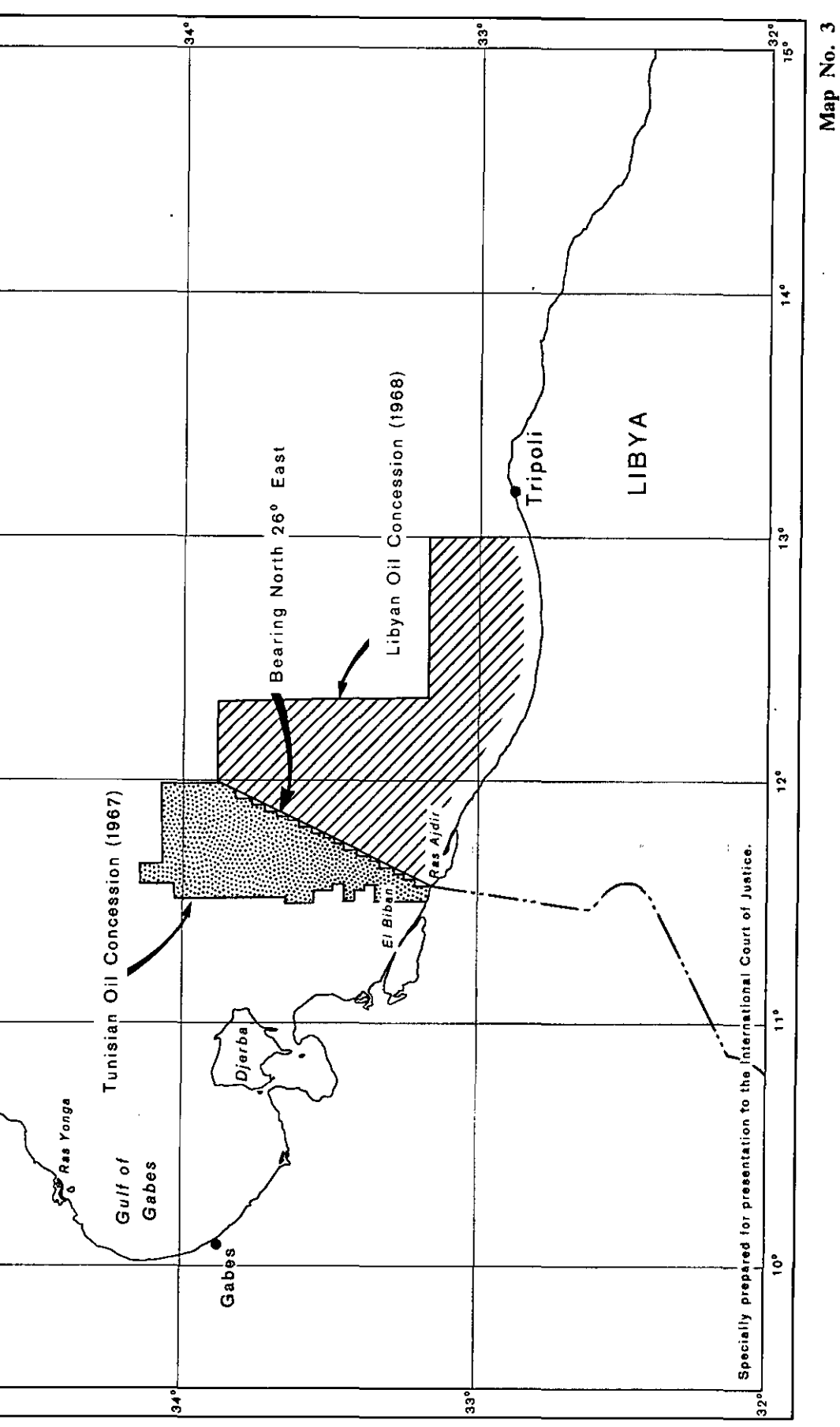
1967 TUNISIAN OIL CONCESSION
AND
1968 LIBYAN OIL CONCESSION

Sicily

Gulf of Tunis
Cape Bon

Cape Bon

Concessions



Specially prepared for presentation to the International Court of Justice.

10°

11°

12°

13°

14°

15°

42

Gulf of Tunis
Cape Bon

Tunis

Pantellaria

Gulf of Hammamet

TUNISIA

Ras Kaboudia

GENERAL MAP
TUNISIAN BASELINES CLAIM:
1973 LAW AND DECREE

Mercator Projection
Scale accurate at 35°.

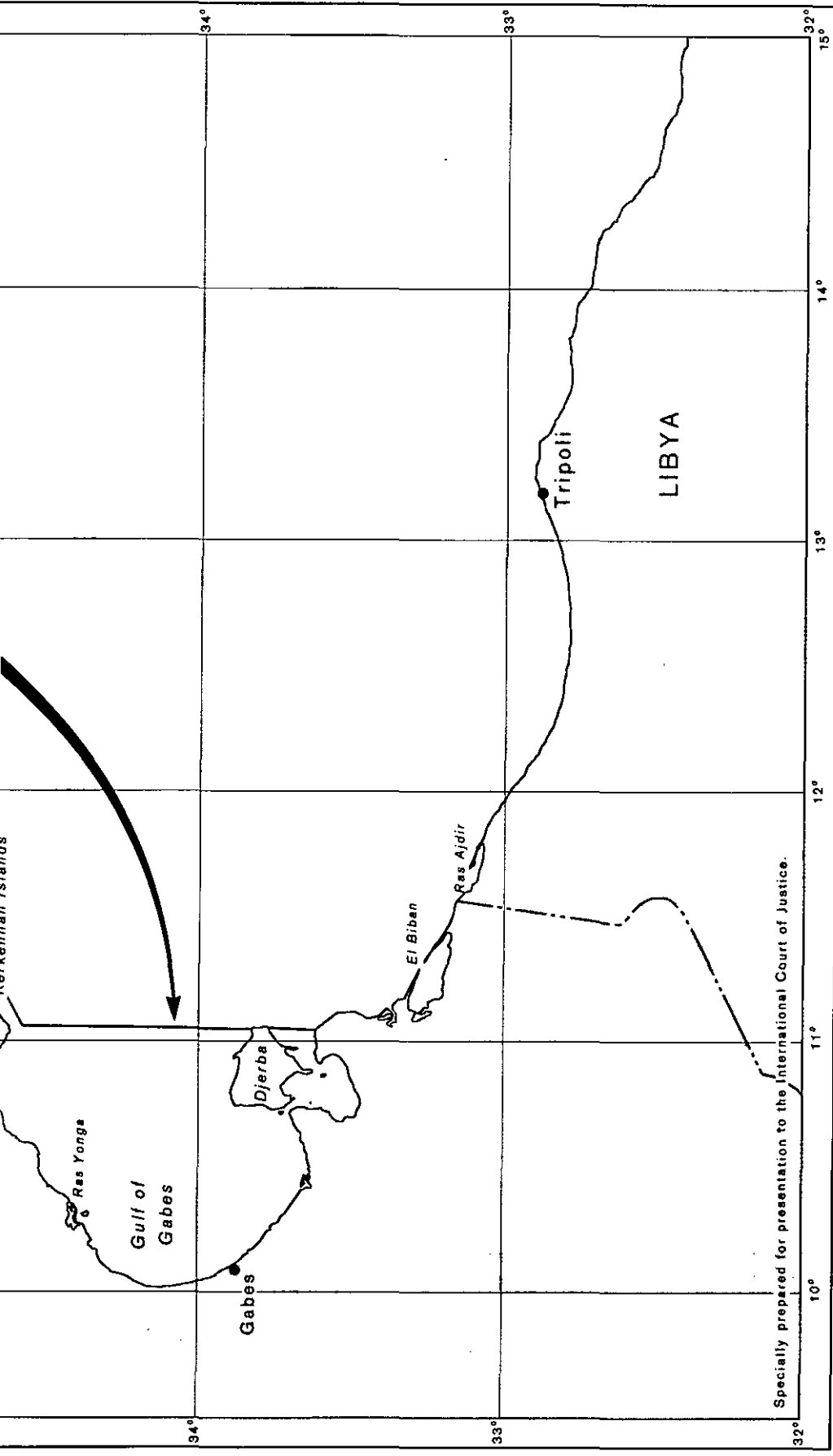


Linosa

Lampedusa

Sicily

Malta



10°

11°

12°

13°

14°

15°

Gulf of
Tunis

Cape Bon

Tunis

Gulf of
Hammamet

TUNISIA

Pantelleria

Ras Kaboudia

Linosa

Lampedusa

Sicily

GENERAL MAP
TUNISIAN MARITIME BOUNDARY
CLAIM
ACCORDING TO 1976 MEMORANDUM

Mercator Projection

Scale accurate at 35°.

0 20 40 60 Miles

0 20 40 60 80 100 Kilometers

Malta

36°

35°

37°

37°

35°

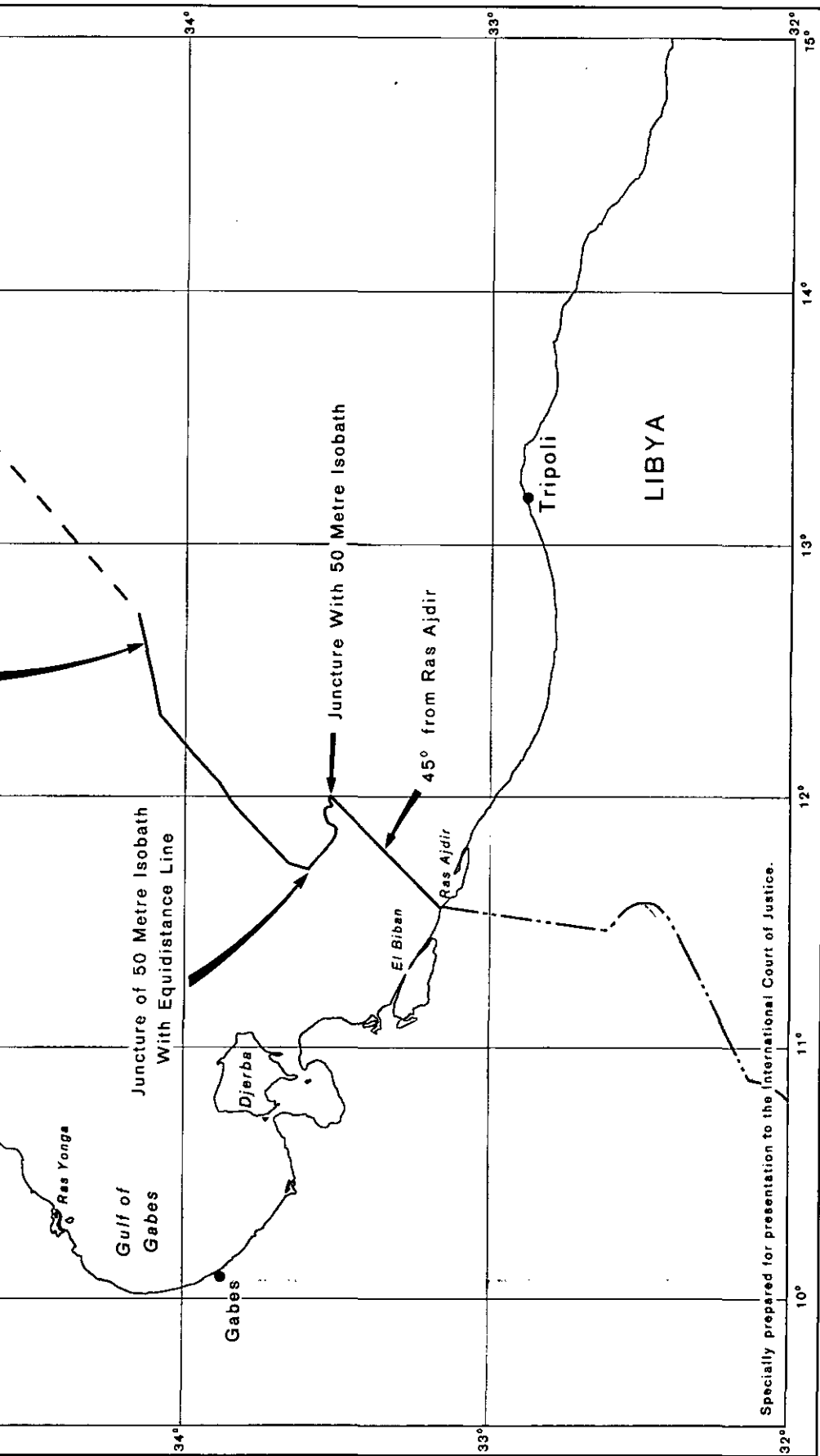


Fig. (4A and B) Tethys (the E-W running sea separating the European and African plates some 100 million years ago) at its maximum development is thought by some to have been bounded on the west near Nova Scotia by a single primeval continent, Pangea (white 4A). Others believe that during this period the Tethys separated North America, which belonged to Laurasia, from South America and Africa, a part of Gondwanaland (4B) (Sylvester et al., 1968).

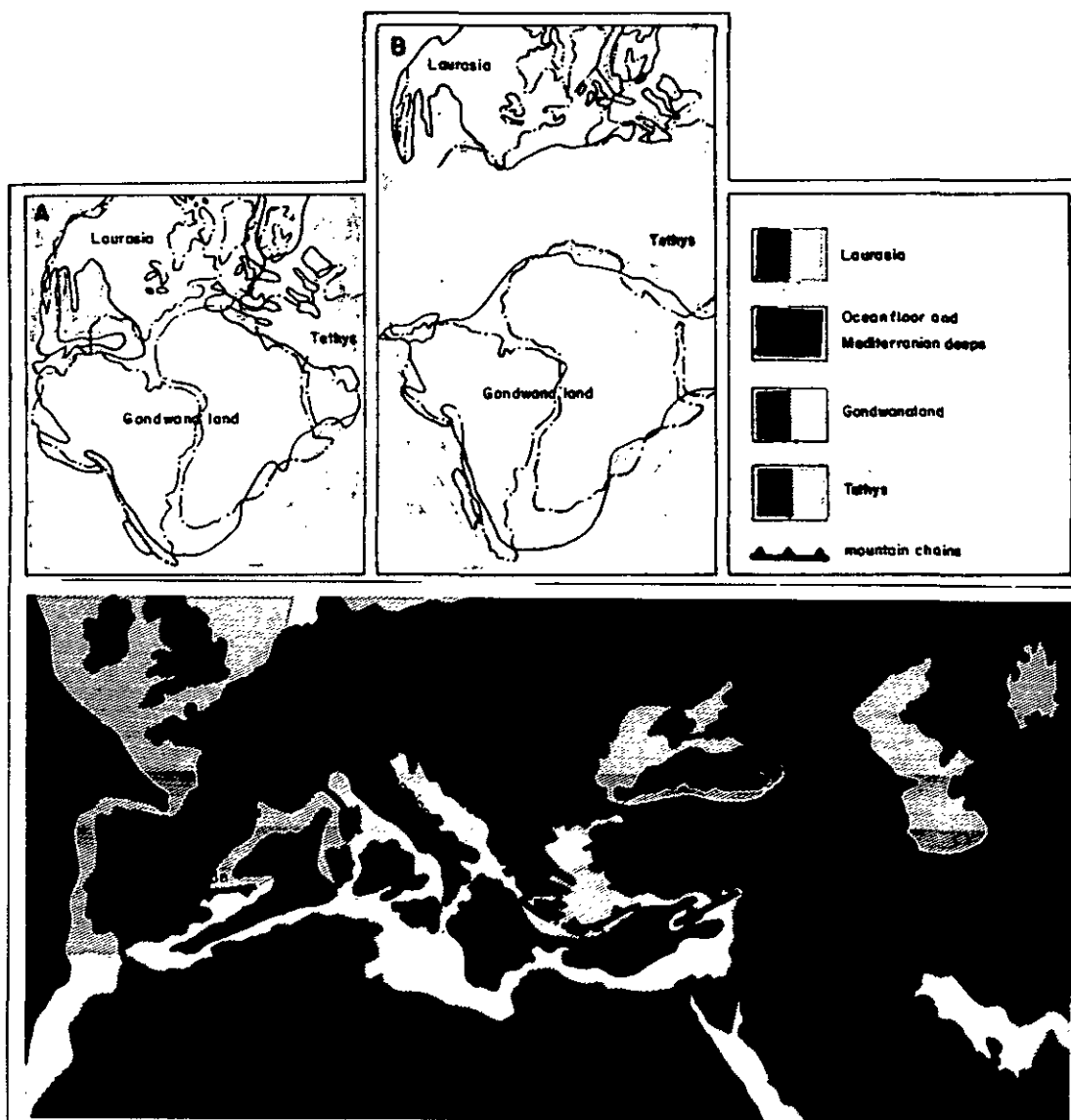


Fig. 4C.- SHOWING THAT THE MOBIL ALPINE BELT IS A WESTWORLD EXTENSION OF A LARGER TECTONIC BELT (Tethys) AFTER SYLVESTER 1968.

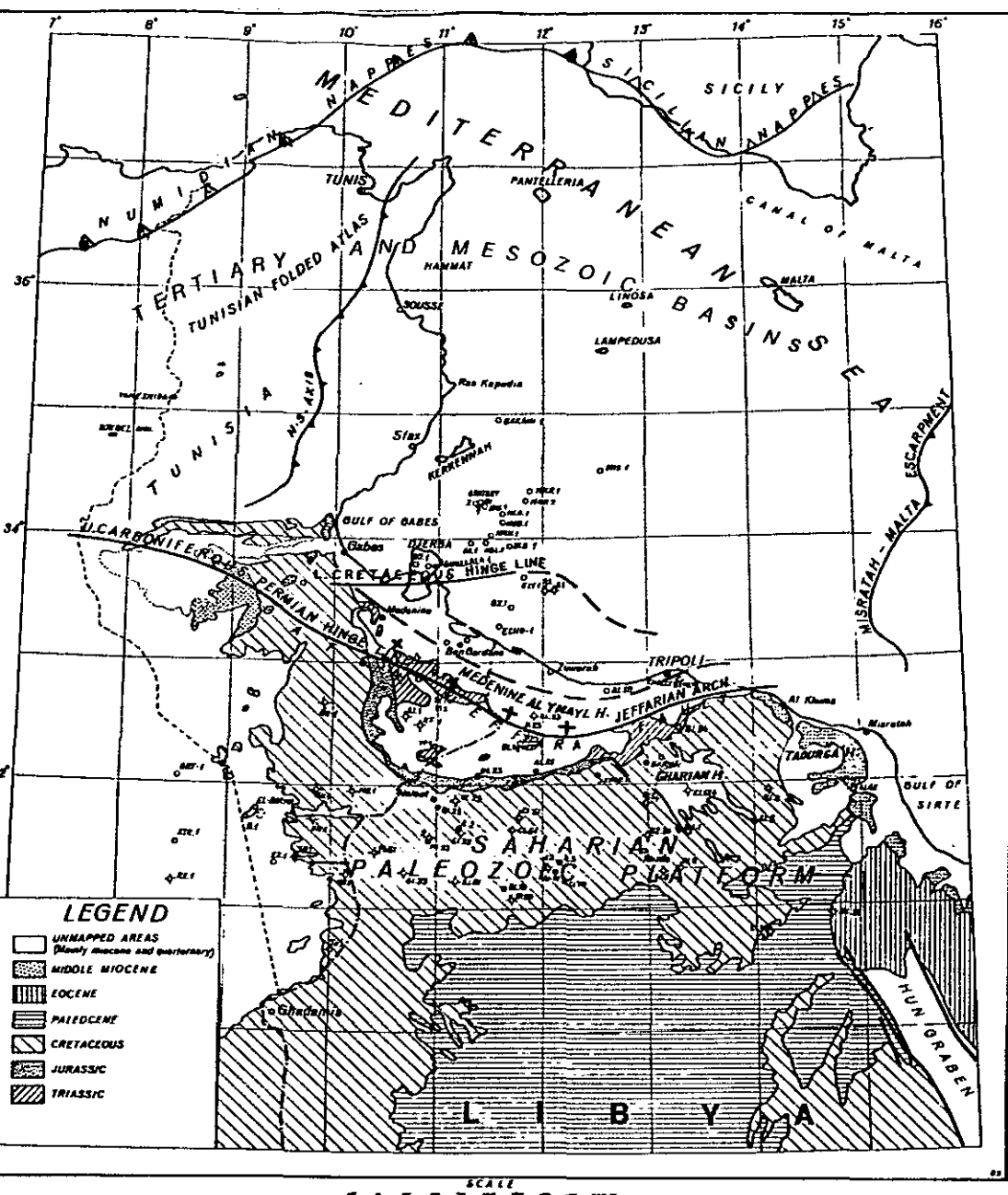
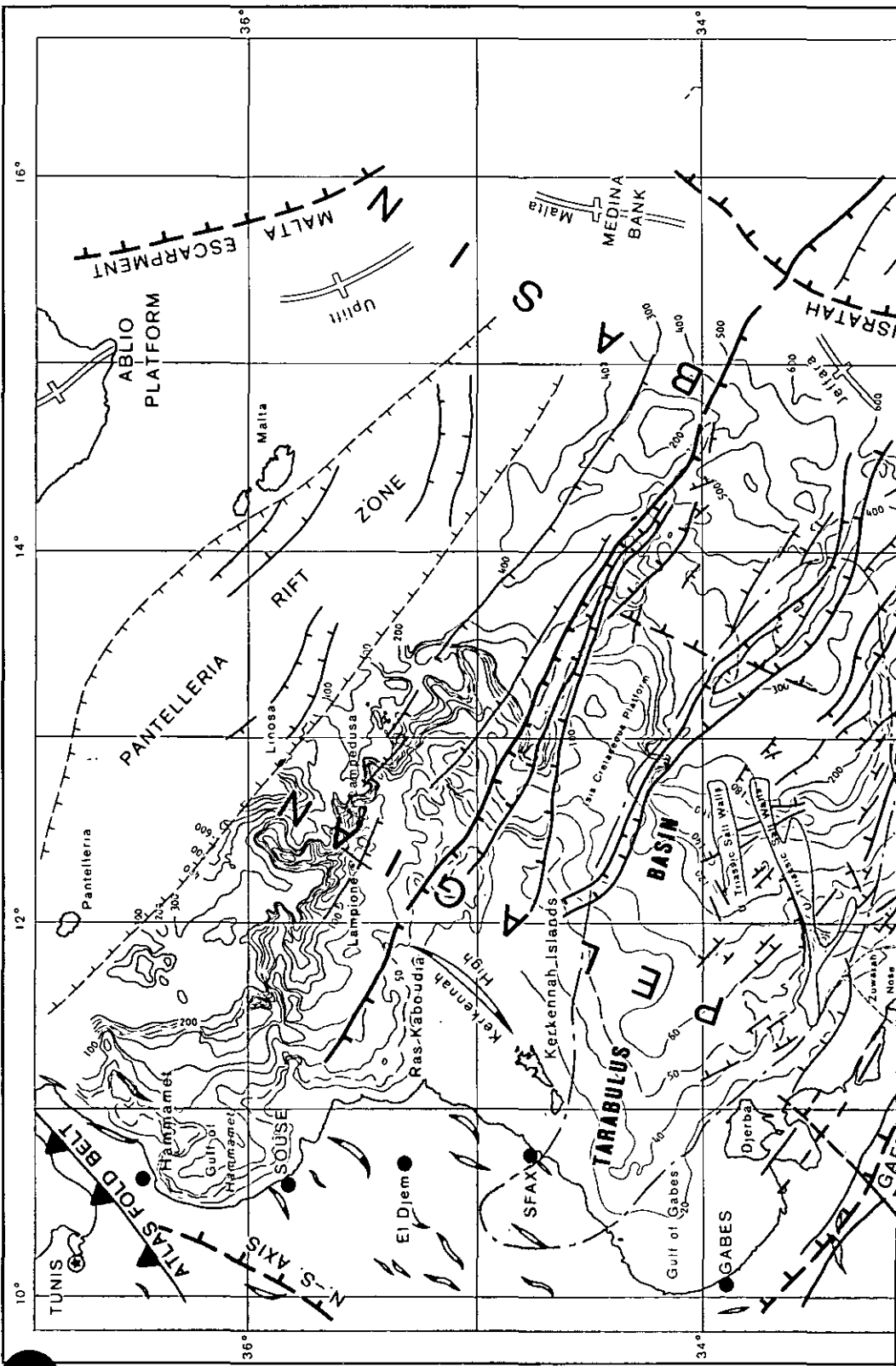


FIG.6 GENERAL GEOLOGIC FRAME WORK OF THE ONSHORE AREA





BATHYMETRIC OVERLAY TO THE OFFSHORE TECTONIC TRENDS

Tectonic Fractures and Folds

Major Fractures

Minor Fractures

Tectonic Limits

Limits of the Pelagian Basin

Limits of the Tarabulus Basin

Axes of Major Plates

Uplift

Atlas Fold Belt and Related Trends

Axes of Folds

Tectonic Plates

Limits of Western Mediterranean Nappes

Geographic Limits

International Boundaries

Land/Sea Boundaries

Specially prepared for presentation to
the International Court of Justice.

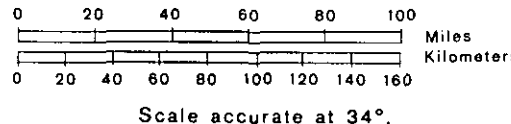


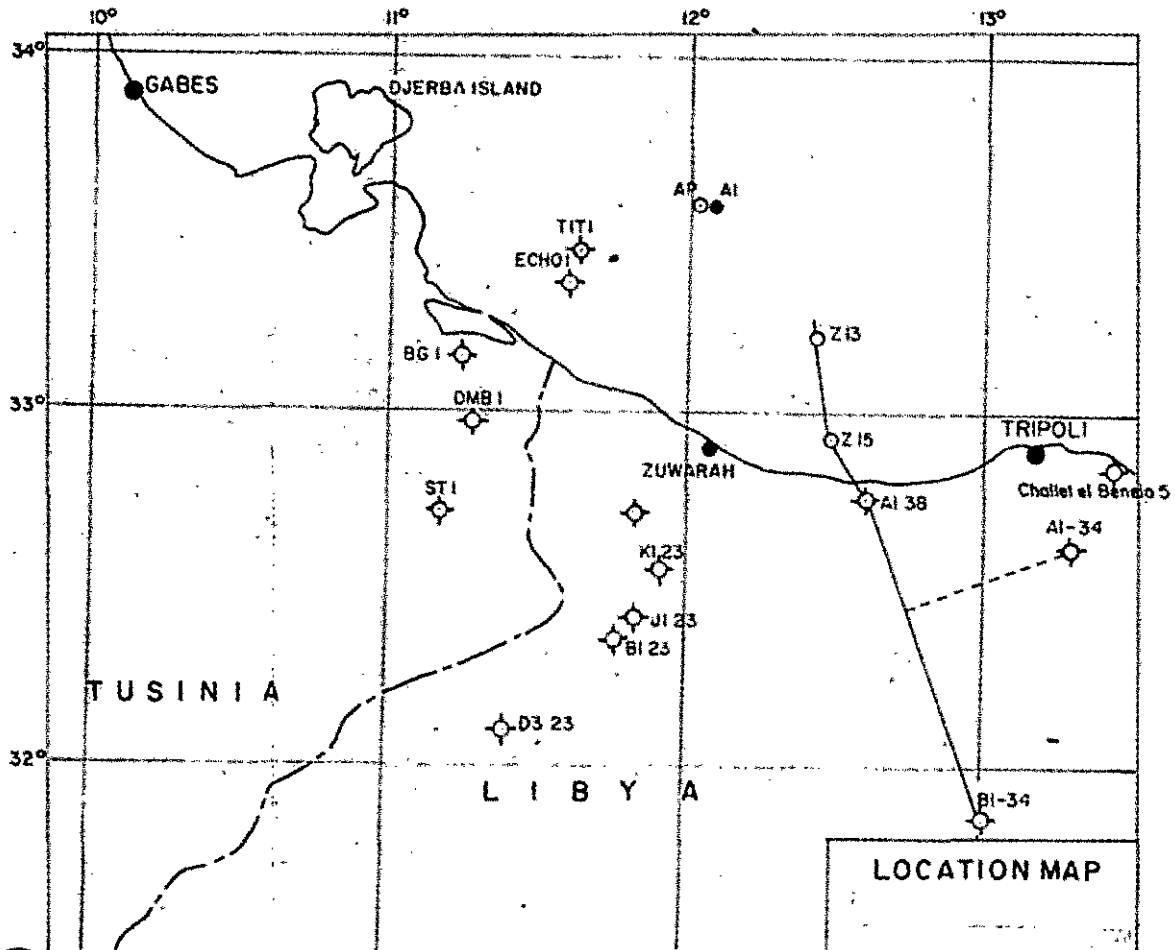
FIGURE 13

The blue lines and legend were produced originally on a transparent overlay

47 **48** Les planches 1 et 2 de l'annexe II au mémoire de la Jamahiriya arabe libyenne ont été reprises dans le contre-mémoire de la Tunisie avec un
49 transparent superposable (figure 4.04).

PLATE:1 GEOLOGICAL CROSS SECTION
BI-34 GHARIAN AI-34 AI-38 ZI5-ZI3
MODIFIED AFTER AQUITAINE 1975.

5 0 5 10 15 20 25 Kms
V. Scale = 25000



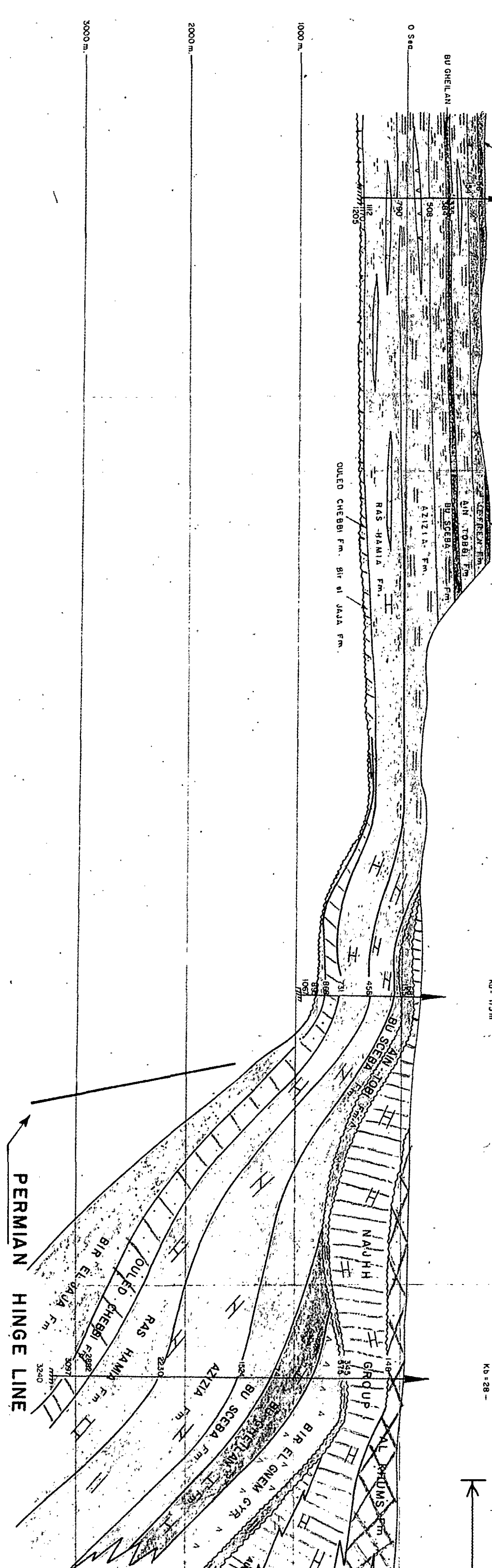
B.I-34
Kb = 720 m

GHARIAN

A.L-34
Kb = 175 m

PROJECTION

A.I-38
Kb = 28 -

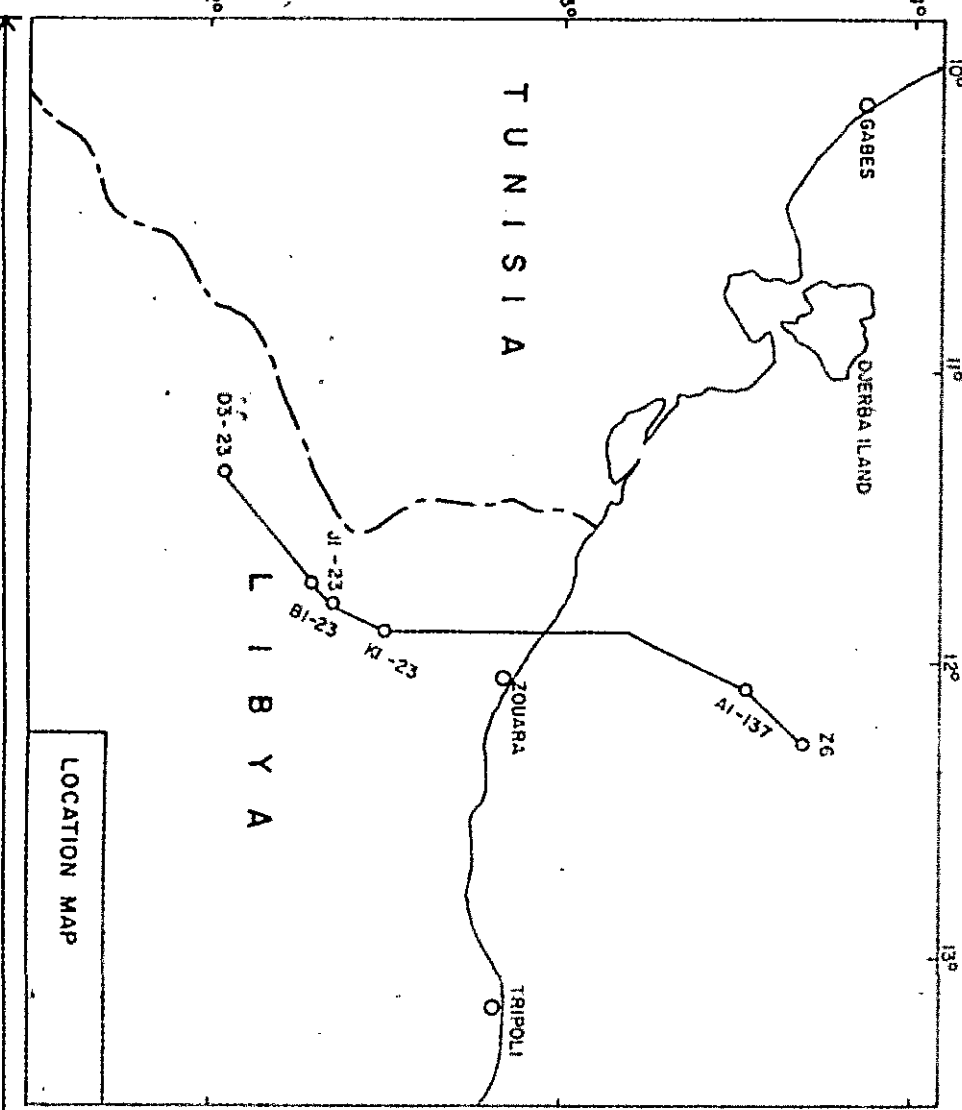
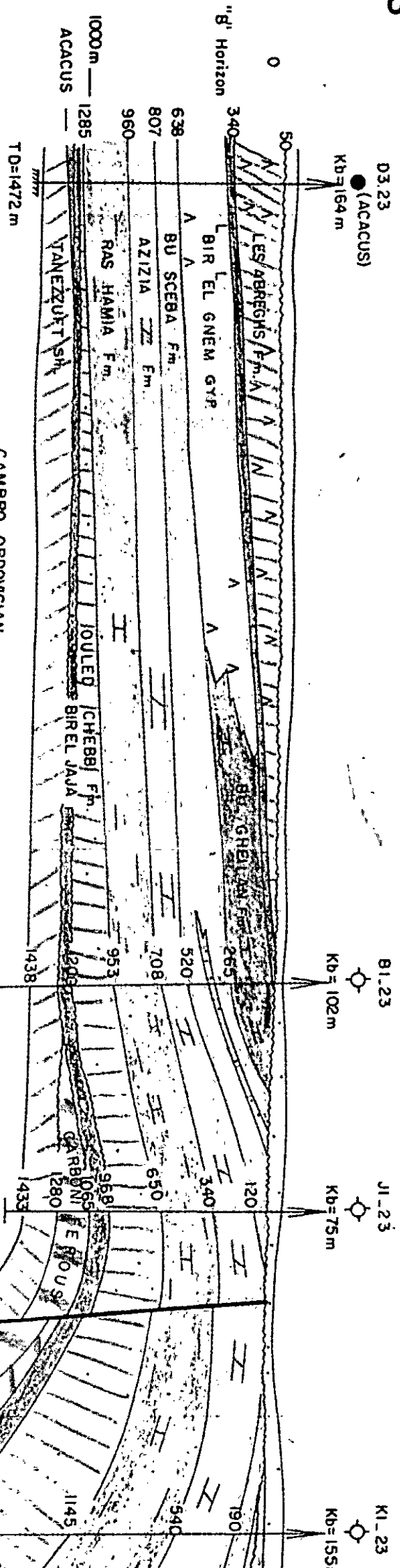


JABAL NAFUSA (SAHARA PLATFORM)

JEFARA ARCH

OFF-SIDE

JF



SAHARA PLATFORM

JEFARA ARCH

S

SALT WALL MI

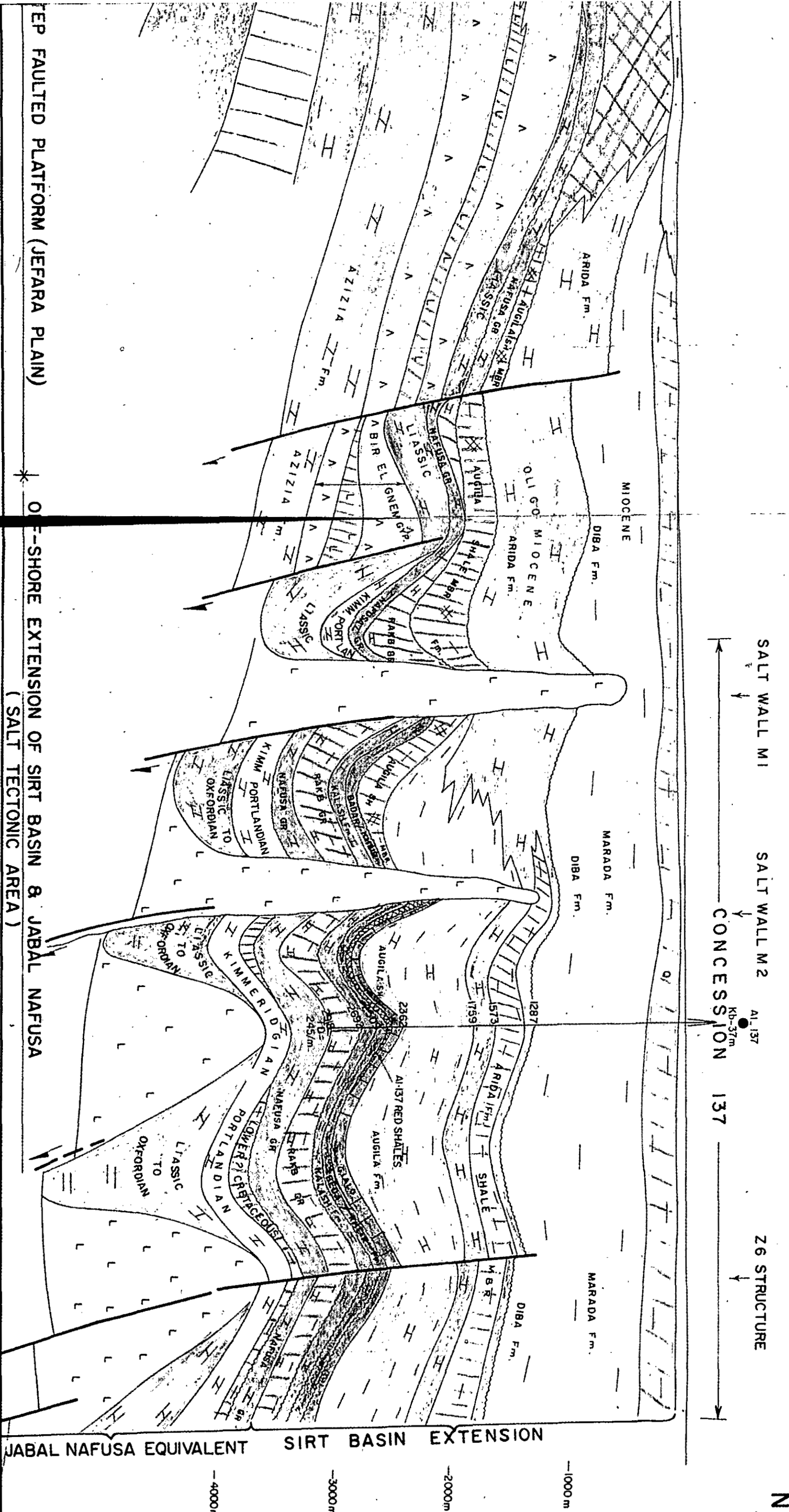
SALT WALL M2

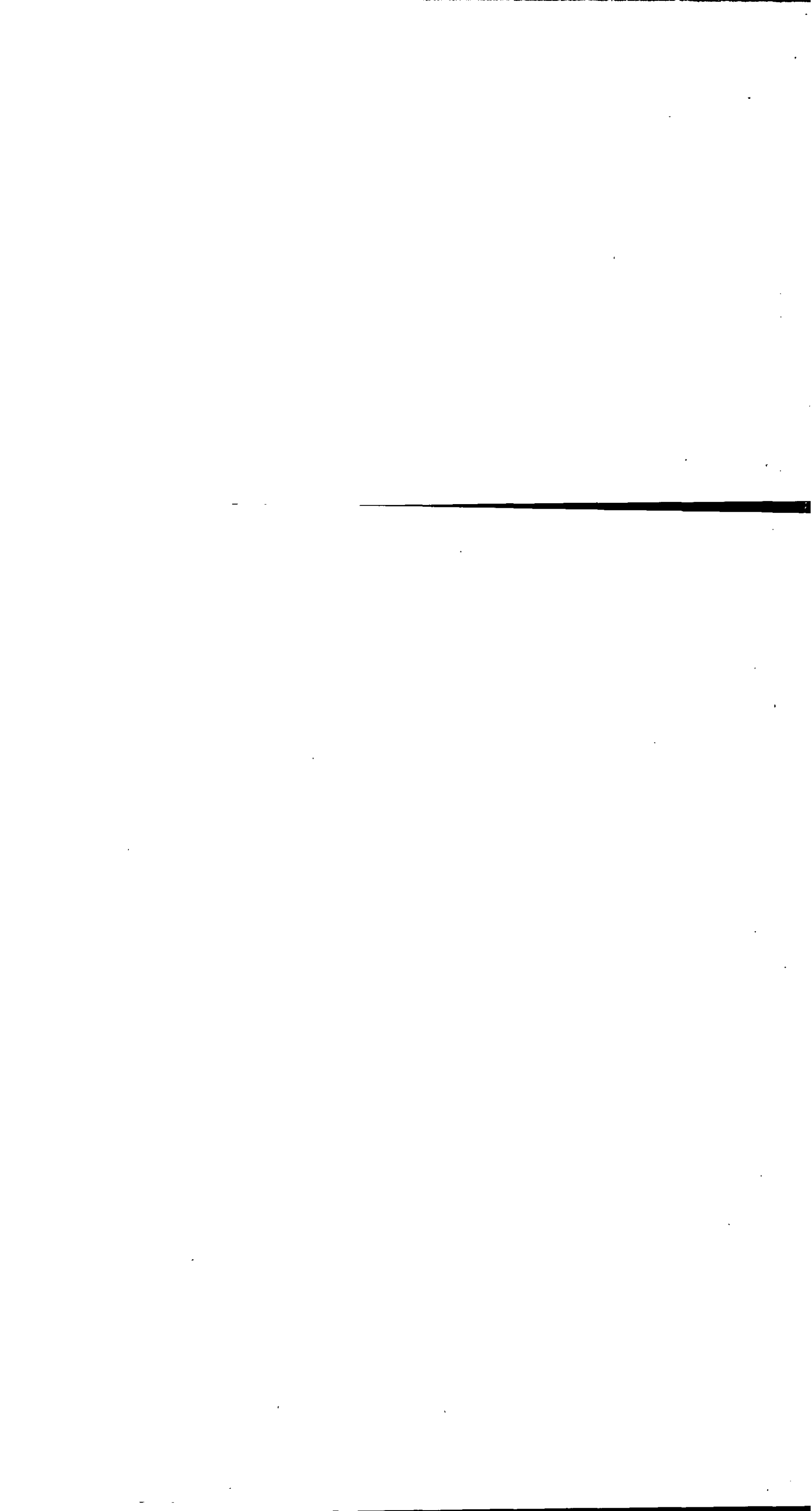
AI-137

Z6 STRUCTURE

N

Kb-37m
CONCESSION 137





Hinge line

Le Rivage actuel

La zone du rivage constitue sans
doute une zone de discontinuité:
les couches géologiques déposées
dans le cratère supérieur (Turonian-
Coniacien, environ 80 MA) se limitent
au domaine marin du bloc pélagique.
Elles ne se retrouvent pas dans le
domaine de la plateforme.

Zone de passage où les couches géologiques changent nettement
d'épaisseur et s'inclinent fortement en profondeur: à la stabilité
du domaine de la plateforme s'oppose ici une subsidence importante.

Il est le siège:

- D'une subsidence très importante
- De couches géologiques fortes
- De percements salinaires (sa)
- De couches géologiques de 500 à 2000 m de largeur
- De couches géologiques de

A R C D E L A J E F F A R A

L E D O M /

L E B L O C

Flexure Permo-Carbonifère ou "Perm"

Une ligne (en réalité, longe) cheminée qui marque le bordage d'un domaine stable à un autre nettement différent. Les couches géologiques s'inclinent et s'épaississent.

DOMAINE DE LA PLATEFORME SAHARIENNE STABLE

Les couches géologiques y sont minces, horizontales et non perturbées, très crânières qui justifient le qualificatif de "plateforme stable" attribué par les géologues à ce domaine.

Fig. 4.01

N E P L I S S E D U B L O C P E L A G I E N

• (couches géologiques épaisses).

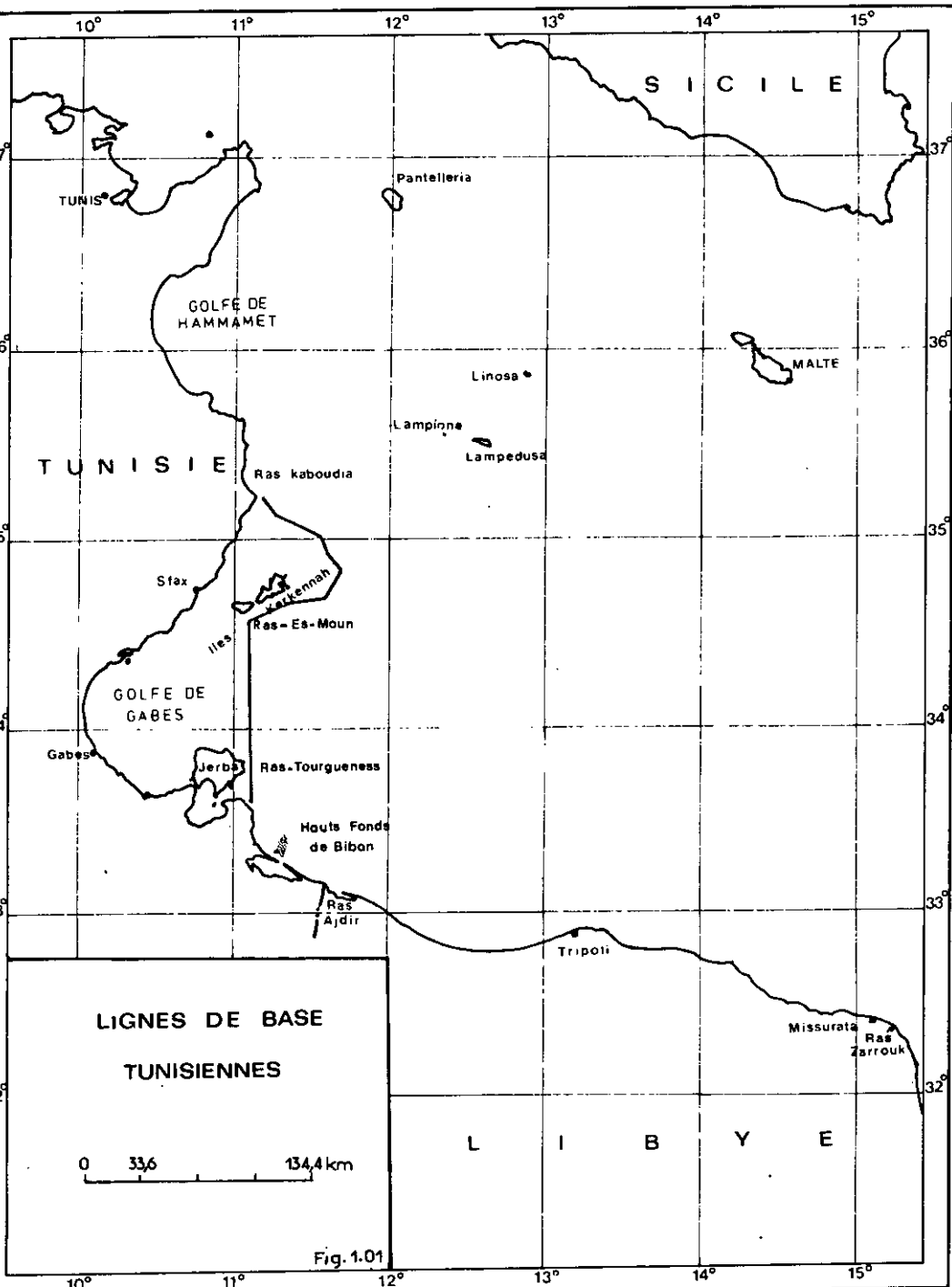
nt déformées.

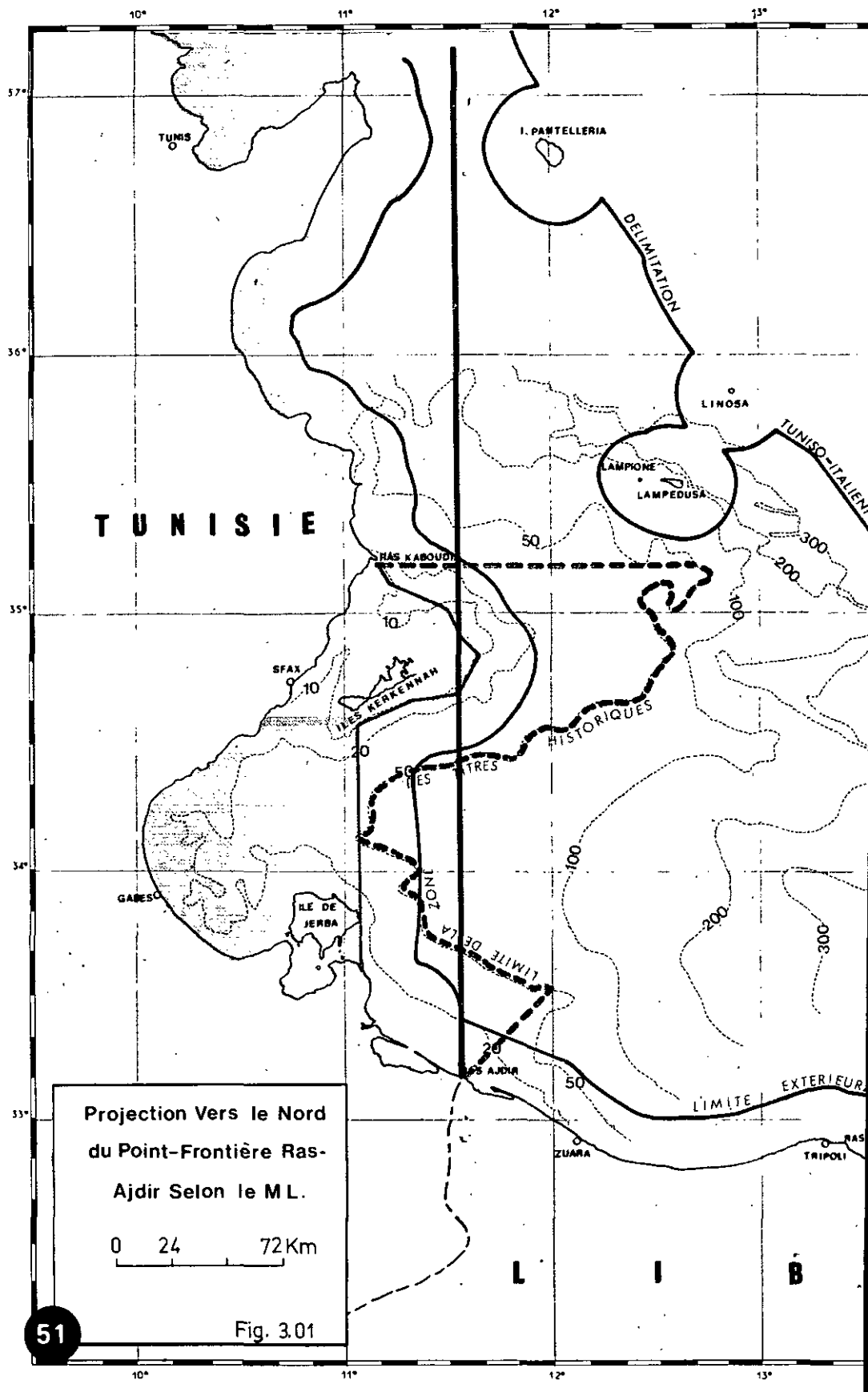
is), de variables murailles de sei ayant 2000 à 3500 m de hauteur.

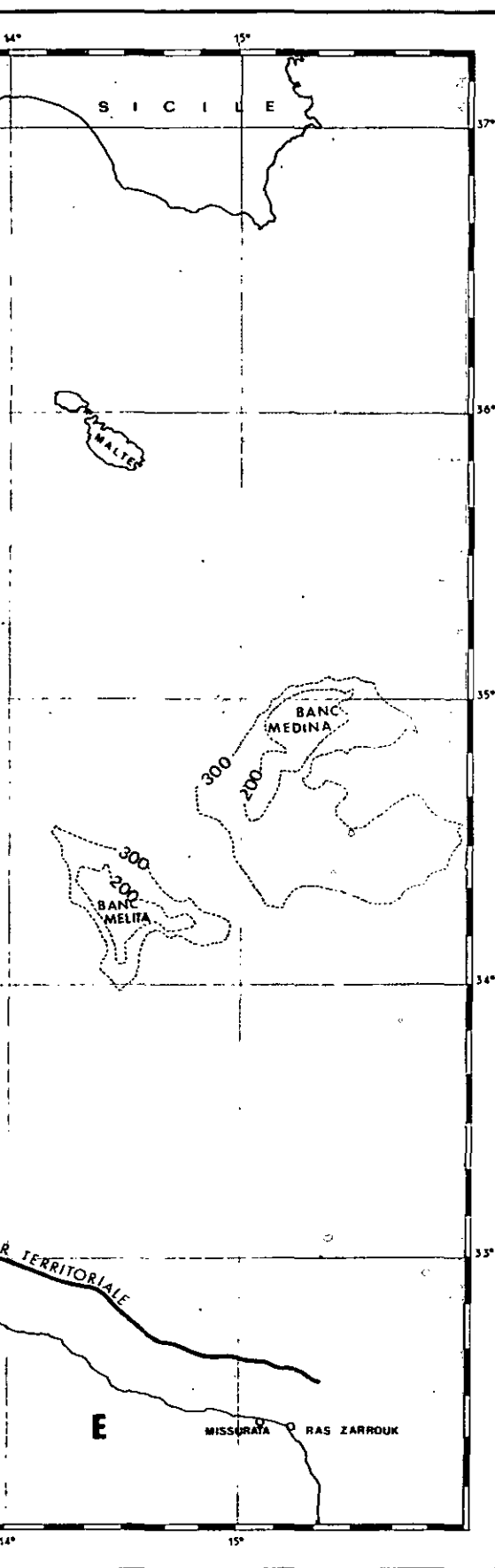
çage et s'étendant parfois sur 130 Kms (Planche V et Fig. 13 du ML).

i depuis le cratère supérieur et qui sont inconnues dans le domaine de la plateforme.

P E L A G I E N

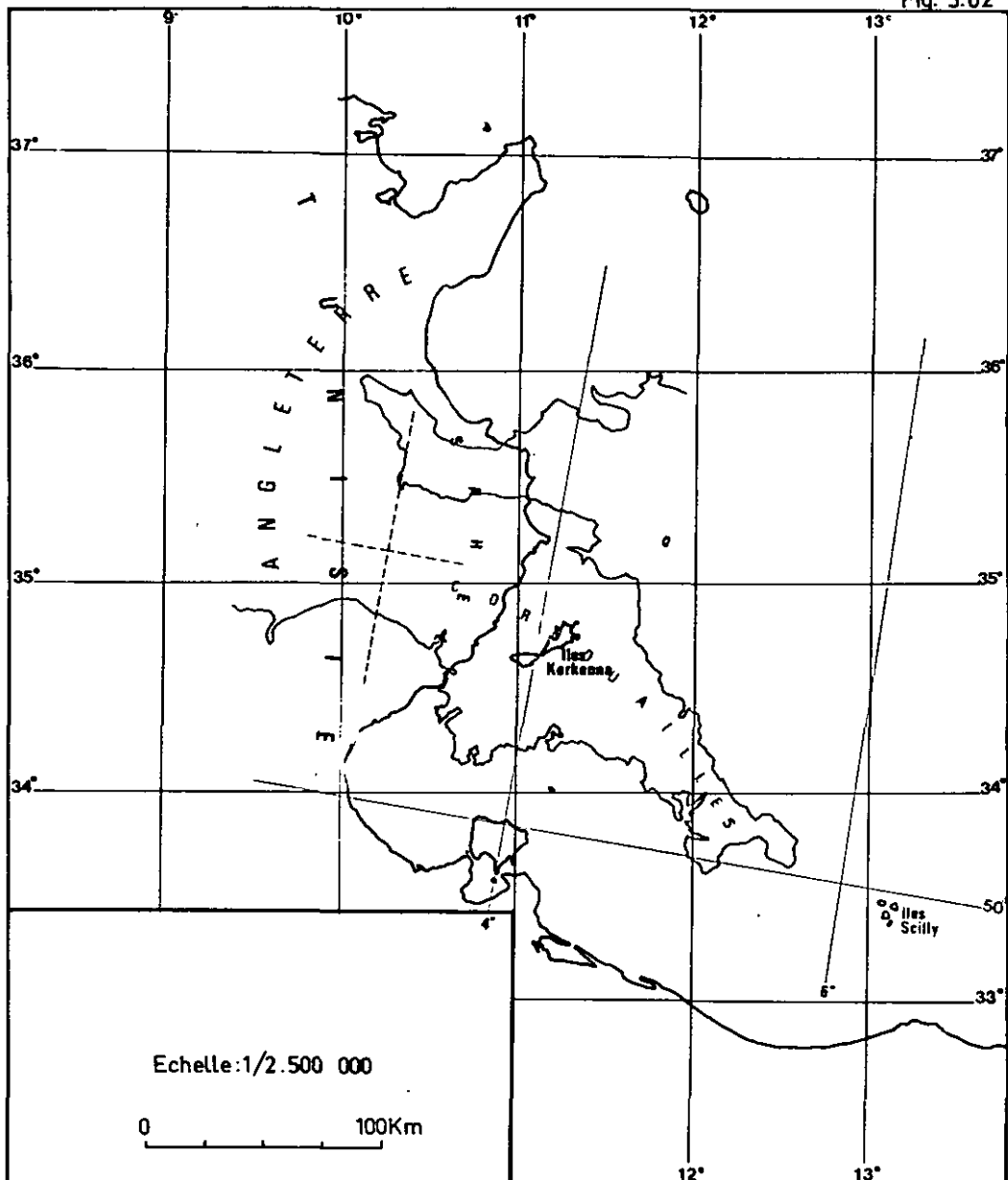






COMPARAISON ENTRE LES ENSEMBLES COTE DU SAHEL-ILES
KERKENNAH ET CORNOUILLES -ILES SCILLY

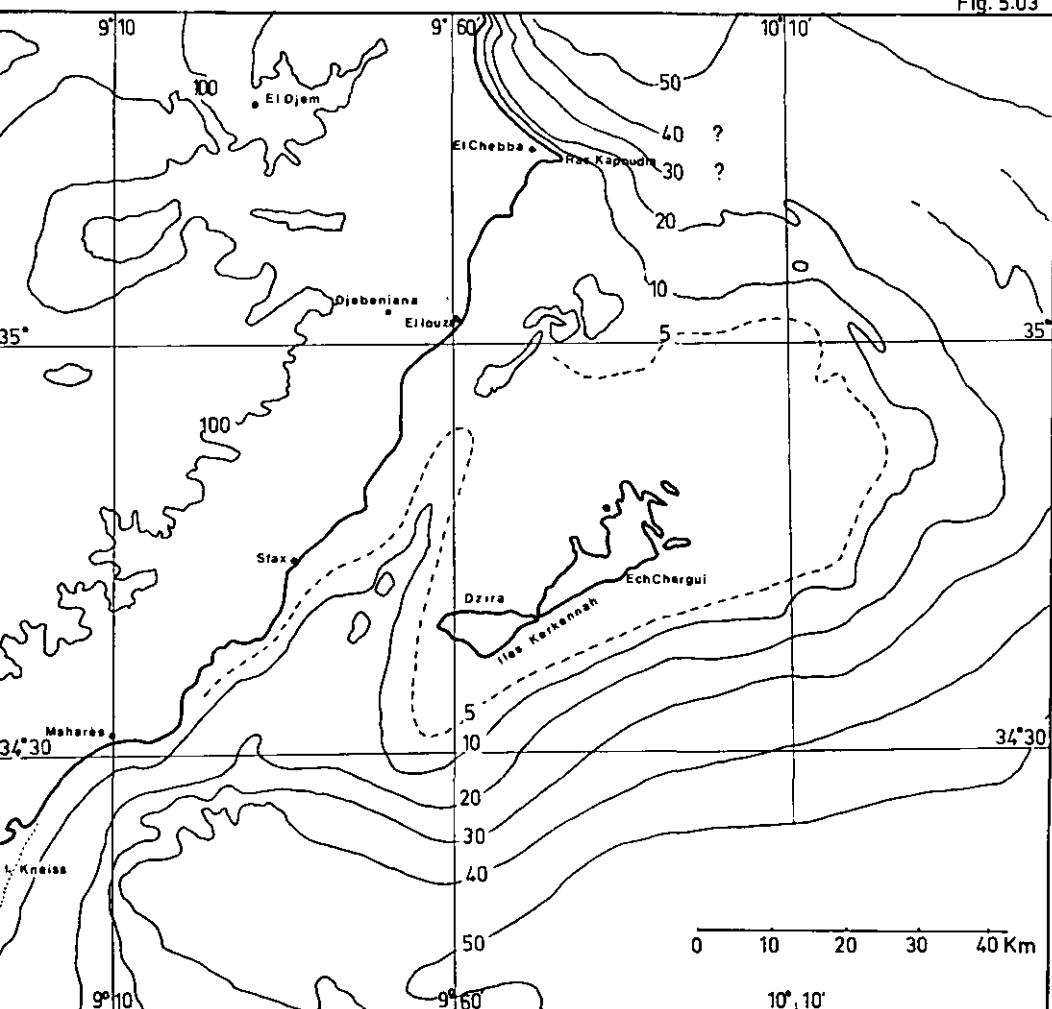
Fig. 5.02



La partie en bleu figurait à l'origine sur un transparent superposable

RATTACHEMENT DES ILES KERKENNAH AU CONTINENT
PAR L'INTERMEDIAIRE DE BANCS TRES PEU PROFONDS

Fig. 5.03

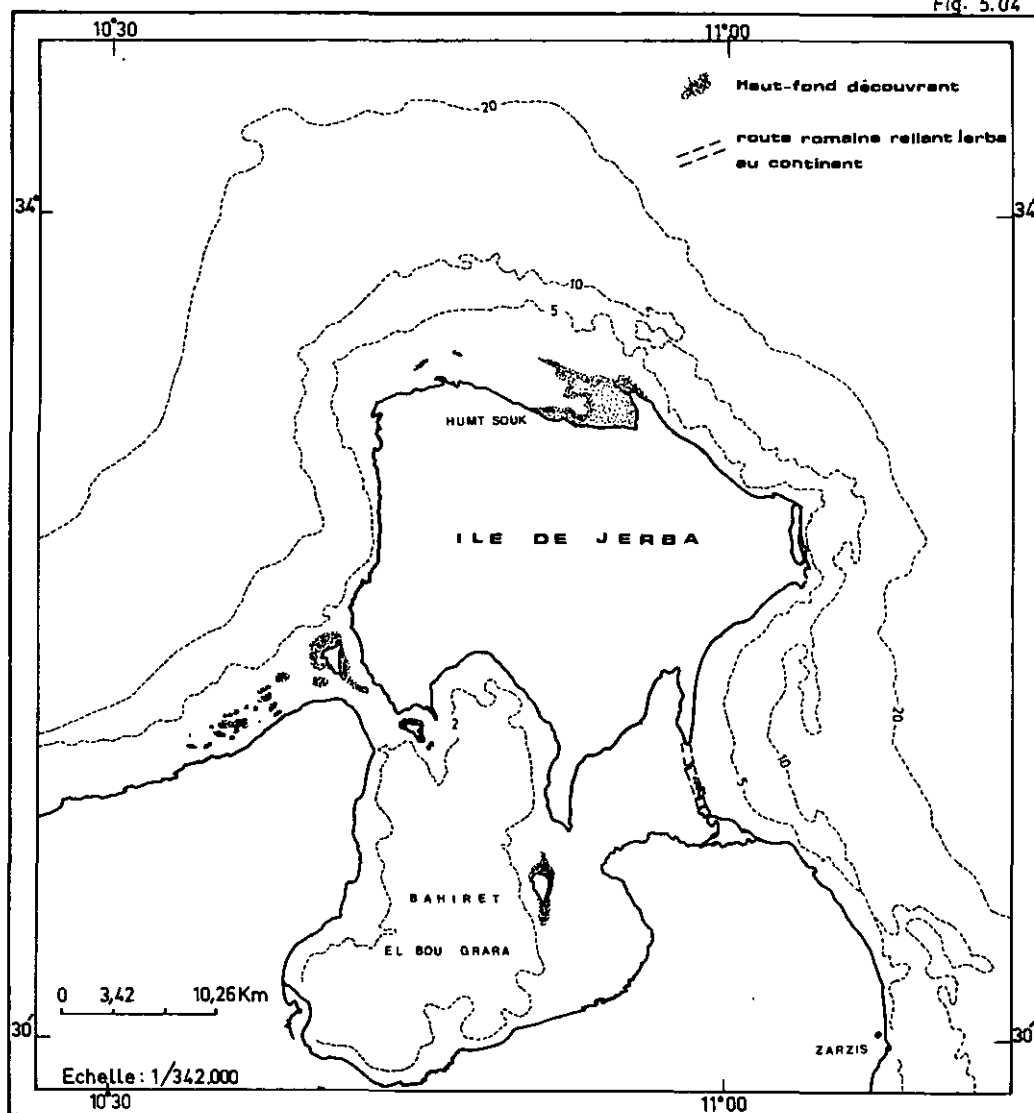


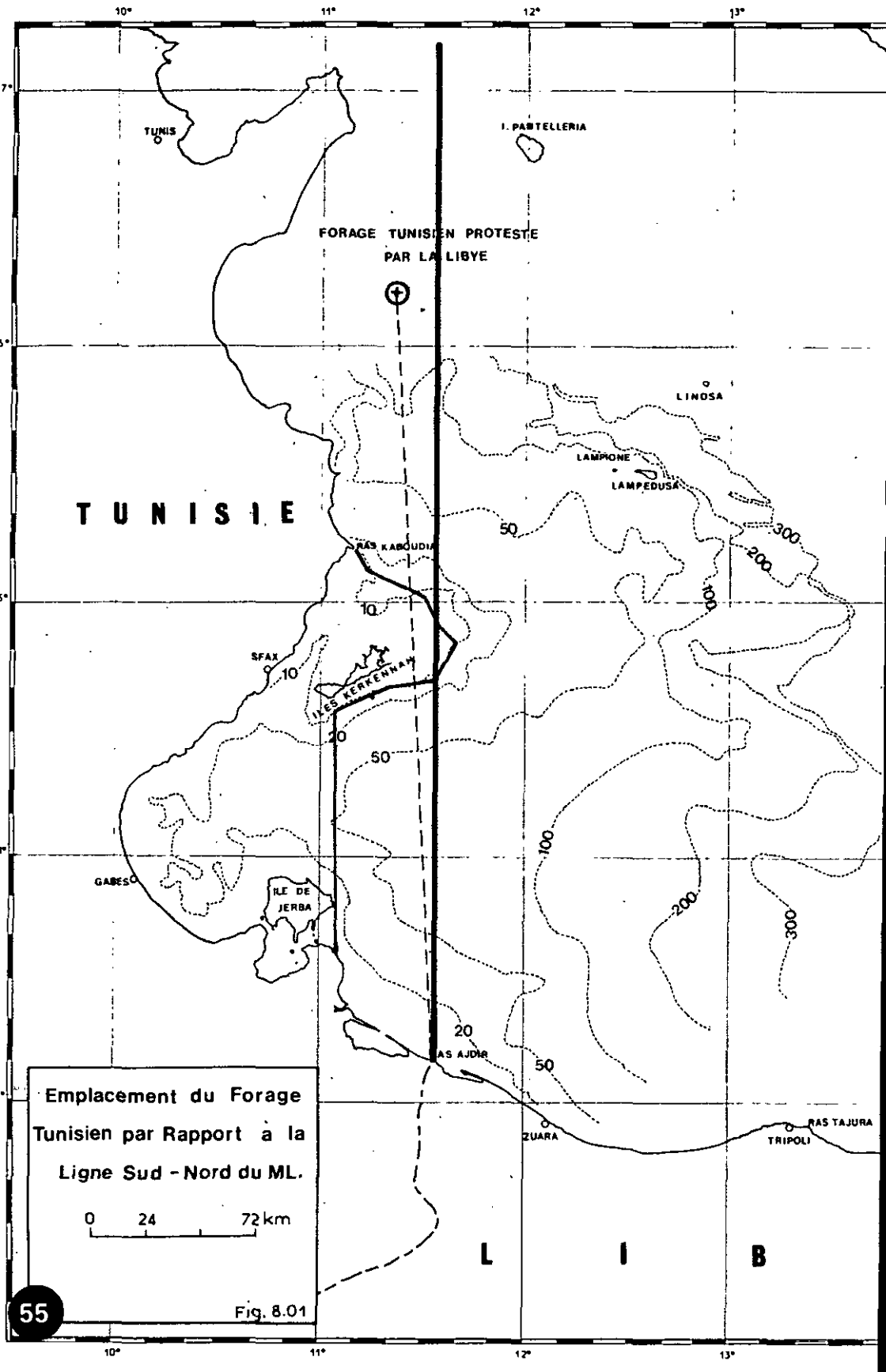
Altimétrie et bathymétrie en mètres.

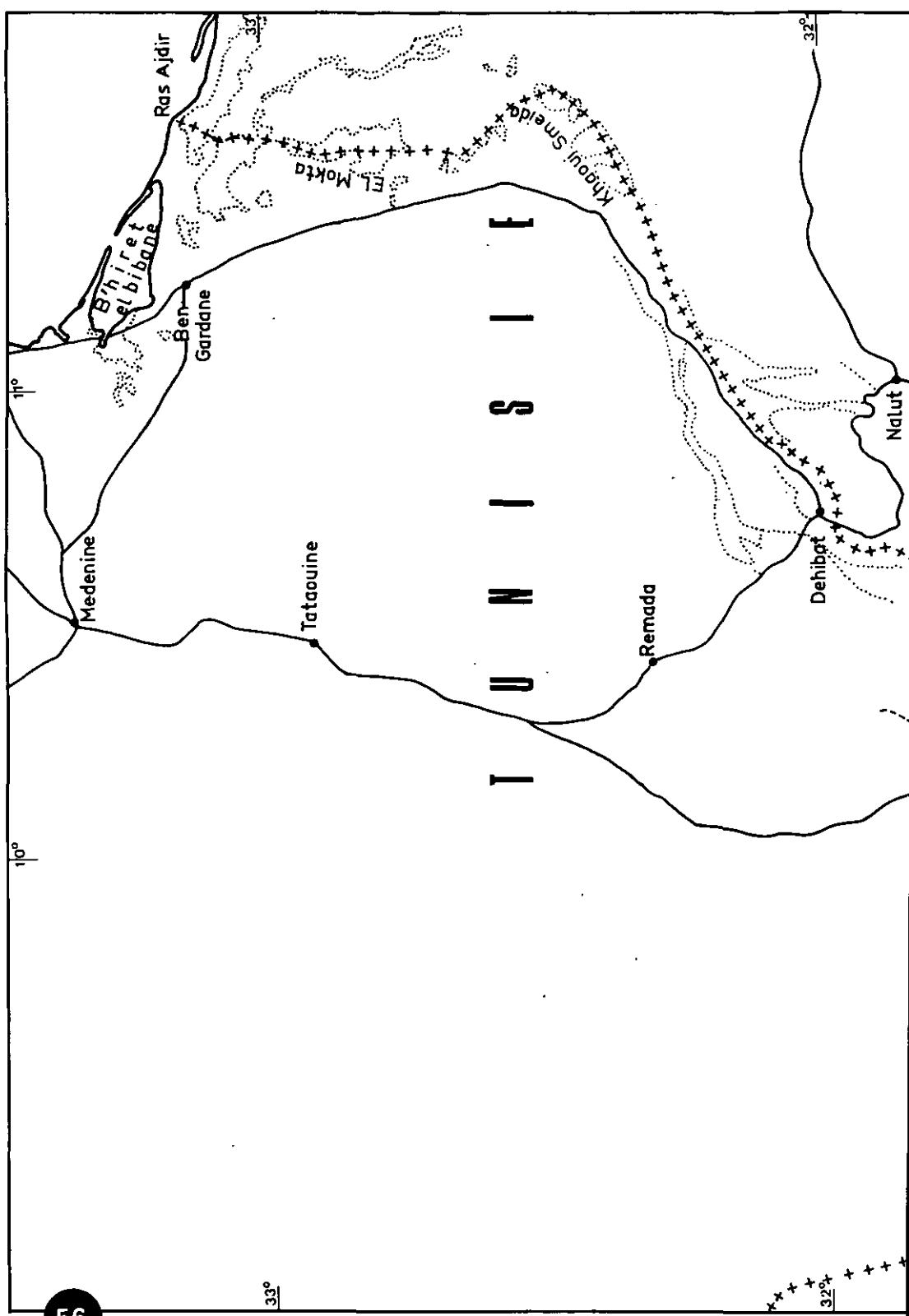
(D'après J. Despois, Revue Tunisienne, 1^{er} trimestre, n° 29 p.15, (fig. 2), 1937)

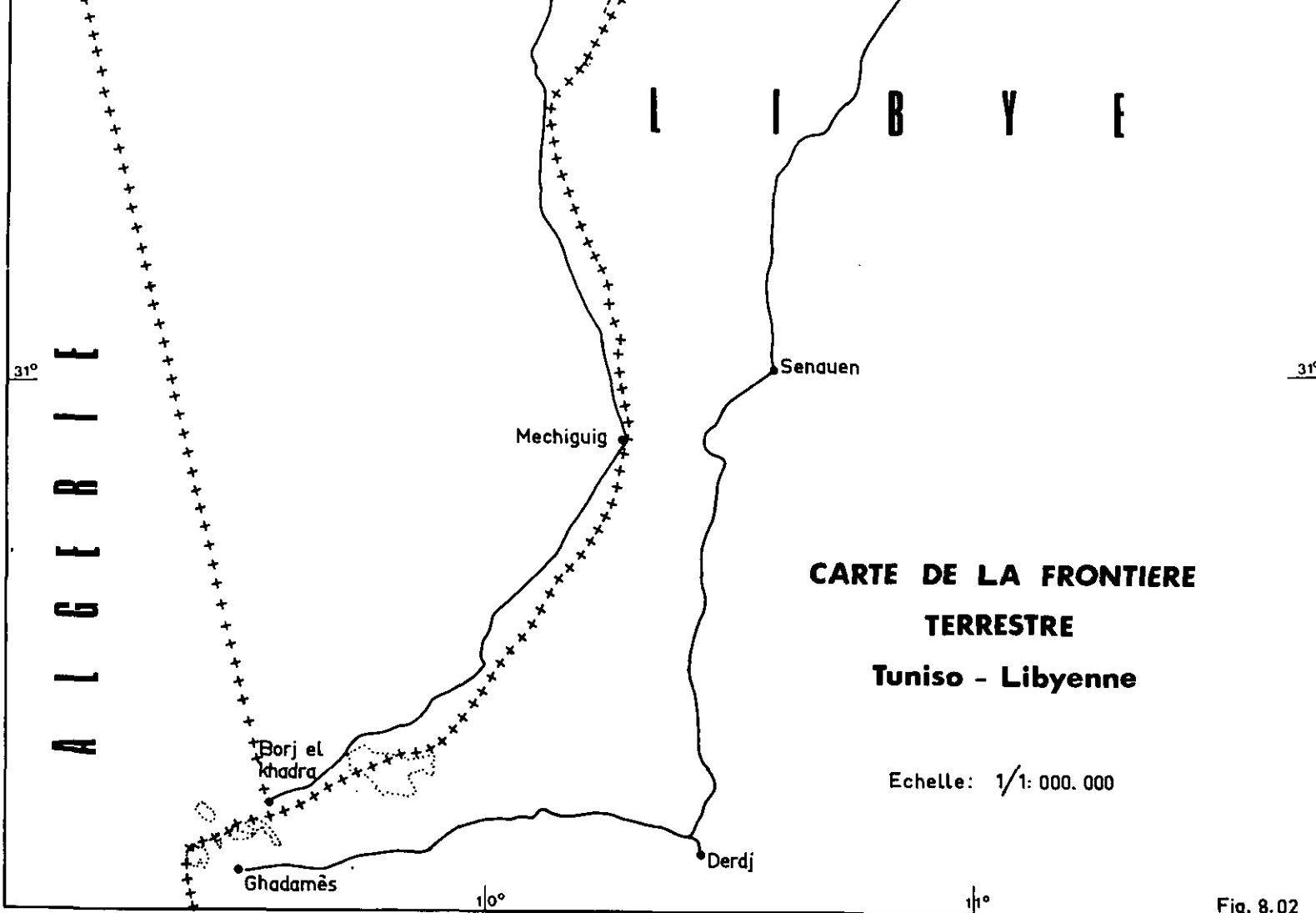
RATTACHEMENT DE L'ILE DE JERBA AU CONTINENT

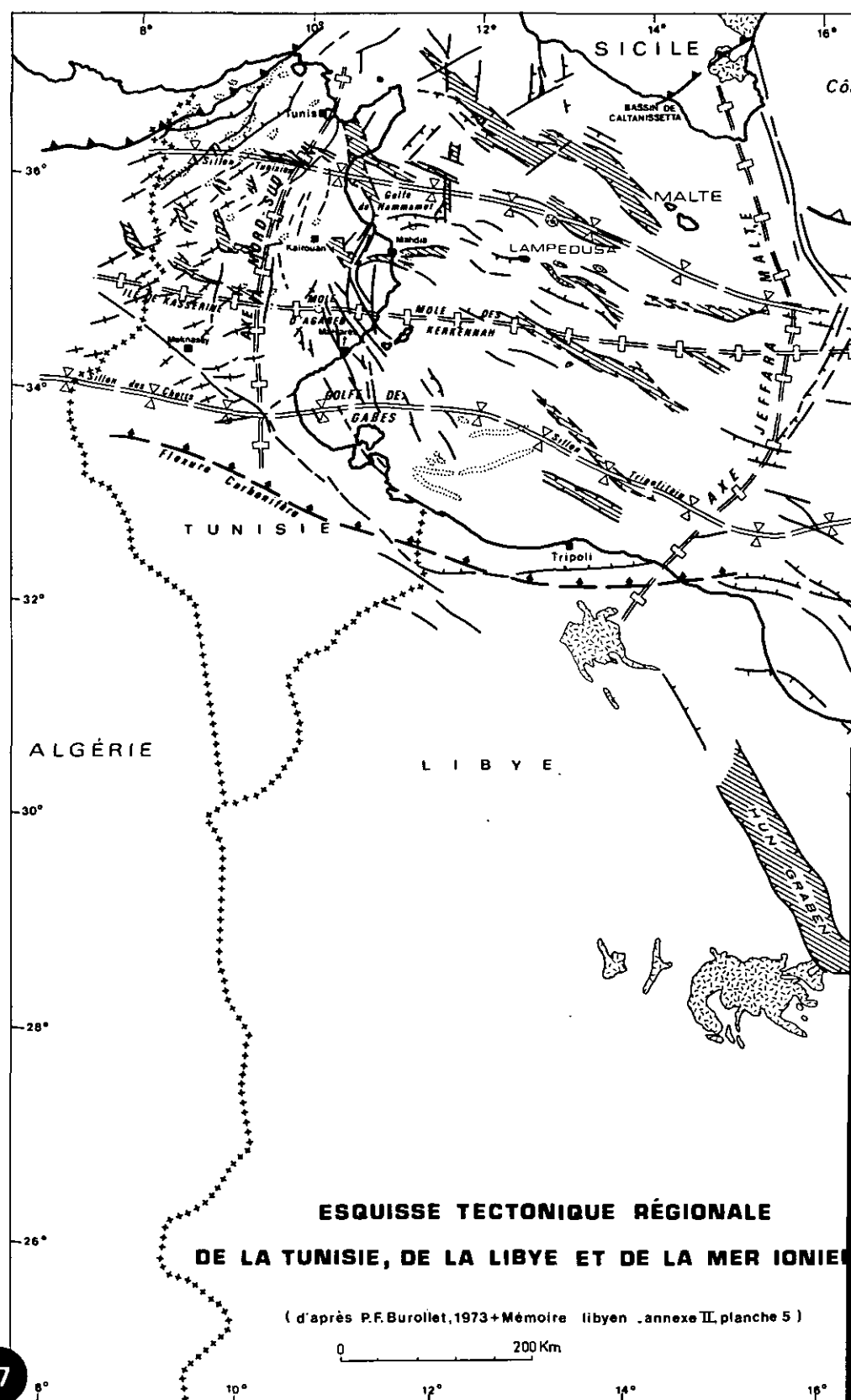
Fig. 5.04

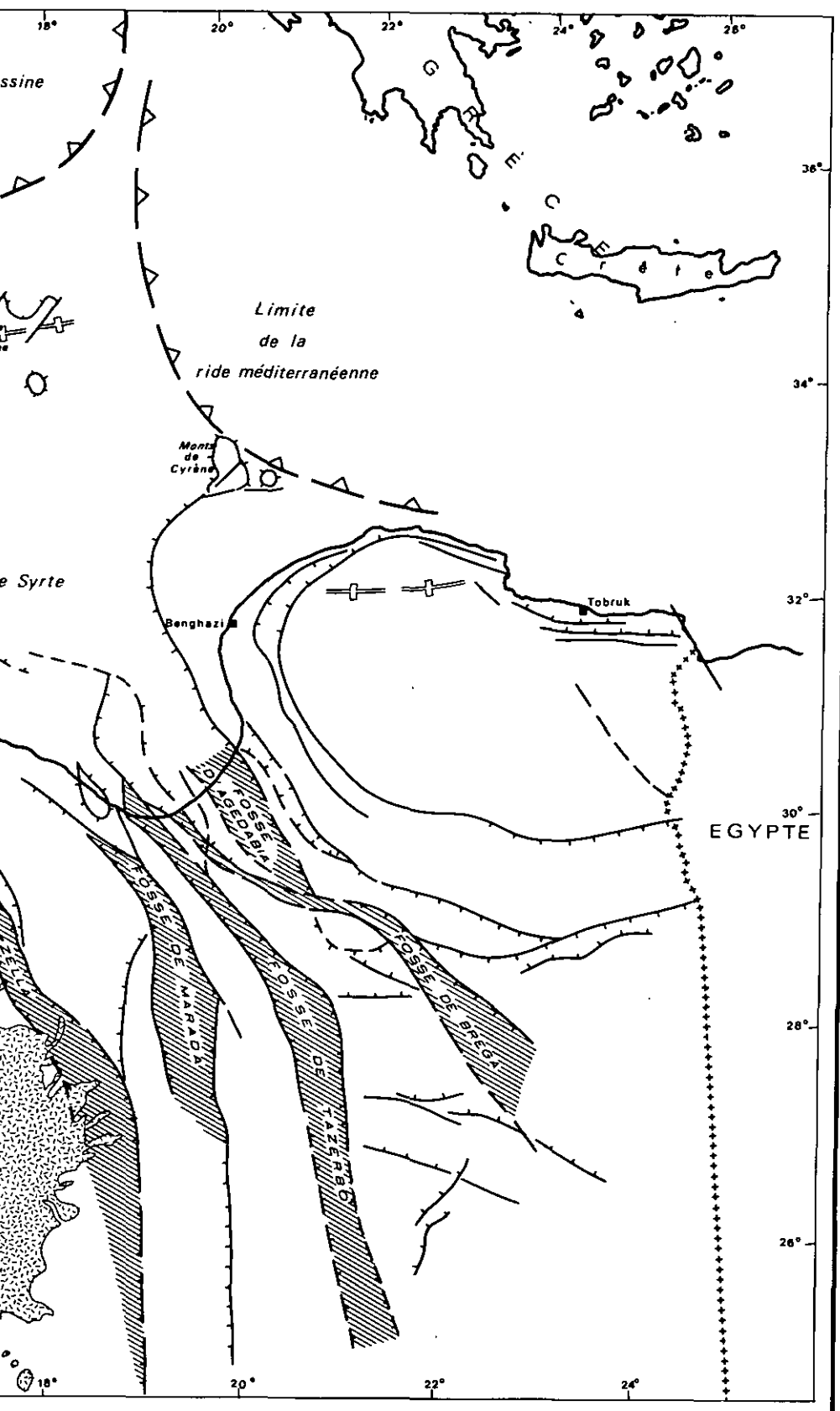


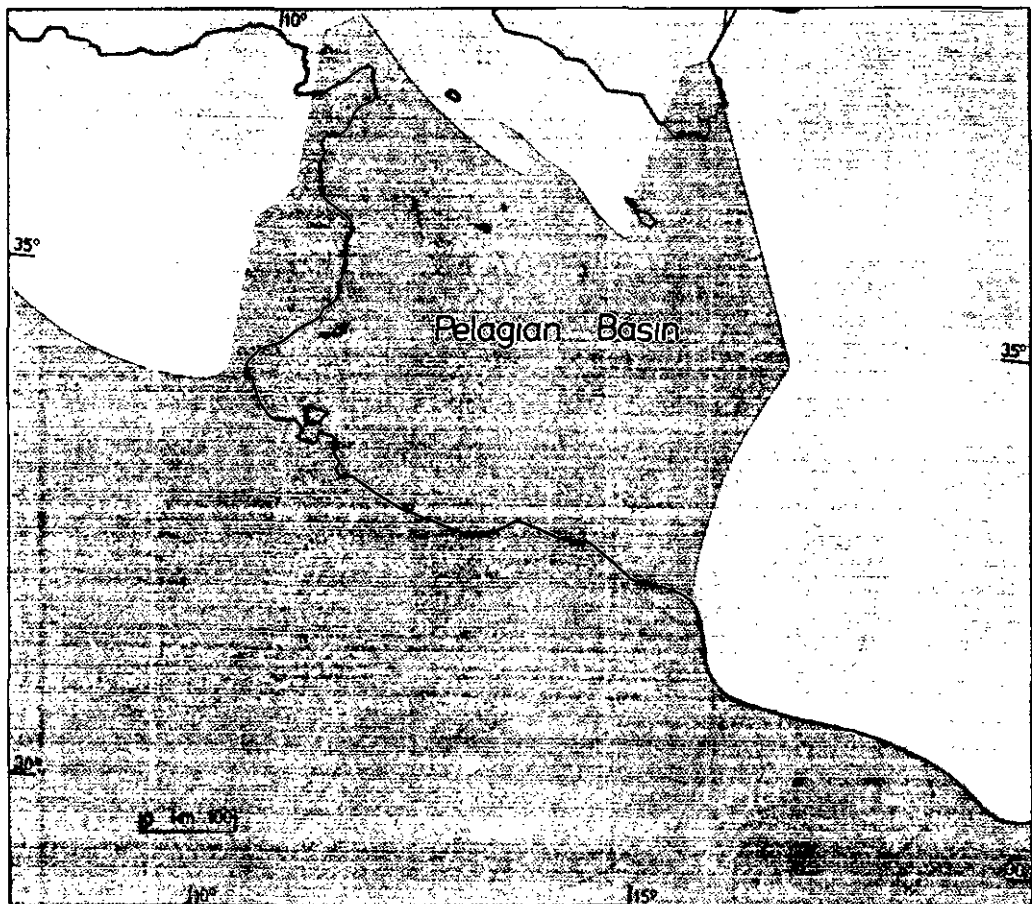












RELATIONSHIP BETWEEN PELAGIAN BASIN AND AFRICAN LANDMASS

a. Elevated stable regions

SOURCE: After Fig. 12 in Burollet, P.F. & Byramjee, R.S.; Réflexions sur la tectonique globale. Examples africains et méditerranéens. Notes Mém. Comp. Fr. Pétroles 11, 1974, 71-120.

PERMIS DE RECHERCHES
PETROLIERES ACCORDES PAR
LA TUNISIE

3 = PERMIS GOLFE DE GABES COMPLEMENTAIRE

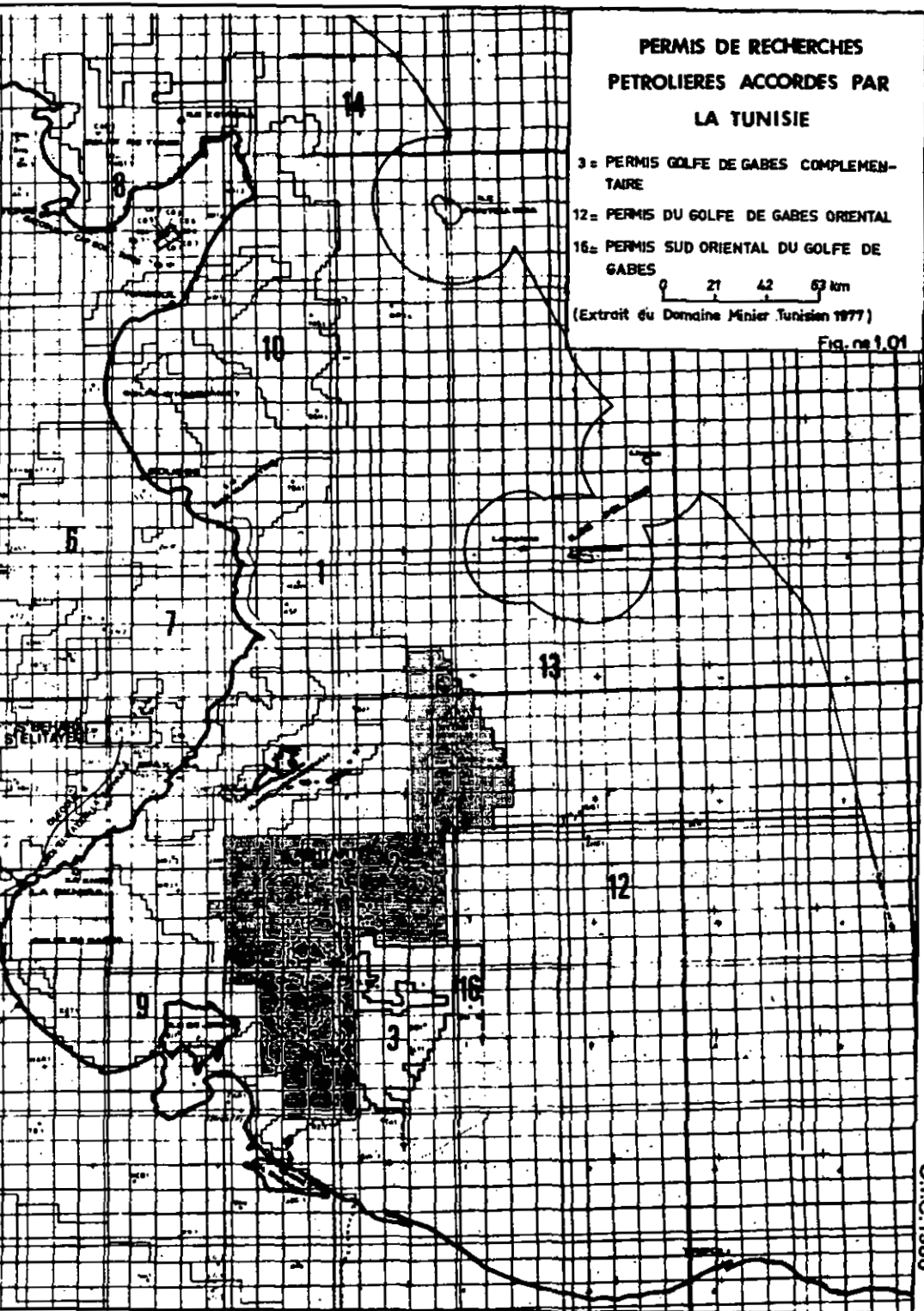
12 = PERMIS DU GOLFE DE GABES ORIENTAL

16 = PERMIS SUD ORIENTAL DU GOLFE DE GABES

0 21 42 63 km

(Extrait du Domaine Minier Tunisien 1977)

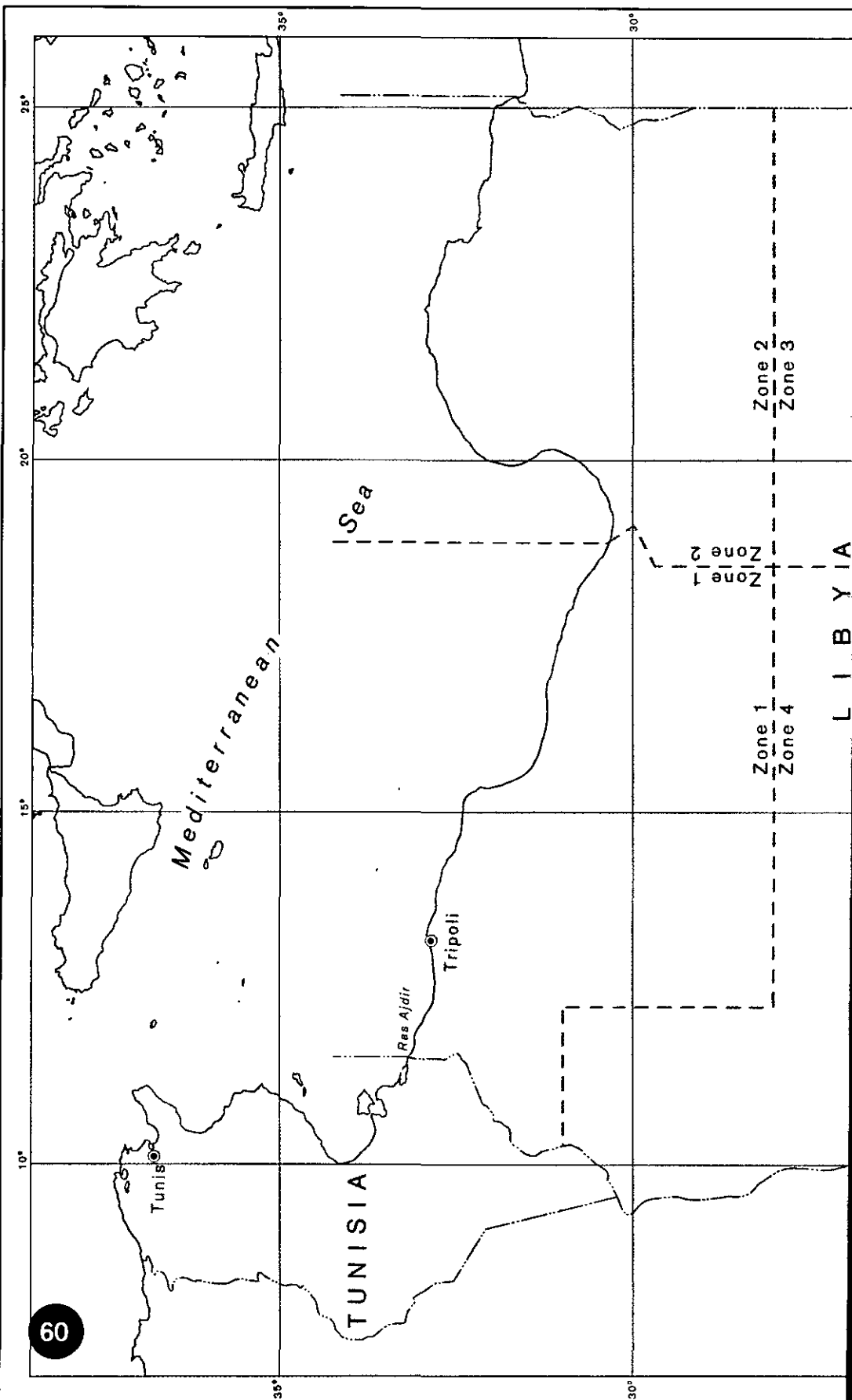
Fig. n° 1.01



TUNISIAN FIGURE No. 1.01

SHOWING 1966 TUNISIAN CONCESSIONS
WITH OVERLAY OF INITIAL TUNISIAN CONCESSIONS:
(1964 - 1965)

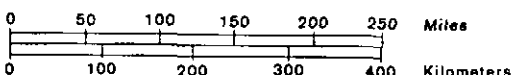
Figure 2



**LIBYAN PETROLEUM ZONES
AND MARITIME BOUNDARIES**

— International Boundaries
- - - Limits of Petroleum Zones

Equirectangular Projection
Scale accurate at 30° N.



10°

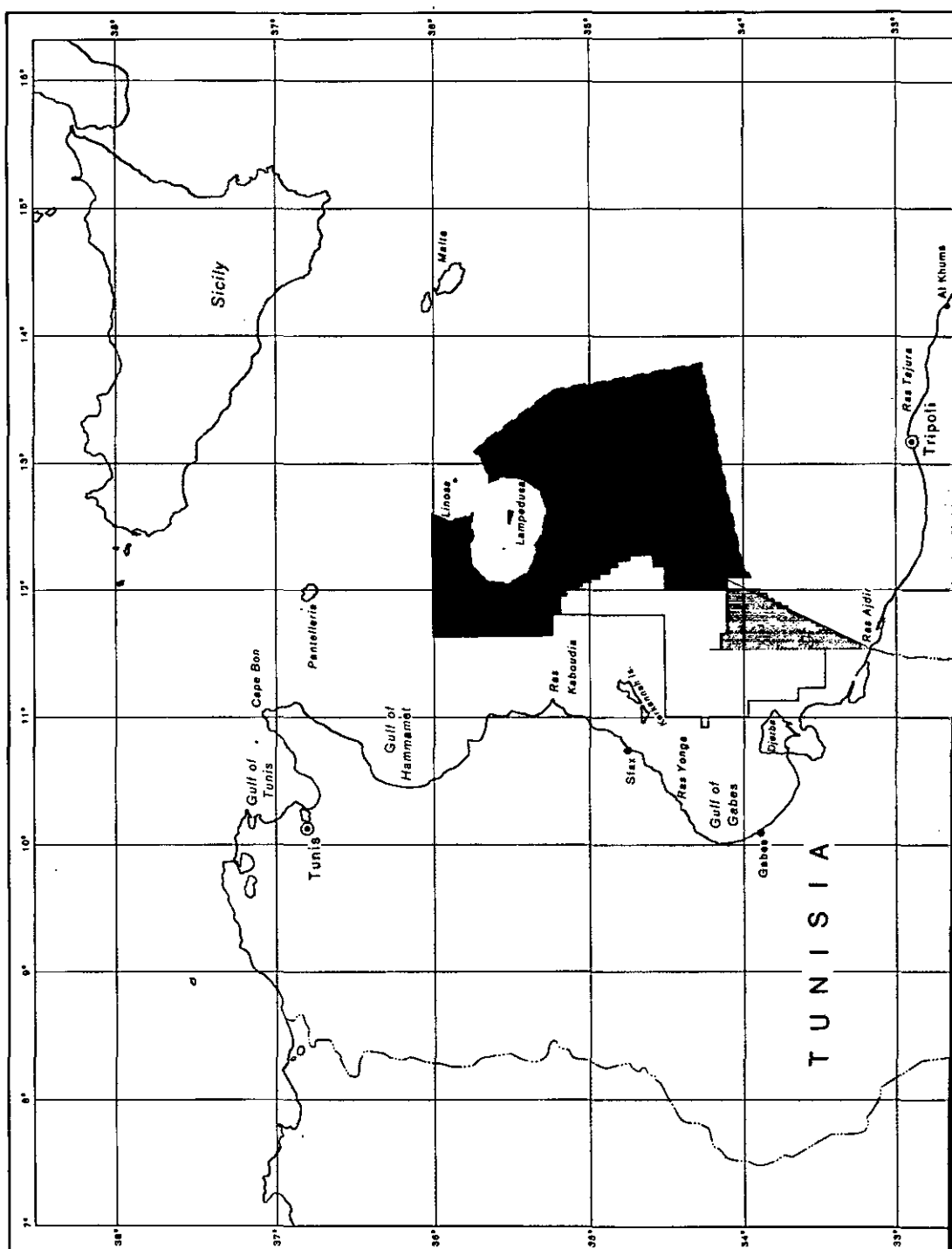
15°

20°

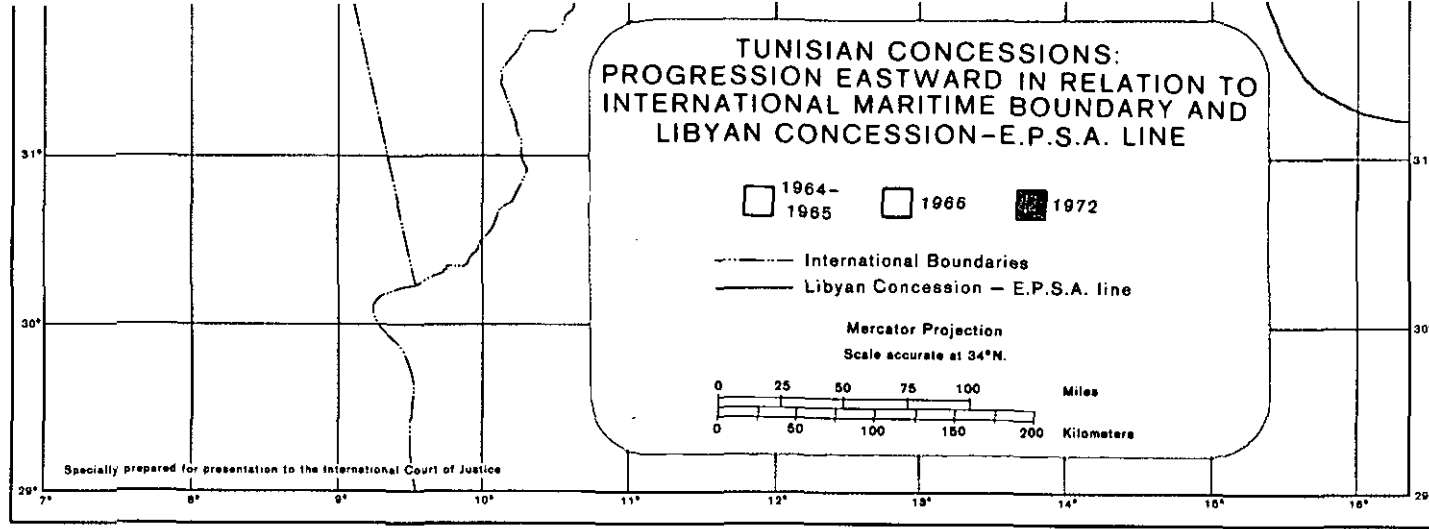
25°

Specially prepared for presentation to the International Court of Justice.

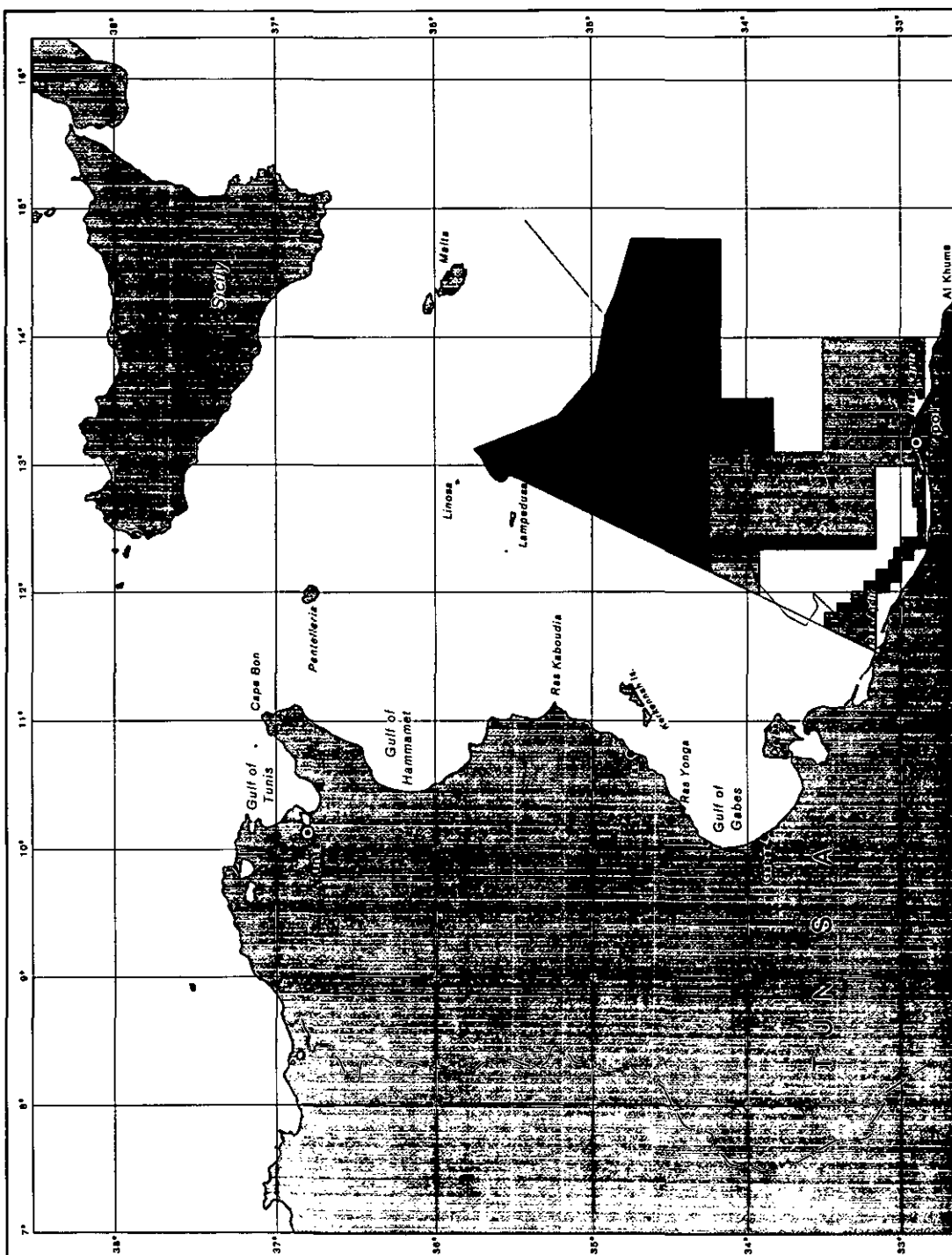
Map No. 3



Map No. 4



The 1966 and 1972 areas were produced originally on transparent overlays



Map No. 5

LIBYAN CONCESSIONS
Nos. 137-NC41-NC53-NC76
WITH OVERLAY SHOWING TUNISIAN
MARITIME BOUNDARY CLAIM
ACCORDING TO MAY 1976
MEMORANDUM

137 NC41 NC53 NC76

Mercator Projection

Scale accurate at 34°N.



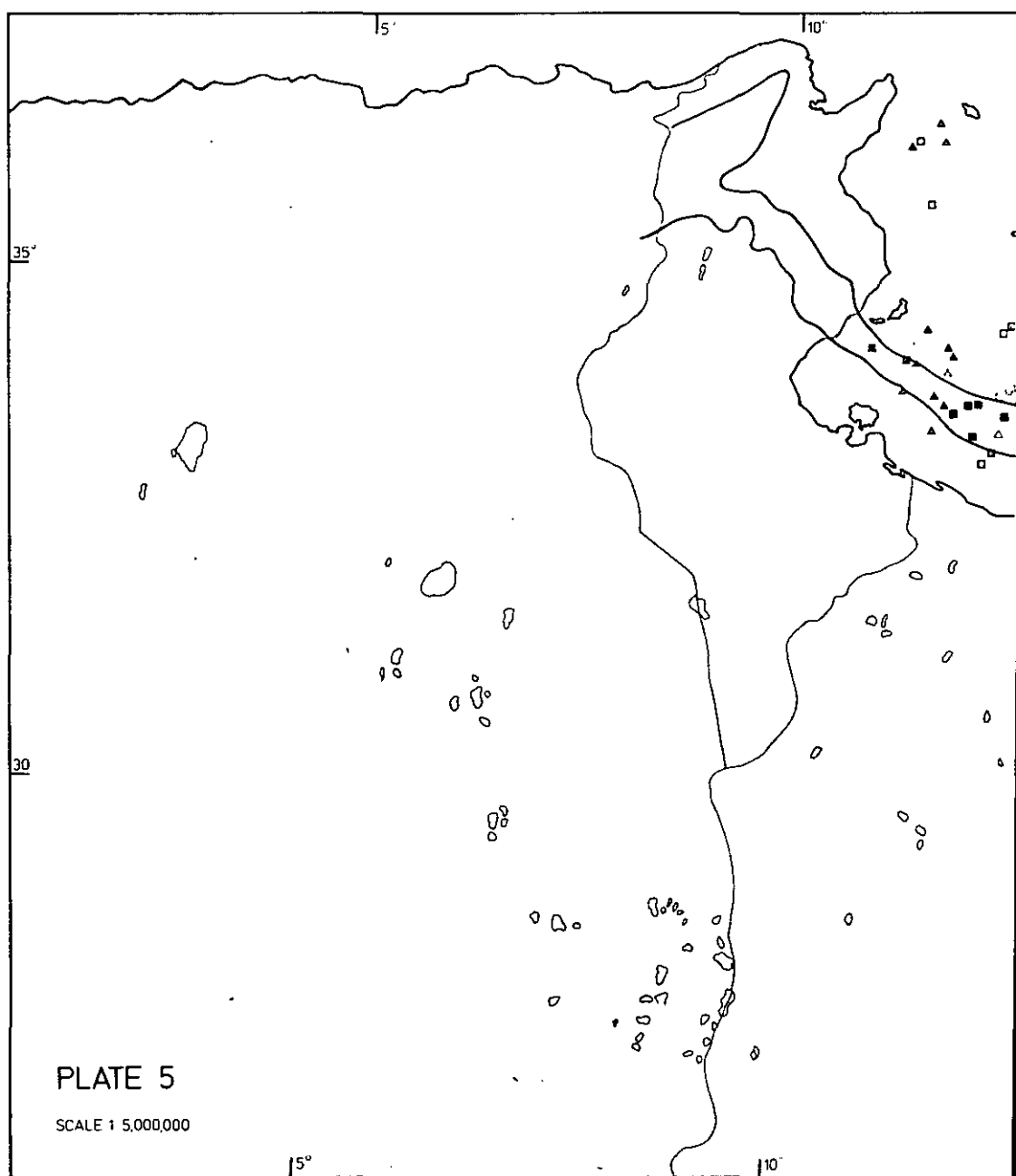
Specielly prepared for presentation to the International Court of Justice.

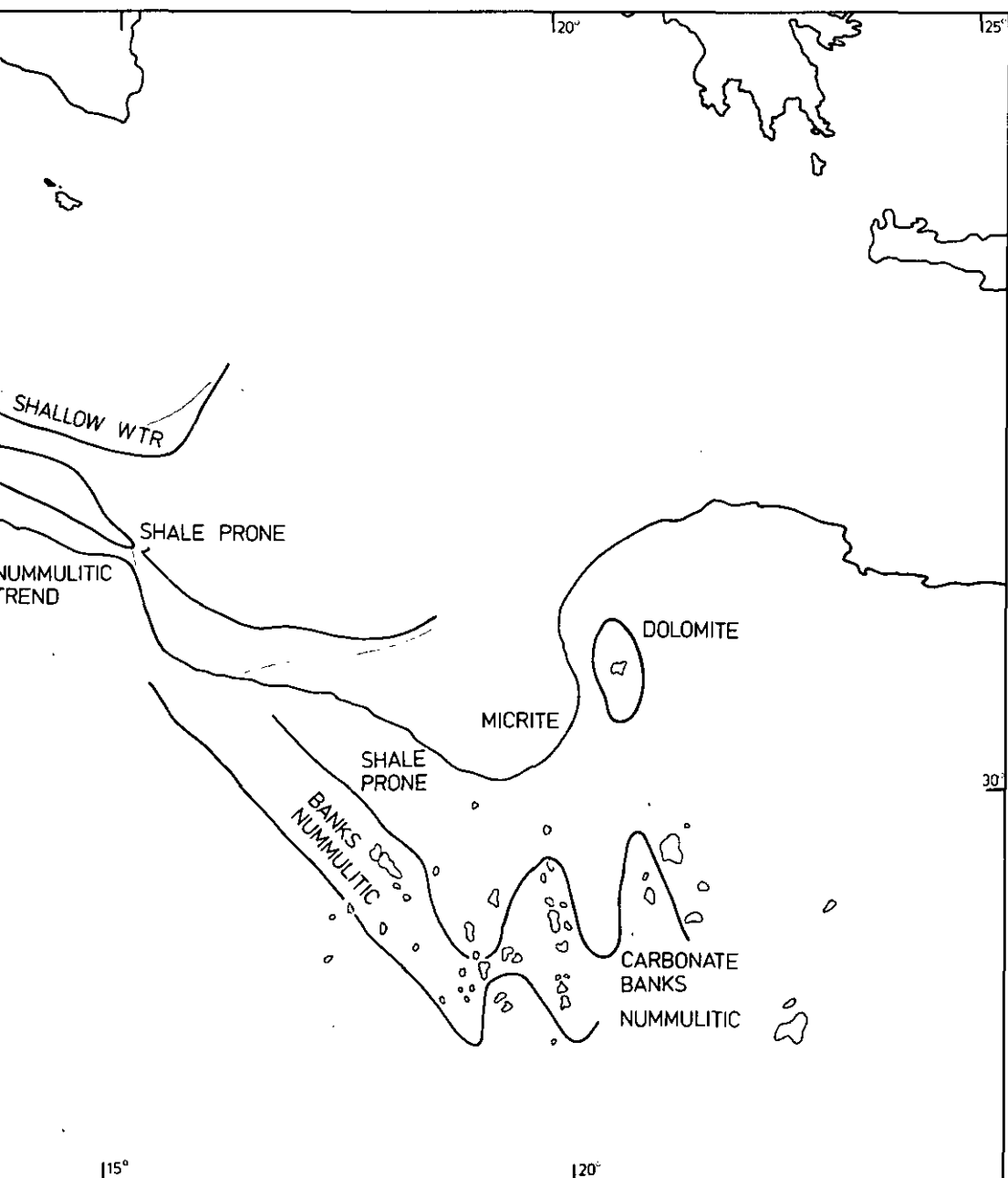
The blue line was produced originally on a transparent overlay

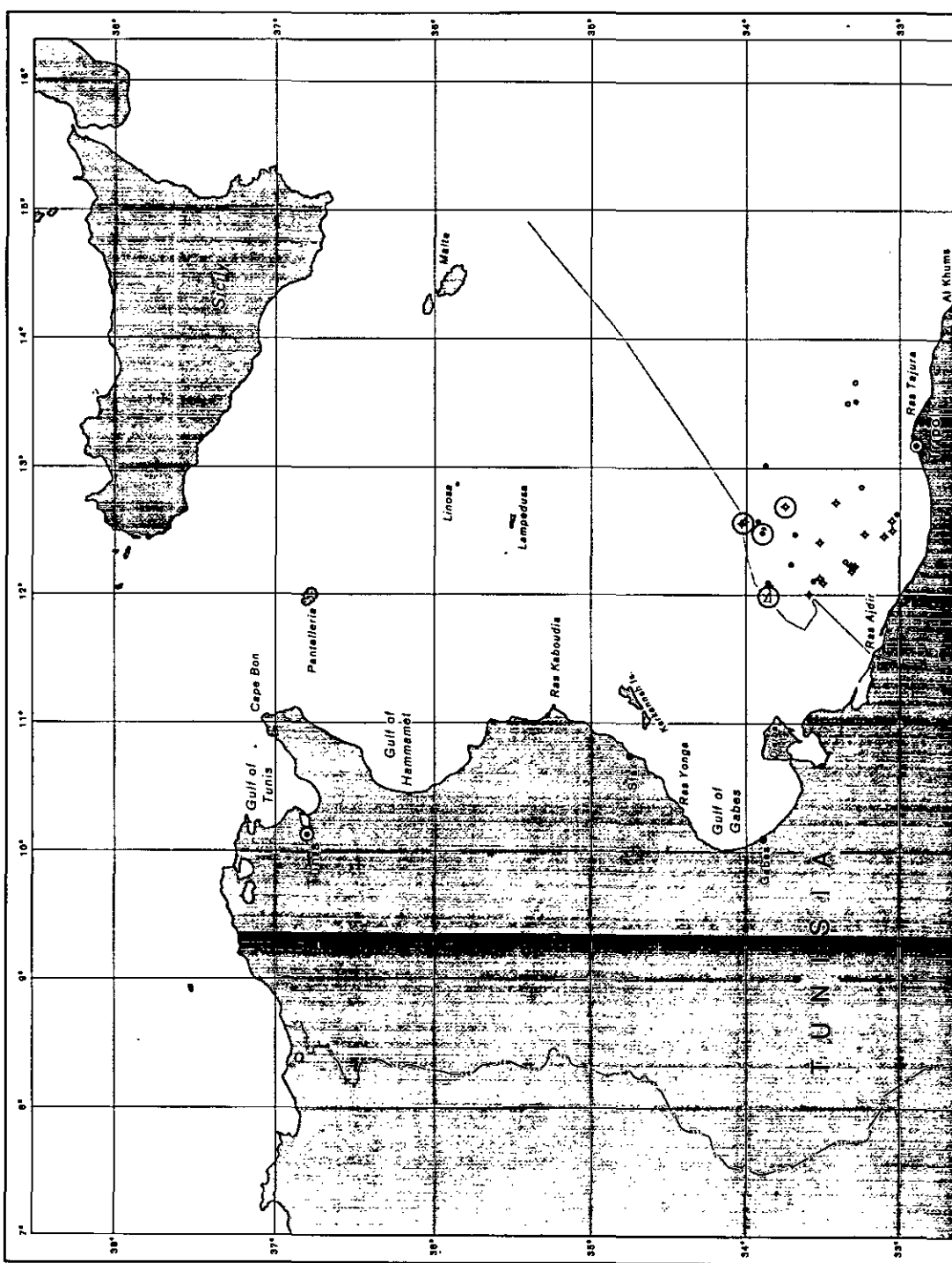
LOWER EOCENE-PLAY MAP

Sirt—Pelagian Basins

POTENTIAL







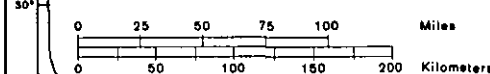
Map No. 6

LIBYAN PETROLEUM ACTIVITIES
WITH OVERLAY SHOWING TUNISIAN
MARITIME BOUNDARY CLAIM
ACCORDING TO MAY 1976
MEMORANDUM

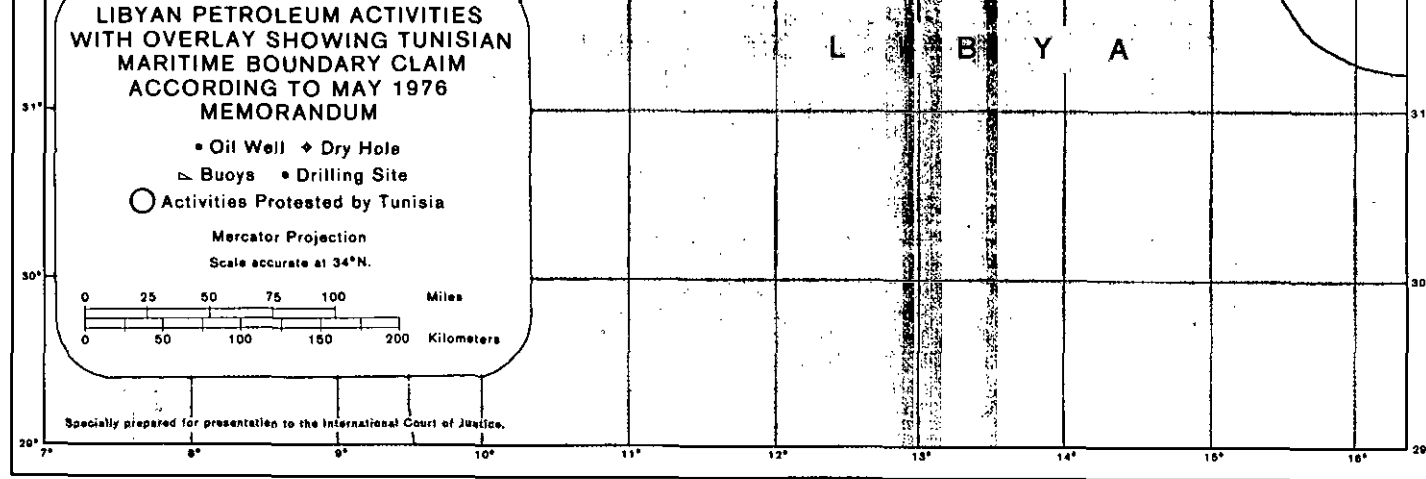
- Oil Well ♦ Dry Hole
- △ Buoys • Drilling Site
- Activities Protested by Tunisia

Mercator Projection

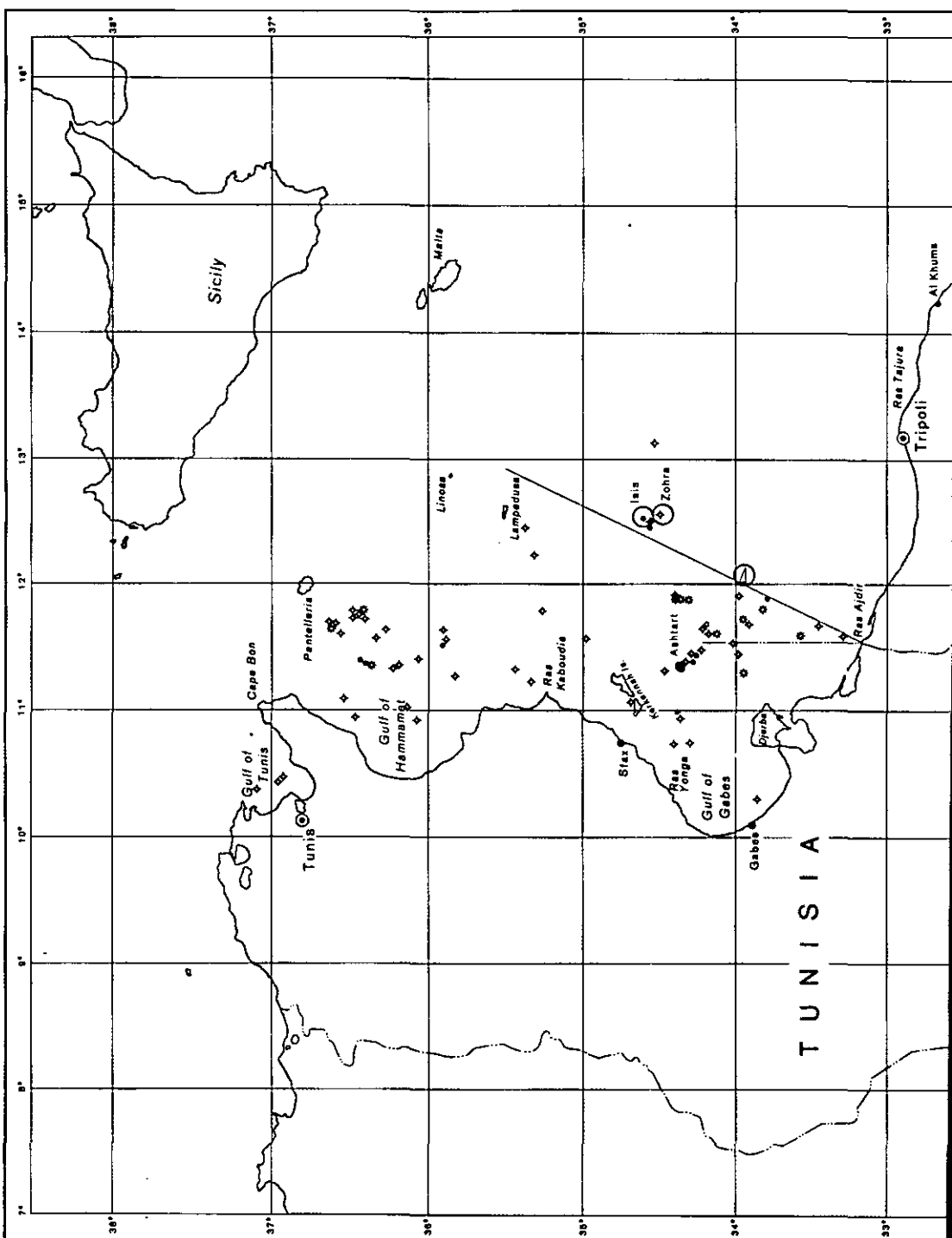
Scale accurate at 34°N.



Specially prepared for presentation to the International Court of Justice.



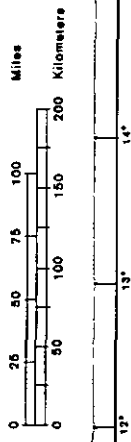
The blue line was produced originally on a transparent overlay



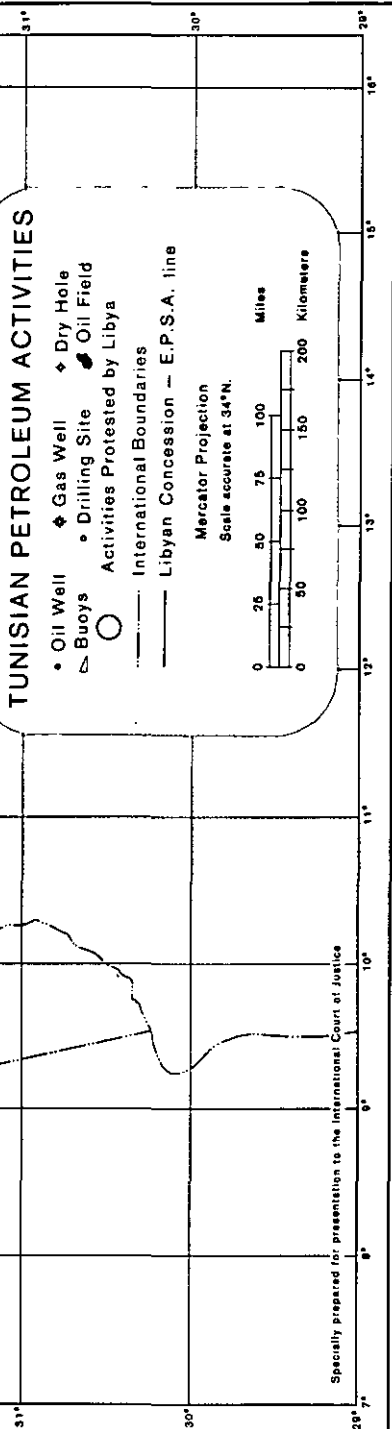
TUNISIAN PETROLEUM ACTIVITIES

- Oil Well ♦ Gas Well
- △ Buoys • Drilling Site
- Activities Protested by Libya
- International Boundaries
- Libyan Concession — E.P.S.A. line

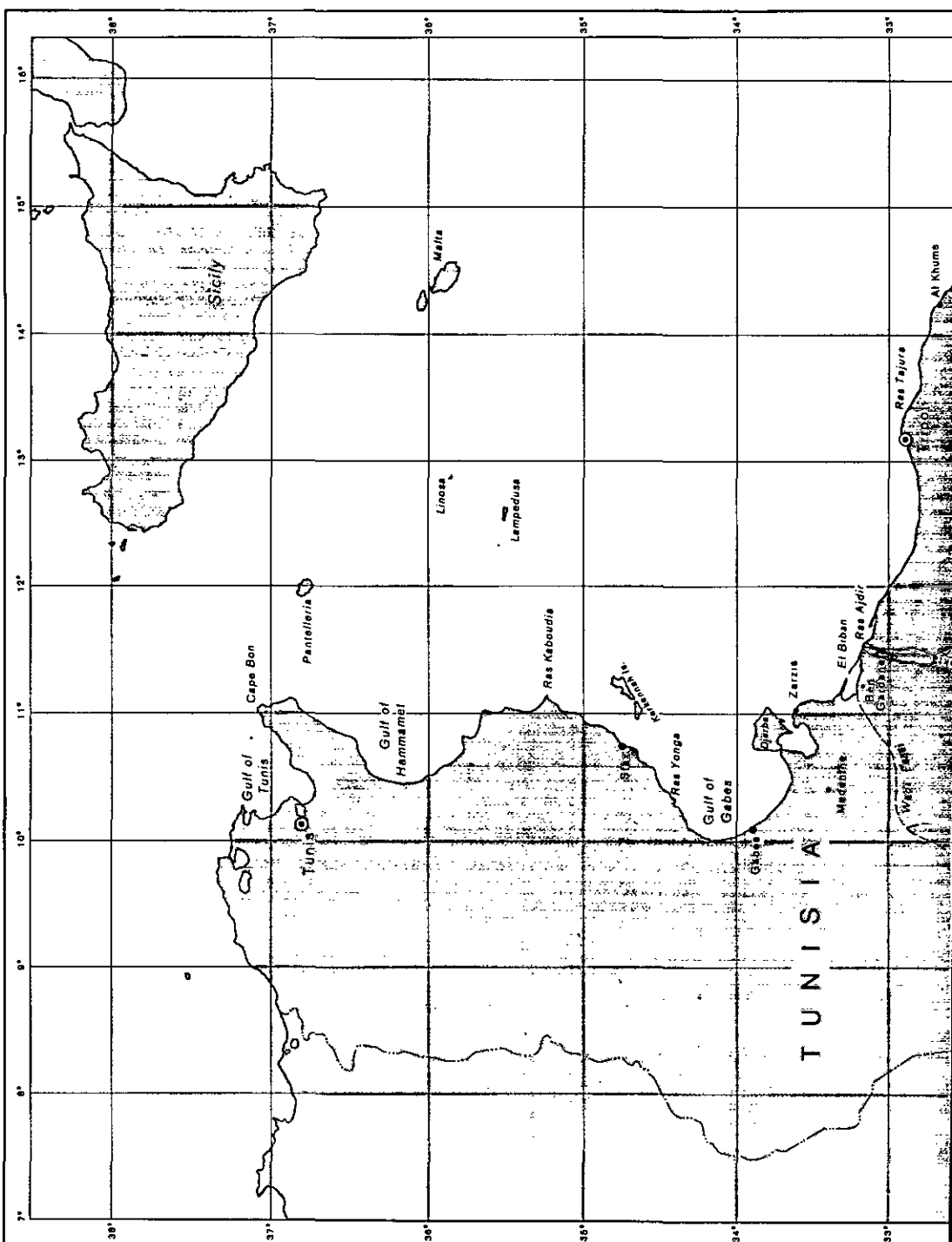
Mercator Projection
Scale accurate at 34° N.



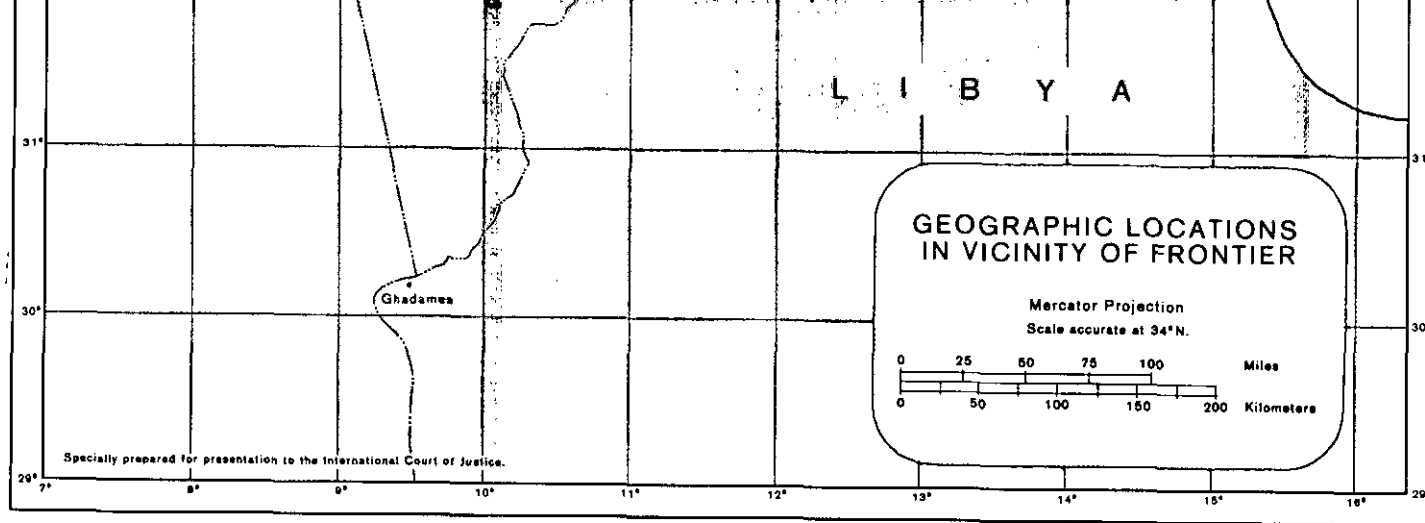
Specially prepared for presentation to the International Court of Justice

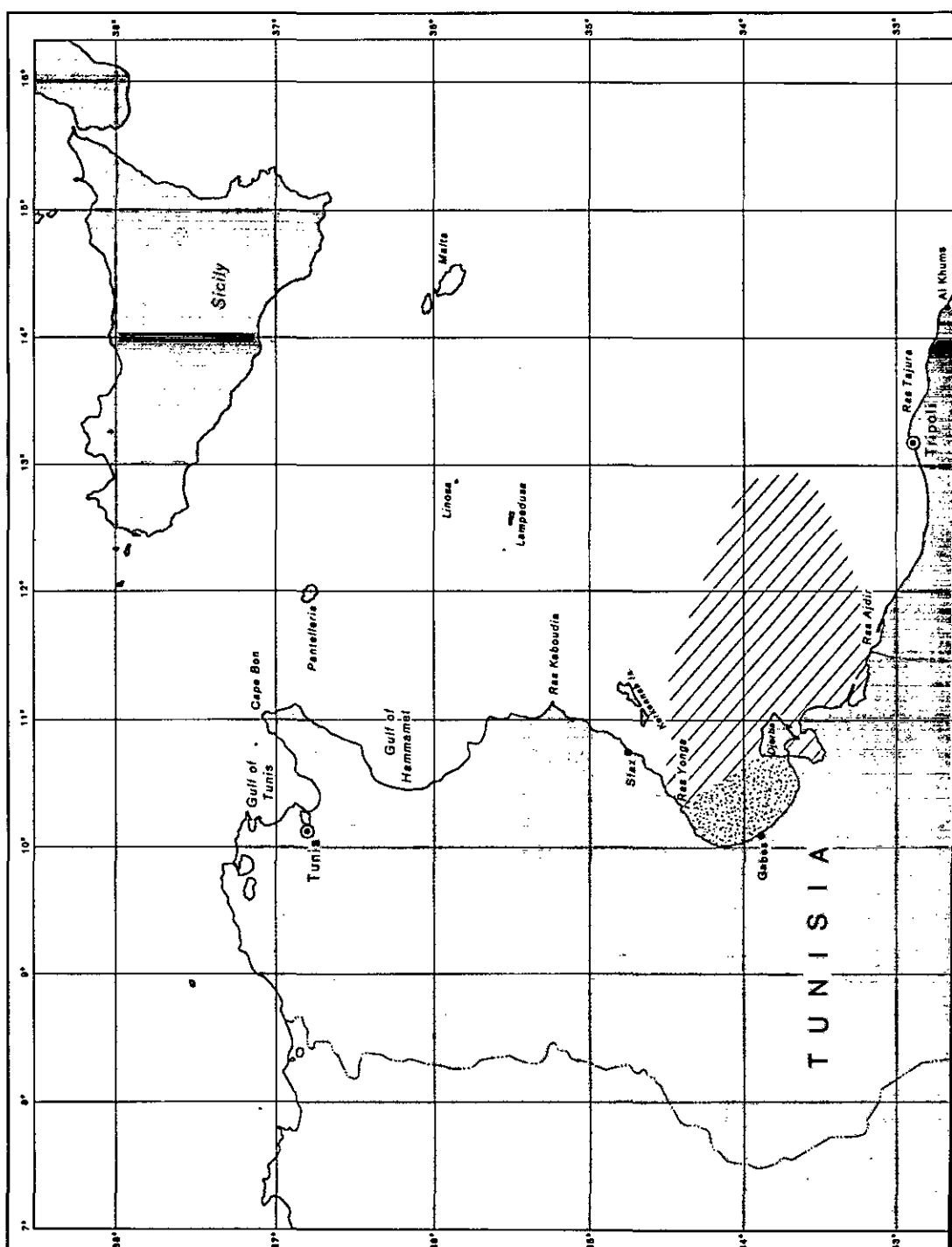


Map No. 7



Map No. 8

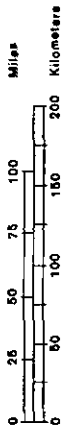




GULF OF GABES

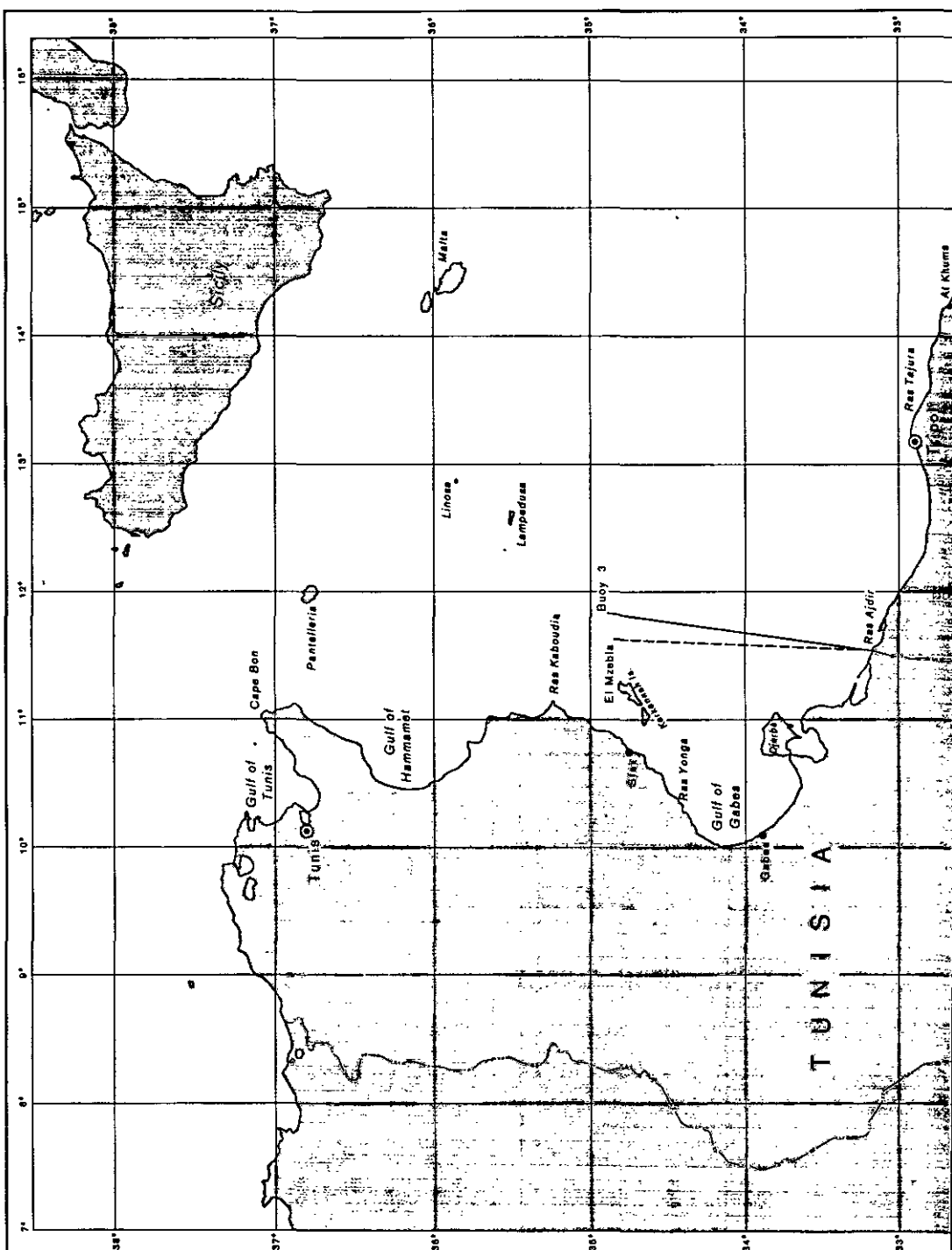
- Gulf as properly defined
- Tunisian eastward expansion of "Gulf"

Mercator Projection
Scale accurate at 34°N.

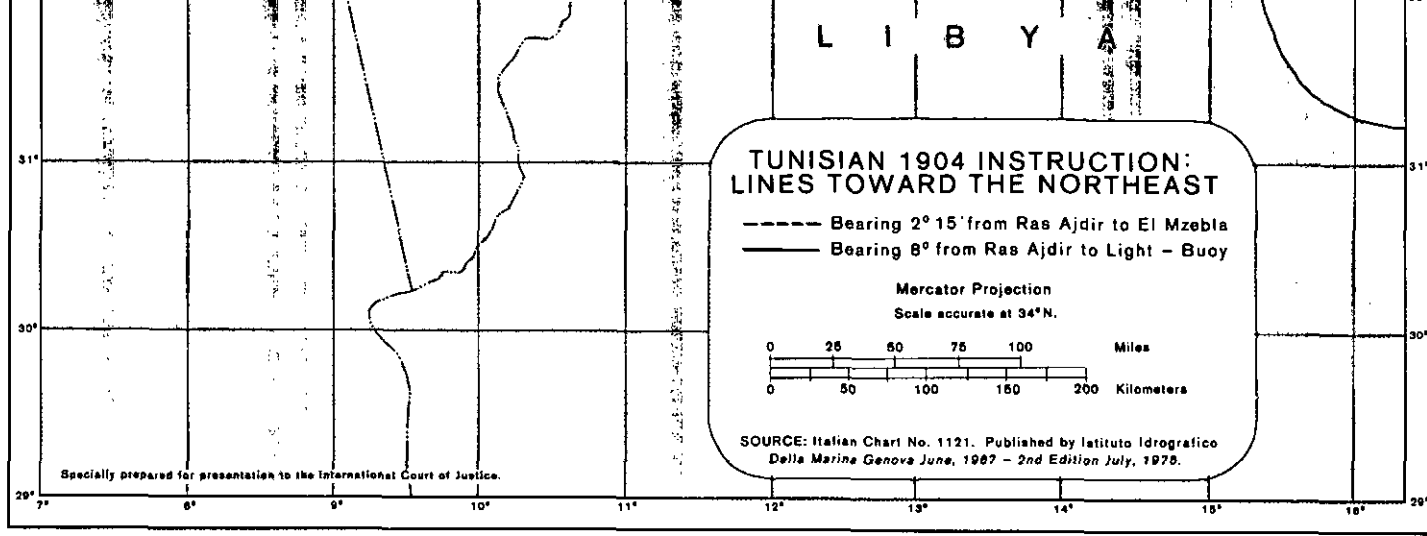


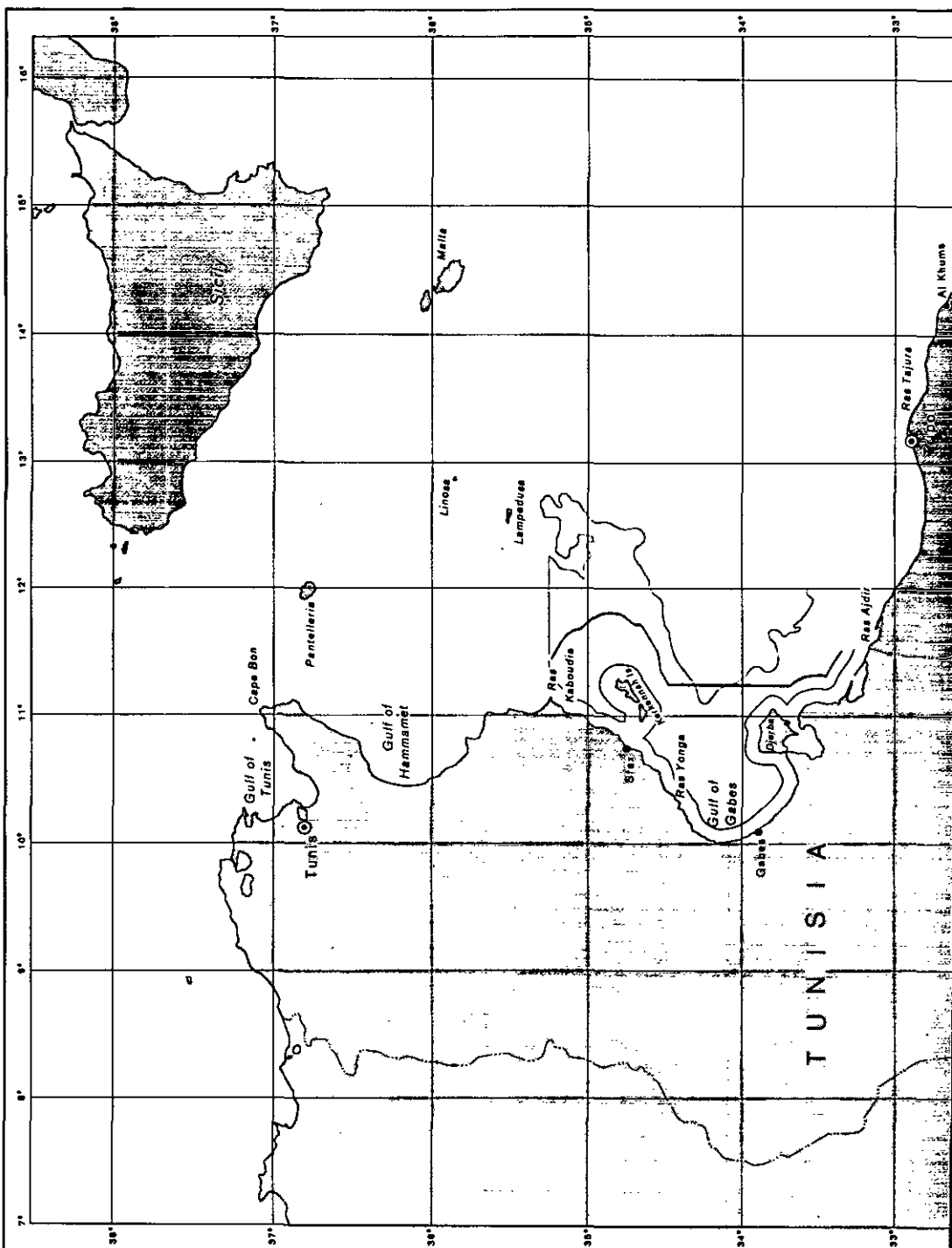
Specially prepared for presentation to the International Court of Justice.

Map No. 9



Map No. 10



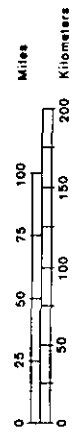


L I B Y A

TUNISIAN TERRITORIAL
SEA CLAIMS

— 1962 — 1963 — 1973

Mercator Projection
Scale accurate at 34°N.



Especially prepared for presentation to the International Court of Justice.

Map No. 11

VESSEL ARRESTS BY TUNISIA
AS CLAIMED IN TUNISIAN MEMORIAL,
ANNEX 89

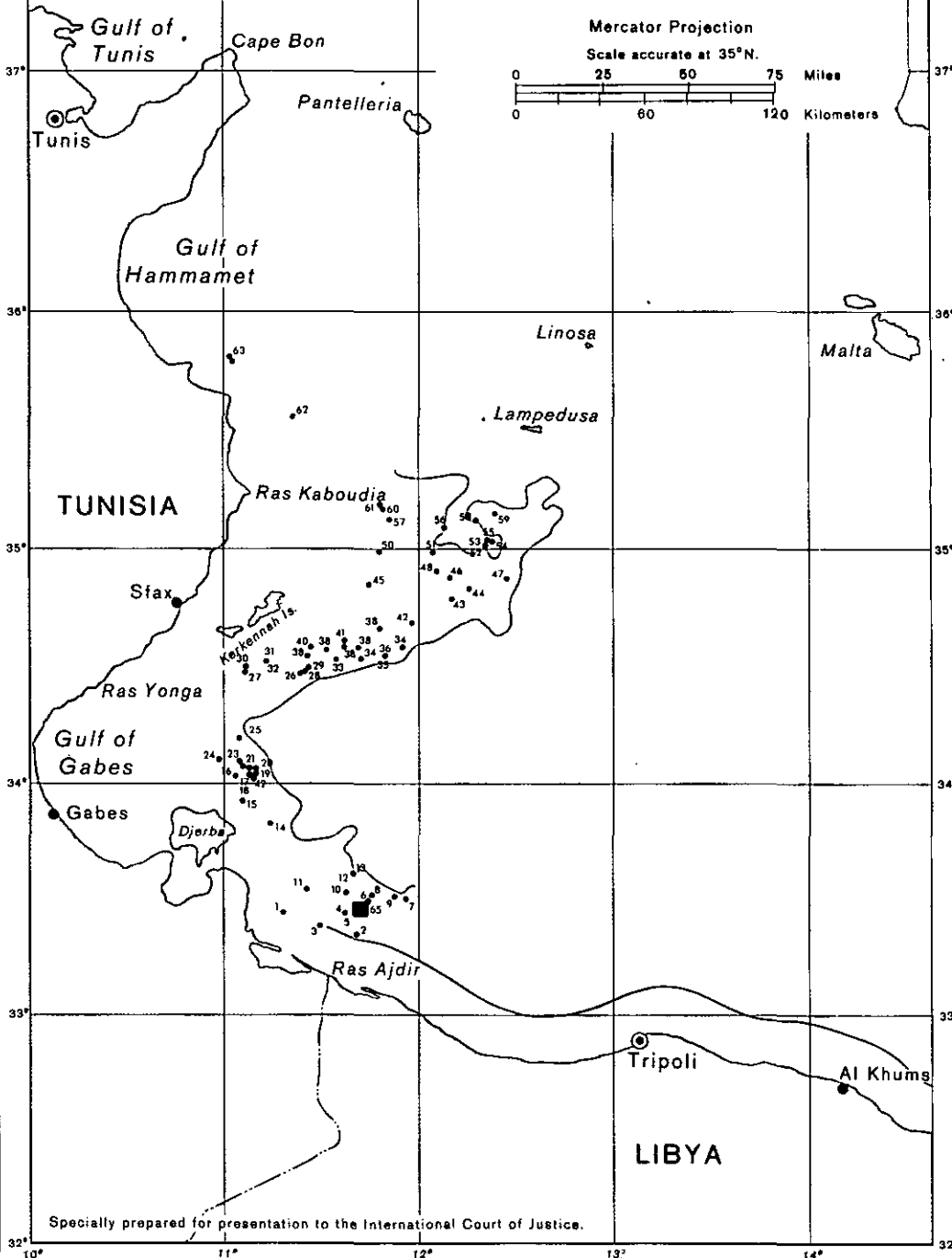
— 50 metre isobath — Libyan territorial sea

■ Tripolitanian vessel

Mercator Projection

Scale accurate at 35°N.

0 25 50 75 Miles
0 60 120 Kilometers



Specially prepared for presentation to the International Court of Justice.

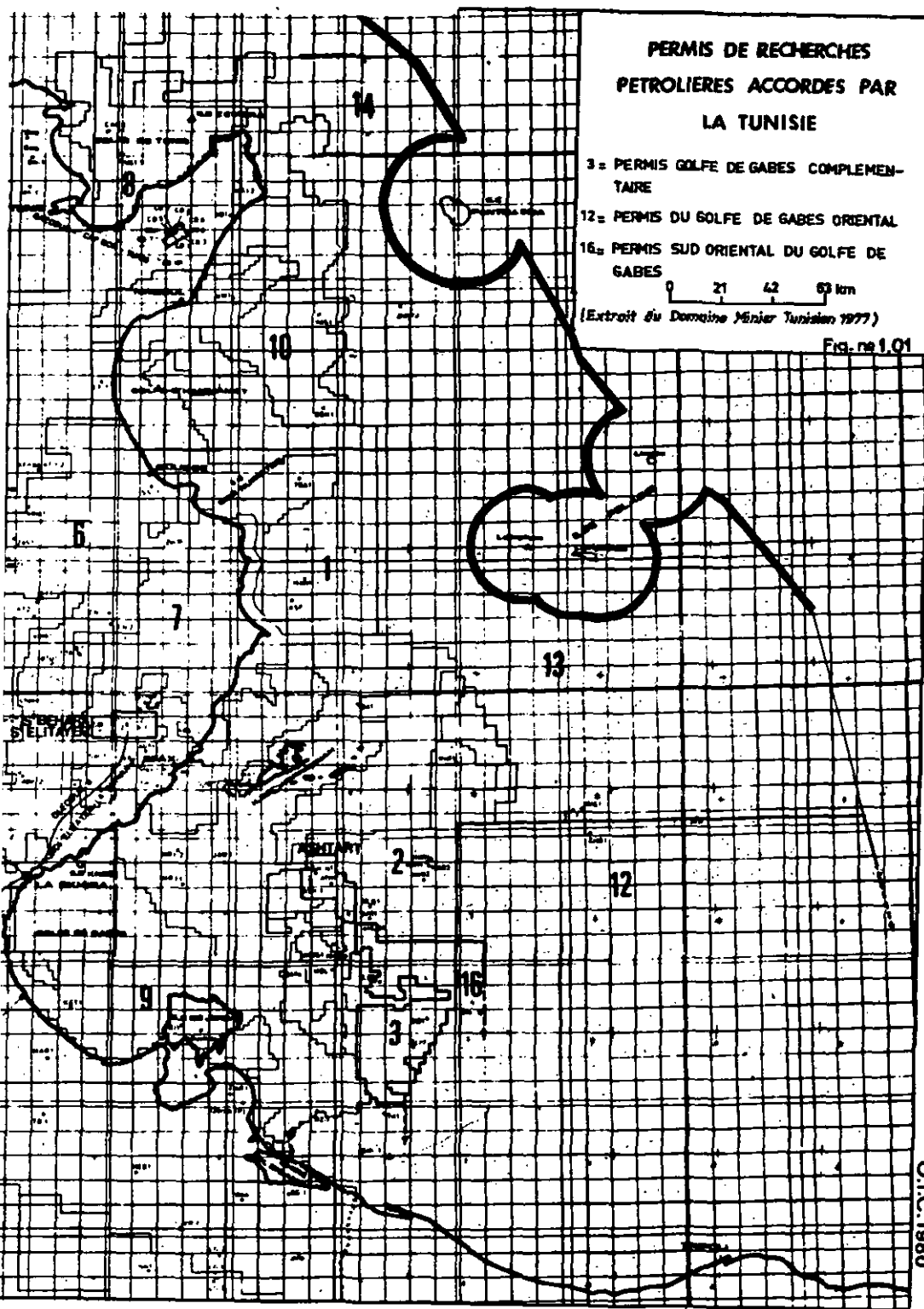
PERMIS DE RECHERCHES
PETROLIERES ACCORDES PAR
LA TUNISIE

- 3 = PERMIS GOLFE DE GABES COMPLEMENTAIRE
12 = PERMIS DU GOLFE DE GABES ORIENTAL
16 = PERMIS SUD ORIENTAL DU GOLFE DE GABES

(Extrait du Domaine Minier Tunisien 1977)

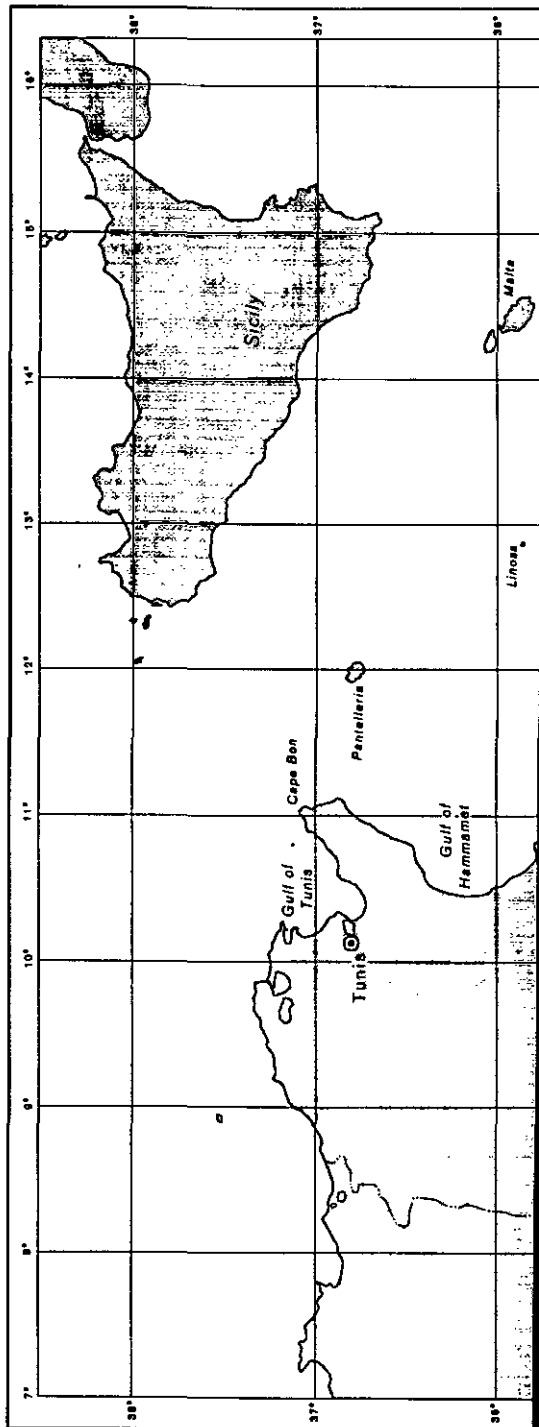
FIG. n° 1.01

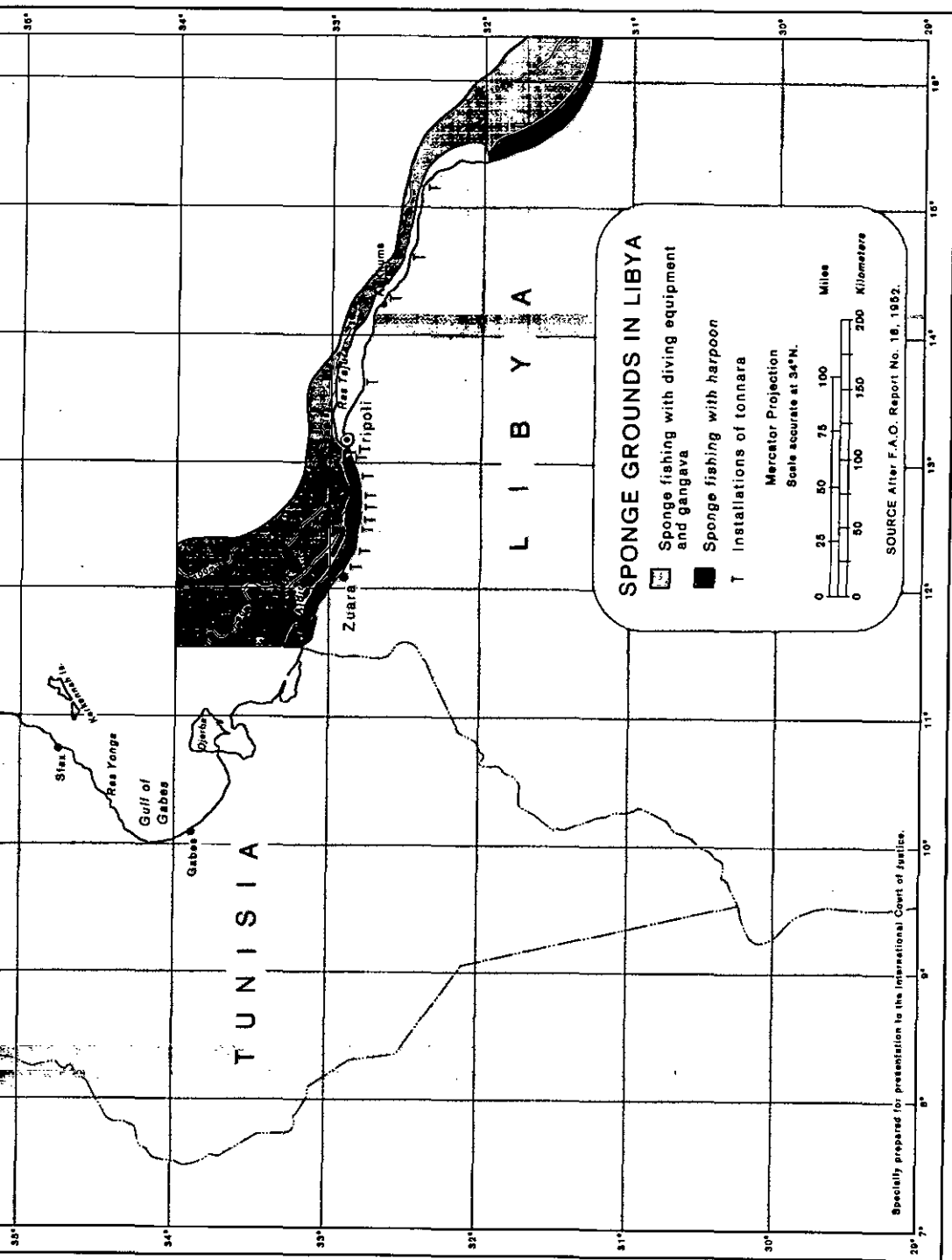
O.T.C. 1980

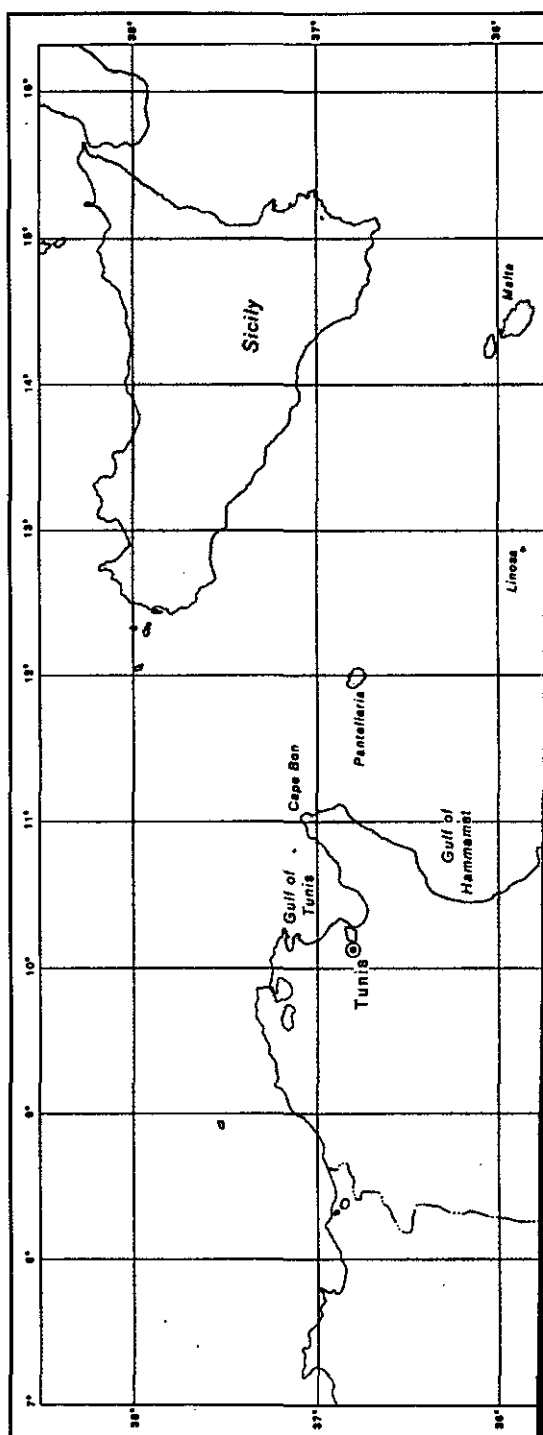


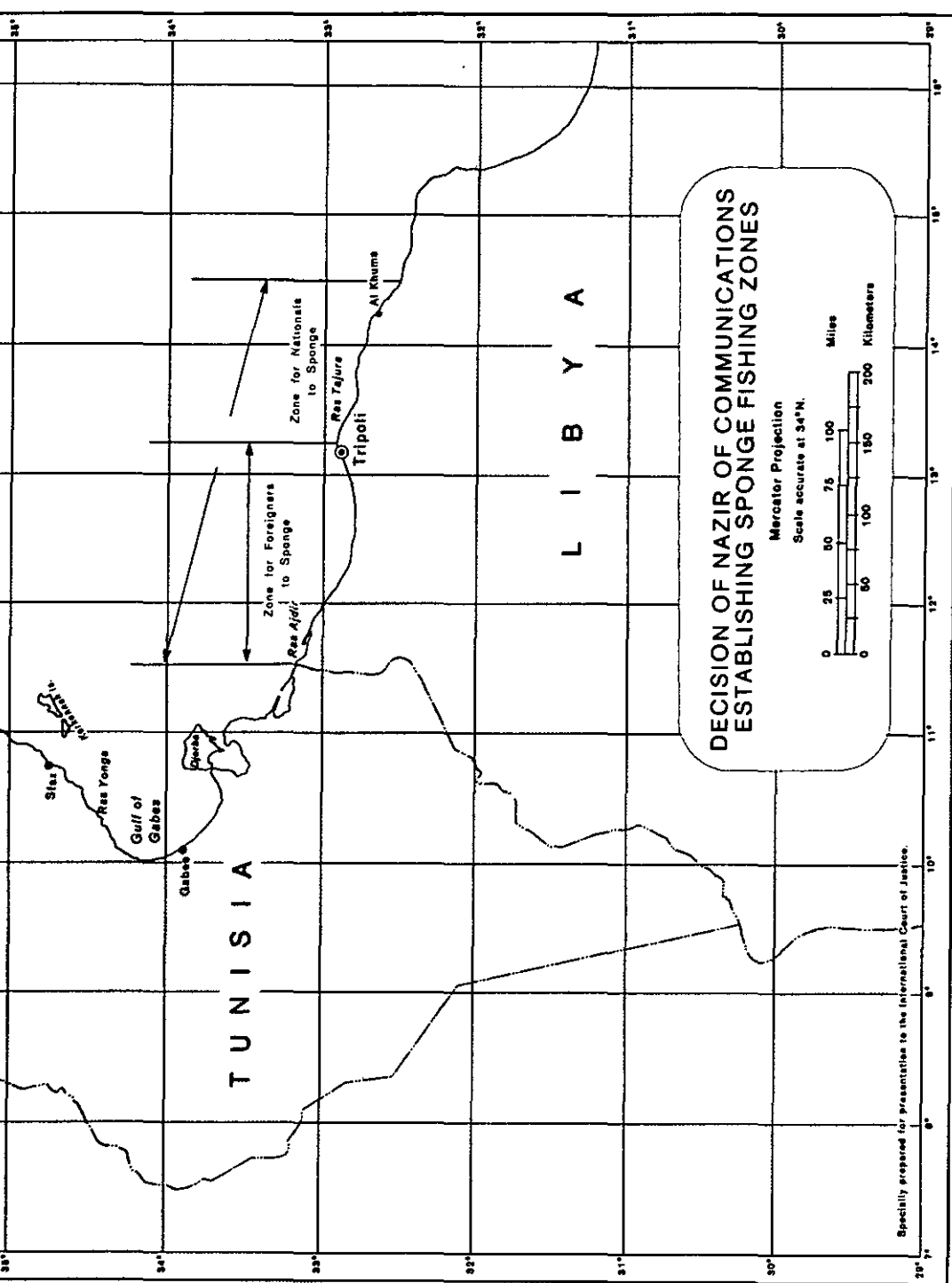
TUNISIAN FIGURE 1.01
WITH OVERLAY OF THE
ITALO-TUNISIAN DELIMITATION LINE

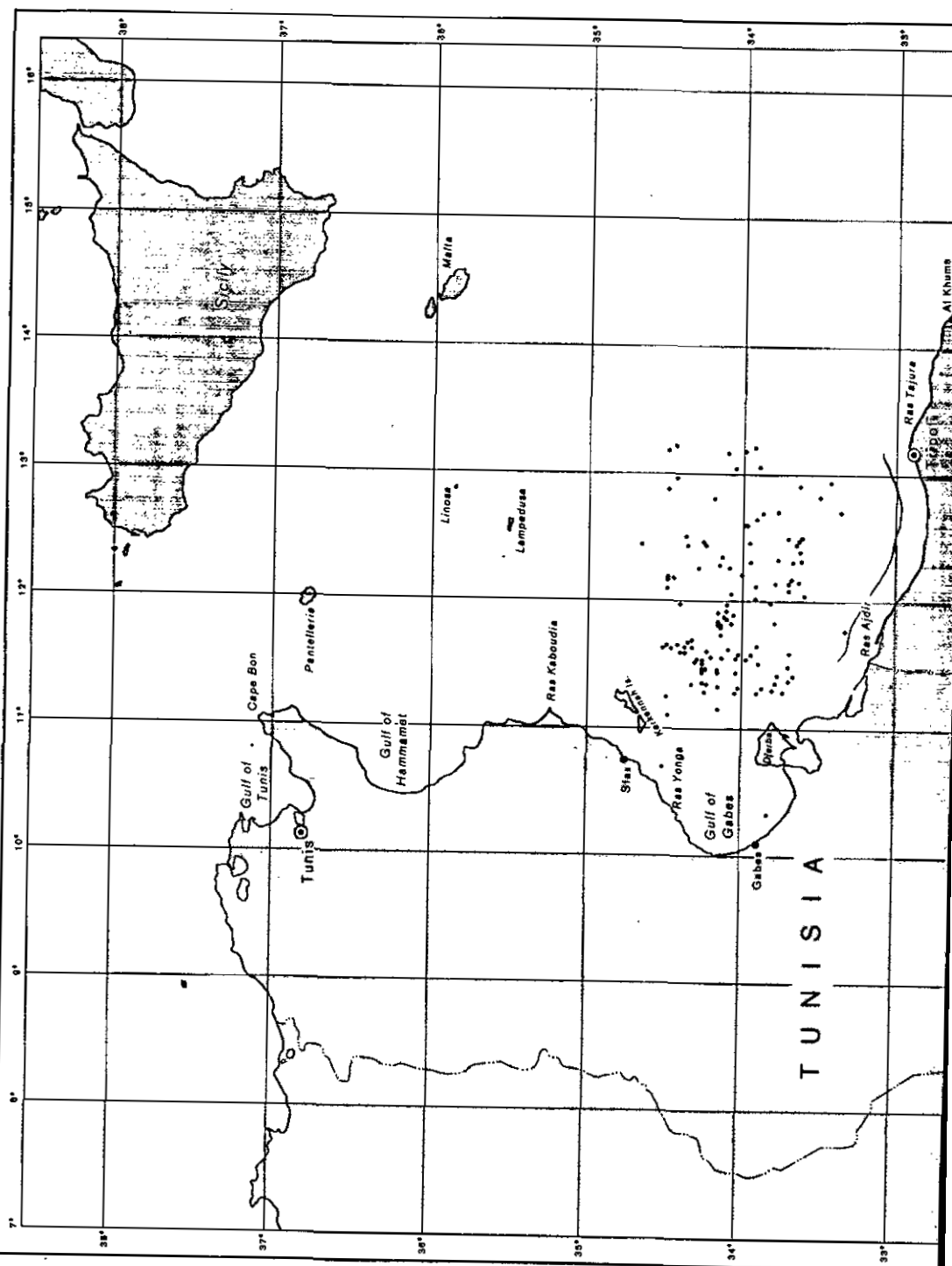
Figure 3



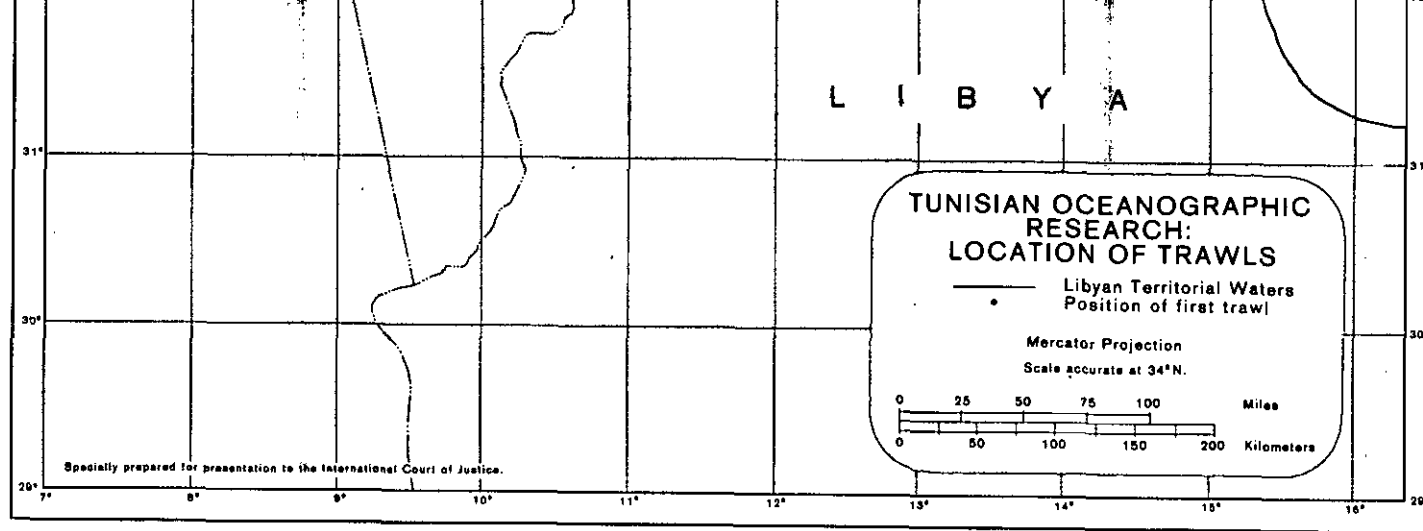








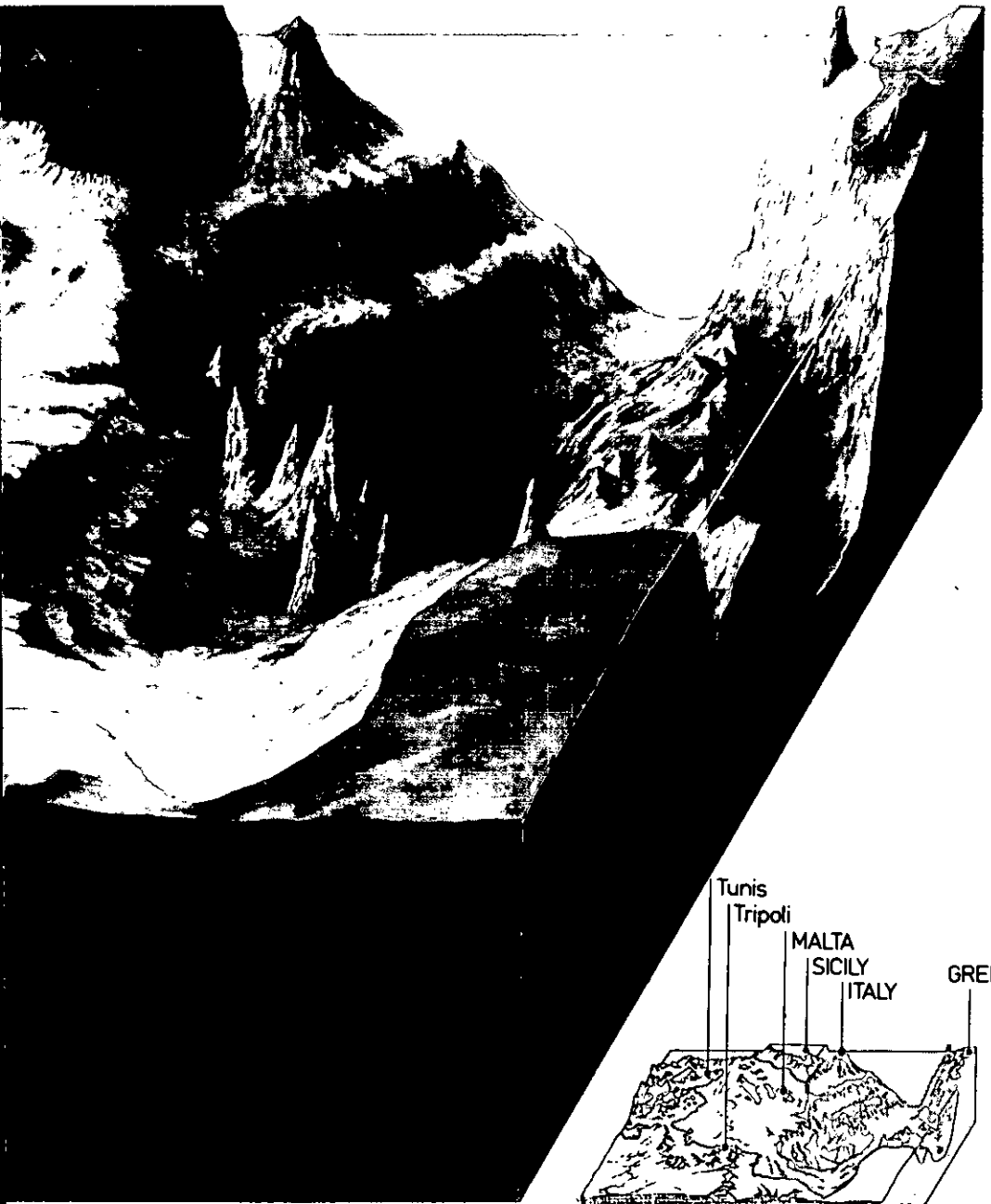
Map No. 15





ARTIST RENDITION OF THE SEA BOTTOM AND SURROUNDING AREAS

Note: The sebkhas (salt-flats) on the coastal plain those on the coast to the south and east of the since they lie at or below sea level. As a result than on other maps in the Counter-Memorial.



GRAPHY OF THE PELAGIAN BASIN

el) of Tunisia, those of the Chotts and Djerba are shown as water features
t of the Jeffara appears more irregular

Figure 4

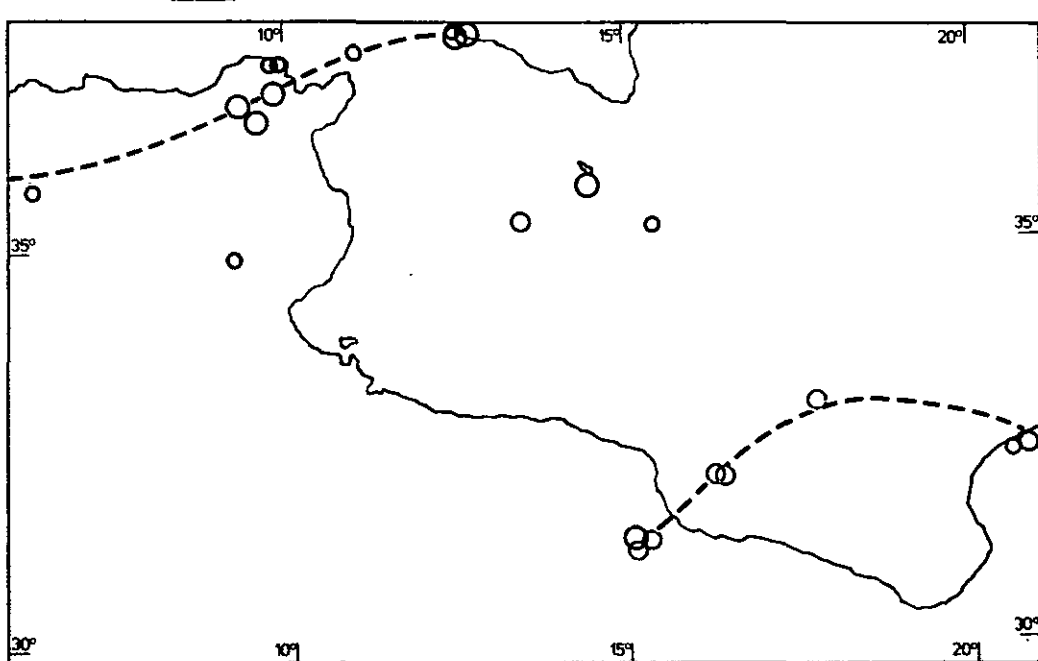
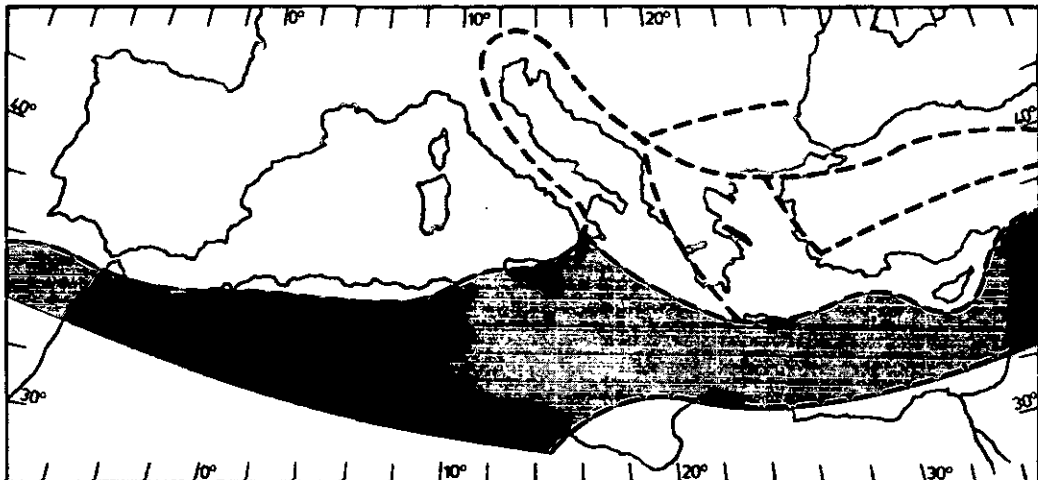


Figure 6

UPPER

Seismic belts (a) of the Mediterranean area as defined by the epicentres of shallow earthquakes dating from 1901-1971. The seismic belts bound aseismic blocks, including the Ionian-Valentine block (b).

LOWER

Shallow earthquakes in the western Ionian area. (a) Magnitude 6.5-8.0, 1901-1971; (b) $M = 6.0-6.4$, 1901-1971; $M = 5.4-5.9$, 1911-1971; (c) $M = 5.0-5.3$, 1951-1971; $M = 4.5-4.9$, 1965-1971; (d) limits of Ionian-Valentine block.

SOURCE: Fig. 1 in Papazachos, B.C., Distribution of seismic foci in the Mediterranean and surrounding area and its tectonic implication. *Geophys. J.R. astr. Soc.* 33, 1973, 421-430.

PELAGIAN BASIN

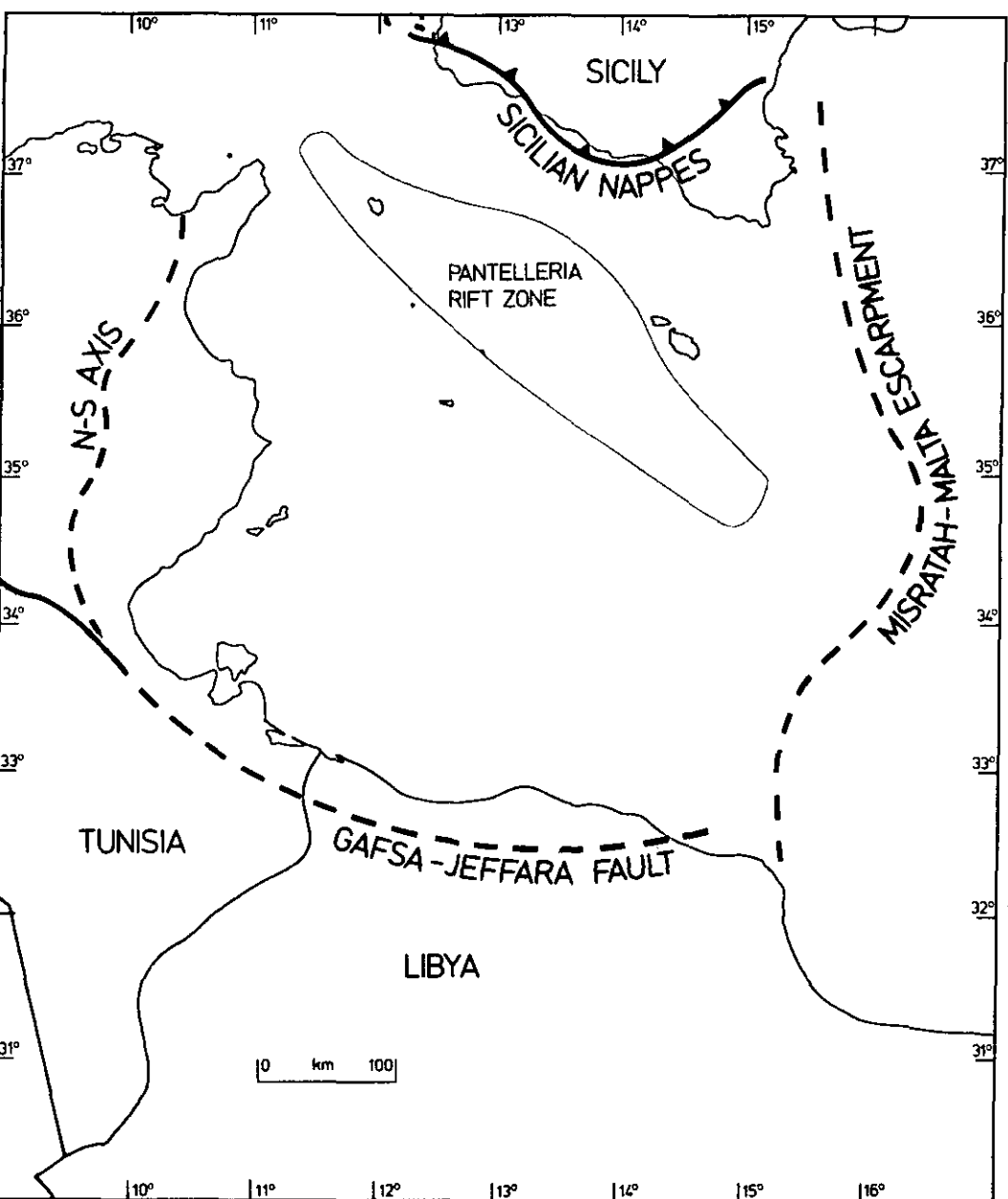
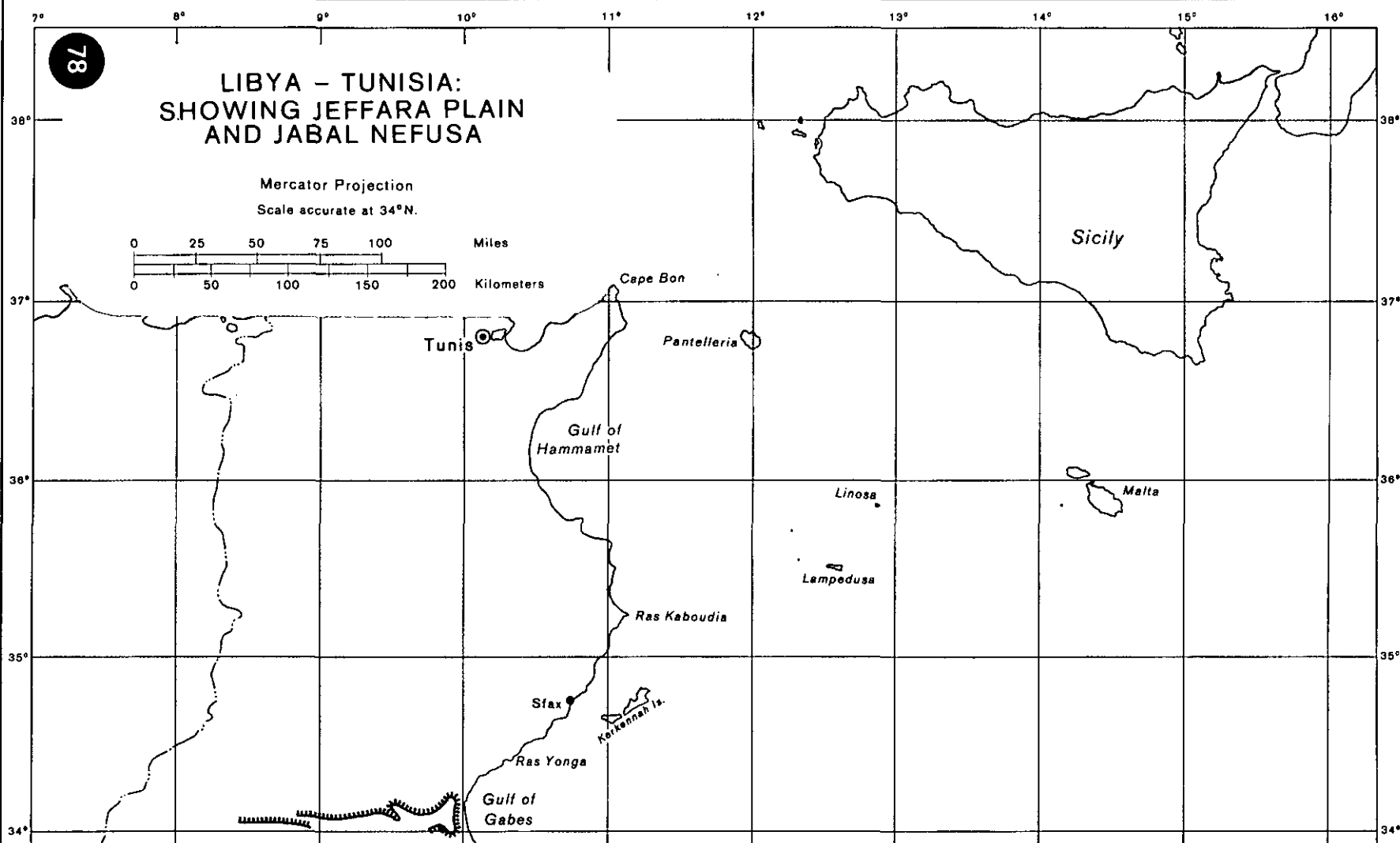
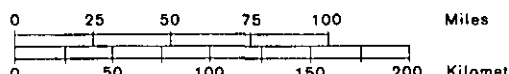


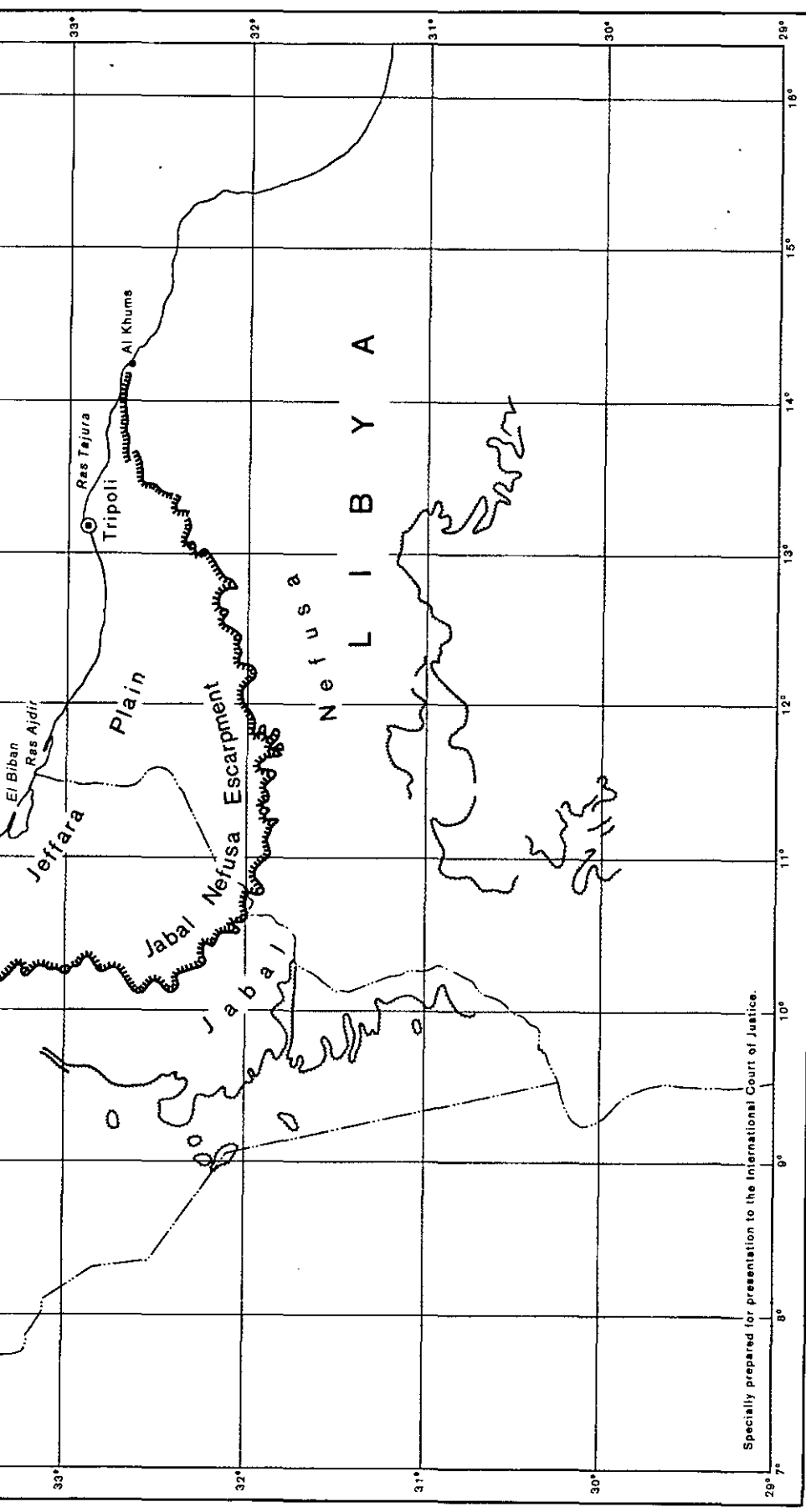
Figure 7 was prepared by Professor A. A. Missallati to illustrate the definition of the "Pelagian Basin" as defined in paragraph 62 of the Libyan Memorial.

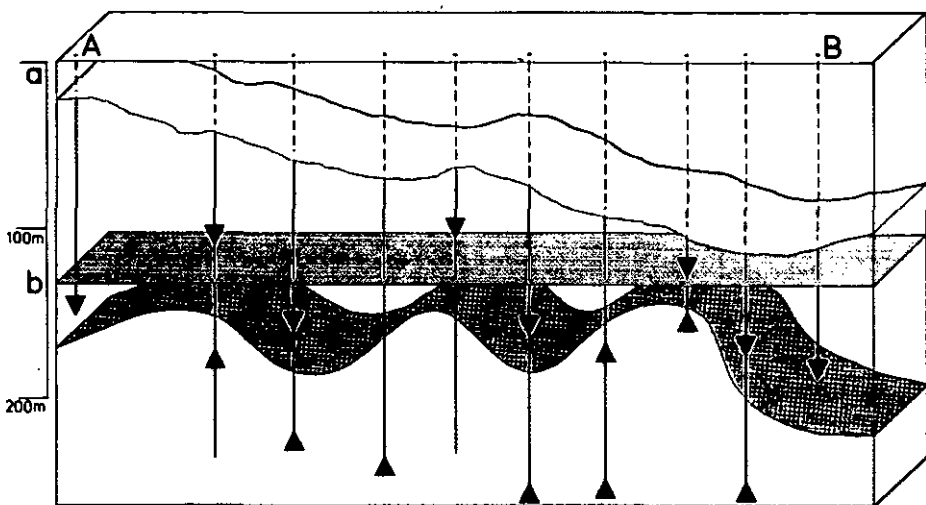
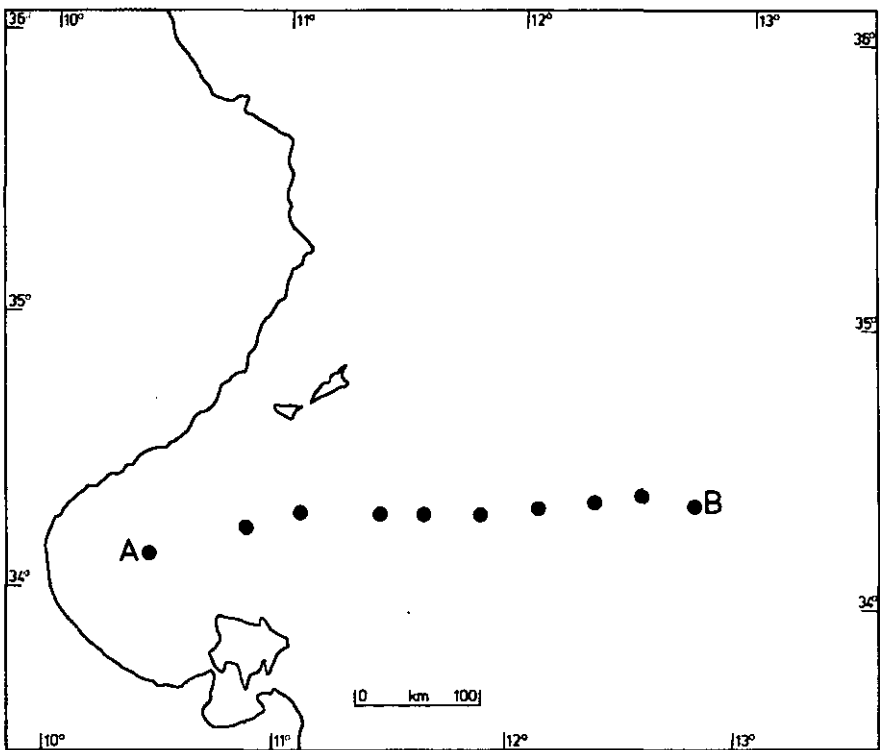
LIBYA - TUNISIA: SHOWING JEFFARA PLAIN AND JABAL NEFUSA

Mercator Projection

Scale accurate at 34°N.







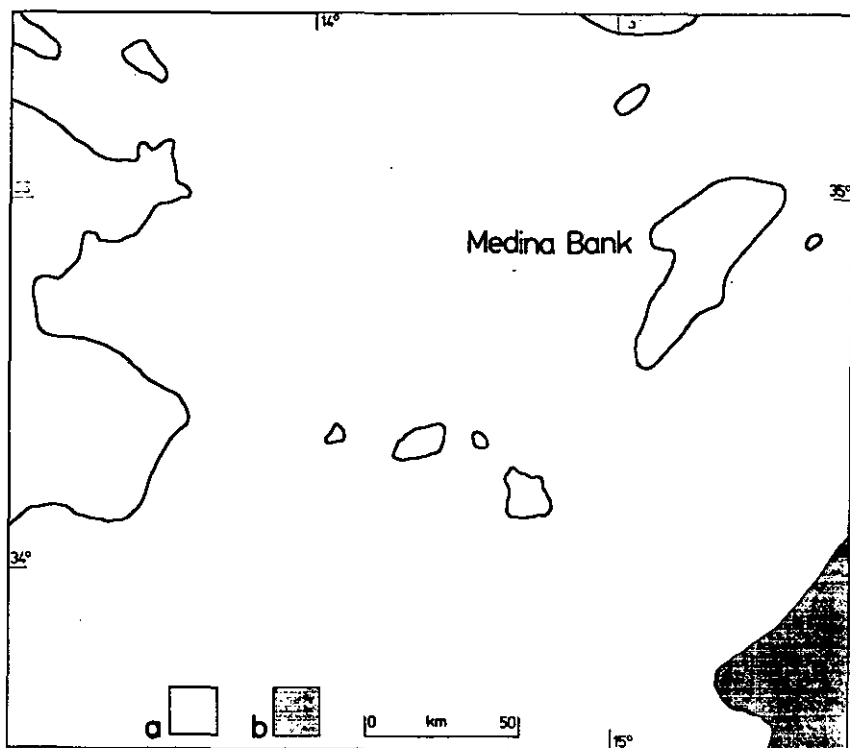
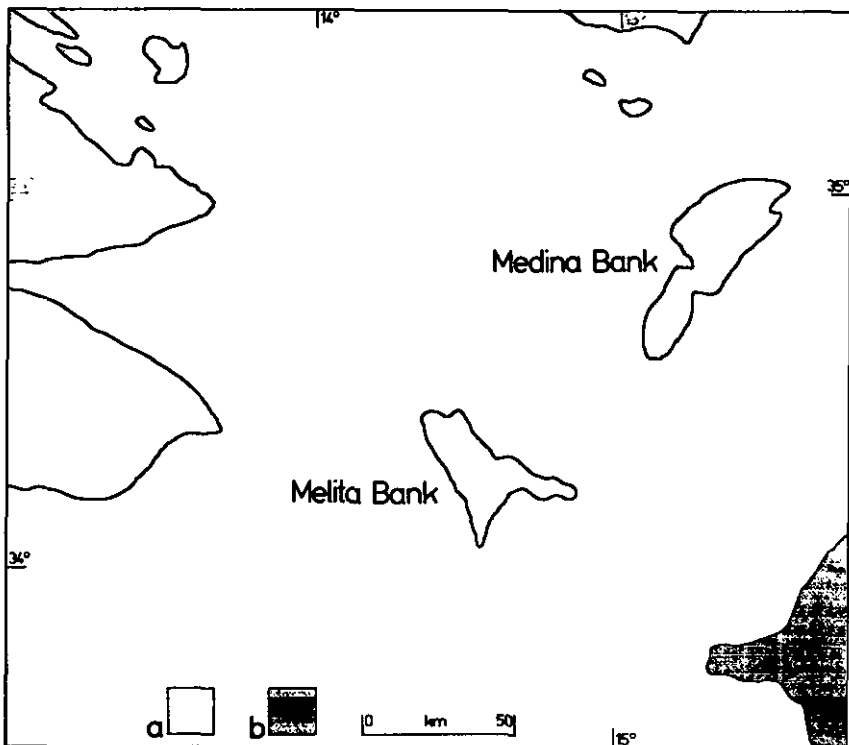
UPPER

Location of cores used in constructing lower diagram.

LOWER

Position of sea level today (a) and 16,000 years ago (b) and corresponding submarine topography. Solid triangles indicate ^{14}C ages less than (\blacktriangledown) or greater than (\blacktriangle) 16,000 years obtained from core samples at the depth indicated.

SOURCE: Burollet P.F. et al., *La Mer Pélagienne, Geol. méditerranéenne VI*, 1979.



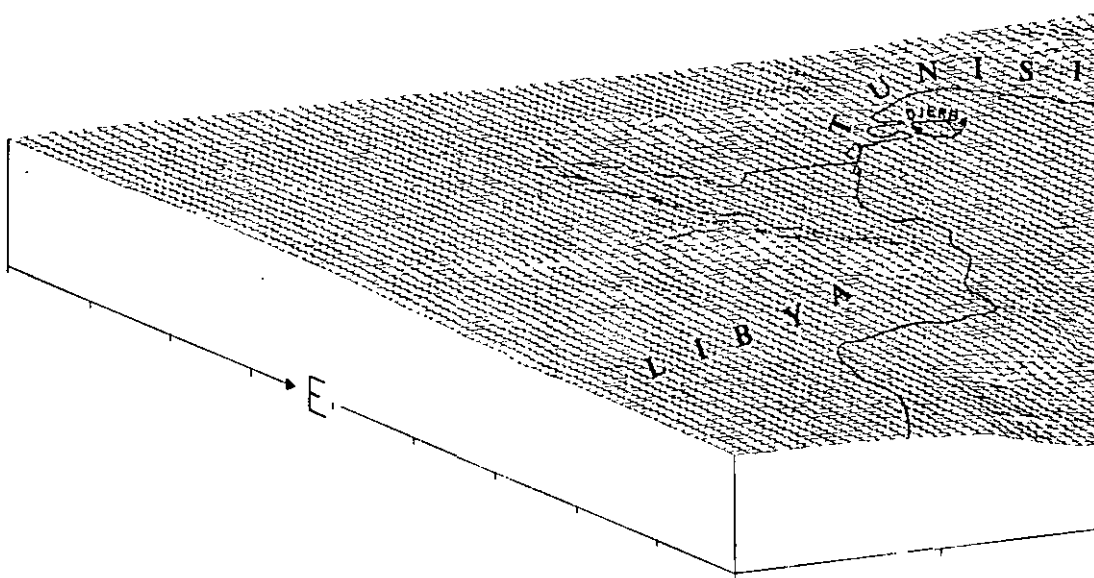
The bathymetry of part of the Pelagian Sea according to different sources redrawn to the same scale.

a. depths of less than 200 m, b. depths greater than 1000 m

SOURCE: UPPER: Carte 2 of Tunisian Memorial (1/5M, 1980);

LOWER: Defense Mapping Agency, Washington, Map of Mediterranean Sea (1/2.8M, 1972).

PELAGIAN SEA AND SURRO



THETA 12° — V.E. 10x

VIEW FROM E.S.

LAND

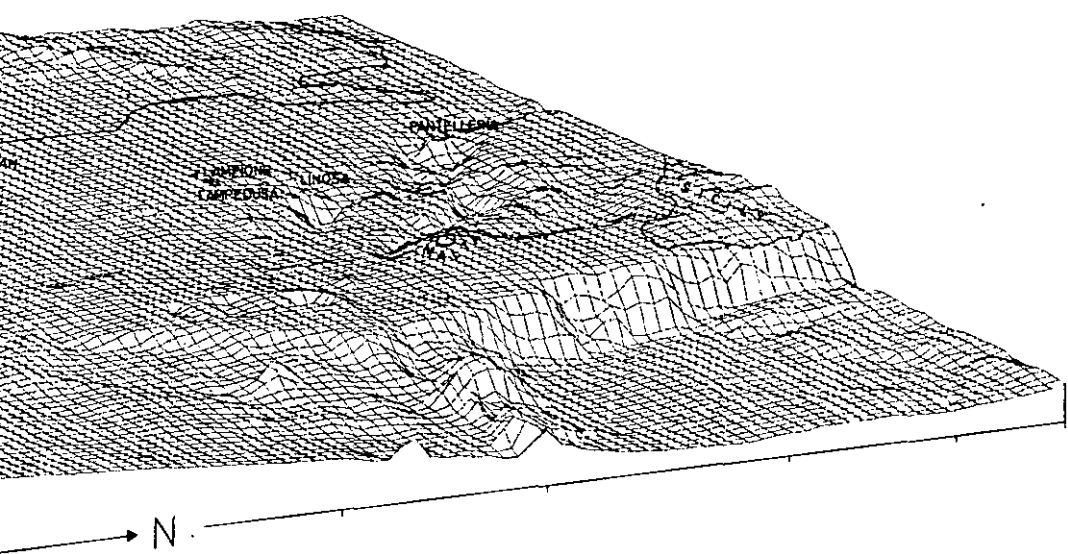


Figure 11

F.FABRICIUS 80

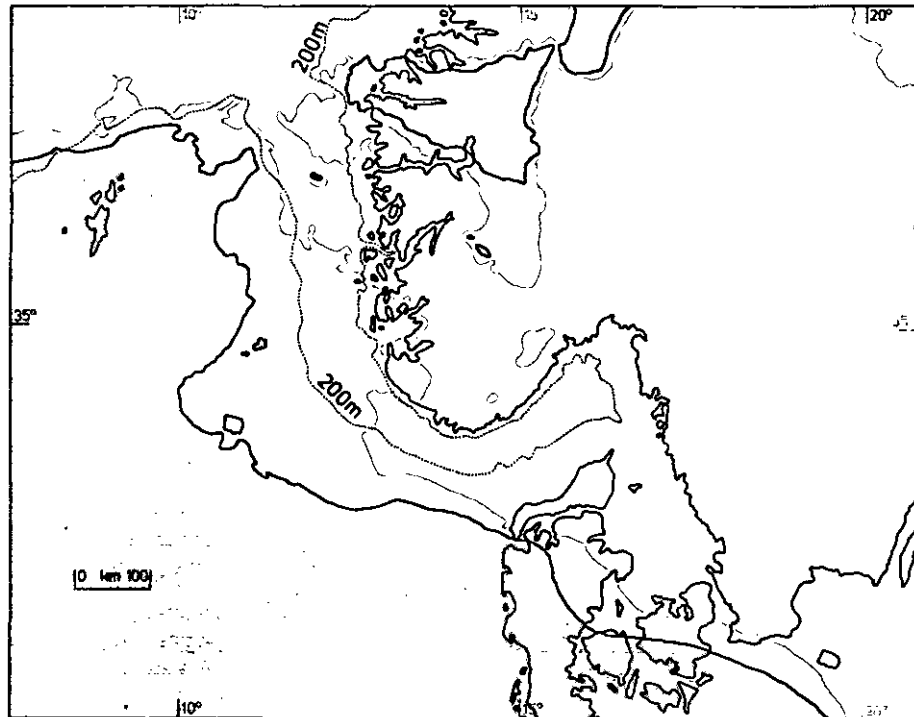


Figure 12

82

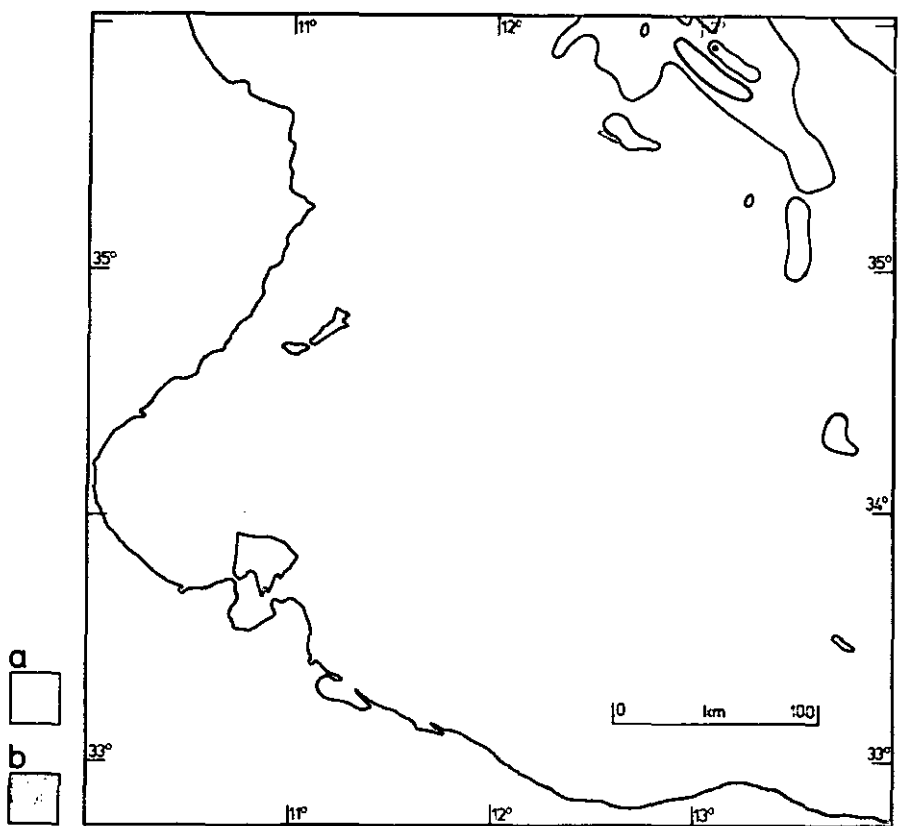
The bathymetry of the Norwegian trough area (a) superimposed on the Pelagian Sea at the same scale. (b) = depths of over 200m. The adjoining Scandinavian coast is also indicated.



Figure 13

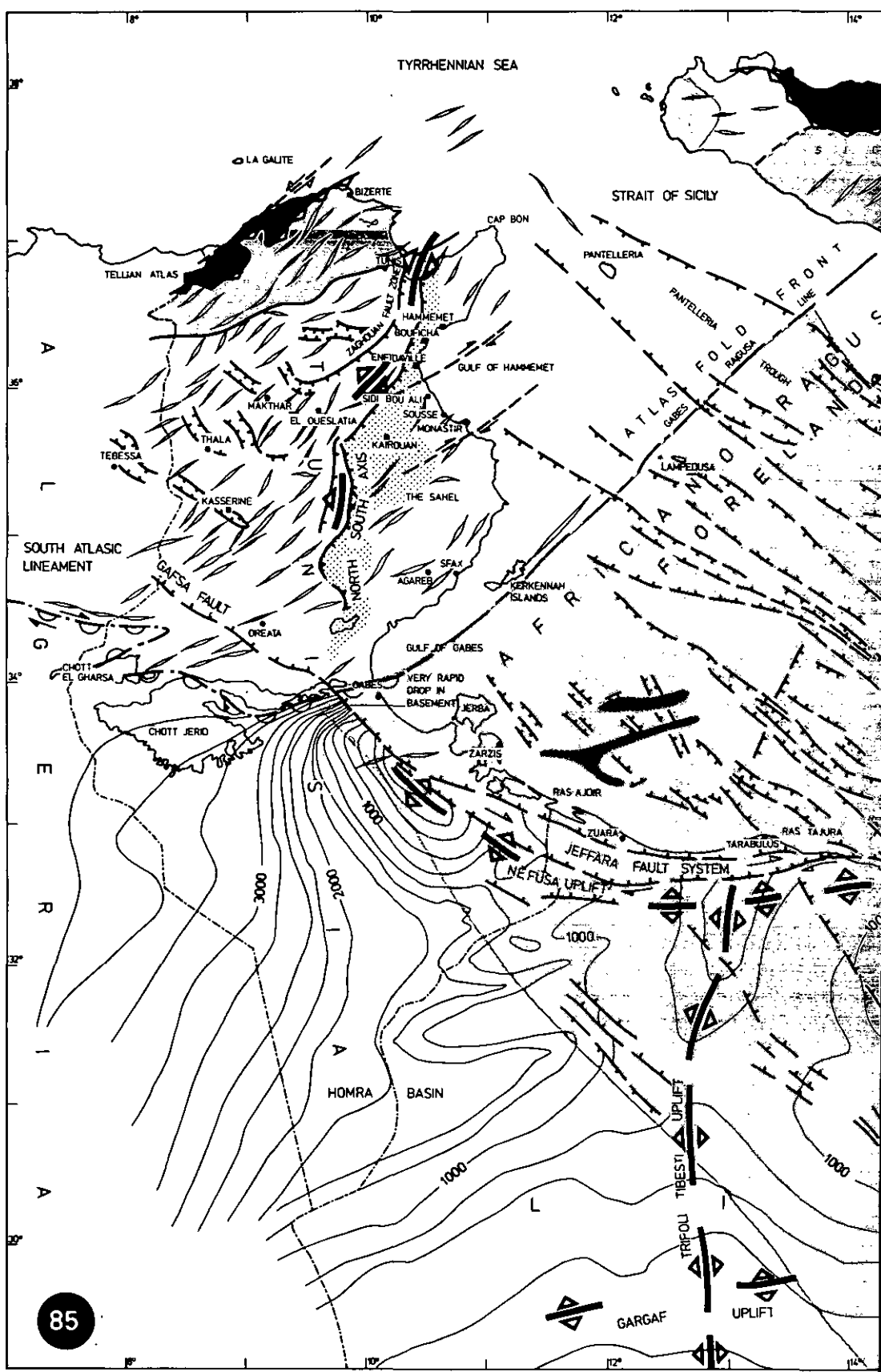
83

The bathymetry of the Hurd Deep (a) superimposed on the Pelagian Sea at the same scale. (b) = depths over 100 m. The adjoining coasts of England and France are also indicated.



Slope map of the Pelagian Sea as depicted in slope map of Pelagian Sea computed by Prof. F. Fabricius, simplified.

- (a) slopes of less than 1.4%
- (b) slopes of over 5.2%
white areas show intermediate slopes



A STRUCTURAL MAP OF NORTH WEST LIBYA-PELAGIAN BASIN AND TUNISIA

0 Km 100

- a
- b
- c
- d
- e
- f
- g
- h
- i
- j
- k
- l

1000

IONIAN SEA

MALTA
JEFFARA

AREA OF ARCUATE FAULT PATTERN

GULF OF SYRTE

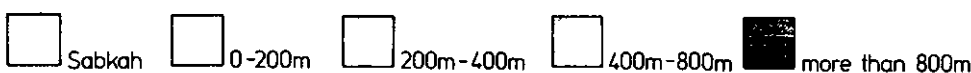
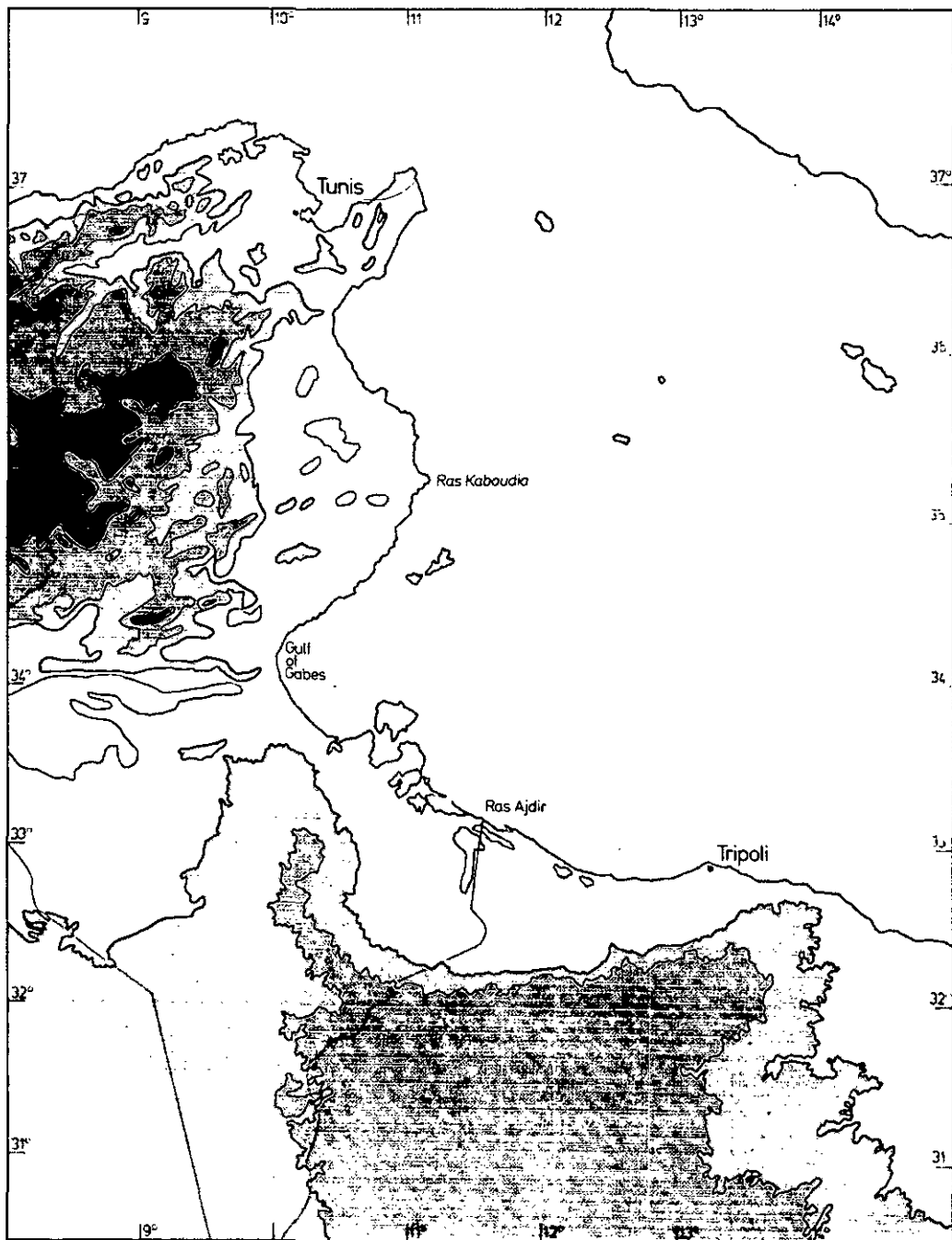
FAULTS INITIATED IN LATE CRETACEOUS

HUN GRABEN

DAHRA
ZELTEEN BLOCK
SYRTEA
BASIN

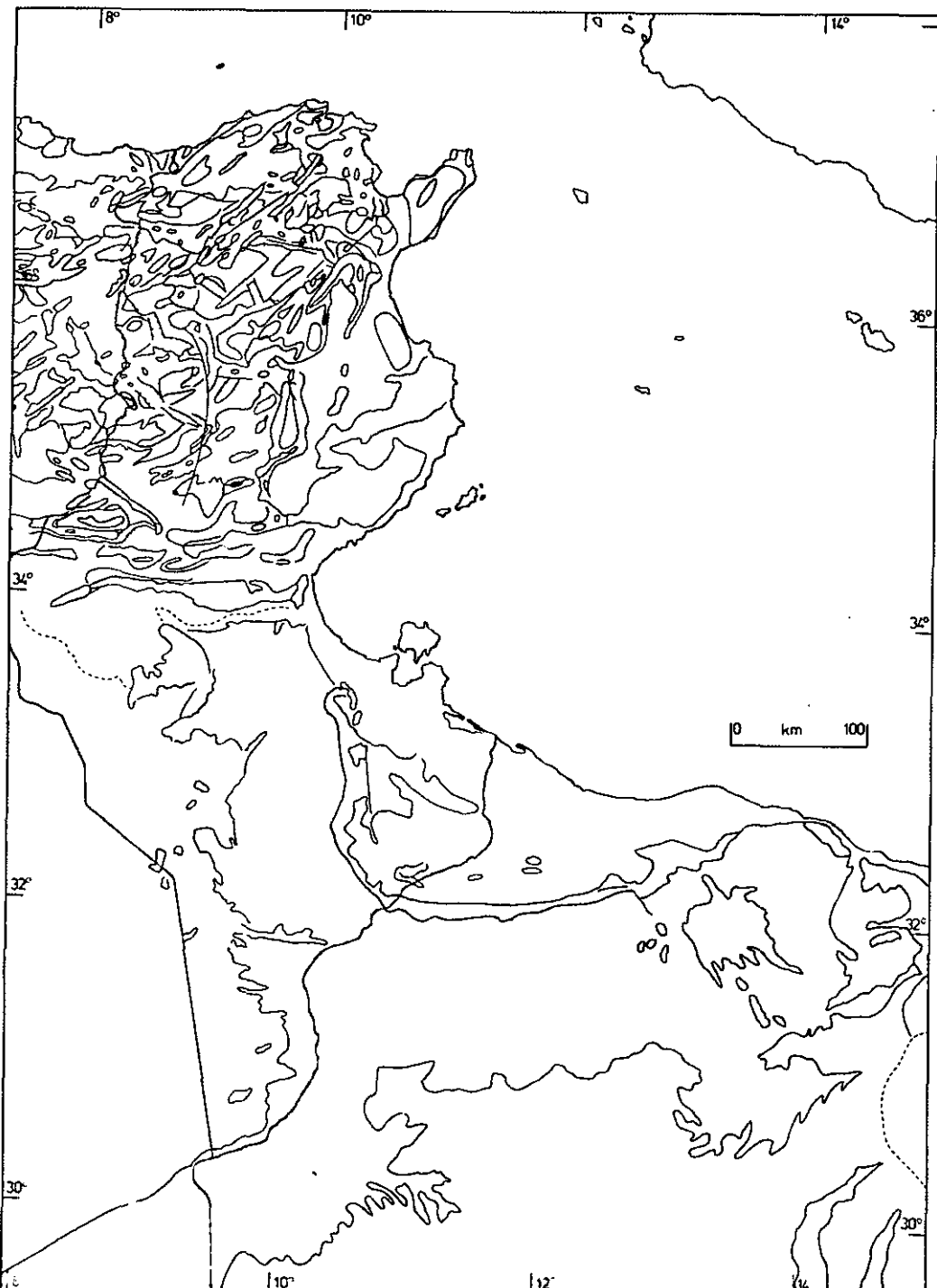
AUGILA

Figure 15



Relief Features of Tunisia and North West Libya

GENERAL GEOLOGIC MAP OF
TUNISIA AND NORTH WEST LIBYA

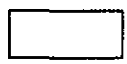
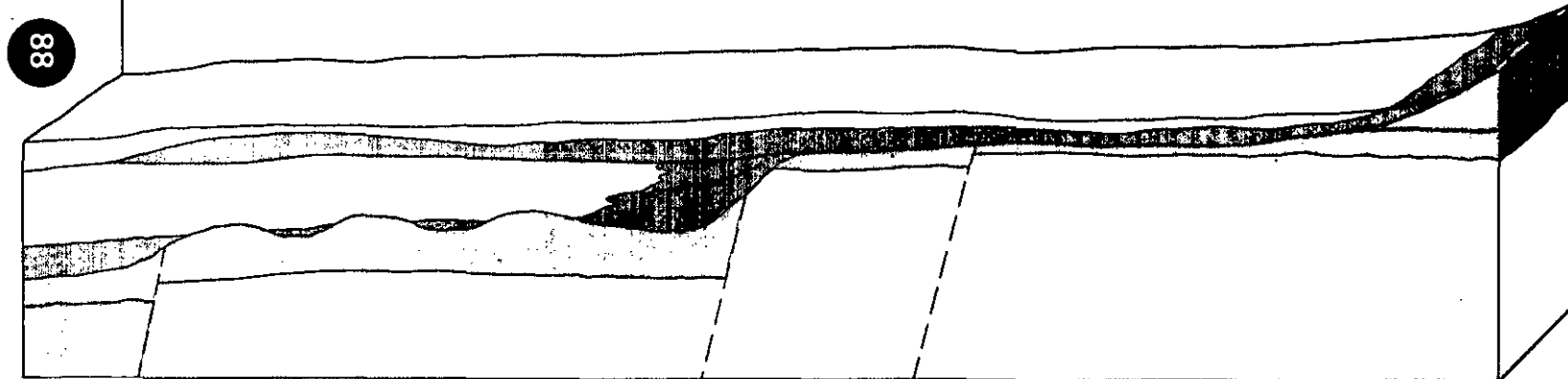


- a b c d e f g h
- a. Quaternary
b. Miocene-Pliocene
c. Oligocene
d. Eocene-Paleocene
e. Cretaceous
f. Jurassic
g. Triassic
h. Volcanics

NORTH

Present coastline

SOUTH



a Quaternary



b Tertiary: clastic deposits.



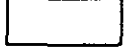
c Tertiary: marine deposits.



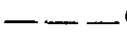
d Lower Jurassic (Bir Al-Ghanem Gypsum)



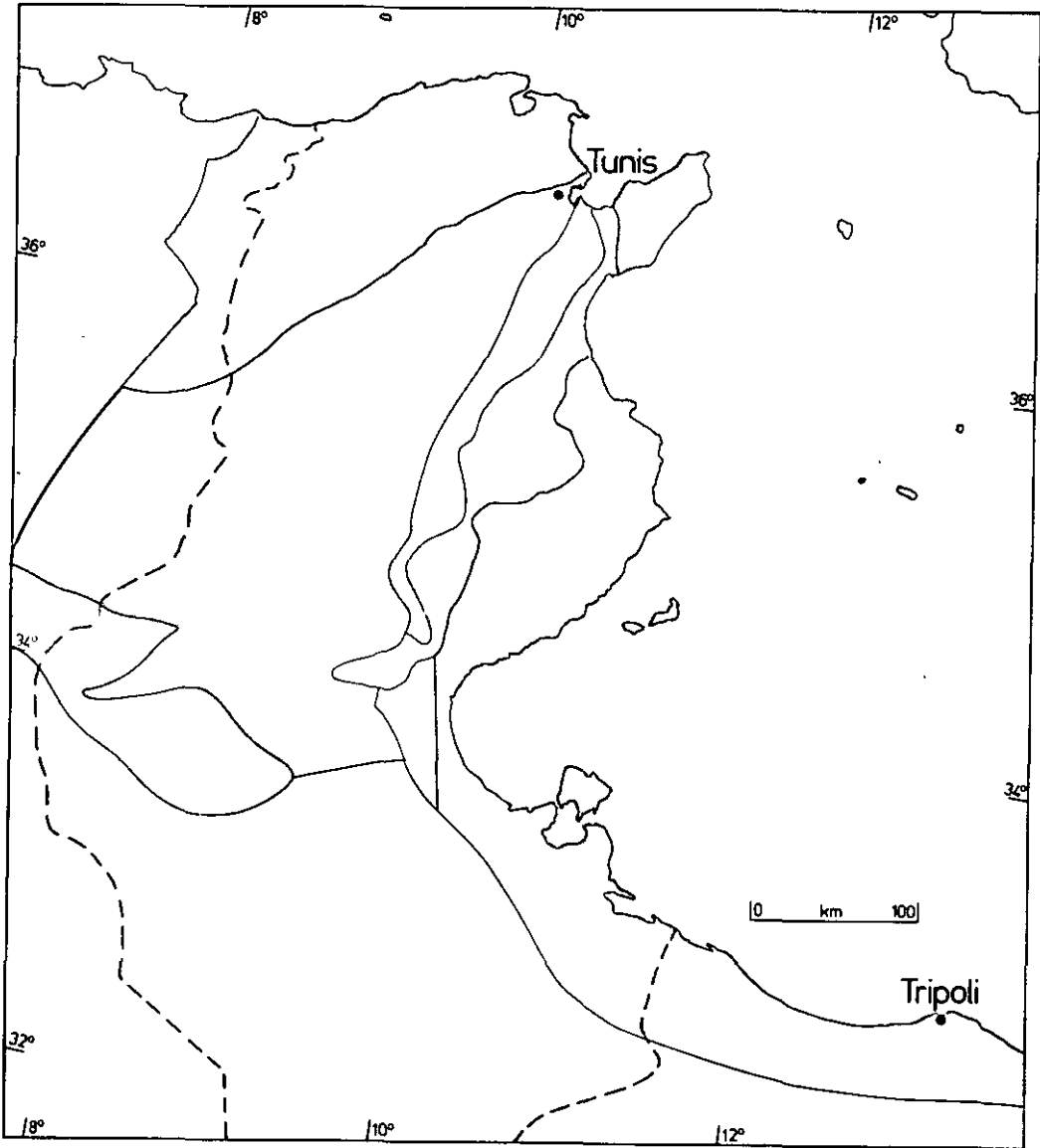
e Lower Jurassic and Triassic (Abu Ghaylan Limestone and Abu Sceba Formation)



f Triassic (Aziziyah Formation)



g Fault

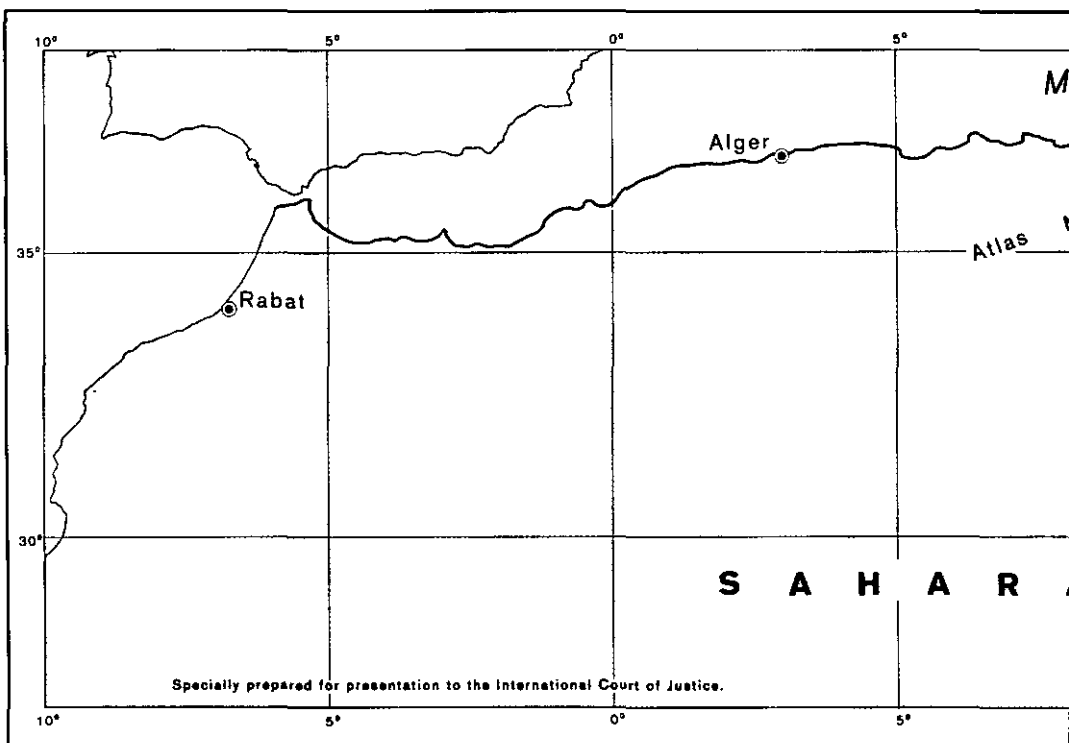


a b c d e f

Structural map of Tunisia

- a. Northern Alpine zone
- b. Peri-Atlas depressions
- c. Eastern platform
- d. Central and Southern Atlas
- e. Saharan platform
- f. N-S axis

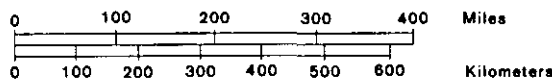
SOURCE: After Fig. 6 in Burolet, P.F. & Byramjee, R.S.; Reflexions sur la tectonique globale. Examples africains et mediterraneens. *Notes Mem. Comp. Fr. Petroles* 11, 1974, 71-120.



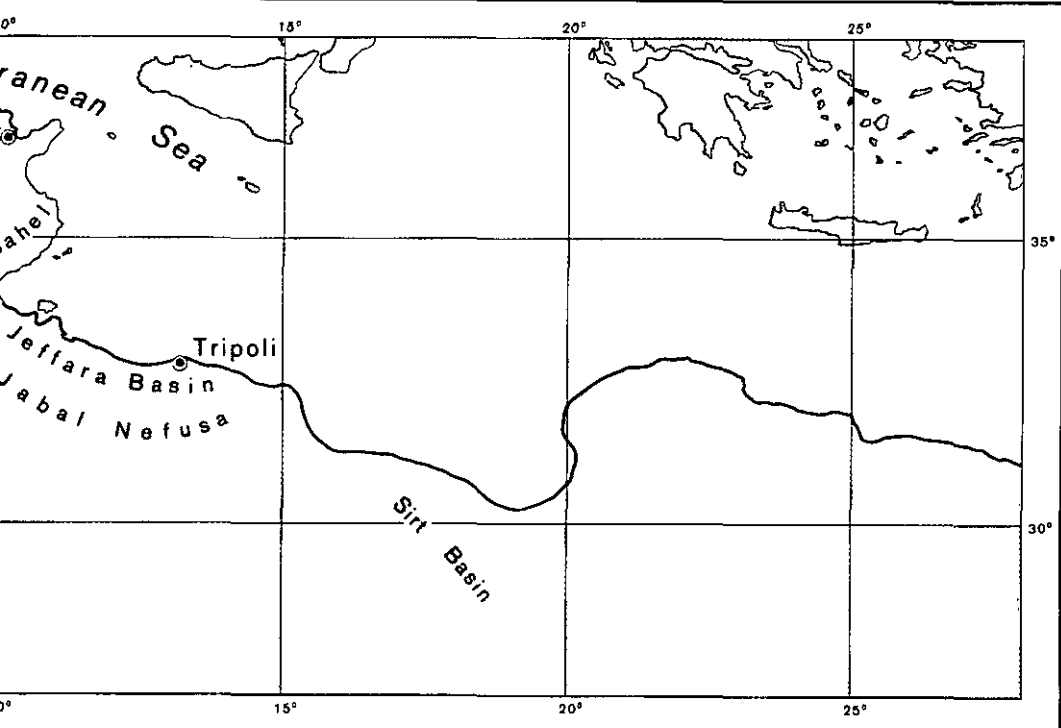
NORTH AFRICA

Equirectangular Projection

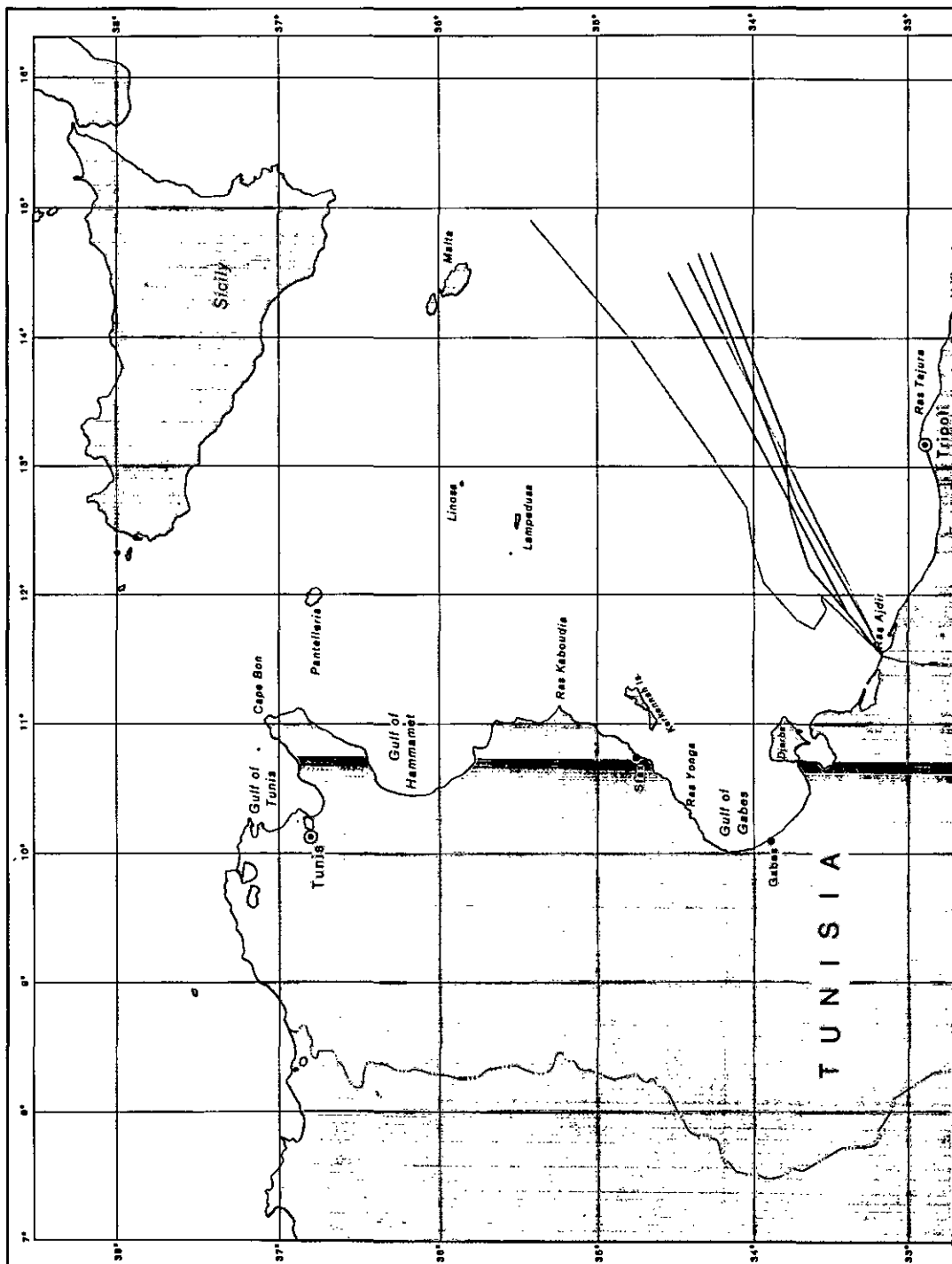
Scale accurate at 35°N.



Showing the North African coastline extending from east to west with the anomaly of the coast of eastern Tunisia and the Gulf of Sirt.



Map No. 17



L I B Y A

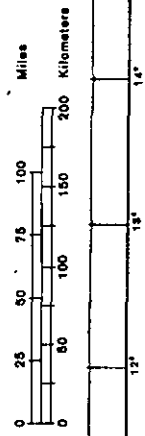
TUNISIAN MARITIME BOUNDARY CLAIMS

According to May 1976 Memorandum
According to Tunisian Memorial

- Ligne des Crêtes
- Lignes Physiographique
- Première méthode géométrique
- Seconde méthode géométrique

Mercator Projection

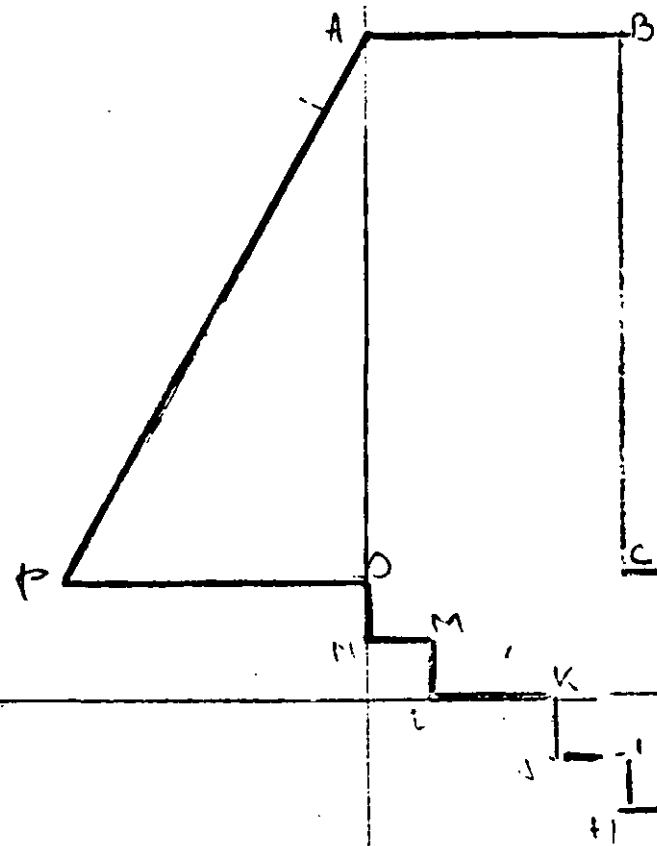
Scale accurate at 34°N.



Specially prepared for presentation to the International Court of Justice.

Map No. 18

CONCESSI



137

130

340

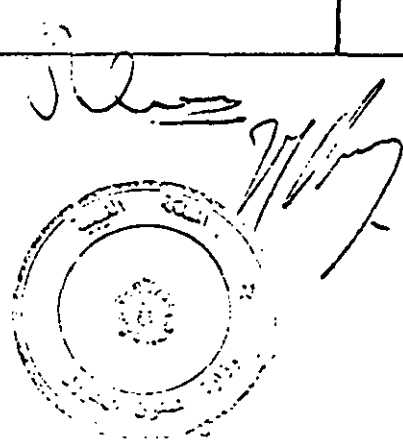
D

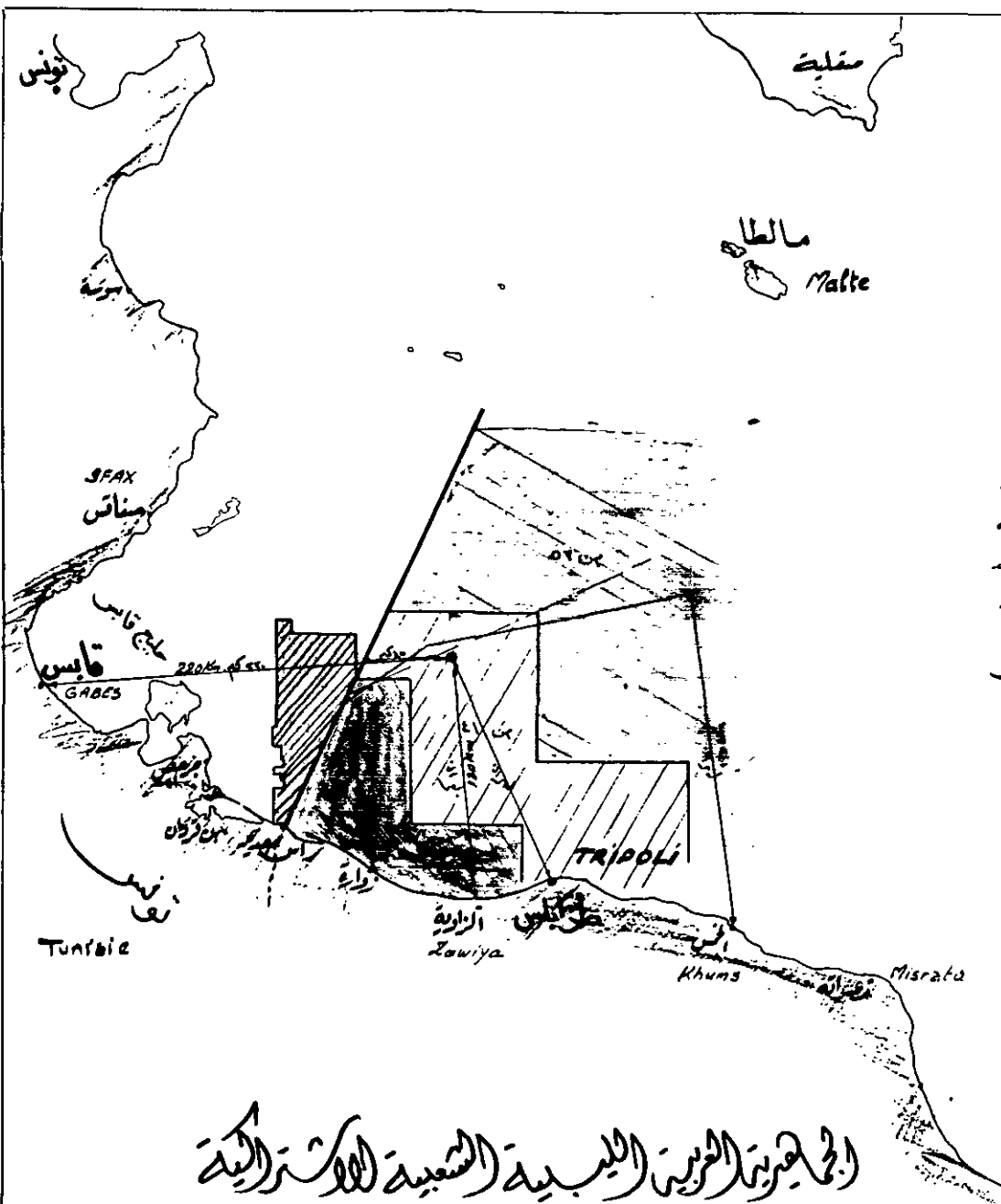
330

E

ANNEXE N° 4

APPROXIMATED
BOUNDARIES
INDICATED
IN RED





البلدان التي تحيط بالليبيا (السعيديه للكثر اليها)

Jamahiriya Arabe Libyenne Populaire Socialiste

عقد امتياز منحه الجماهيرية سنة ١٩٧٨ لتنس الشركة أكستان

عقد امتياز رقم ٢١ منحه الجماهيرية سنة ١٩٧٤.

عقد امتياز رقم ٣٥ منحه الجماهيرية سنة ١٩٧٩.

عقد امتياز رقم ٣٧ منحه الجماهيرية سنة ١٩٧٩.

قط صدود عقود الامتيازات النفطية.

la Plateforme de Forrage Arabe Libyenne

المنطقة العربية الليبية على مسافة ٢٠٠ كم تقريباً شرق مدينة قابس (العاصمة) و على مسافة ٢٠ كم شمال الزاوية و ٤٠ كم شرق قط صدود الامتيازات العربية الليبية (جربة) و ٦٧ كم جنوب غرب مدينة بنغازي، و ١٨٥ كم (٣٠٠ كيلومتر) جنوب غرب بنغازي، و ٤٥ كم إلى الغرب من الحدود الليبية.

Concessions Petrolières

موقع المفارة الليبية :

البحر المتوسط

بنغازي

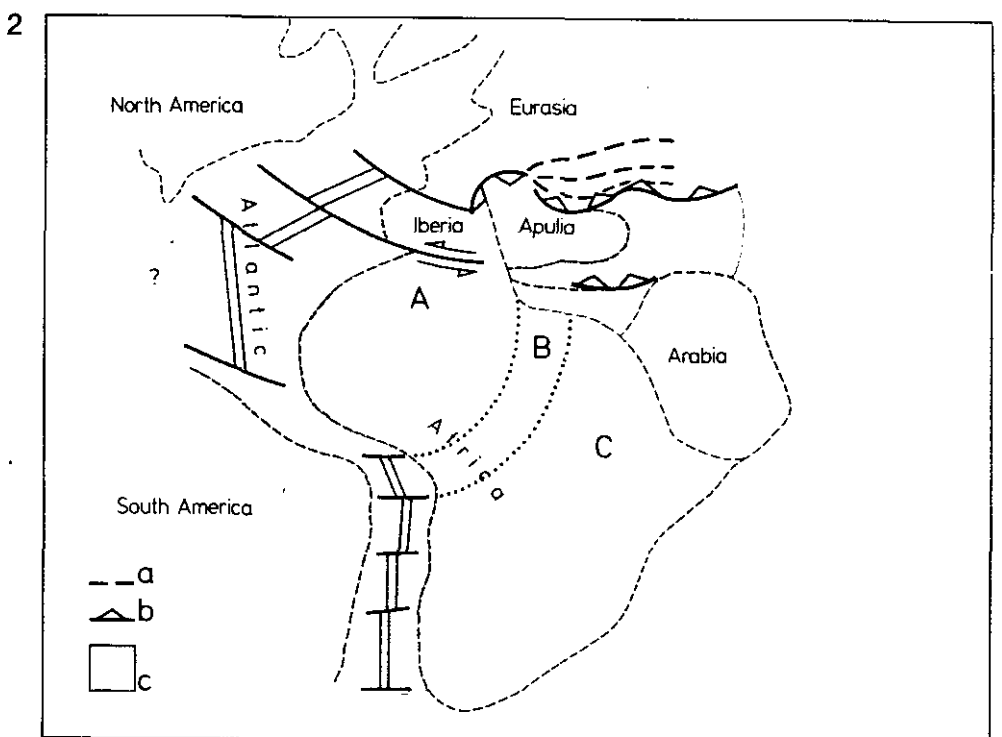
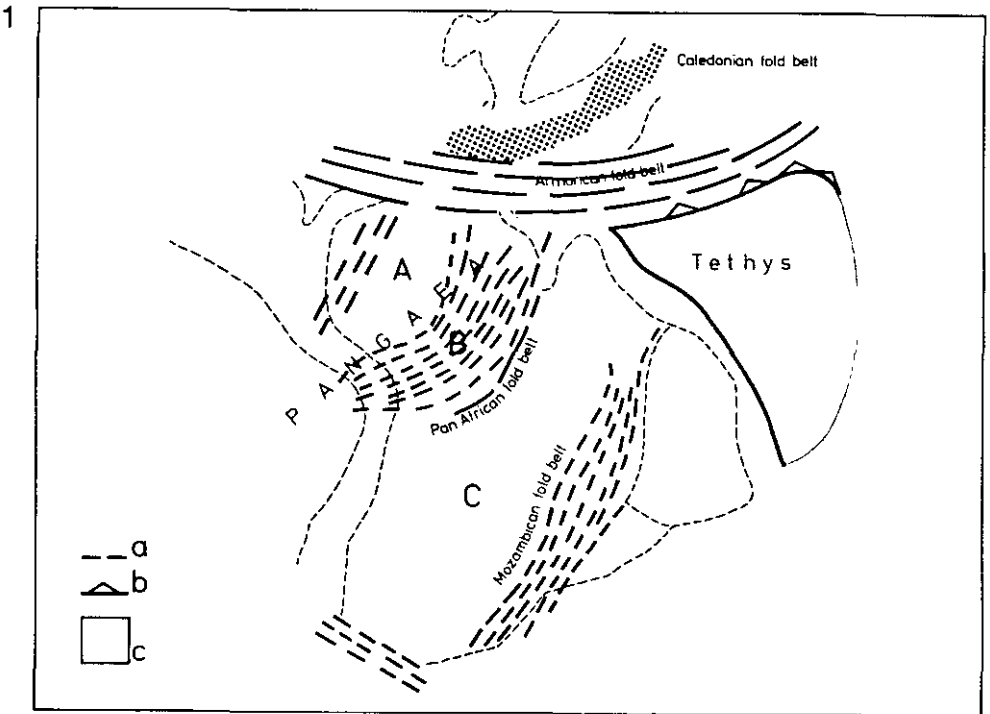
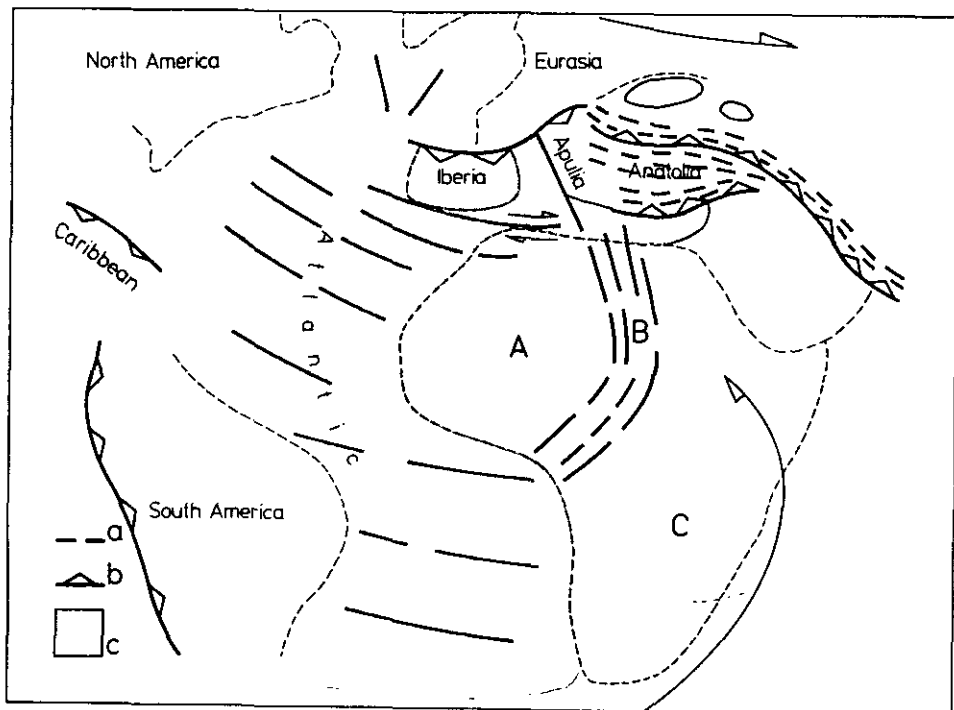


Figure 14. Tectonic Development of the Tertiary Times.

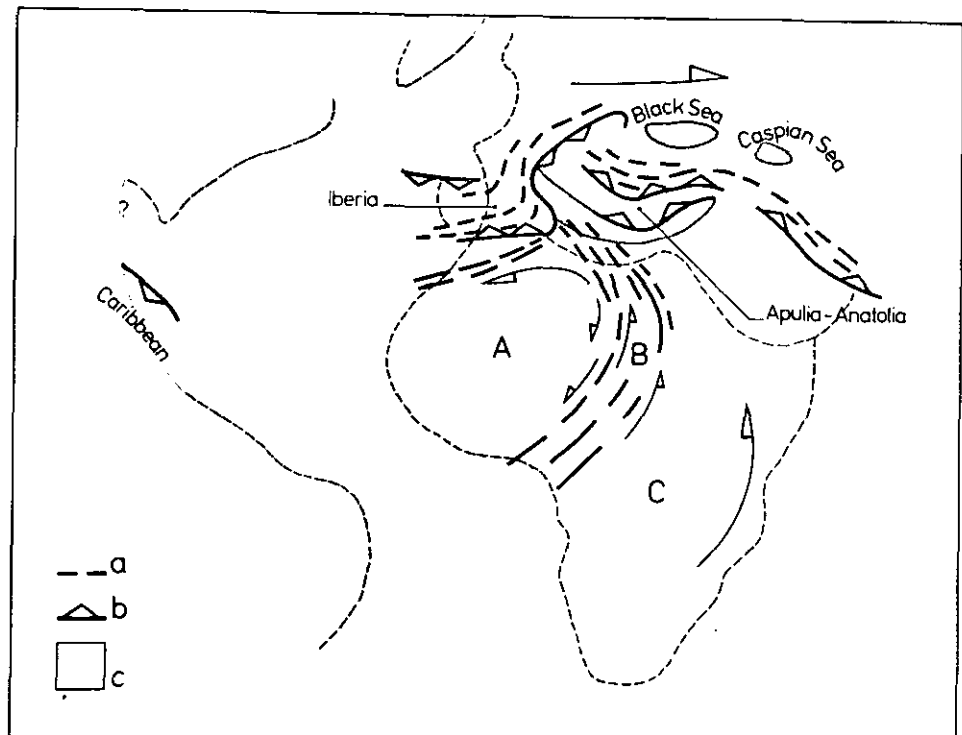
1. Major structural features of the African and European plates.
2. Major zonation of the African plate in late Cretaceous.
3. Development of Sirt Basin dip-slip fault system.
4. Development of lateral shear movement on the African plate relative to Europe.

SOURCE: Modified from Bijou Duval, J. et al. (1975)

3



4



and European Plates from Late Mesozoic to Late

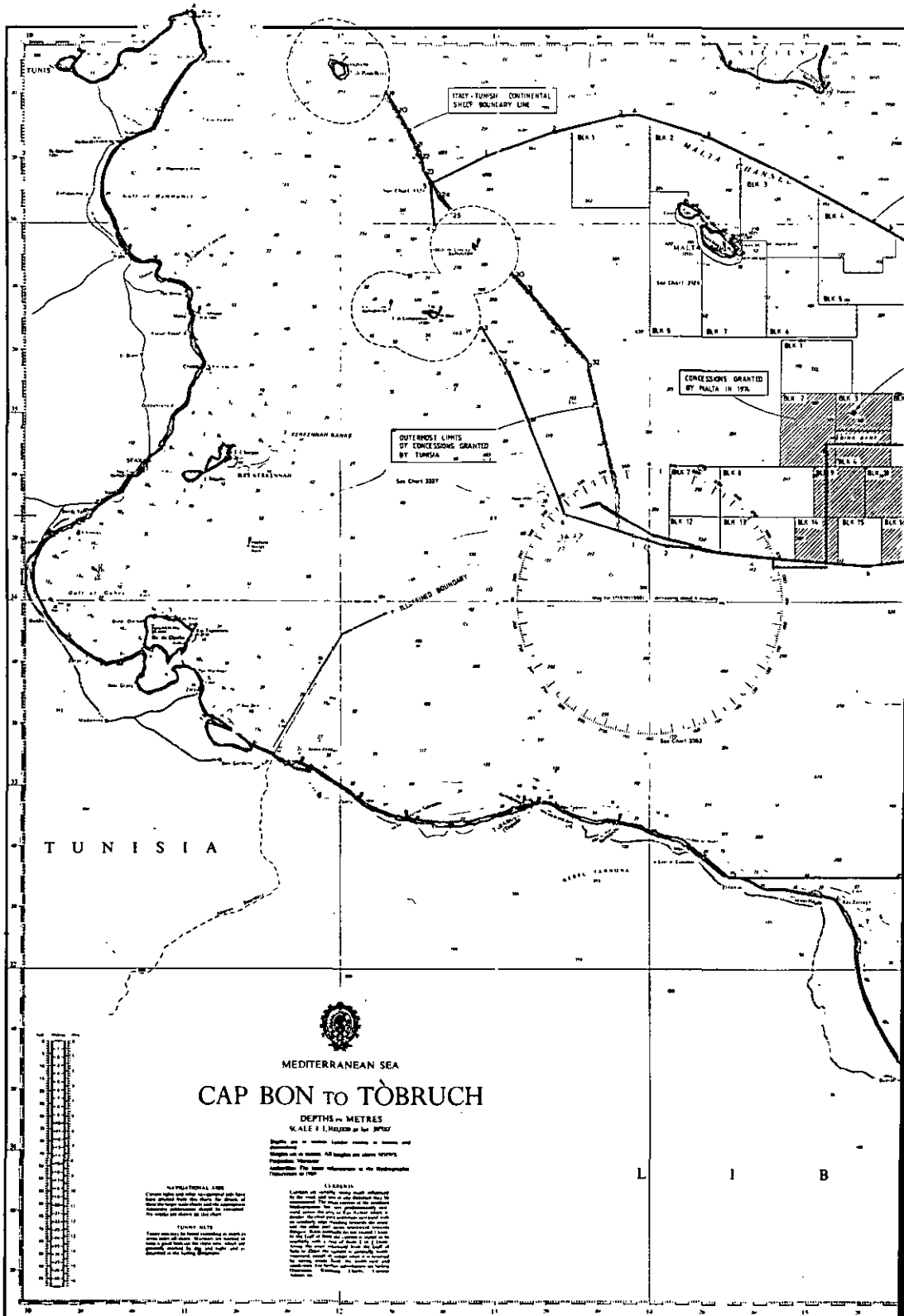
ates in the Pre-Triassic times.

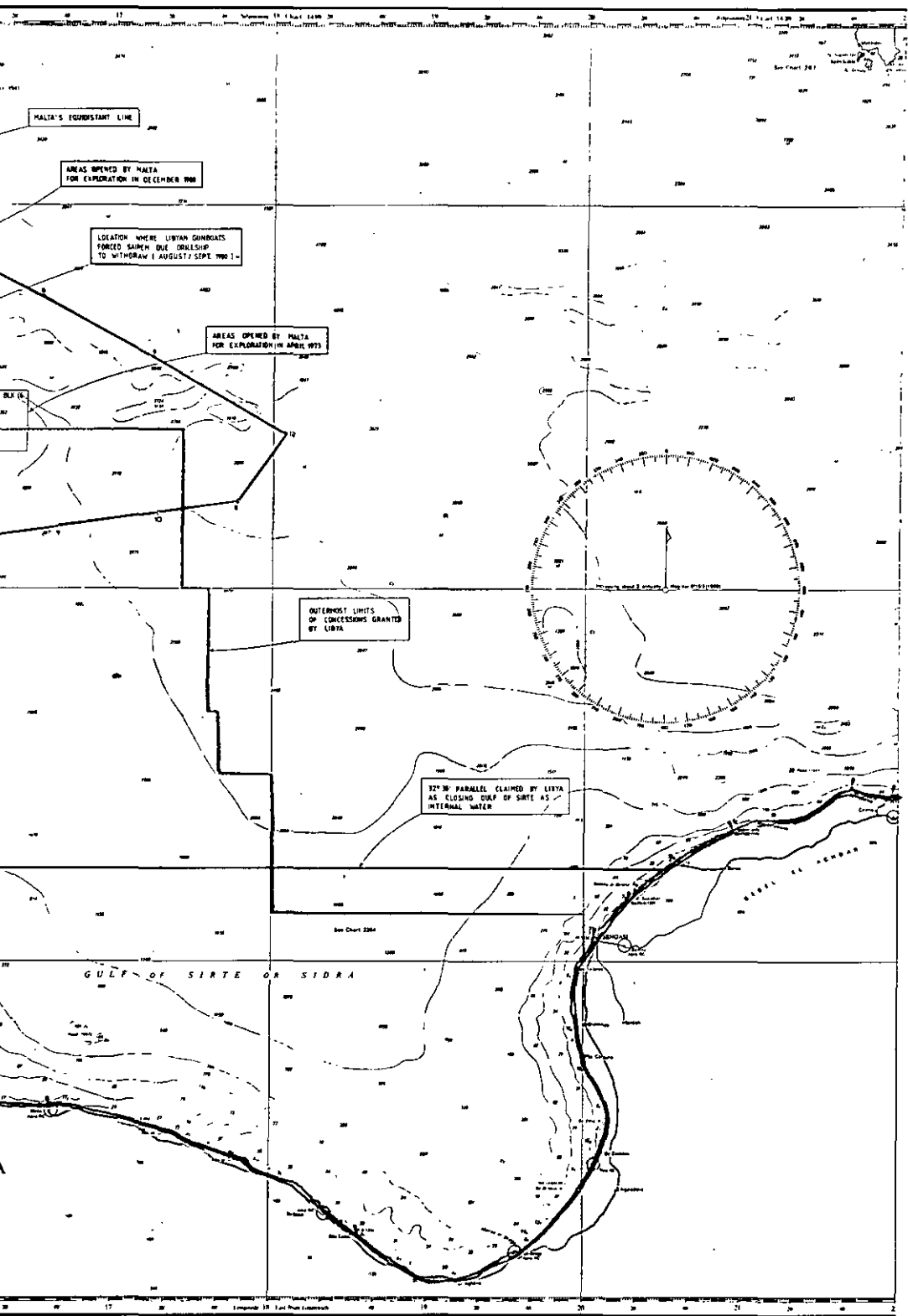
es.

ast African zone.

Cretaceous times.

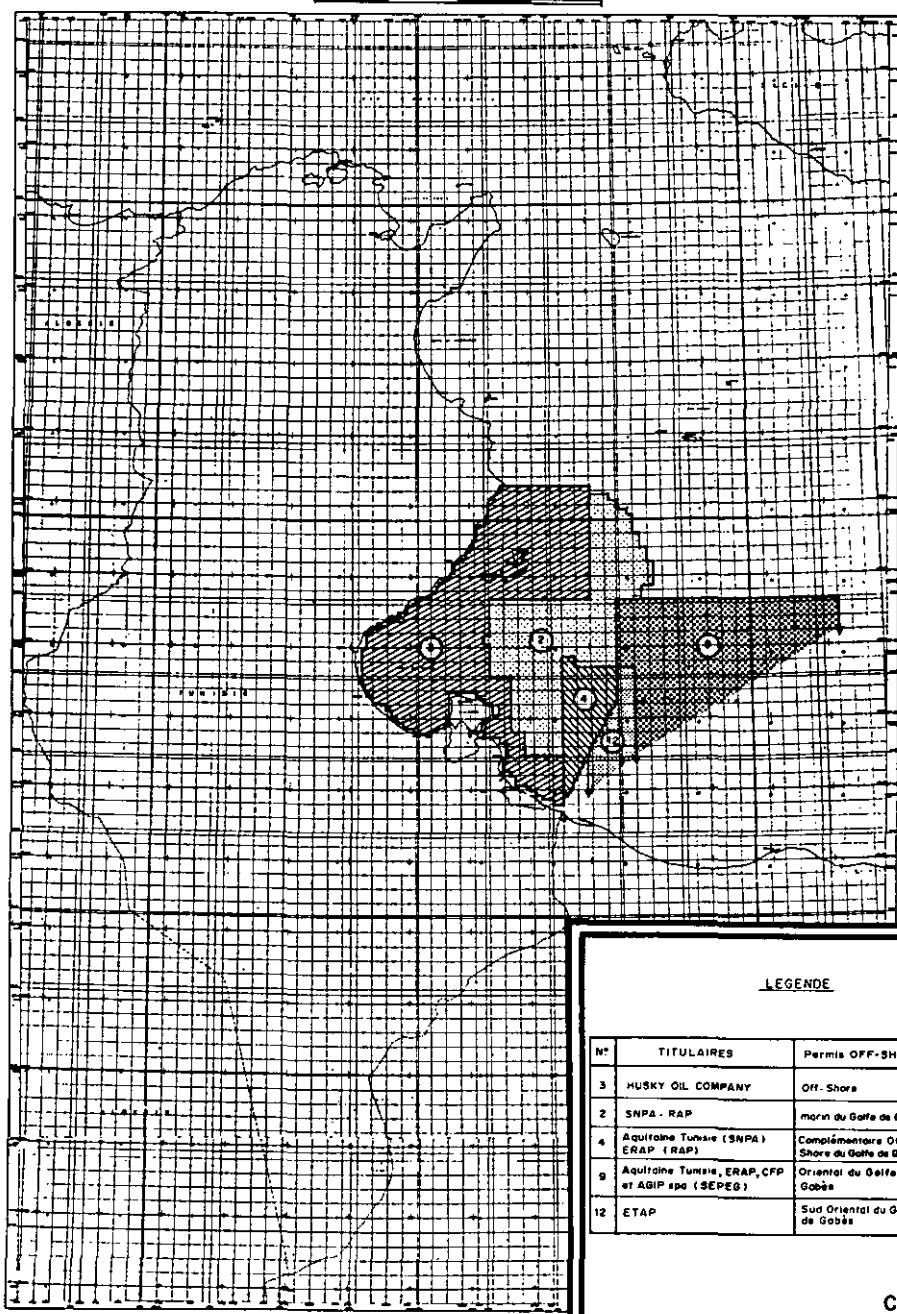
In late Eocene times due to dextral rotation of the African subduction zones. c. Ocean basins.





TUNISIE
PLAN DE SITUATION DES PERMIS DANS LE GOLFE DE GABES

0 100 200 Km

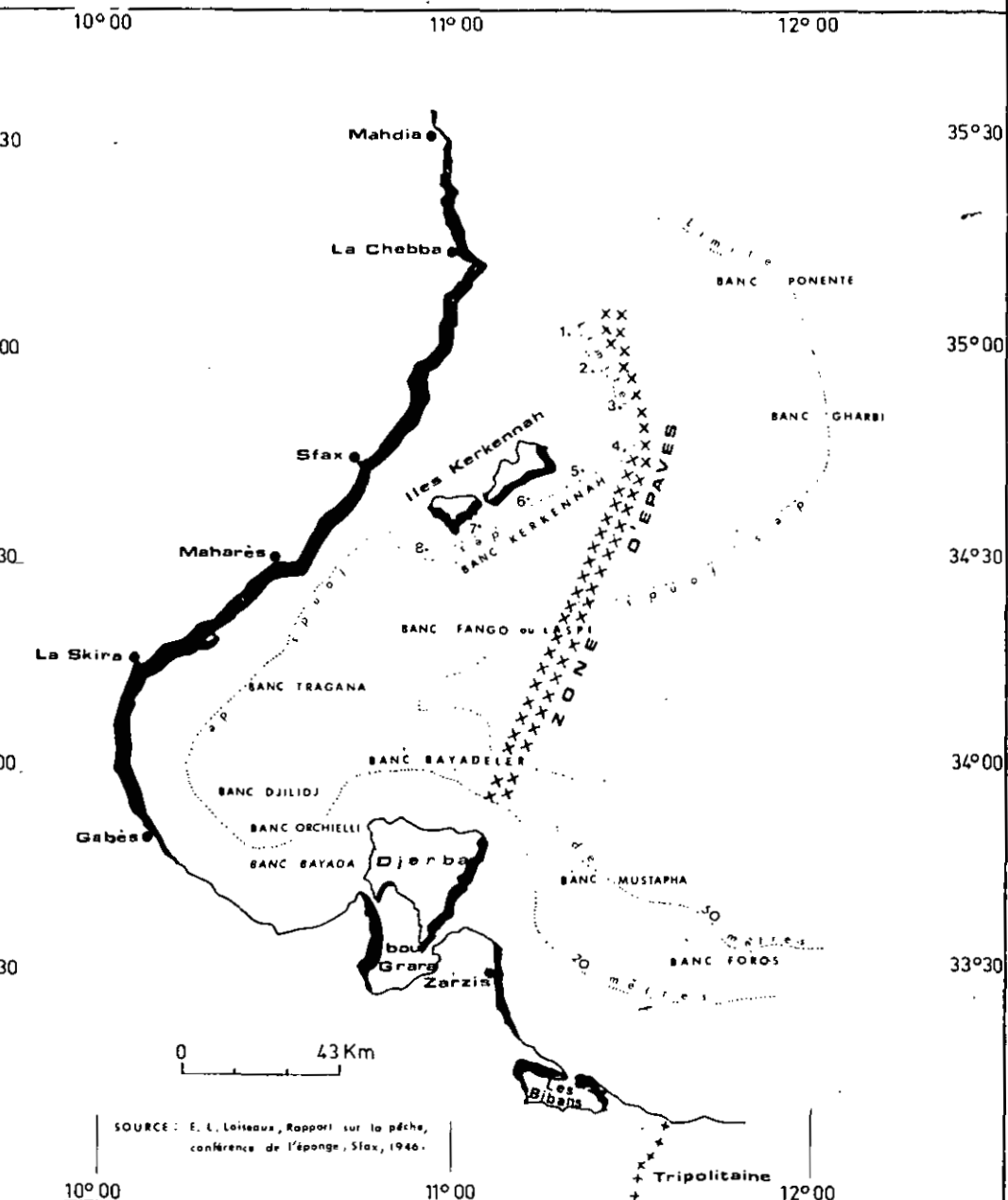


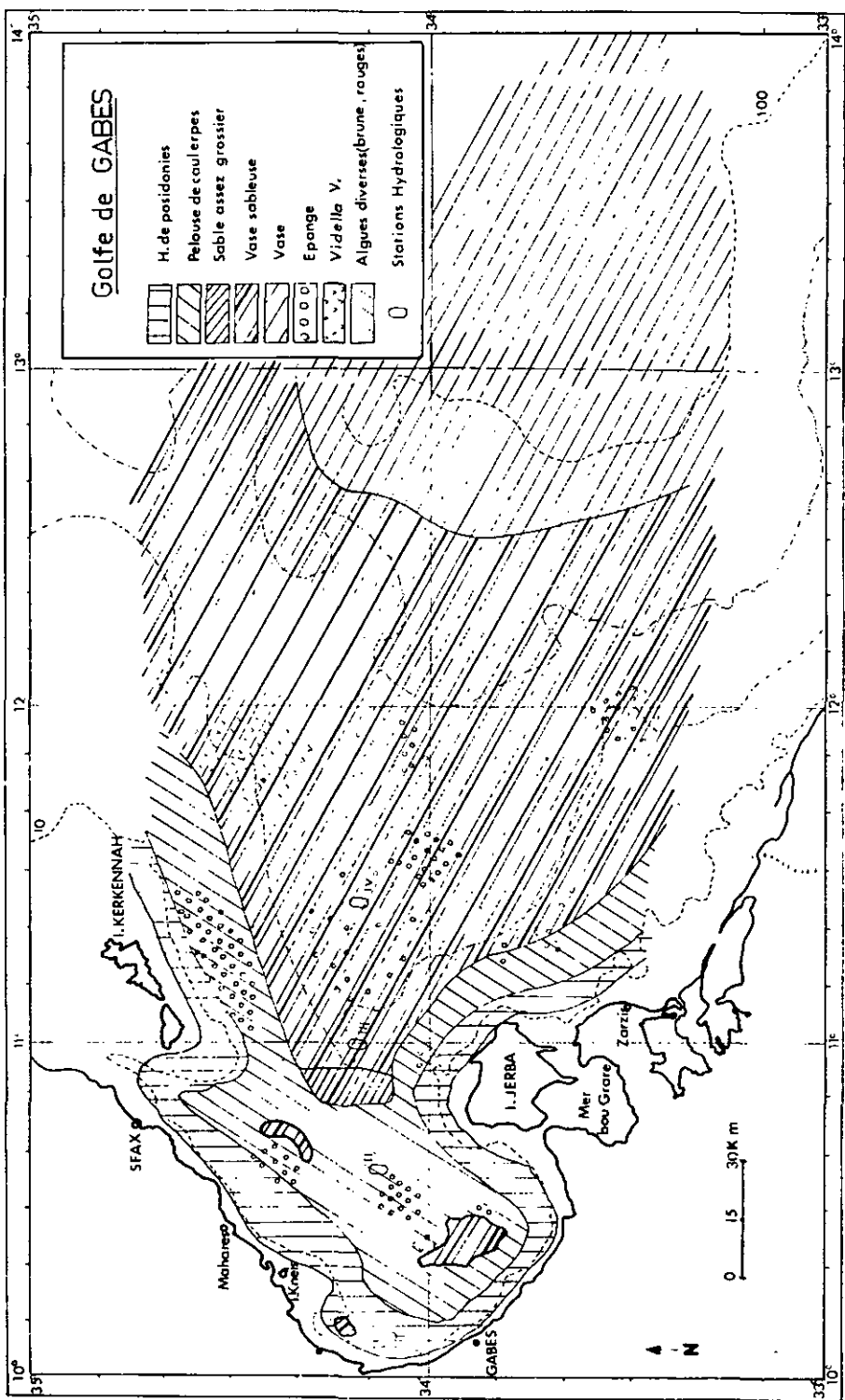
Carte 1.0

FIG. 1.02

CARTE DES BANCS D'EPONGES DE LA REGION SUD

R.T. Vol. I





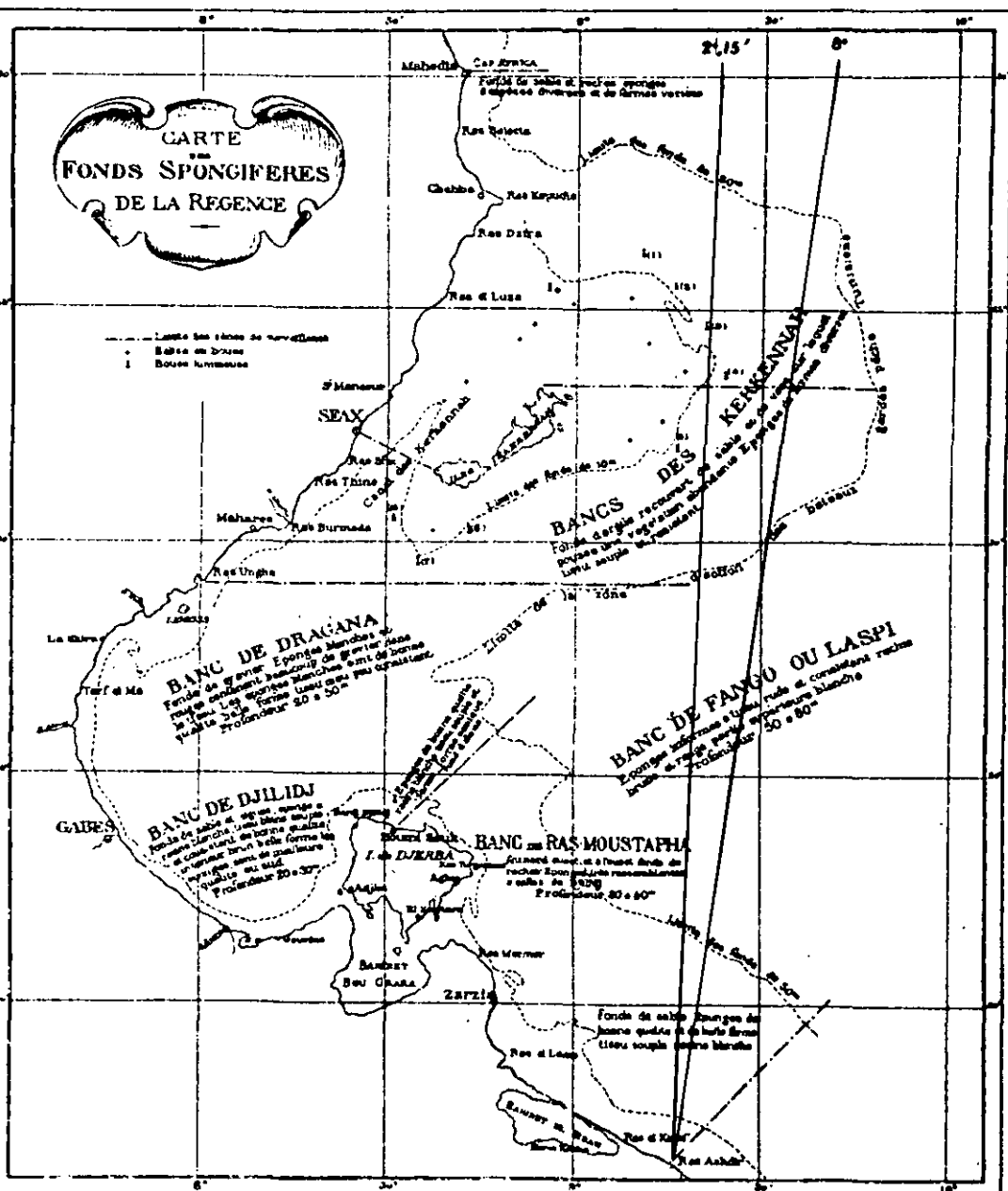
SOURCE : Kéati Chakroun et Arrouz les fonds chalutables de la région sud-est de la Tunisie (Golfe de Gabès). Bulletin de l'INSTOP. Salammbô. 1971 Vol. 2. n°1. p. 12.

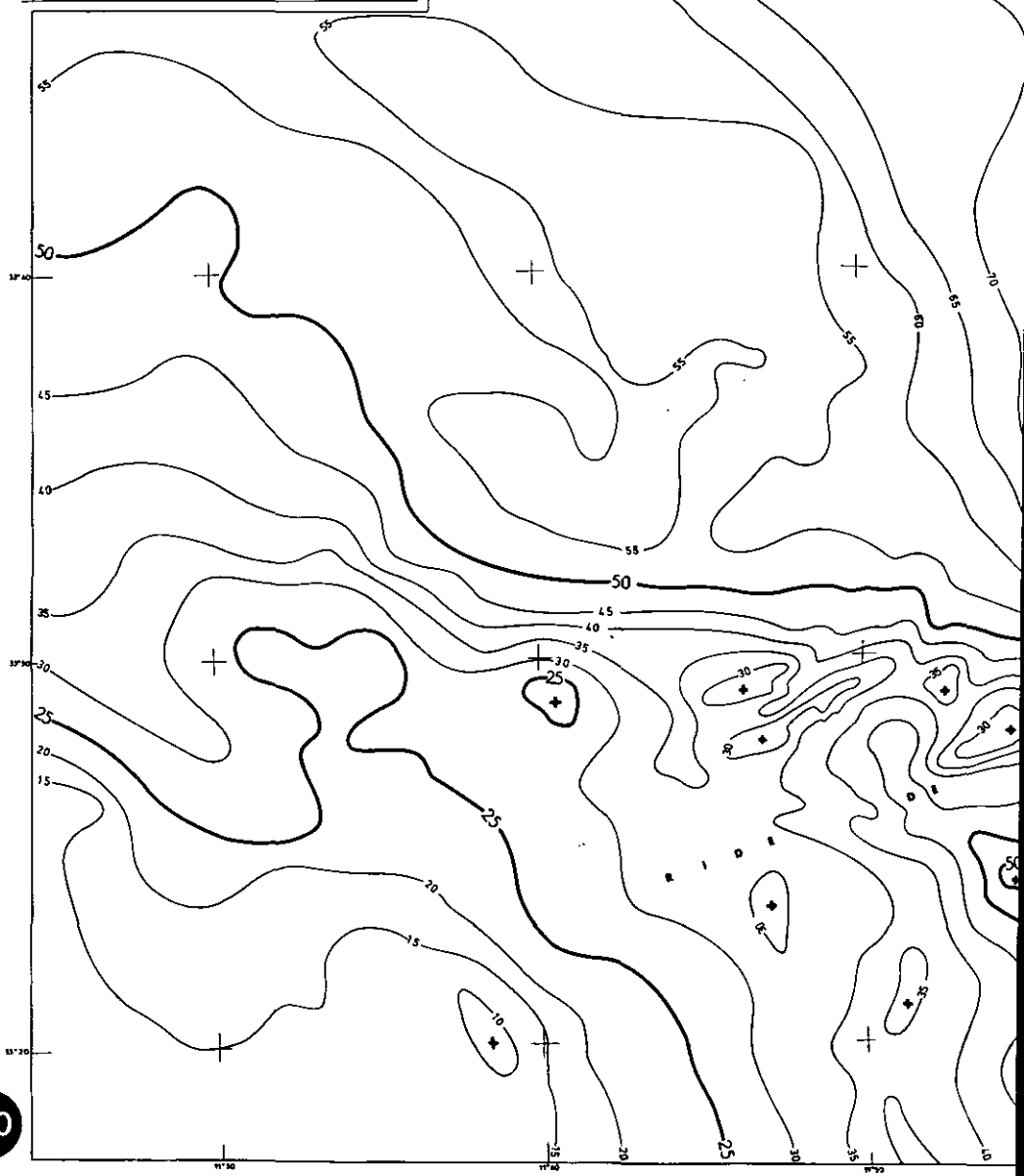
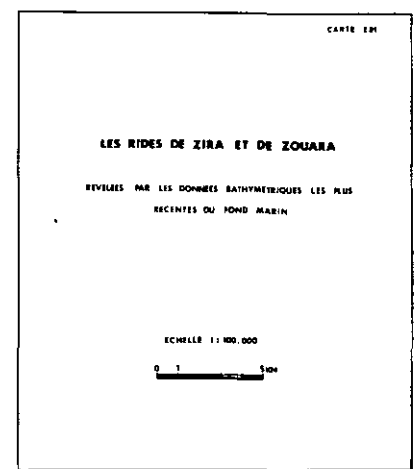
FIG. 1.03

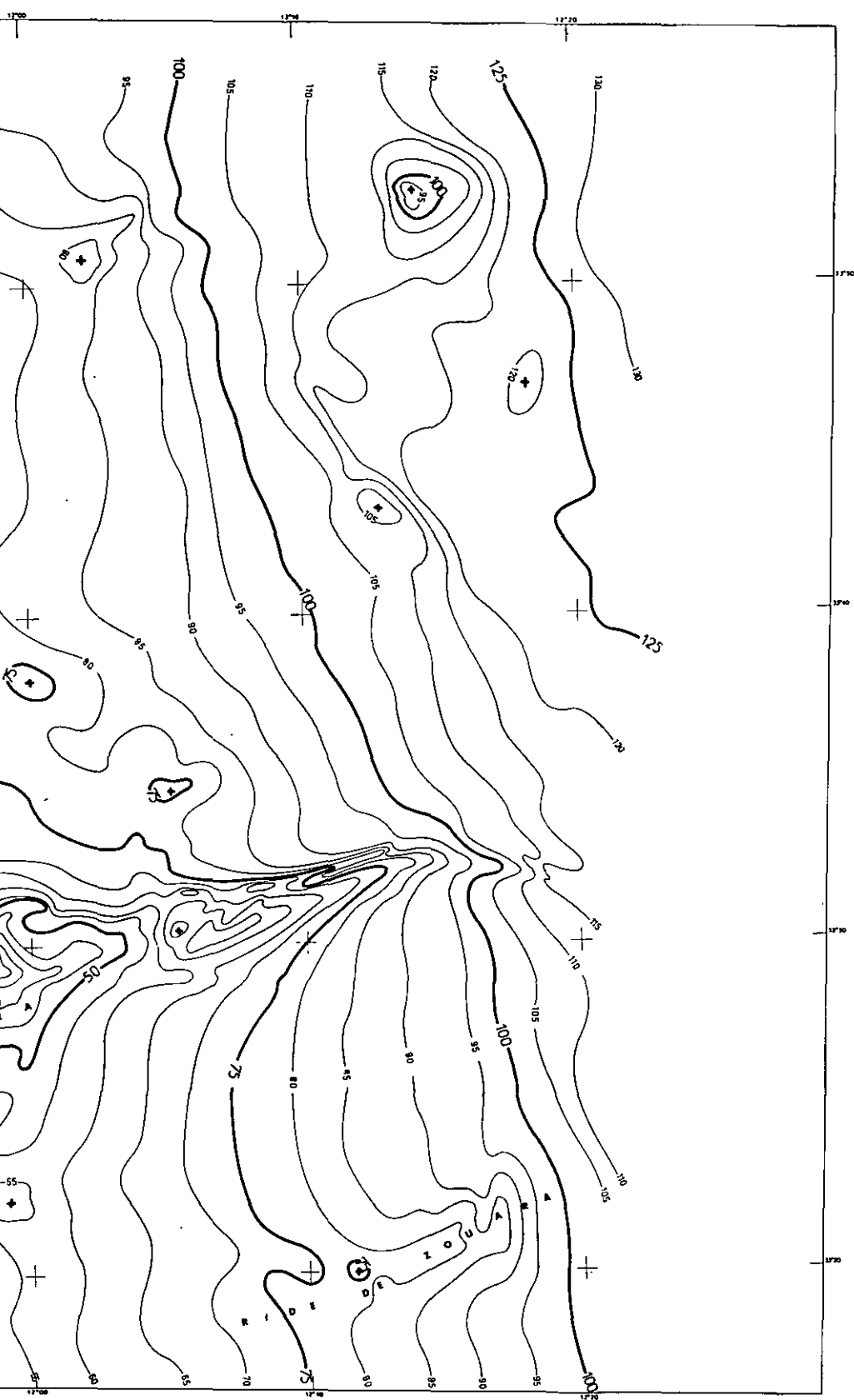
INTERPRETATION LIBYENNE DE LA LIGNE INCLINEE VERS LE N.E. (2° , $15'$ et 8°)

PORTEE SUR LA CARTE PUBLIEE PAR LES TRAVAUX PUBLICS DE TUNISIE

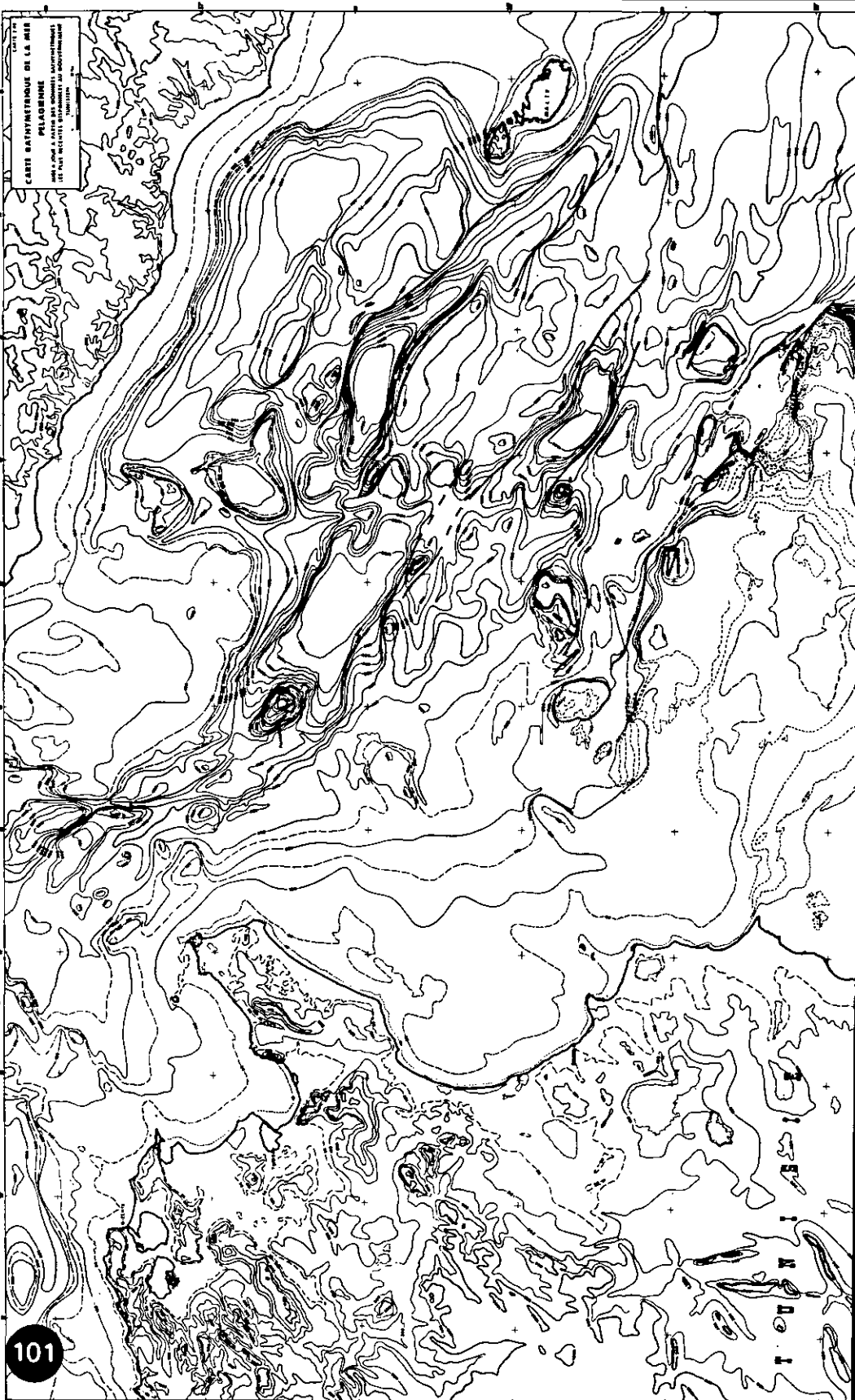
(1904)

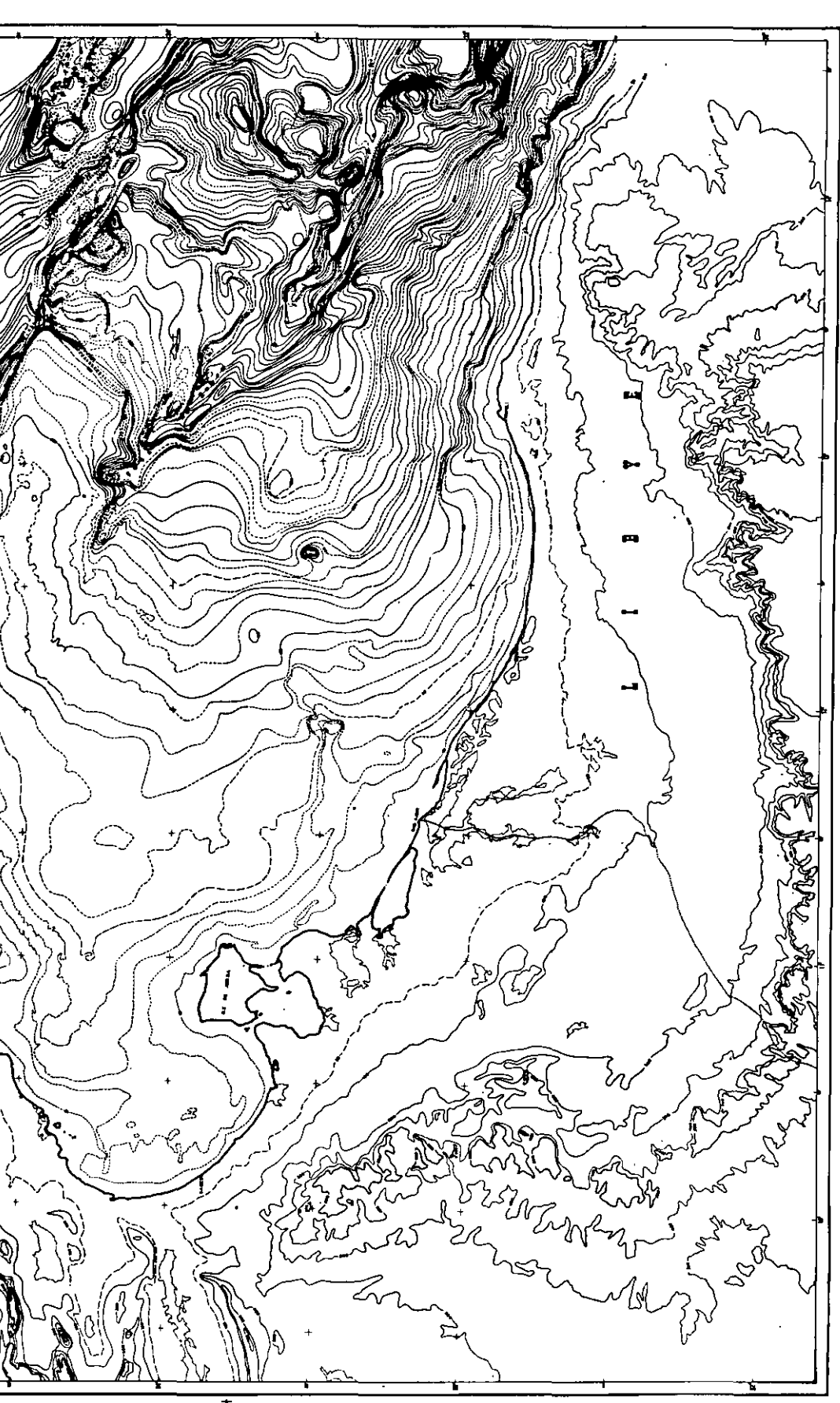


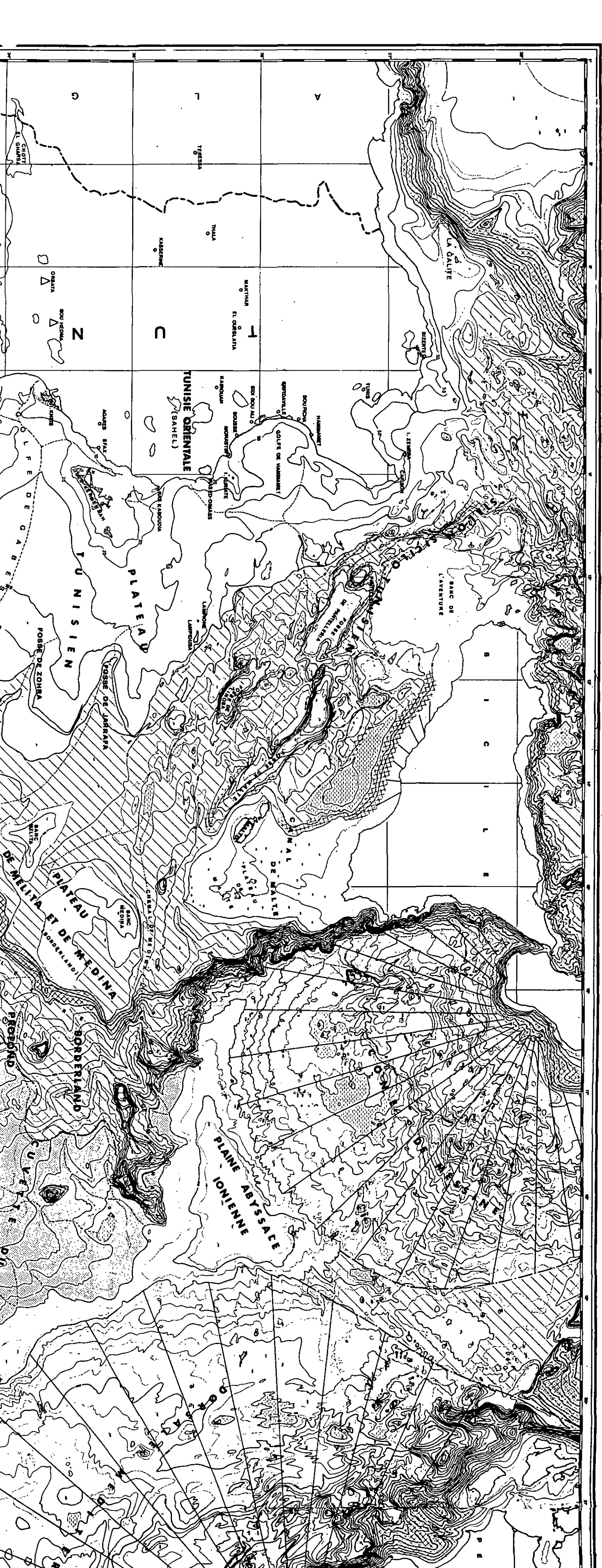


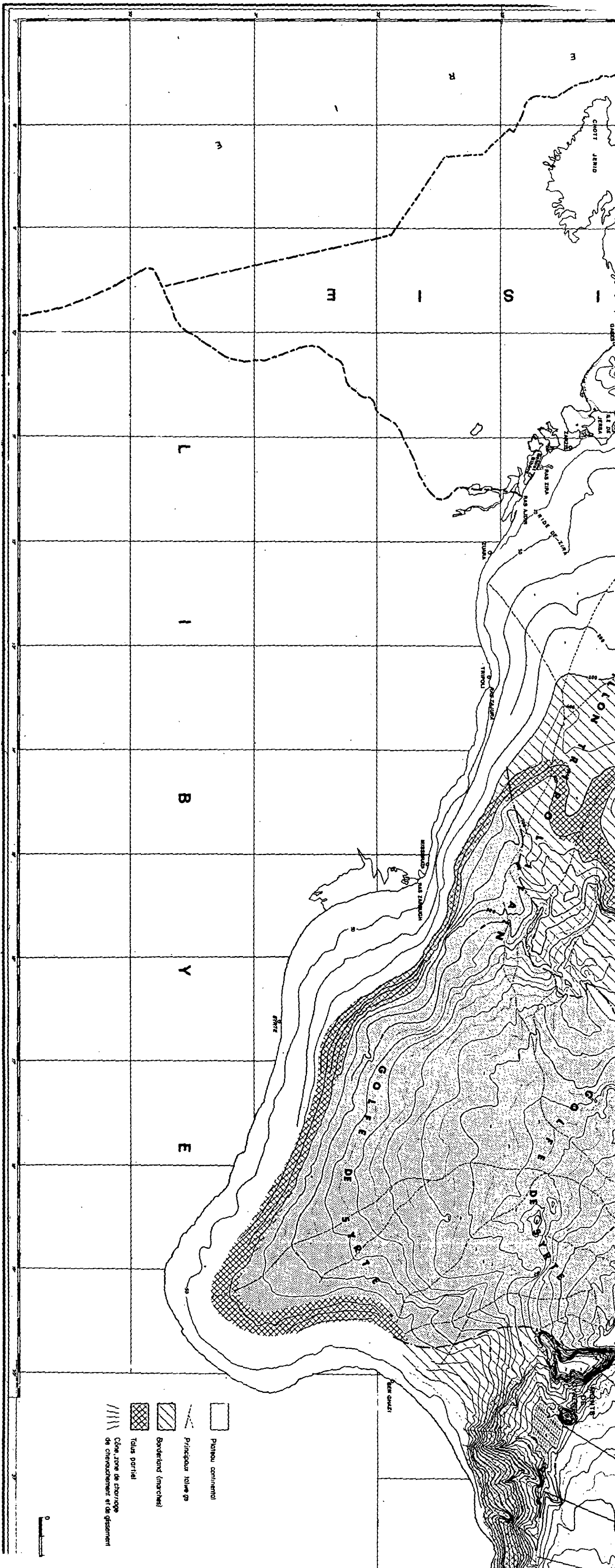


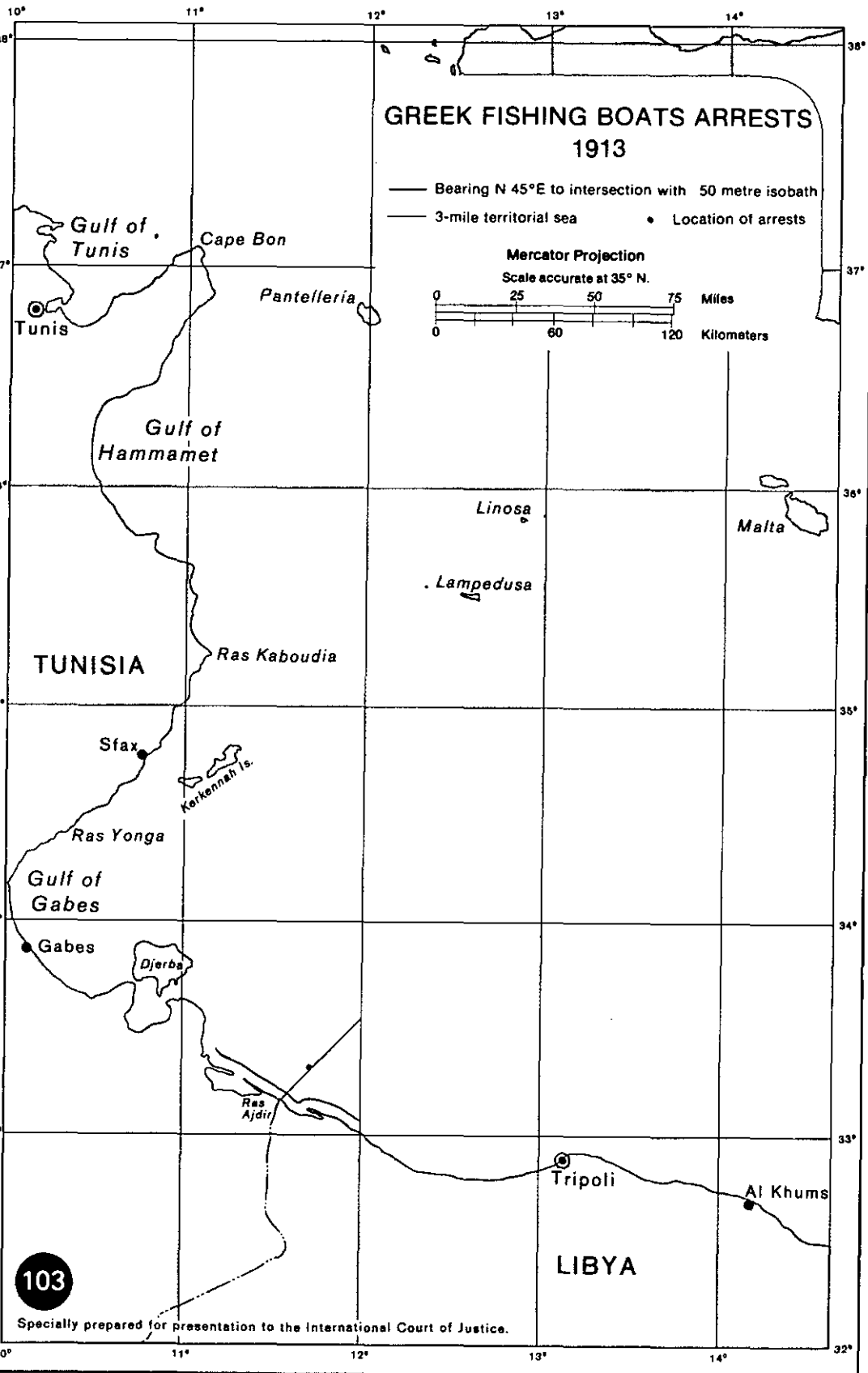
L'ATLAS
CARTES BATHYTOPOGRAPHIQUE DE LA MER
PELAGIQUE
SERIE A FAIRE SUR DEMARCHE AUTOMATIQUE
LE PLAN D'ACCESSION EST EN COURS







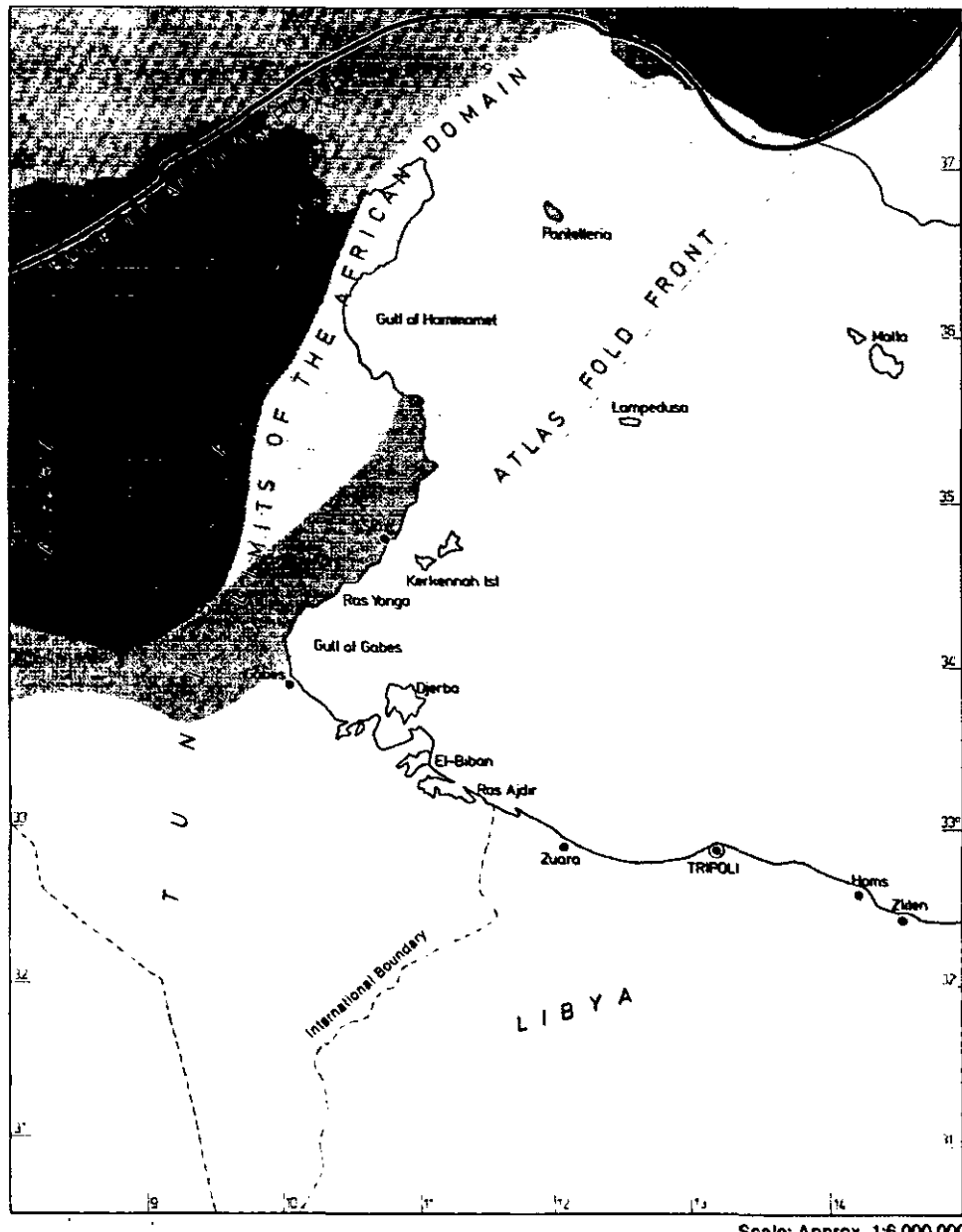




103

Specially prepared for presentation to the International Court of Justice.

Map 1



 A B C D

Zones of Tectonic Trends in NW Libya and Tunisia

ZONE A—AFRICAN DOMAIN
With Mainly NW-SE Tectonic Trend

ZONE B—AFRICAN DOMAIN
With Mainly NW-SE Tectonic Trend and Slight Impression of the NE-SW Tectonic Trend

ZONE C—AFRICAN DOMAIN
With Strong Impression of the NE-SW Tectonic Trend

ZONE D—ALPINE DOMAIN
With Mainly NE-SW Tectonic Trend

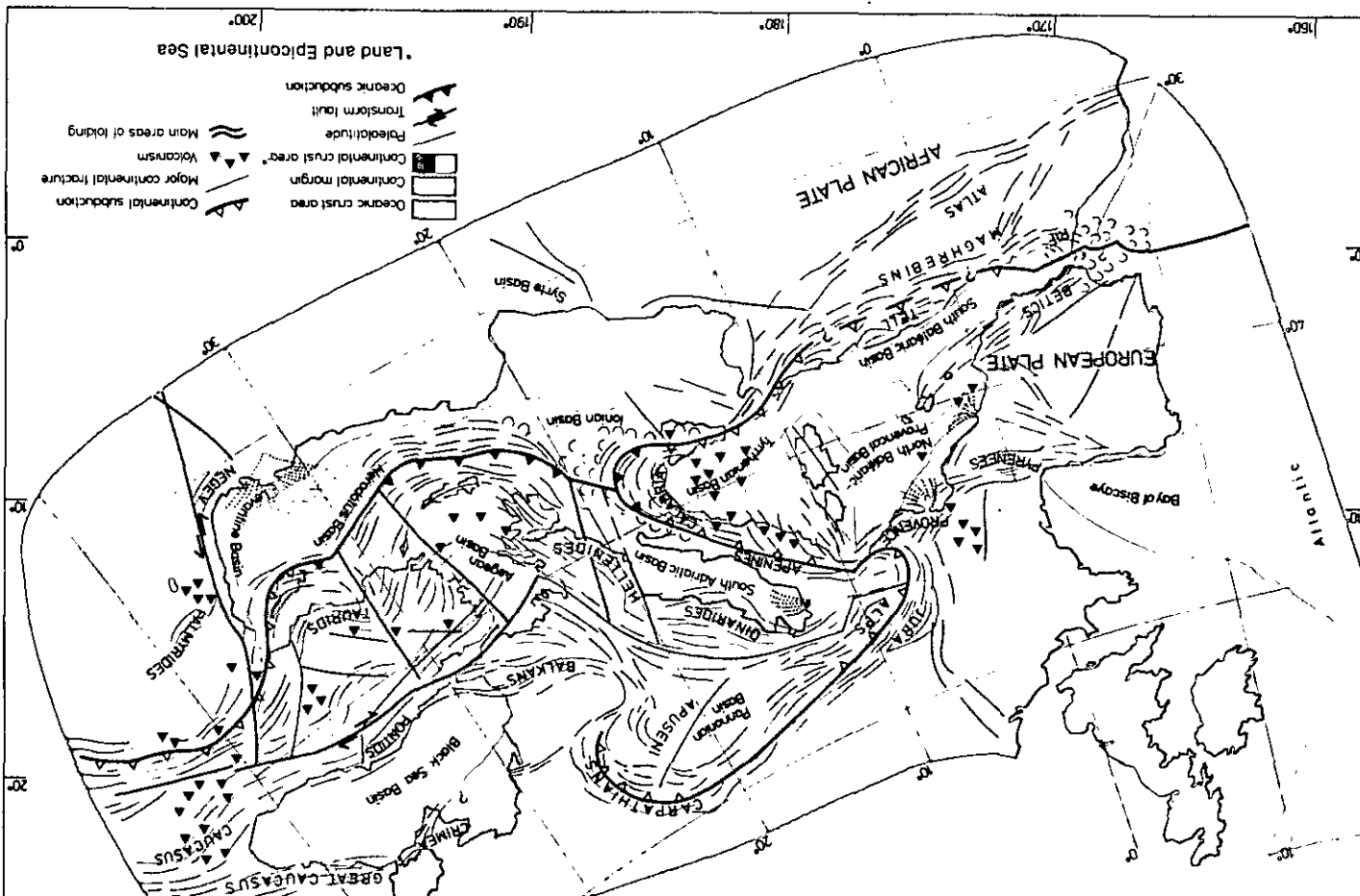
SOURCE: A.A. Missallati and O.S. Hammuda

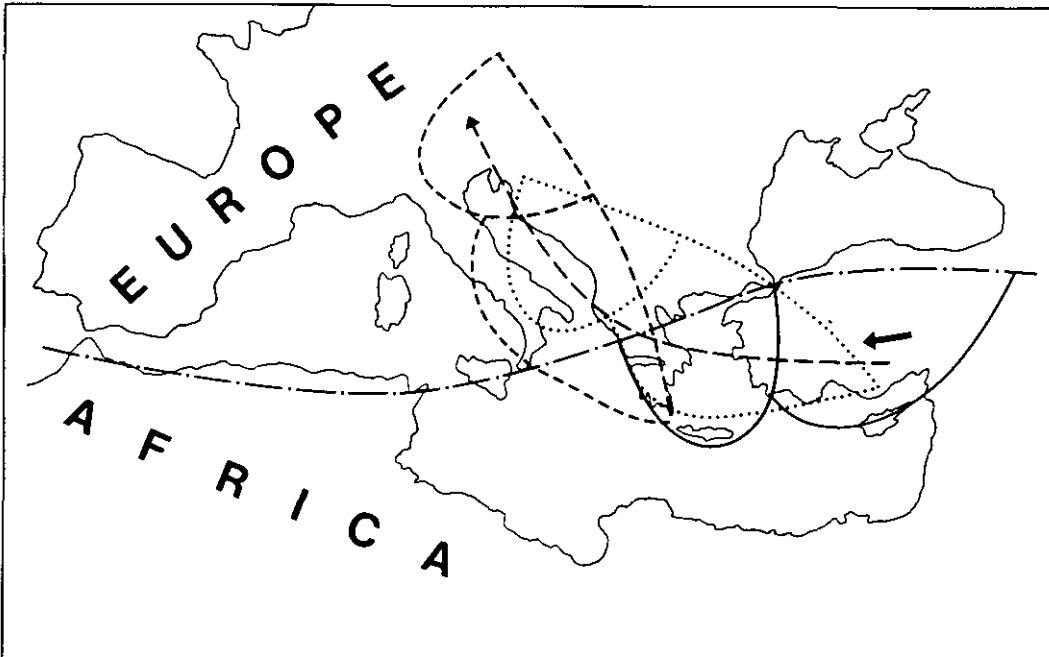
Figure 2

SOURCE: J. Biu Duvall et al., (1977) From the Tethys Ocean to the Mediterranean Seas: A plate tectonic model of the western Alpine system. Symposium on the Geological History of the Mediterranean Basins; Technical, pp. 143-144 (this illustration was Plate 1 in source).

Figure 3

Structural map of the Mediterranean area

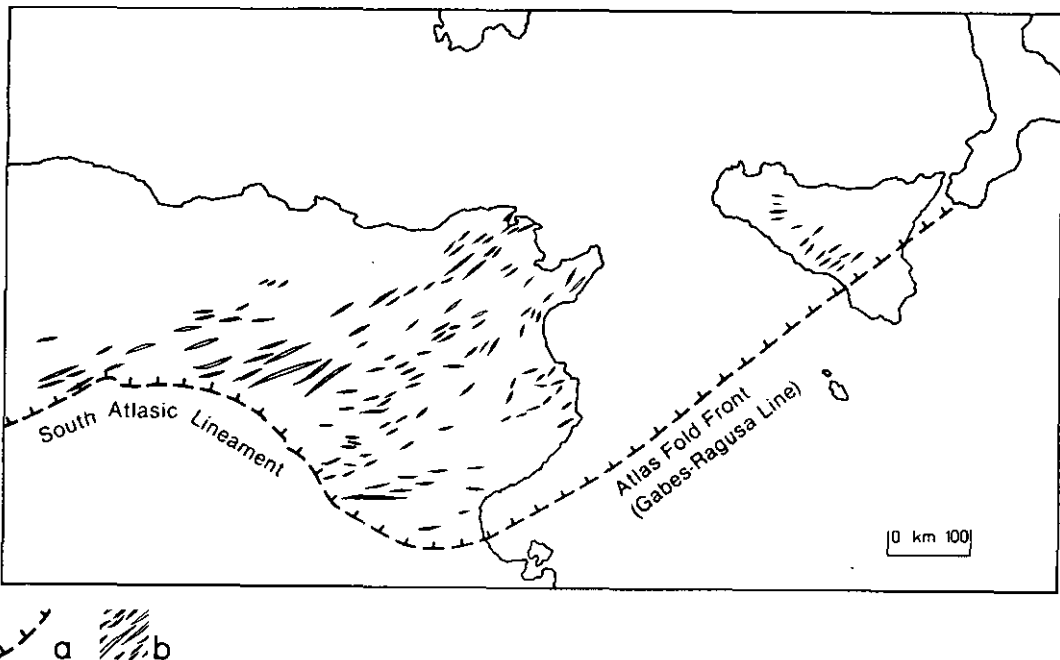




Role of microplates in the Mediterranean Basins, and showing the *trans-Mediterranean line* which is the approximate present limit between the African and European plates (McKenzie, 1970)

— · — Trans-Mediterranean Line

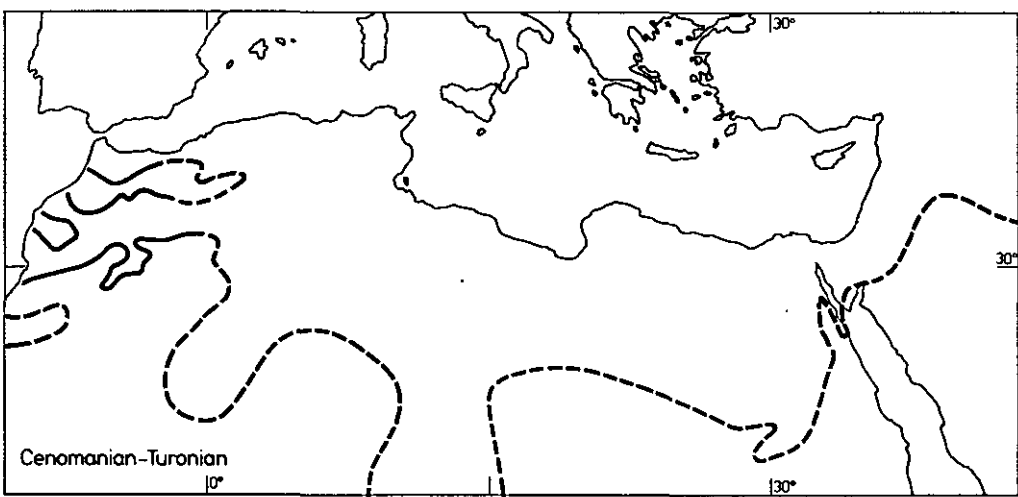
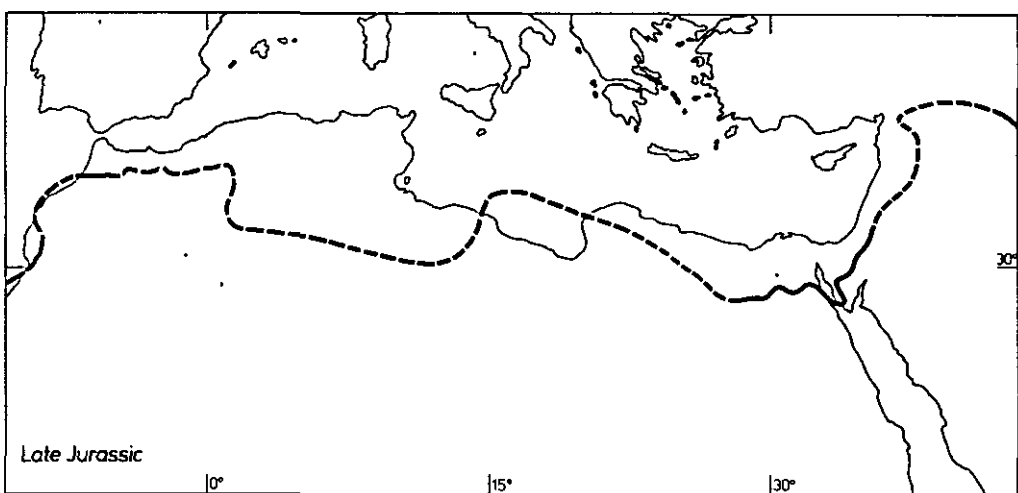
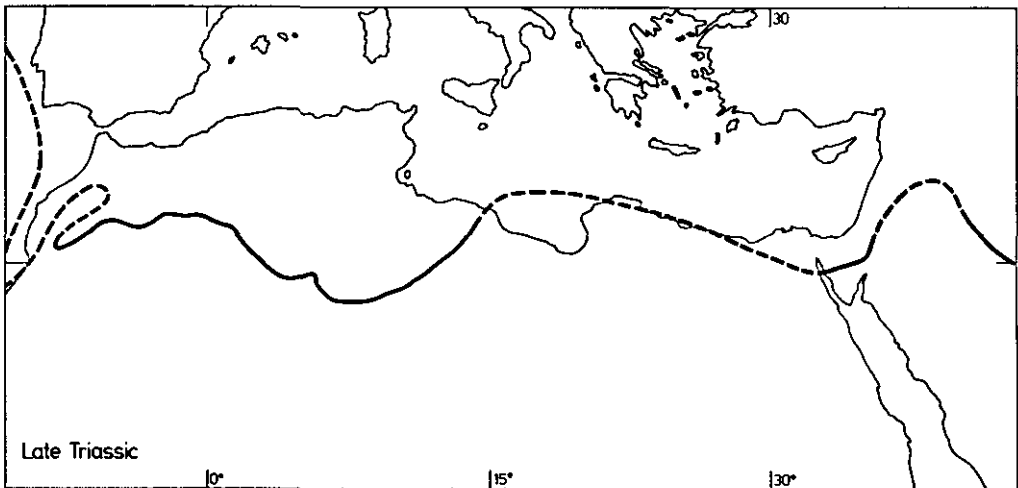
SOURCE: A Caire, (1978) 'The central Mediterranean mountain chains in the Alpine orogenic environment', in *The Ocean Basins and Margins: the Western Mediterranean*, Vol. 4B, New York, Plenum, pp. 201-256.



Limit of the Sahara and of the Ragusa Plateau according to Caire.

- a. limit of the Sahara and the Ragusa Plateau showing the South Atlasic Lineament and the Atlas Fold Front
- b. principal fold axes

SOURCE: After A. Caire, (1978) 'The central Mediterranean mountain chains in the Alpine orogenic environment' in *The Ocean Basins and Margins: the Western Mediterranean*, Vol. 4B, New York, Plenum, pp. 201-256.

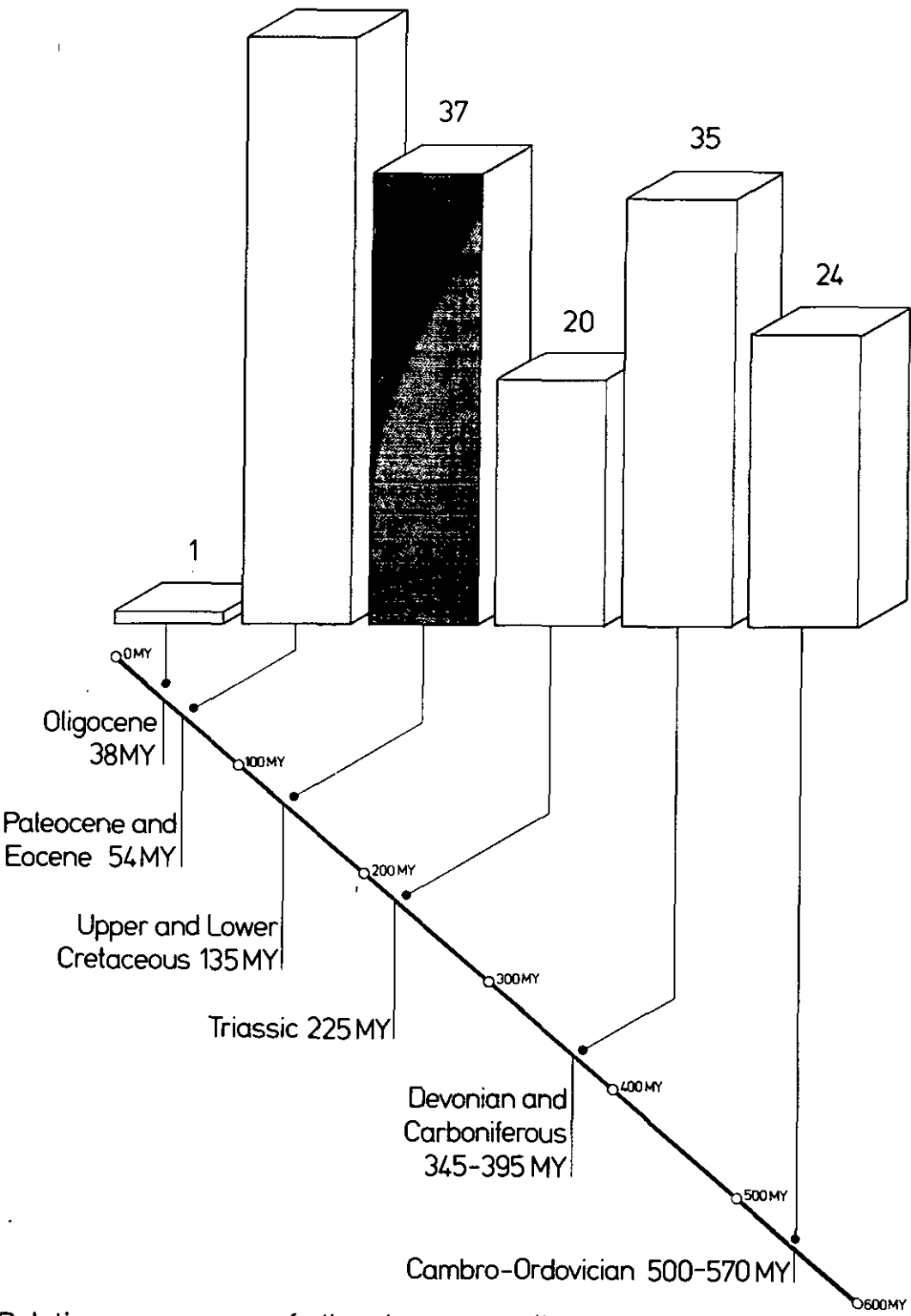


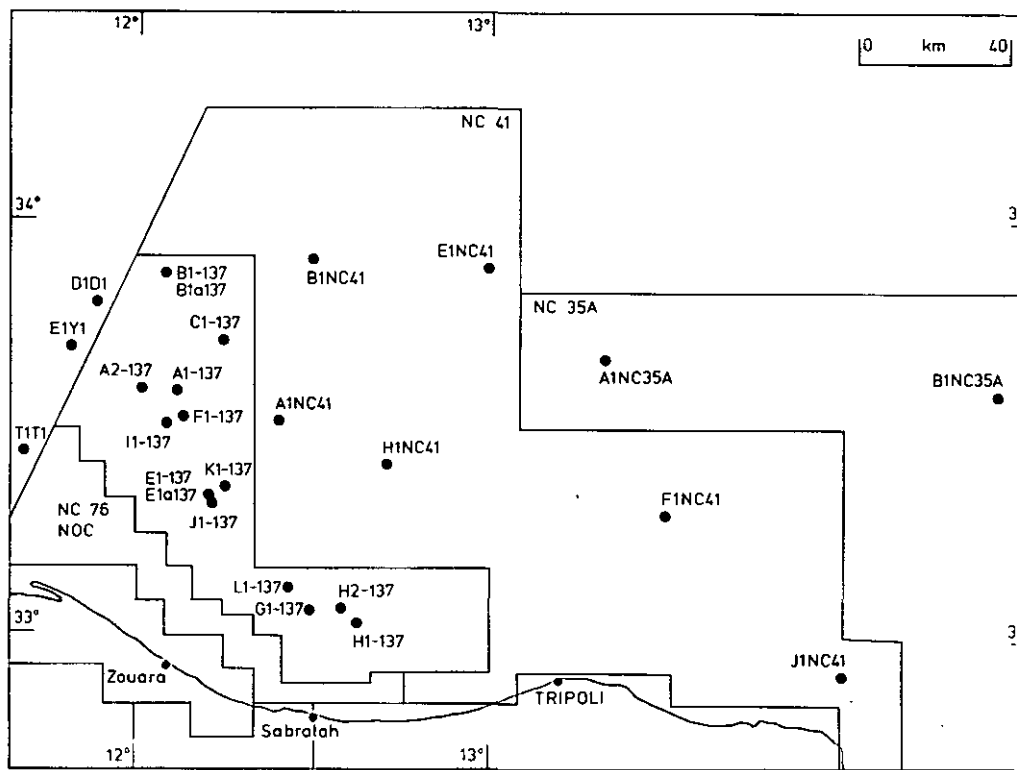
Approximate shoreline

Postulated shoreline

Figure 6

Mesozoic Shoreline

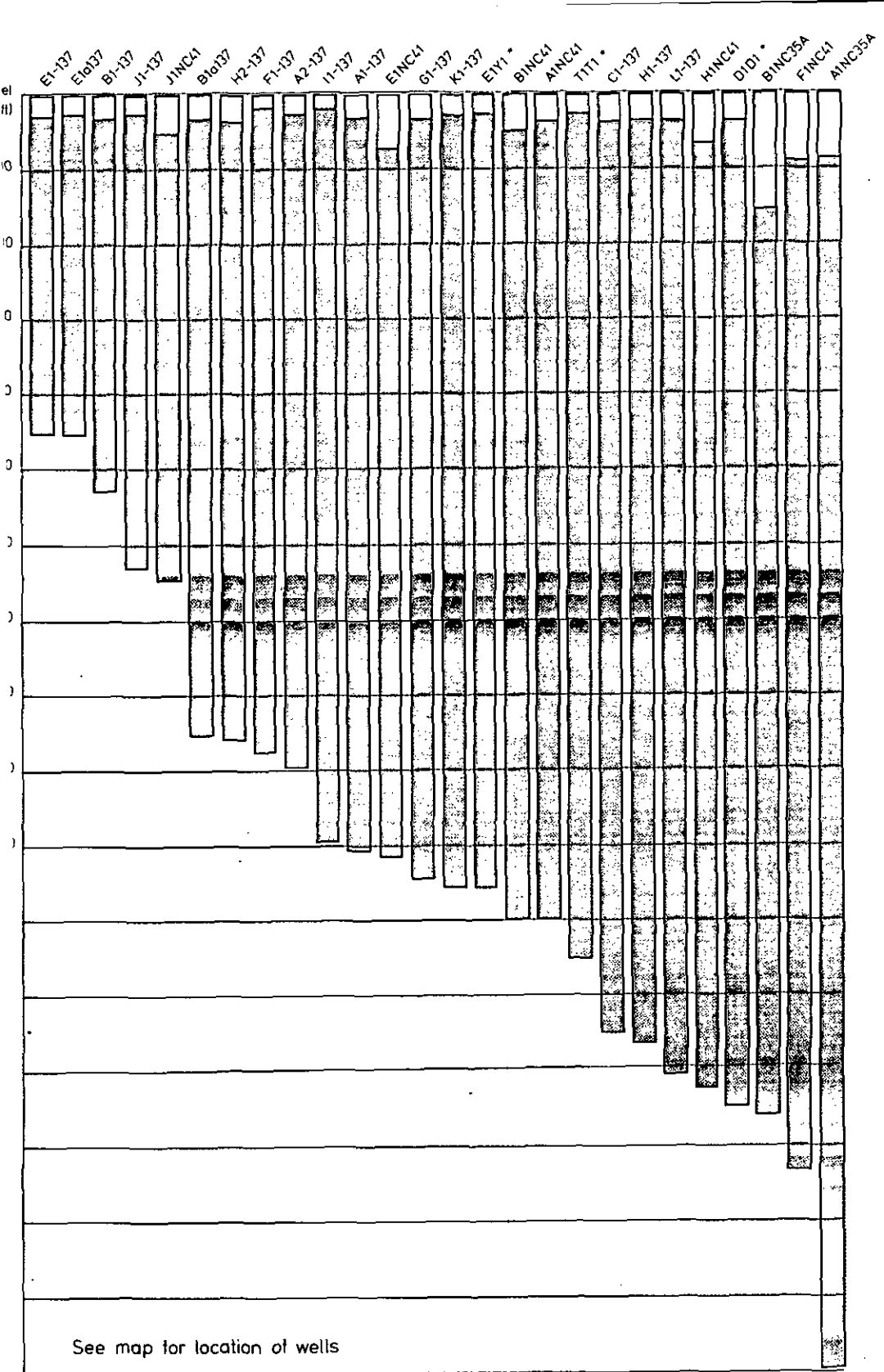




LOCATION OF WELLS

Sea bed and well depths in the off-shore Pelagian Basin.

SOURCE: A.A. Missallati

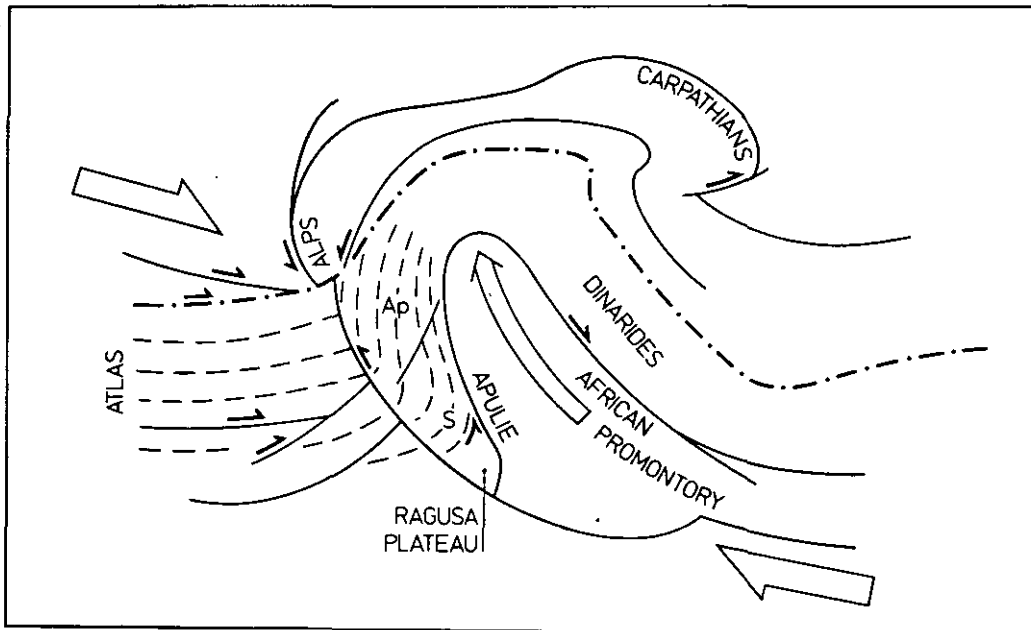


Depth to sea bed

Depth of drilling

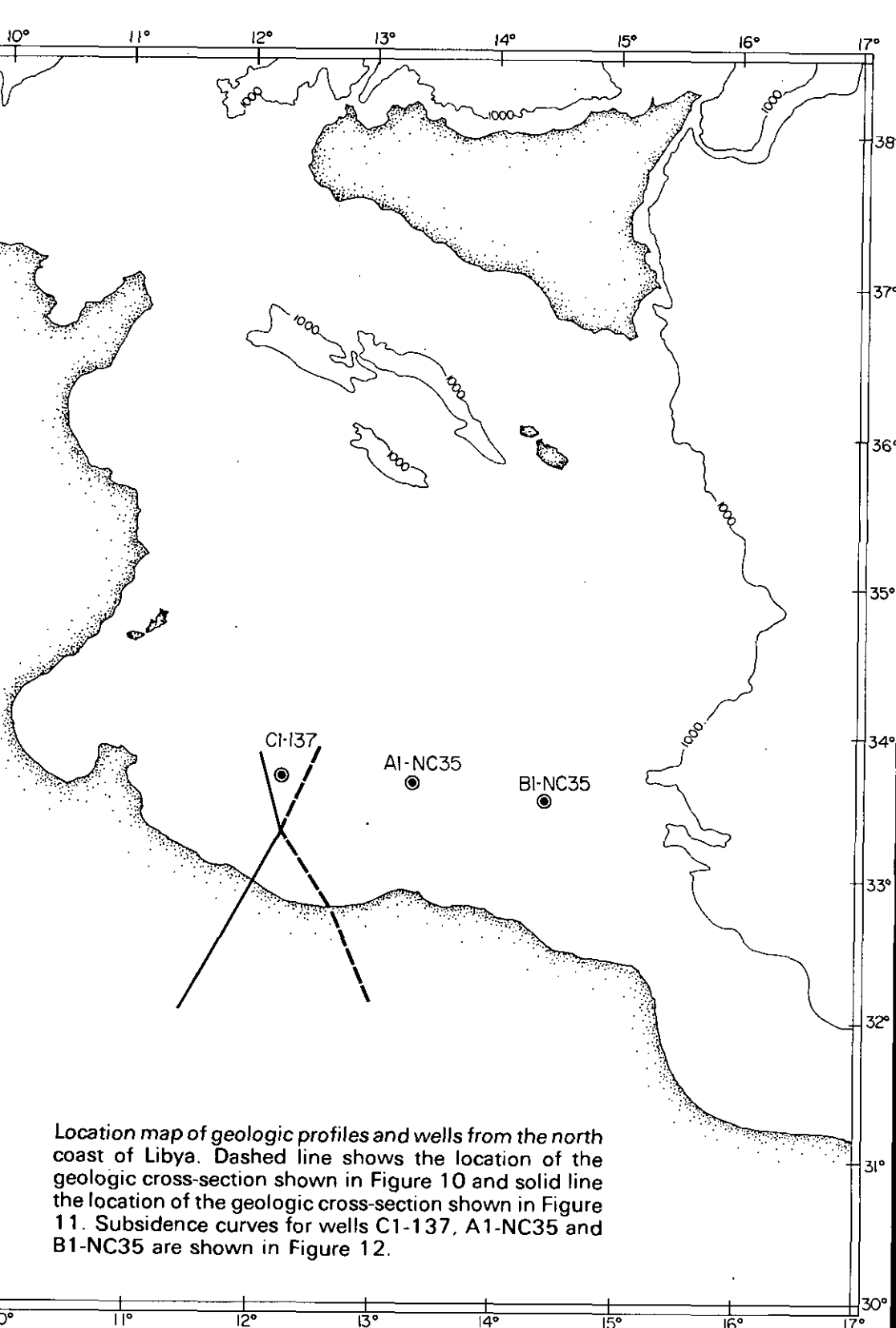
*Estimate

Figure 8



A stage of the Cretaceous or Nummulitic in the area bordering the African Promontory, with an indication of the movement trends

SOURCE: A. Caire, (1978) 'The central Mediterranean mountain chains in the Alpine orogenic environment' in *The Ocean Basins and Margins: the Western Mediterranean*, Vol. 4B, New York, Plenum, pp. 201-256.



Location map of geologic profiles and wells from the north coast of Libya. Dashed line shows the location of the geologic cross-section shown in Figure 10 and solid line the location of the geologic cross-section shown in Figure 11. Subsidence curves for wells C1-137, A1-NC35 and B1-NC35 are shown in Figure 12.

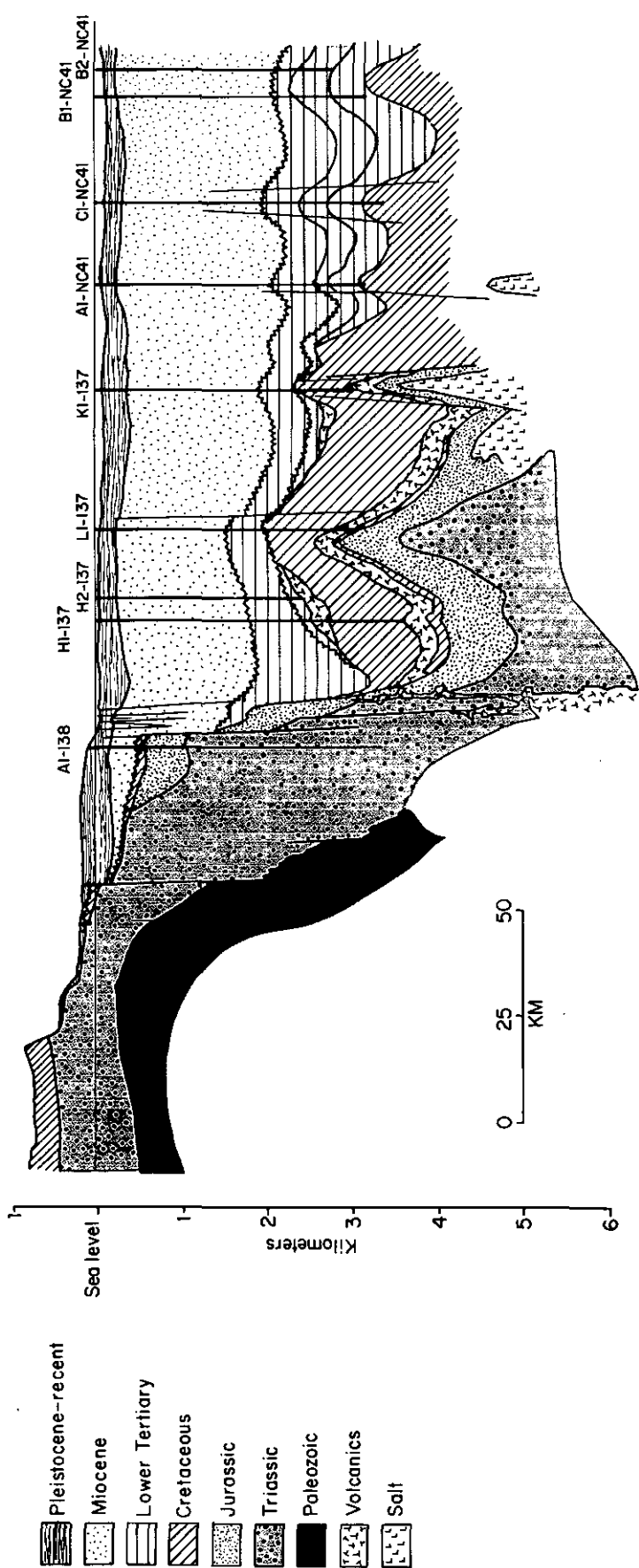
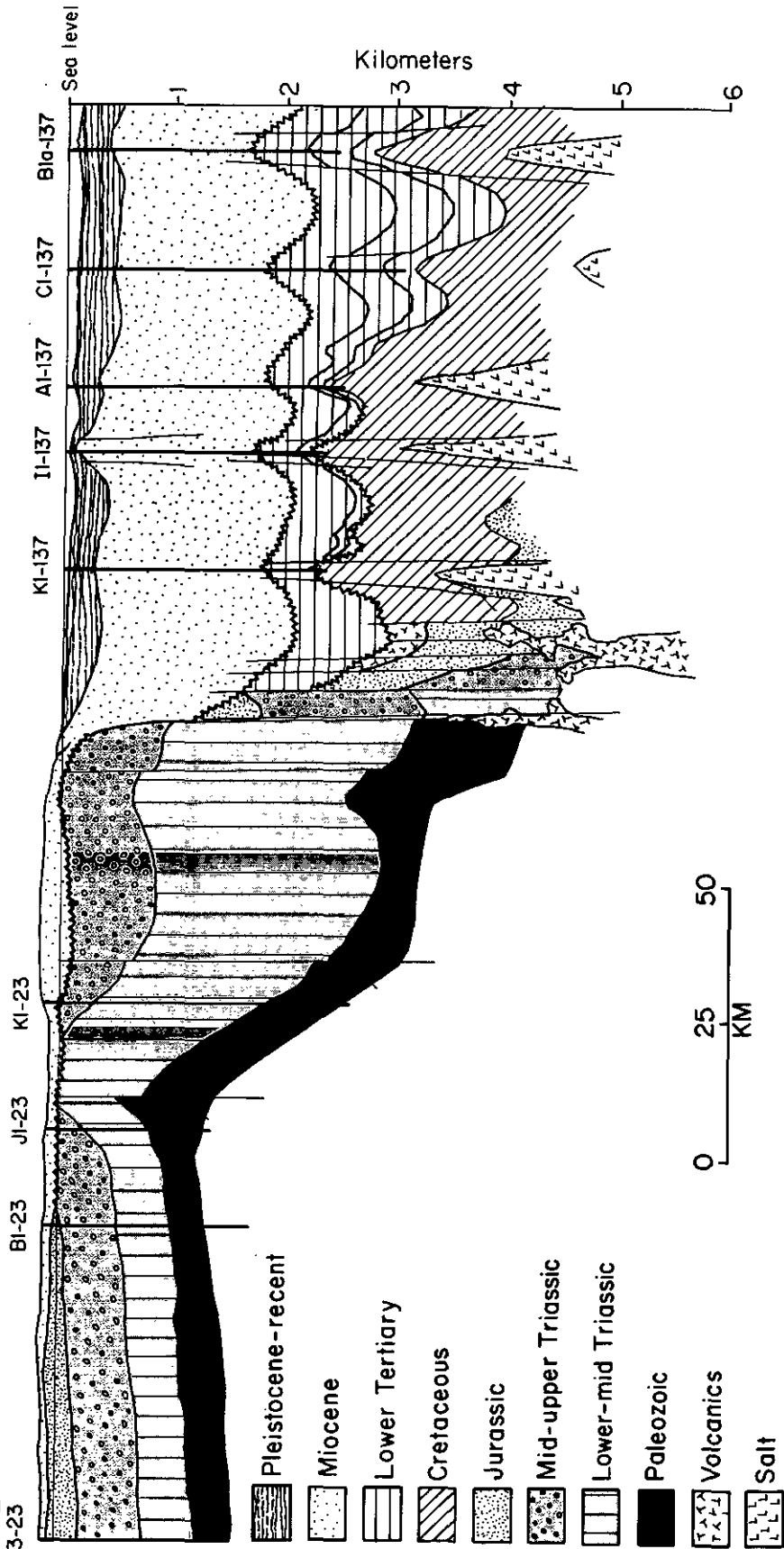


Figure 10

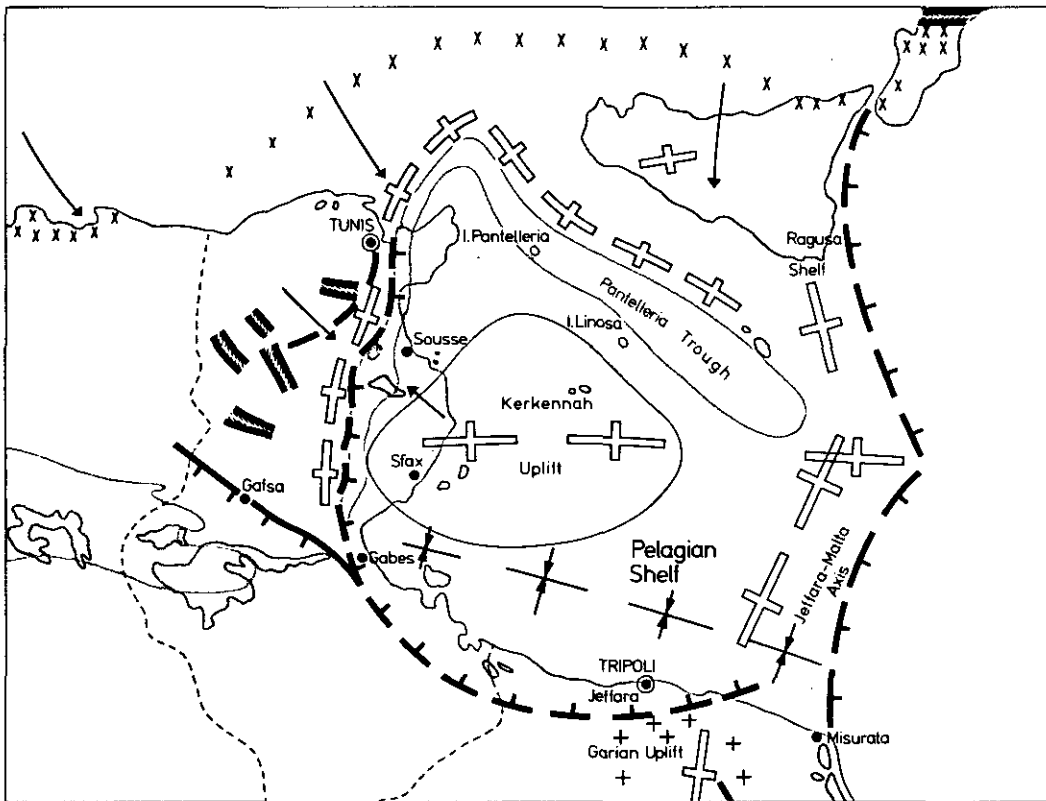
Geologic cross section across the northern margin of Libya based on well data and multichannel seismic reflection data. Location of the profile is shown in Figure 9 as a dashed line. The vertical exaggeration (20 : 1) is the same as for the profiles across the North American margin shown in Figure 5, so the two figures may be compared. Note the prominent hinge zone with a continental shelf sedimentary sequence to the north of it. Wavy lines represent

After Chinnard 1979



Geologic cross-section across the northern margin of Libya based on well data and multichannel seismic reflection data. Location of the profile is shown in Figure 9 as a solid line. The vertical exaggeration (20 : 1) is the same as for the profiles across the North American margin shown in Figure 5, so the two figures may be compared. Note the prominent hinge zone with a continental shelf sedimentary sequence to the north of it. Wavy lines represent unconformities where part of the section has been eroded. After Choignard 1979.

Figure 11



a b c

Tectonic features of the Pelagian Block

- a. Peri-atlasic basins
- b. Subsidence axis
- c. Positive axis

SOURCE: P.F. Burolet, (1967) 'General geology of Tunisia', in *Guidebook to the geology and history of Tunisia, Petroleum Exploration of Libya, Tripoli*, pp. 51-58.

THE OFFICIAL MAP OF THE PETROLEUM CONCESSIONS IN LIBYA

ISSUED BY THE MINISTRY OF PETROLEUM AFFAIRS

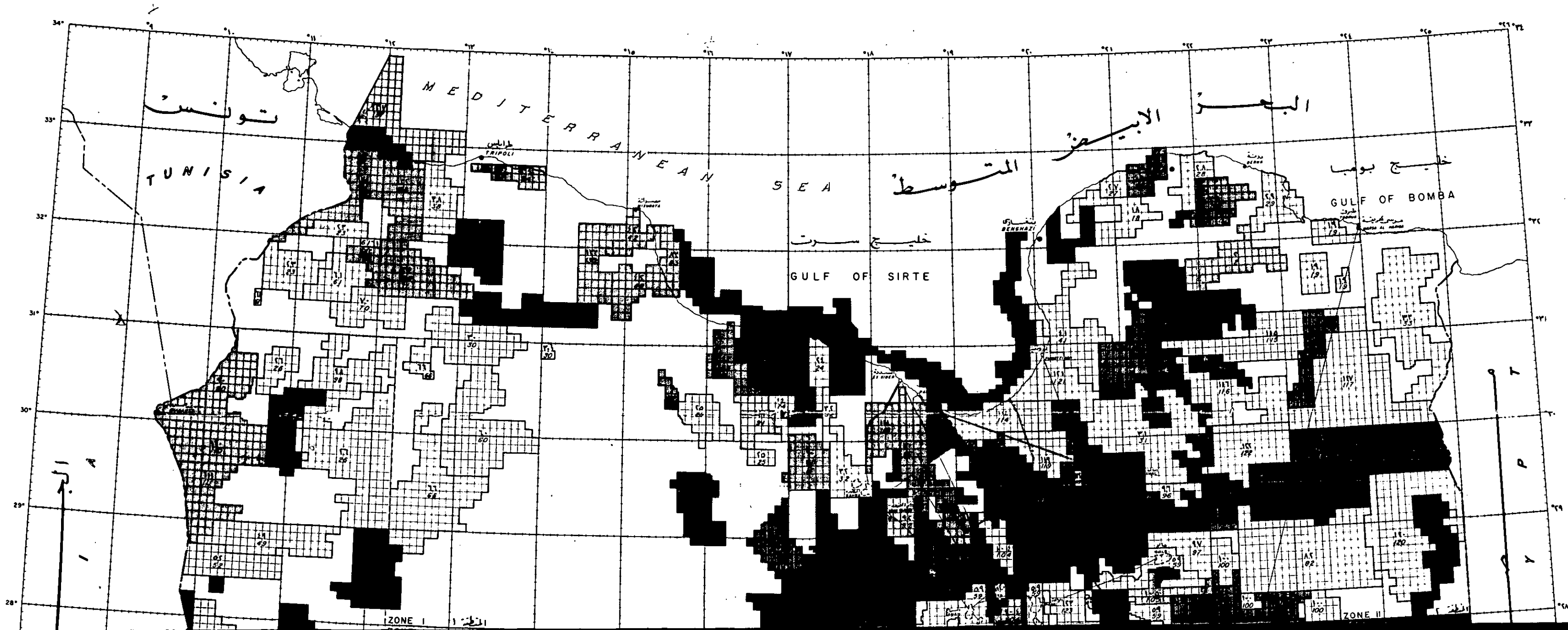
UNDER THE PETROLEUM LAW No. 25 OF 1955

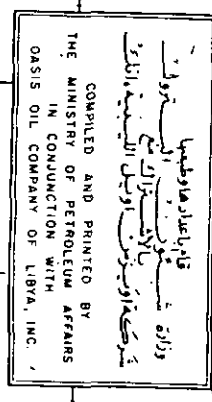
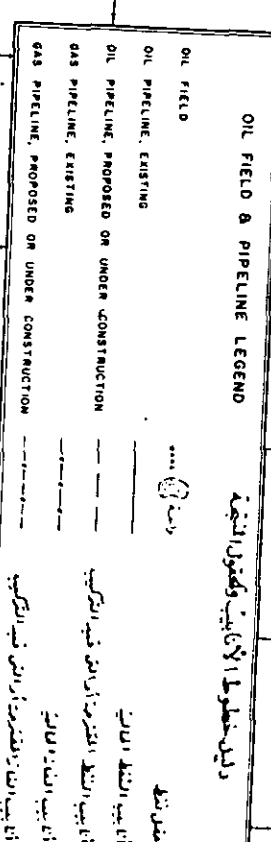


الخريطة الرسمية لعقود الامتياز البترولية في ليبيا

الصادرة من وزارة شؤون البترول

بموجب قانون البترول رقم ٢٥ لسنة ١٩٥٥





(مسار)
SCALE 1:200,000

كيلومترات
Kilometres

ميля Miles

الحدود الدبلوماسية الممثلة على هذه الخريطة لا تقتضي بالضرورة للحكومة الليبية
أن الحدود الدبلوماسية الممثلة على هذه الخريطة لا تقتضي بالضرورة للحكومة الليبية

INTERNATIONAL BOUNDARIES AS ILLUSTRATED HEREIN ARE NEITHER FINAL NOR BINDING ON THE LIBYAN GOVERNMENT

السودان
SUDAN

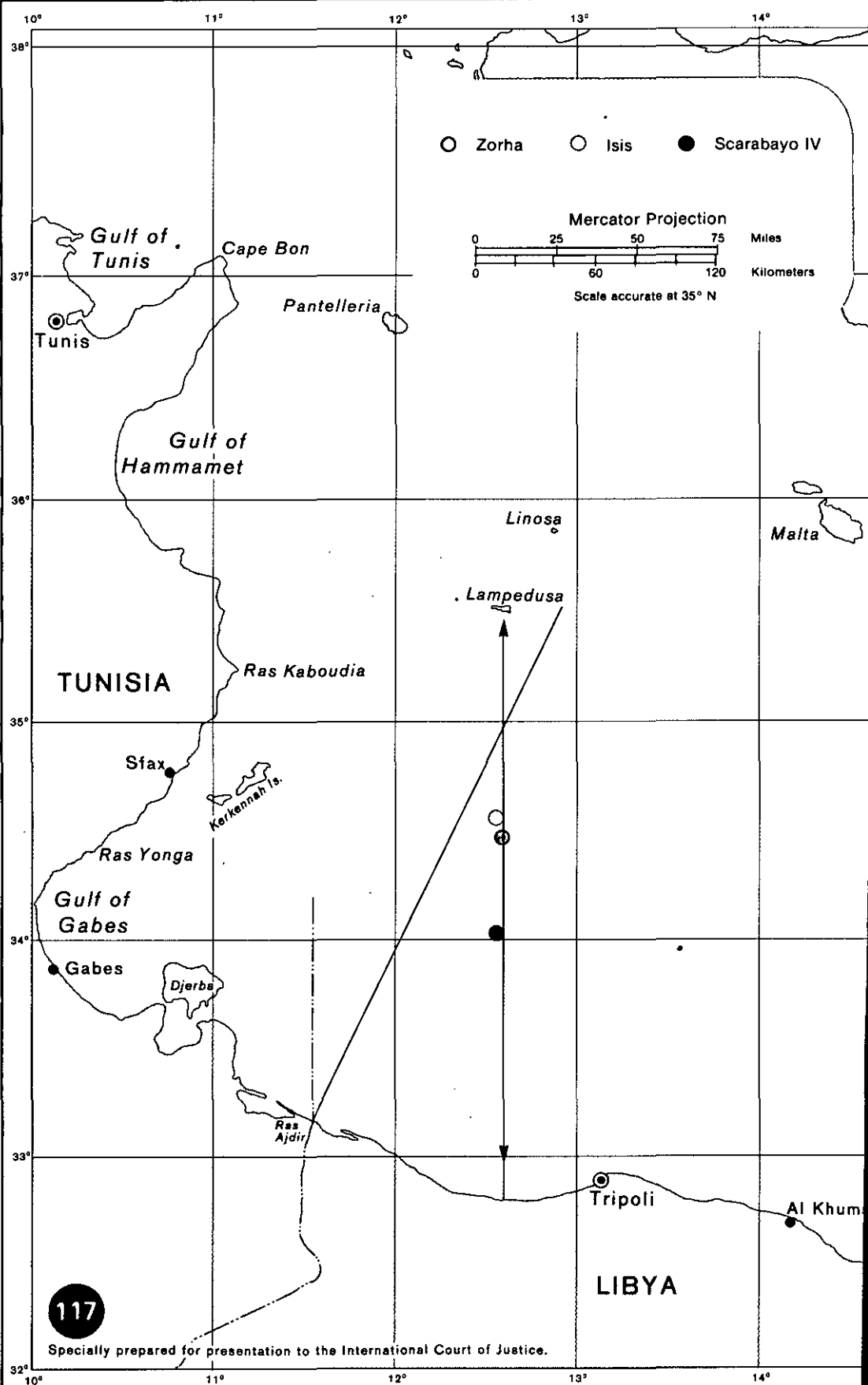
النفط والغاز

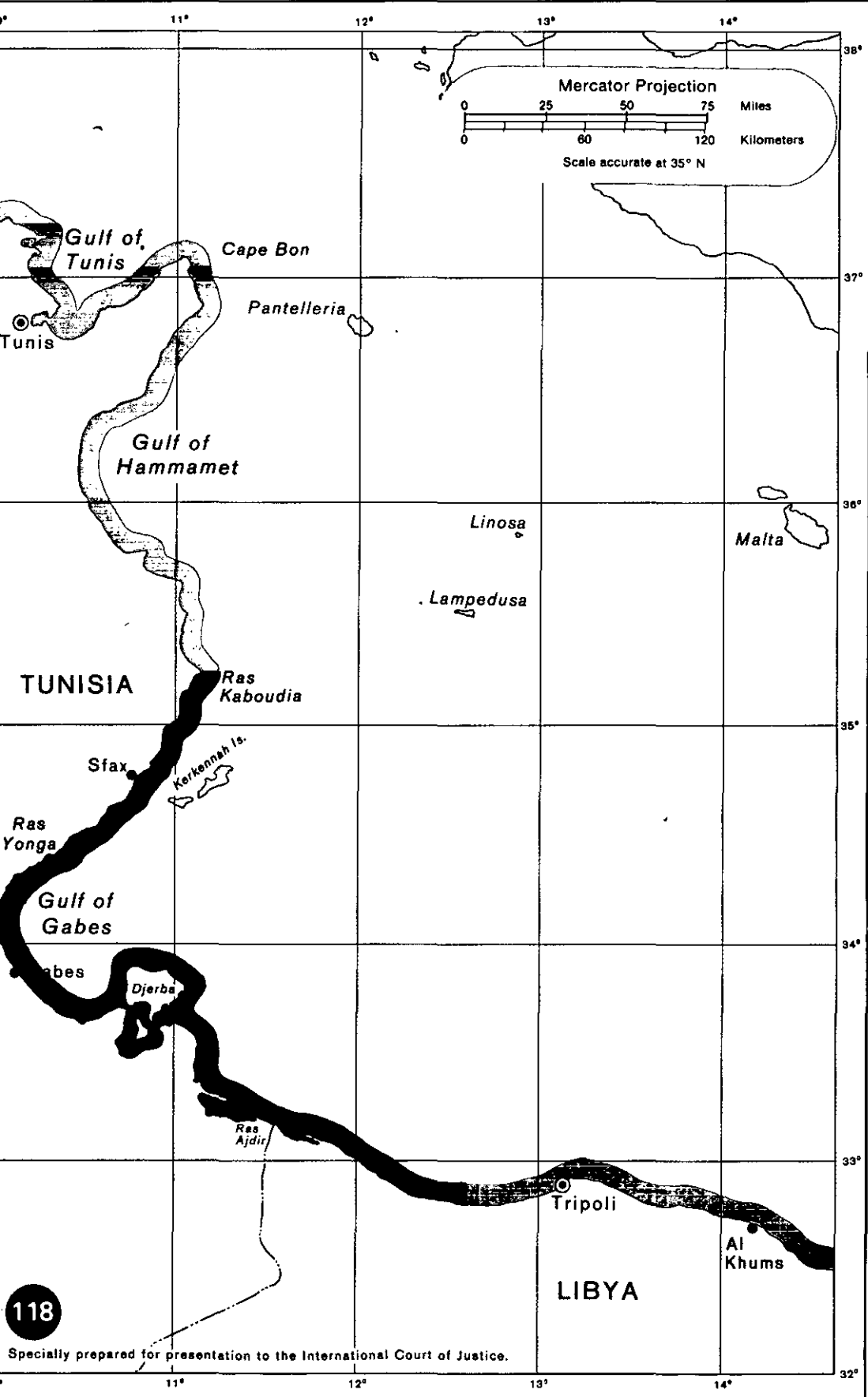
وزارتاً

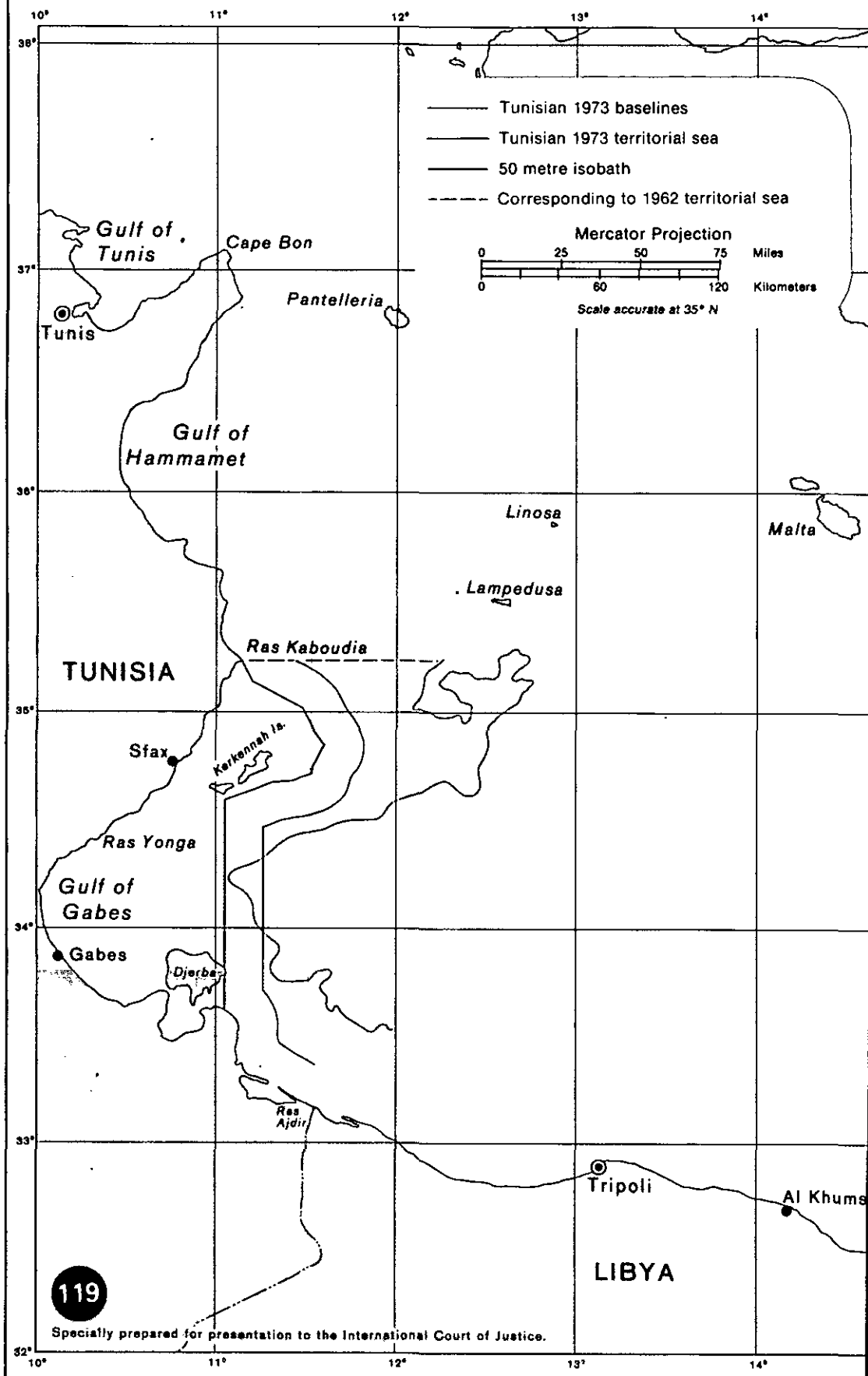
البترول والمعادن

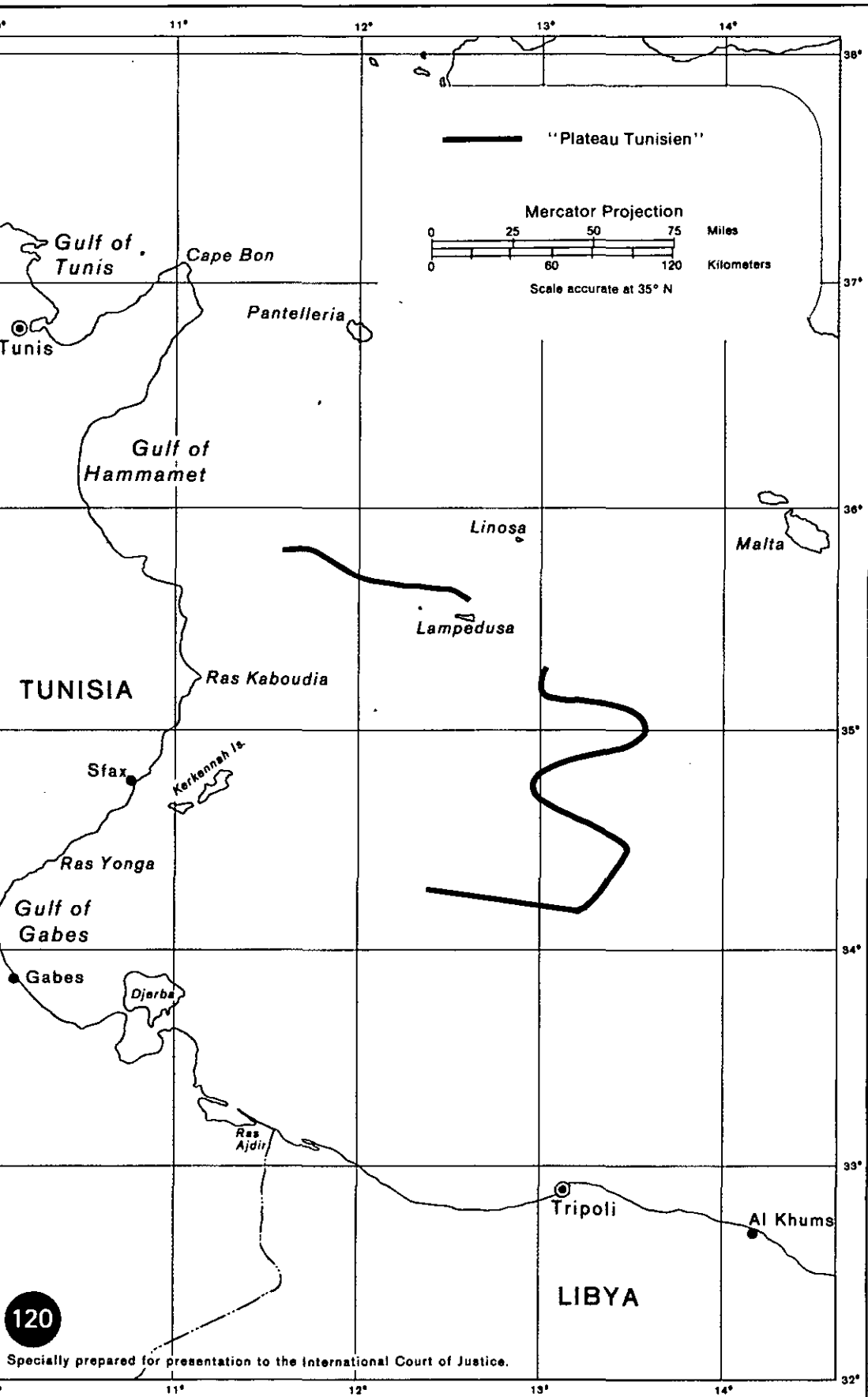
النفط والغاز

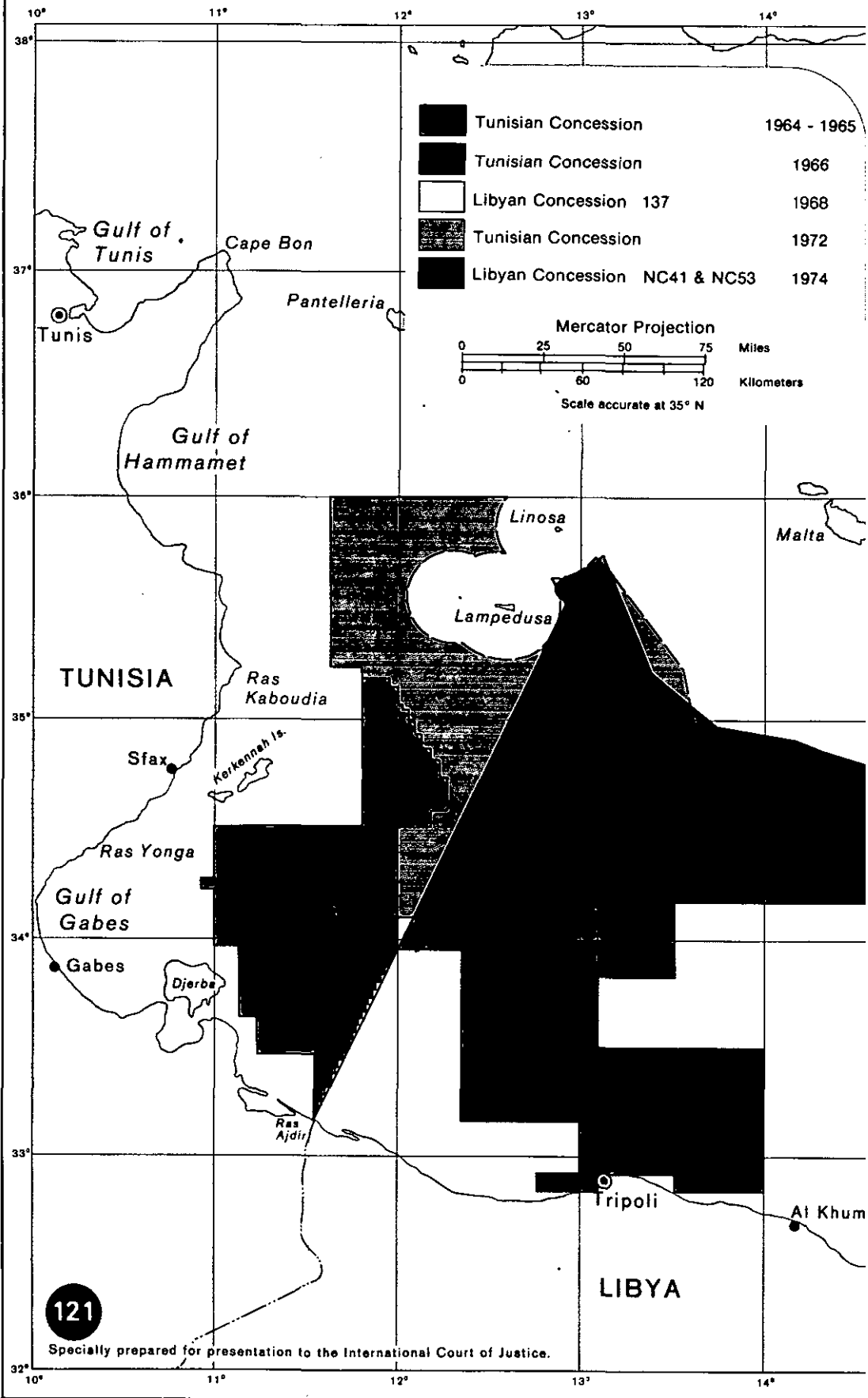
<p

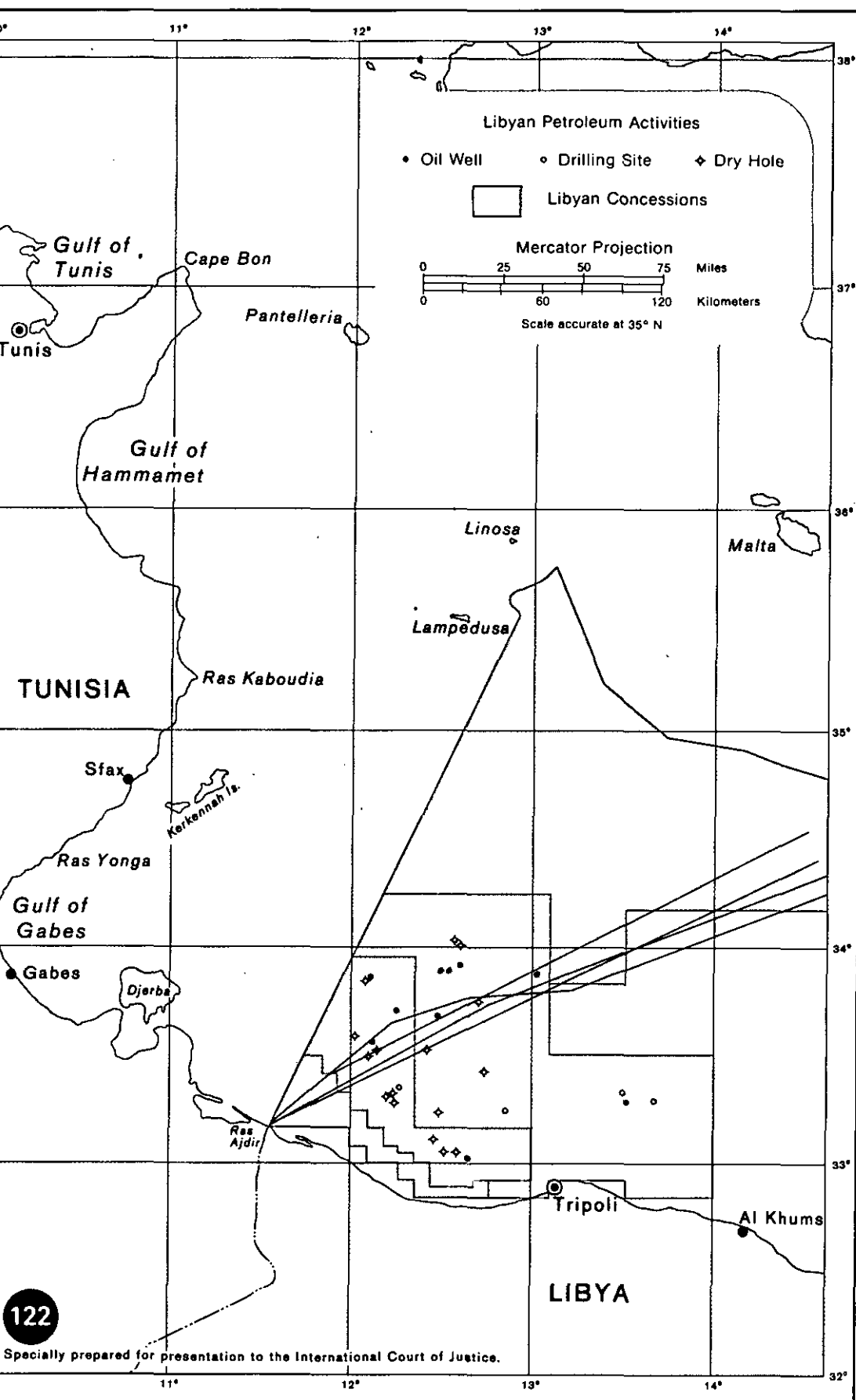








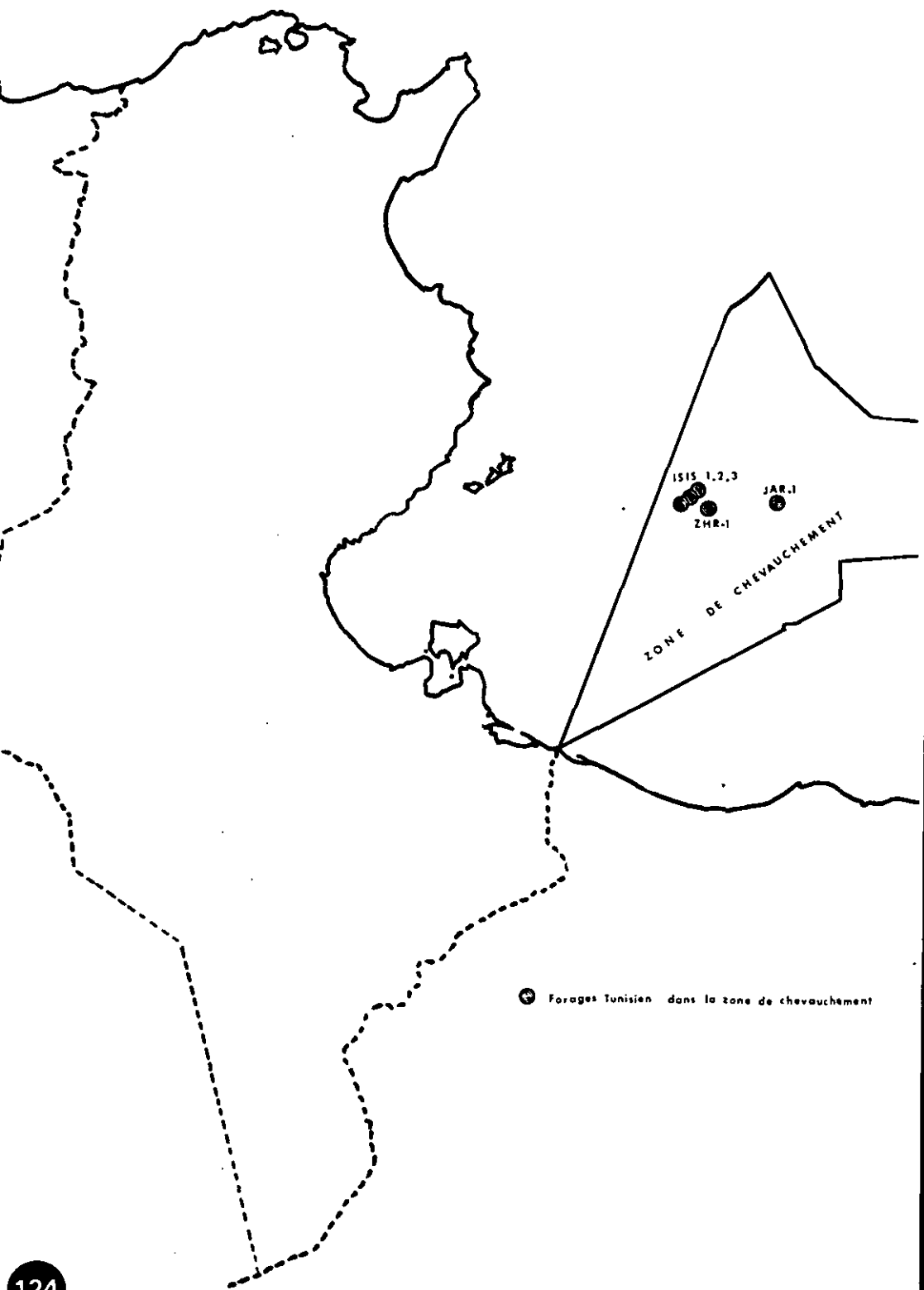


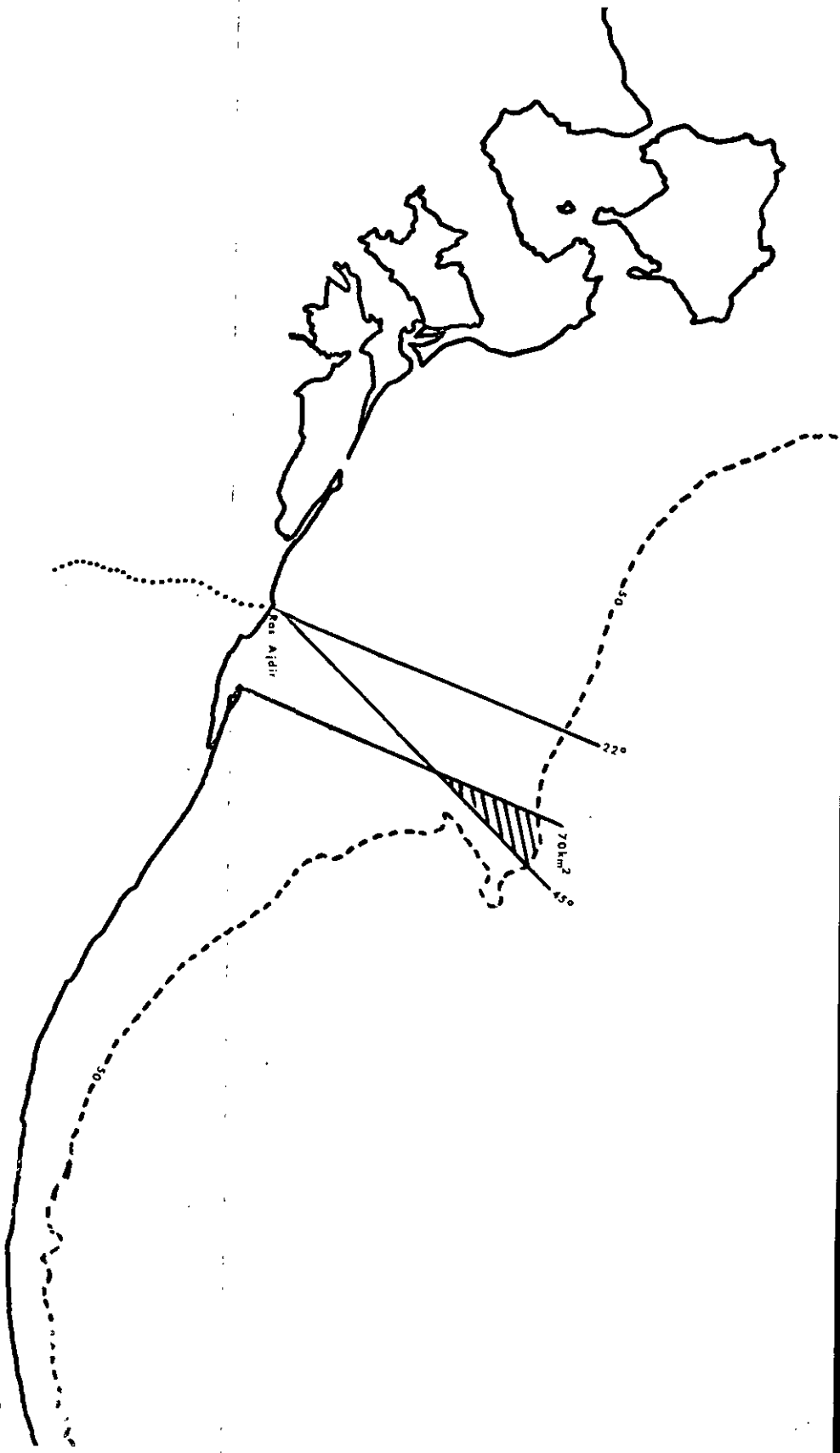


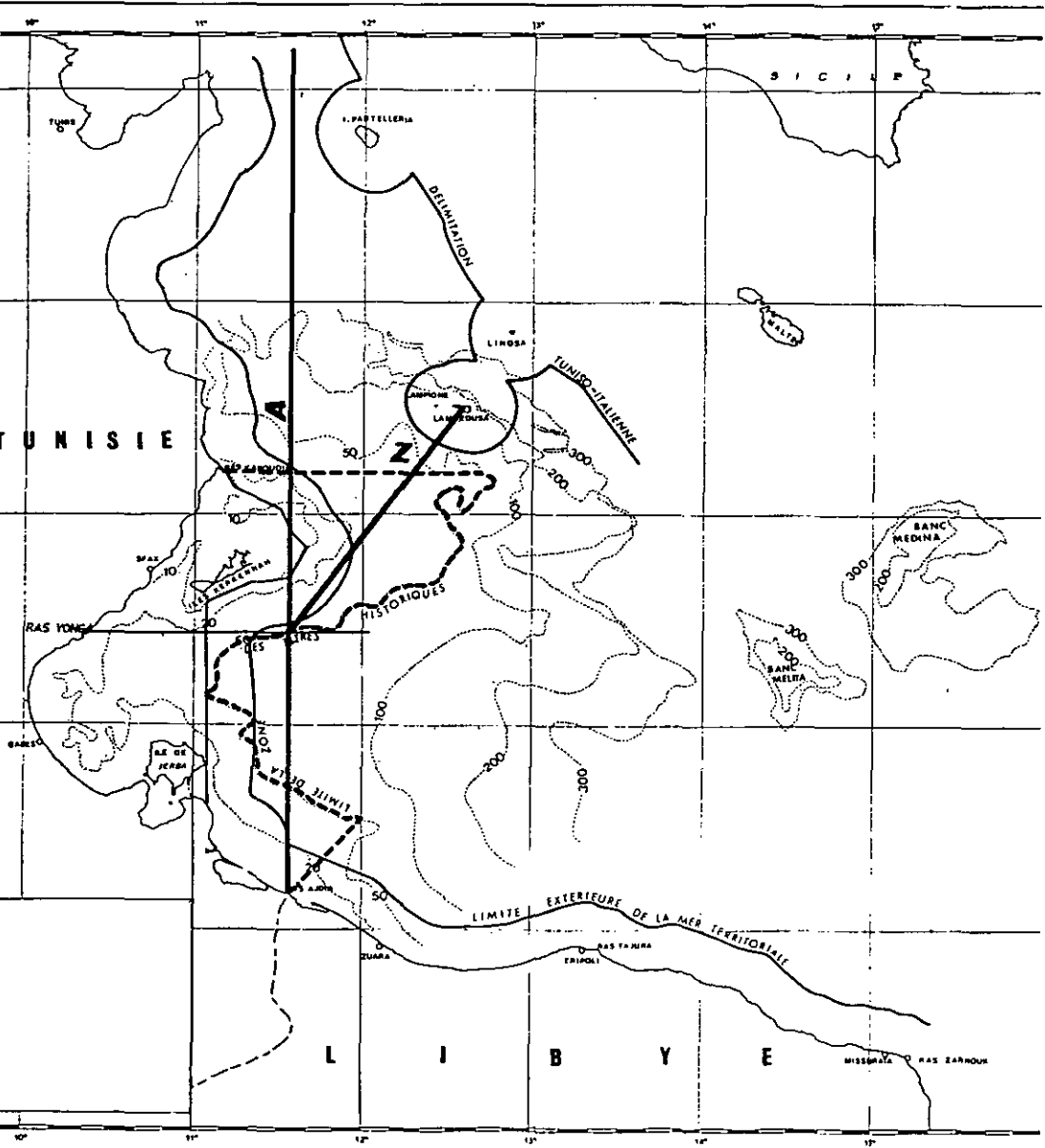
T U N I S I E

PLAN DE SITUATION DES PERMIS DANS LE GOLFE DE GABES









**CARTE DES FONDS
SPONGIFERES
DE LA
REGENCE**

